



Αρ. Ηρωτ. 1565  
12-10-90

## ΕΡΕΥΝΗΤΙΚΟ ΠΡΟΓΡΑΜΜΑ ΕΩΣ/ΕΜΠ-ΟΑΣΠ:

ΔΟΚΟΙ ΣΥΝΔΕΣΕΩΣ ΣΥΖΕΥΓΜΕΝΩΝ ΤΟΙΧΩΜΑΤΩΝ  
ΥΠΟ ΑΝΑΚΥΚΛΙΖΟΜΕΝΗ ΕΝΤΑΣΗ

### Α' ΜΕΡΟΣ

ΕΡΕΥΝΑ ΕΜΠΙ/ΟΑΣΠ

"ΔΟΚΟΙ ΣΥΝΔΕΣΕΩΣ ΣΥΖΕΥΓΜΕΝΩΝ  
ΤΟΙΧΩΜΑΤΩΝ ΥΠΟ ΑΝΑΚΥΚΛΙΖΟΜΕΝΗ  
ΕΝΤΑΣΗ"

---

Τ Ε Λ Ι Κ Η · Ε Κ Θ Ε Σ Η

---

Θ.Π. Τάσιος - Α. Μπέζας - Μ. Μωρέττη  
Σεπτέμβριος 1990

---

## Π Ε Ρ Ι Ε Χ Ο Μ Ε Ν Α

---

### Α' ΜΕΡΟΣ

- 1.- ΣΥΝΤΟΜΗ ΒΙΒΛΙΟΓΡΑΦΙΚΗ ΕΠΙΣΚΟΠΗΣΗ
  - 1.1 ΓΕΝΙΚΑ ΧΑΡΑΚΤΗΡΙΣΤΙΚΑ ΤΩΝ ΔΟΚΩΝ ΣΥΖΕΥΞΕΩΣ
  - 1.2 ΜΗΧΑΝΙΣΜΟΙ ΑΝΑΛΗΨΕΩΣ ΤΕΜΝΟΥΣΑΣ ΠΡΙΝ ΚΑΙ ΜΕΤΑ ΑΠ' ΤΗ ΔΙΑΓΩΝΙΑ ΡΗΓΜΑΤΩΣΗ ΤΗΣ ΔΟΚΟΥ
    - 1.2.1 Πριν απ' τη ρηγμάτωση
    - 1.2.2 Μετά τη διαγώνια ρηγμάτωση
    - 1.2.3 Μετά τη γενίκευση της ρηγματώσεως
  - 1.3 ΚΥΡΙΕΣ ΜΟΡΦΕΣ ΑΣΤΟΧΙΑΣ
    - 1.3.1 Διαγώνια εφελκυστική αστοχία
    - 1.3.2 Αστοχία λόγω διατμητικής ολισθήσεως
    - 1.3.3 Αστοχία λόγω λυγισμού των διαγωνίων οπλισμών
  - 1.4 ΑΔΥΝΑΜΙΑ ΤΗΣ ΚΛΑΣΙΚΗΣ ΑΝΑΛΥΣΕΩΣ BERNOULLI-NAVIER ΝΑ ΠΕΡΙΓΡΑΨΕΙ ΤΗ ΣΥΜΠΕΡΙΦΟΡΑ ΤΩΝ ΔΟΚΩΝ ΣΥΖΕΥΞΕΩΣ ( $\alpha_s \leq 1.0$ )
  - 1.5 ΕΠΙΡΡΟΗ ΤΗΣ ΑΝΑΚΥΚΛΙΖΟΜΕΝΗΣ ΦΟΡΤΙΣΕΩΣ ΣΤΗΝ ΑΚΑΜΥΙΑ ΤΩΝ ΔΟΚΩΝ ΣΥΖΕΥΞΕΩΣ
  - 1.6 ΠΛΑΣΤΙΜΟΤΗΤΑ ΤΩΝ ΔΟΚΩΝ ΣΥΖΕΥΞΕΩΣ
  - 1.7 ΕΠΙΔΡΑΣΗ ΤΩΝ ΧΑΡΑΚΤΗΡΙΣΤΙΚΩΝ ΤΩΝ ΔΟΚΩΝ ΣΥΖΕΥΞΕΩΣ ΣΤΗ ΣΥΜΠΕΡΙΦΟΡΑ ΤΟΥ ΣΥΣΤΗΜΑΤΟΣ ΤΩΝ ΣΥΖΕΥΓΜΕΝΩΝ ΤΟΙΧΩΜΑΤΩΝ
    - 1.7.1 Τρόπος οπλίσεως των δοκών συζεύξεως
    - 1.7.2 Βαθμός συζεύξεως δοκών-τοιχωμάτων
    - 1.7.3 Εκτίμηση αλληλεπιδράσεως δοκών-τοιχωμάτων μέσω θεωρητικού προσομοιώματος.
- 2.- ΧΑΡΑΚΤΗΡΙΣΤΙΚΑ ΔΟΚΙΜΙΩΝ ΚΑΙ ΠΕΙΡΑΜΑΤΙΚΗΣ ΔΙΑΤΑΞΕΩΣ ΣΤΗΝ ΠΑΡΟΥΣΑ ΕΡΕΥΝΑ
  - 2.1 ΥΔΙΚΑ ΚΑΤΑΣΚΕΥΗΣ
    - 2.1.1 Σκυρόδεμα
    - 2.1.2 χάλυβας
  - 2.2 ΔΙΑΤΑΞΗ ΦΟΡΤΙΣΕΩΣ
  - 2.3 ΙΣΤΟΡΙΑ ΦΟΡΤΙΣΕΩΣ
  - 2.4 ΟΡΓΑΝΑ ΜΕΤΡΗΣΕΩΣ
    - 2.4.1 Βελόμετρα
    - 2.4.2 Ηλεκτρομηκυνσιόμετρα

3.- ΔΙΑΓΡΑΜΜΑΤΑ ΦΟΡΤΙΟΥ-ΜΕΤΑΚΙΝΗΣΕΩΝ

4.- ΜΟΡΦΟΛΟΓΙΑ ΡΗΓΜΑΤΩΣΕΩΣ

- 4.1 ΔΟΚΙΜΙΑ 1Α,1Β (ιλασική δπλιση)
- 4.2 ΔΟΚΙΜΙΑ 2Α,2Β (δισδιαγώνιοι οπλισμοί)
- 4.3 ΔΟΚΙΜΙΑ 3Α,3Β (χιαστί οπλισμοί στα άκρα)
- 4.4 ΔΟΚΙΜΙΑ 4Α,4Β (βλήτρα καθ'όλο το μήκος της δοκού)
- 4.5 ΔΟΚΙΜΙΑ 5Α,5Β (βλήτρα στα άκρα της δοκού)

5.- ΜΕΙΩΣΗ ΤΗΣ ΑΠΟΚΡΙΣΕΩΣ ΛΟΓΩ ΤΩΝ ΑΝΑΚΥΚΛΙΣΕΩΝ

6.- ΜΕΙΩΣΗ ΤΗΣ ΑΚΑΜΨΙΑΣ ΛΟΓΩ ΤΩΝ ΑΝΑΚΥΚΛΙΣΕΩΝ

7.- ΠΛΑΣΤΙΜΟΤΗΤΑ

- 7.1 ΔΕΙΚΤΗΣ ΠΛΑΣΤΙΜΟΤΗΤΑΣ ΜΕΤΑΚΙΝΗΣΕΩΝ
- 7.2 ΔΕΙΚΤΗΣ ΠΛΑΣΤΙΜΟΤΗΤΑΣ ΕΚΦΡΑΣΜΕΝΟΣ ΣΕ ΟΡΟΥΣ ΑΝΑΛΙΣΚΟΜΕΝΗΣ ΕΝΕΡΓΕΙΑΣ
- 7.3 ΔΕΙΚΤΗΣ ΑΘΡΟΙΣΤΙΚΗΣ ΠΛΑΣΤΙΜΟΤΗΤΑΣ ΜΕΤΑΚΙΝΗΣΕΩΝ

8.- ΑΝΑΛΙΣΚΟΜΕΝΗ ΕΝΕΡΓΕΙΑ

9.- ΑΠΟΣΒΕΣΗ

Β' ΜΕΡΟΣ

10.- ΚΑΤΑΝΟΜΗ ΔΥΝΑΜΕΩΝ ΚΑΤΑ ΜΗΚΟΣ ΤΩΝ ΔΙΑΜΗΚΩΝ ΟΠΛΙΣΜΩΝ

- 10.1 ΔΙΑΜΗΚΕΙΣ ΟΠΛΙΣΜΟΙ
- 10.2 ΔΙΑΓΩΝΙΟΙ ΟΠΛΙΣΜΟΙ ΔΟΚΩΝ CB-2
- 10.3 ΧΙΑΣΤΙ ΟΠΛΙΣΜΟΙ ΔΟΚΩΝ CB-3
- 10.4 ΒΛΗΤΡΑ

11.- ΣΥΜΠΕΡΙΦΟΡΑ ΣΥΝΔΕΤΗΡΩΝ

12.- ΜΕΤΑΒΟΛΗ ΜΗΚΟΥΣ ΤΩΝ ΚΥΡΙΩΝ ΔΙΑΓΩΝΙΩΝ ΤΗΣ ΔΟΚΟΥ

13.- ΣΥΜΠΕΡΑΣΜΑΤΑ - ΣΥΣΤΑΣΕΙΣ

13.1 ΕΠΙΡΡΟΗ ΤΟΥ ΤΡΟΠΟΥ ΟΠΛΙΣΕΩΣ

13.1.1 Κλασική οπλιση (δοκοί CB-1)

13.1.2 Οπλιση με δισδιαγώνιους οπλισμούς (δοκοί CB-2)

13.1.3 Χιαστές οπλισμοί στα άκρα (δοκοί CB-3)

13.1.4 Βλήτρα (δοκοί CB-4,5)

13.2 ΕΠΙΡΡΟΗ ΤΟΥ ΛΟΓΟΥ ΔΙΑΤΜΗΣΕΩΣ

13.3 ΣΥΣΤΑΣΕΙΣ

14.- ΠΡΟΤΑΣΕΙΣ ΓΙΑ ΜΕΛΛΟΝΤΙΚΗ ΕΡΕΥΝΑ

ΒΙΒΛΙΟΓΡΑΦΙΚΕΣ ΠΑΡΑΠΟΜΠΕΣ

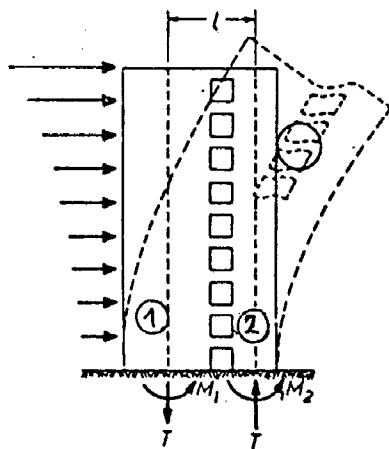
15.- ΠΑΡΑΡΤΗΜΑ: ΠΑΛΙΑ ΕΚΘΕΣΗ ΠΡΟΟΔΟΥ 19/7/88

## 1. ΣΥΝΤΟΜΗ ΒΙΒΛΙΟΓΡΑΦΙΚΗ ΕΠΙΣΚΟΠΗΣ

### 1.1 ΓΕΝΙΚΑ ΧΑΡΑΚΤΗΡΙΣΤΙΚΑ ΤΩΝ ΔΟΚΩΝ ΣΥΖΕΥΞΕΩΣ

"Δοκοί συζεύξεως" συνδέουν δύο γειτονικά τοιχώματα που χωρίζονται μεταξύ-τους με μία ή περισσότερες κατακόρυφες σειρές ανοιγμάτων (βλ. Εισαγωγή, 1ης Εκδ. Προόδου).

Κατά την επιβολή οριζόντιων φορτίων (σεισμός, άνεμος), το σύστημα των τοιχωμάτων τείνει να παραμορφωθεί δπως φαίνεται στο Σχ. 1.1 [9].



Σχ. 1.1: Παραμορφώσεις συζευγμένου τοιχώματος που υποβάλλεται σε οριζόντια φόρτιση.

Η ροπή ανατροπής  $M_0$  που αναπτύσσεται στις διάφορες στάθμες ενδιαφέρονται σε οριζόντια φόρτιση εξισορροπείται από τρεις εσωτερικές δράσεις. Οι δράσεις αυτές φαίνονται στο Σχ. 1.1 και είναι: α) μία καμπτική ροπή  $M_1$  που ασκείται στο τοίχωμα 1, β) μία καμπτική ροπή  $M_2$  που αναπτύσσεται στο τοίχωμα 2 και γ) αντίθετες αξονικές δυνάμεις  $T$ , που αναπτύσσονται σε κάθε τοίχωμα. Ετσι:

$$M_0 = M_1 + M_2 + T \cdot L \quad (I)$$

Σημειωτέον δτι εκάστη δύναμη  $T$  ισοδυναμεί με το άθροισμα των τεμνουσών δυνάμεων που η κάθε δοκός συζεύξεως μεταφέρει στα εκατέρωθεν τοιχώματα.

Επομένως, εάν επιθυμούμε την μικρότερη δυνατή καμπτική επιπόνηση του κάθε τοιχώματος, θα έπρεπε να διαθέτουμε δοκούς συζεύξεως μεταφέρουσες μεγάλη τέμνουσα δύναμη, δηλαδή μεγάλη απομείωση ροπής που δρα στο κάθε τοίχωμα.

Παράλληλα, σύμφωνα με τις σύγχρονες αντιλήψεις σχεδιασμού κατασκευών, τα συζευγγυδμενα τοιχώματα καθευατά θα πρέπει να είναι τα τελευταία στοιχεία της κατασκευής που θα υποστούν βλάβες. Αυτό σημαίνει ότι προτού διαρρεύσει κάποιο τοίχωμα, θα πρέπει δλες οι δοκοί συζεύξεως καθύψος της κατασκευής να έχουν αναπτύξει πλήρως την αντοχή-τους. Για να συμβεί δημος κάτι τέτοιο, είναι φανερό [9] ότι ορισμένες απ' τις δοκούς (οι χαμηλότερες) θα πρέπει να υποστούν μεγάλες πλαστικές παραμορφώσεις.

Για να είναι λοιπόν δυνατή αυτή η αροιστική λειτουργία, πρέπει οι δοκοί συζεύξεως να είναι σε θέση να μεταφέρουν μεγάλες τέμνουσες δυνάμεις και να υποστούν μεγάλες πλαστικές παραμορφώσεις χωρίς να χάνουν τη φέρουσα ικανότητά τους. Απαιτείται δηλαδή μεγάλη πλαστικότητα δοκών συζεύξεως.

Δυστυχώς, οι απαιτήσεις αυτές δεν είναι εύκολο να ικανοποιηθούν από τις δοκούς συζεύξεως διότι λόγω της μορφής-τους (μικρός λόγος διατμήσεως) έχουν την τάση να συμπεριφέρονται ψαθυρά. Όσο μικρότερος είναι ο λόγος μήκους 1 προς ύψος ή των δοκών συζεύξεως, τόσο μεγαλύτερη τέμνουσα γ αναπτύσσουν αλλά και τόσο πιο ψαθυρά συμπεριφέρονται (δημος ακριβώς συμβαίνει και με τα κοντά υποστυλώματα).

Ο λόγος διατμήσεως α<sub>s</sub> των δοκών συζεύξεως (που θεωρούνται αμφιπακτες λόγω της μικρής-τους ακαμψίας συγκριτικά με την ακαμψία των τοιχωμάτων) είναι:

$$\alpha_s = \frac{M}{Vh} = \frac{V \cdot 1/2}{Vh} = \frac{1}{2h}$$

Ο Paulay [2], αναλόγως με την τιμή του λόγου διατμήσεως α<sub>s</sub>, κατατάσσει τις δοκούς συζεύξεως στις ακόλουθες κατηγορίες:

$\alpha_s \leq 0.50$	Κοντά στοιχεία
$0.50 < \alpha_s < 1.00$	Μεσαία στοιχεία
$1.00 \leq \alpha_s$	Κανονικές δοκοί

Για λόγους  $\alpha_s \geq 1.00$  ο Paulay θεωρεί δτι οι δοκοί συζεύξεως συμπεριφέρονται δπως οι αλασικές δοκοί.

## 1.2 ΜΗΧΑΝΙΣΜΟΙ ΑΝΑΛΗΨΕΩΣ ΤΕΜΝΟΥΣΑΣ ΠΡΙΝ ΚΑΙ ΜΕΤΑ ΑΠ' ΤΗ ΔΙΑΓΩΝΙΑ ΡΗΓΜΑΤΩΣΗ ΤΗΣ ΔΟΚΟΥ.

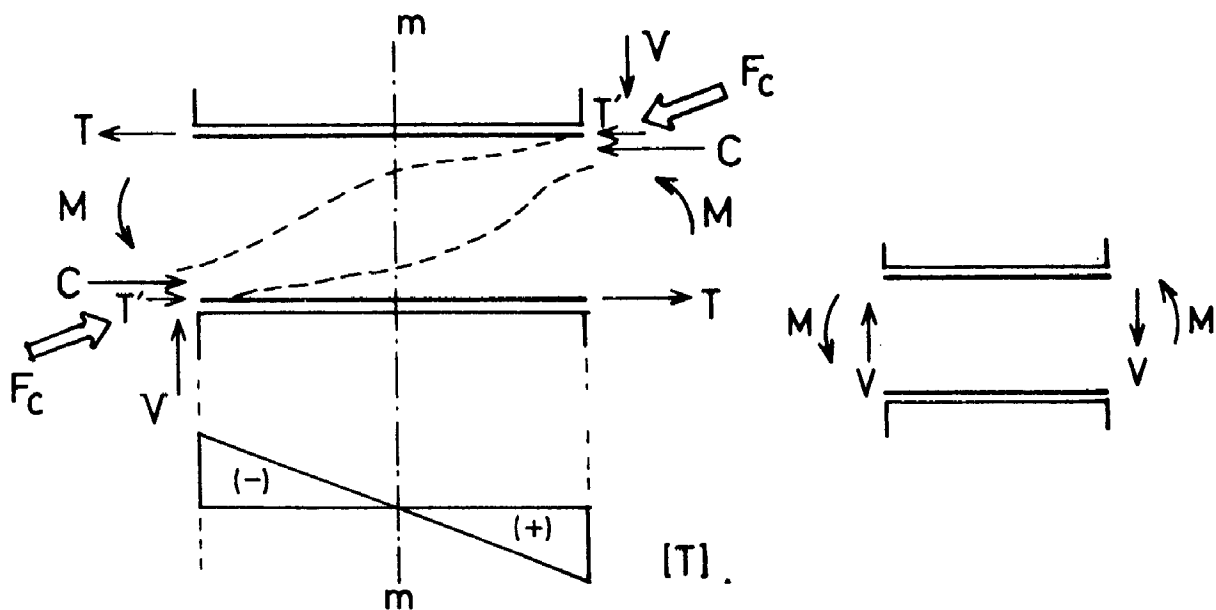
### 1.2.1 Πριν απ' την ρηγμάτωση.

Για μικρές στάθμες φορτίου, πριν απ' τον σχηματισμό σημαντικών διαγώνιων ρωγμών, η τέμνουσα δύναμη V και η θλιπτική δύναμη C λόγω κάμψεως μεταφέρονται στο σώμα της δοκού μέσω ενδιαγώνιου θλιπτήρα (βλ. Σχ. 1.2). Σαφής ενεργοποίηση του διαγώνιου θλιπτήρα γίνεται για λόγους διατμήσεως:  $\alpha_s \leq 0.75$  [4]. Ο τρόπος αυτός μεταφοράς δυνάμεων επιβεβαιώνεται κι απ' την μορφολογία ρηγματώσεως των δοκιμών (βλ. Σχ. 4.1-4.5).

Η μεταφορά της τέμνουσας στην ακραία διατομή - σε αλασικώς οπλισμένες δοκούς - απ' την στήριξη έως τον πρώτο συνδετήρα γίνεται μέσω της θλιβόμενης περιοχής του σκυροδέματος καθώς και μέσω των δράσεων βλήτρου των διαμήκων οπλισμών δταν ανοίξουν ρωγμές και συμβούν διατμητικές ολισθήσεις εγκαρσίως στον διαμήκη οπλισμό. Ετσι, ως μόνη συνήθης οδός μεταφοράς της τέμνουσας στην ακραία διατομή παραμένει η τριβή (εμπλοκή αδρανών) στη θλιβόμενη ζώνη, η οποία σημειωτέον έχει προ-ρηγματωθεί εφελκυστικώς (λόγω του ανακυκλιζόμενου χαρακτήρα της εντάσεως).

Πριν απ' τη διαγώνια ρηγμάτωση της δοκού, η κατανομή των δυνάμεων κατά μήκος των διαμήκων οπλισμών είναι δπως εκείνη που προβλέπει η αλασική θεωρία, λαμβανομένων υπόψη των επιβαλλόμενων M,V (βλ. Σχ. 1.2). Άλλωστε, η κατανομή αυτή έχει επιβεβαιωθεί και πειραματικώς για επιβαλλόμενα φορτία τέτοια που να προκαλούν τάσεις στους διαμήκεις οπλισμούς μικρότερες ή λισες περίπου με το 1/3 της τάσεως διαρροής-τους.

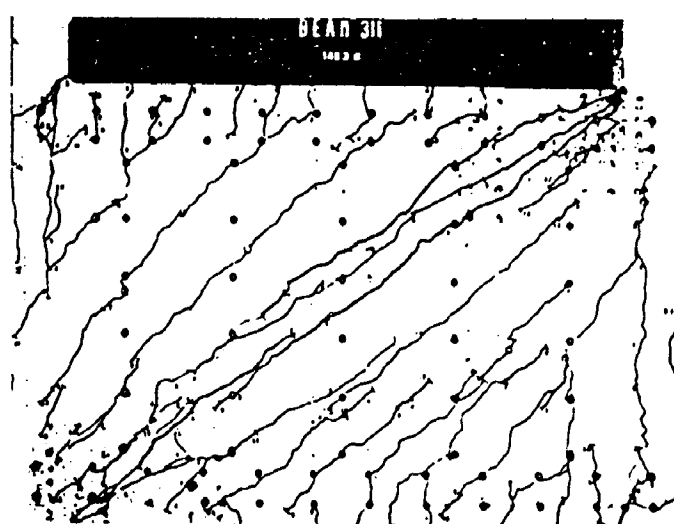
Για μεγαλύτερα δμως φορτία, ανοίγουν διαγώνιες ρωγμές και η κατανομή των δυνάμεων κατά μήκος των διαμήκων οπλισμών μεταβάλλεται (βλ. §1.2.2).



Σχ. 1.2: Μηχανισμός μεταφοράς δυνάμεων σε δοκό συζεύξεως πριν απ' την εμφάνιση διαγώνιων ρωγμών.

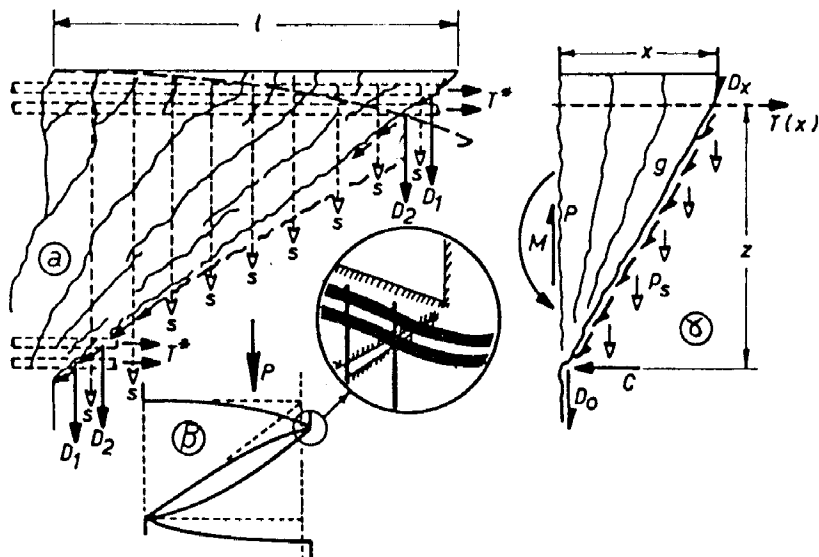
### 1.2.2 Μετά την διαγώνια ρηγμάτωση.

Μετά τον σχηματισμό διαγώνιων ρωγμών στο δοκίμιο (βλ. Σχ. 1.3), ενεργοποιούνται οι δυνάμεις βλήτρου των διαμήκων οπλισμών, καθώς και οι δυνάμεις εμπλοκής αδρανών κατά μήκος αυτών των ρωγμών.



Σχ. 1.3: Τυπική μορφολογία ρηγματώσεως δοκού συζεύξεως με λόγο διατμήσεως  $a_s \leq 0.75$  που έχει υποβληθεί σε μονοτονική φόρτιση [1].

Και τότε, η κατανομή των δυνάμεων κατά μήκος των διαμήκων οπλισμών παύει να είναι η προβλεπόμενη απ' την ικανοτητή ανάλυση (Σχ. 1.2). Η νέα κατανομή μπορεί να υπολογιστεί απ' την ισορροπία των δυνάμεων που ασκούνται κατά μήκος μιάς διαγώνιας ρωγμής.



Σχ. 1.4: Μηχανισμός διαγώνιας εφελκυστικής αστοχίας και εσωτερικές δυνάμεις [1].

Ανάμεσα απ' τις διάφορες θυσσανοειδείς διαγώνιες ρωγμές θεωρούμε μία η οποία εκτείνεται έως κάποιαν απόσταση  $x$  απ' την ακραία διατομή της δοκού. Αν "η" είναι το ποσοστό της τέμνουσας που αναλαμβάνουν οι συνδετήρες κατά μήκος της ρωγμής αυτής, και αν θεωρήσουμε γραμμική μεταβολή των δυνάμεων βλήτρου  $D$  κατά μήκος των οπλισμών τότε, αμελώντας τις δυνάμεις λόγω εμπλοκής αδρανών, προκύπτει δτι η δύναμη  $T$  των διαμήκων οπλισμών μεταβάλλεται κατά μήκος του στοιχείου ως εξής [1]:

$$T(x) = \frac{Vl}{2z} [1 - (0.10 + \eta) (\frac{x}{l})^2] = T_{\max} [1 - (0.10 + \eta) (\frac{x}{l})^2] \quad (II)$$

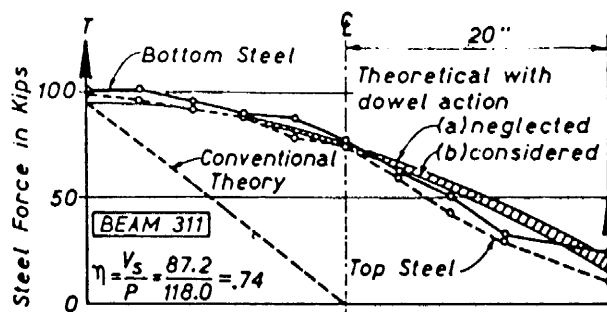
Ο παράγοντας 0.10 στην (II) εκφράζει προσεγγιστικά τη συνεισφορά του μηχανισμού βλήτρου στην ανάληψη της  $V$ .

Στο Σχ. 1.5α φαίνεται η κατανομή της  $T$  κατά μήκος του διαμήκους οπλισμού της δοκού του Σχ. 1.3 (με  $\alpha_s = 0.65$ ), η οποία υποβλήθηκε σε μονοτονική φόρτιση. Η κατανομή της  $T$  που προέκυψε

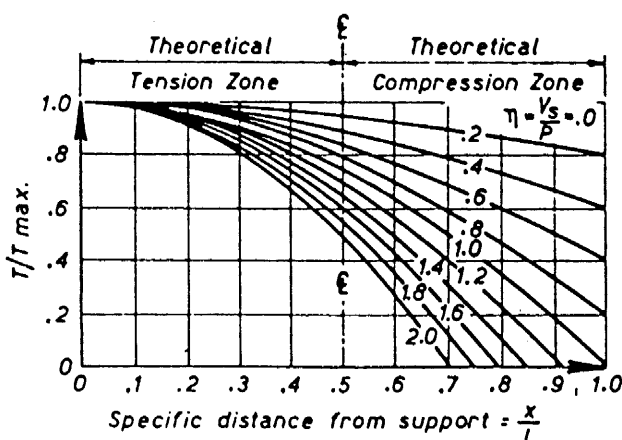
απ' το πείραμα συμπίπτει σχεδόν με εκείνη που υπολογίζεται απ' την εξίσωση (II) (συμβολίζεται με συνεχή γραμμή στο Σχ. 1.5α).

Η κατανομή της  $T$  που ισχύει στις αλασικές δοκούς σημειώνεται με διακεκομένη γραμμή στο Σχ. 1.5α, διαφέρει δε πολύ απ' την πραγματική. Αποδεικνύεται έτσι δτι, στην πραγματικότητα, οι διαμήκεις οπλισμοί των δοκών συζεύξεως εφελκύονται σε δύο το μήκος - ή στο μεγαλύτερο τμήμα-τους -, πράγμα που δεν μπορεί να προβλέψει η αλασική θεωρία.

Η μεταβολή της κατανομής της  $T$  που δίνεται απ' την εξίσωση (II) αν αμεληθεύει η δράση βλήτρου υποδηλώνεται απ' το διαγραμμισμένο τμήμα του Σχ. 1.5α. Όπως φαίνεται, η συμβολή των δυνάμεων βλήτρου επηρεάζει ελάχιστα την  $T(x)$ . Επομένως, κατά τη χρήση της εξ. (II), για απλούστευση, ο παράγοντας 0.10 που εκφράζει τις δράσεις βλήτρου, μπορεί ενδεχομένως να παραλείπεται.



- α -



- β -

Σχ. 1.5α: Θεωρητική και πειραματική κατανομή εφελκυστικών δυνάμεων κατά μήκος του οπλισμού κάμψεως.

β: Θεωρητική κατανομή εφελκυστικών δυνάμεων κατά μήκος του οπλισμού κάμψεως για διάφορες τιμές του  $\eta$ .

Στο Σχ. 1.5β παριστάνονται καμπύλες μεταβολής της  $T(x)$  για διάφορες τιμές της παραμέτρου  $\eta = V_s/P$ , δημοσιευτό της τέμνουσας που παραλαμβάνεται απ' τους συνδετήρες. Οι καμπύλες αυτές προέκυψαν απ' την εξ.(II) αμελώντας τη συνεισφορά των δράσεων βλήτρου.

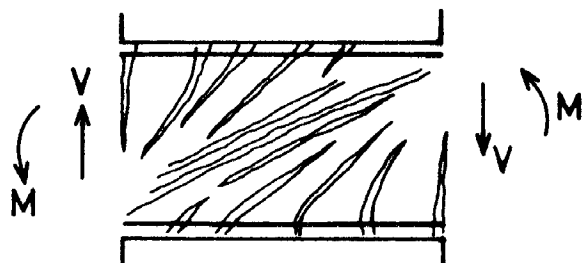
### 1.2.3 Μετά την γενίκευση της ρηγματώσεως

Οι θλιβόμενες ζώνες των ακραίων διατομών της δοκού αποδιοργανώνονται σχετικώς γρήγορα λόγω της σύνθετης εναλασσόμενης καταπονήσεως στην οποία υπόκεινται: θλίψη παρουσία μεγάλης τέμνουσας και διαδοχικώς, εφελκυσμός. Επί πλέον, μετά την εμφάνιση διαγώνιων ρωγμών, οι διαμήκεις οπλισμοί παύουν να συνεισφέρουν στην ανάληψη θλιπτικών δυνάμεων, διότι εφελκύονται καθόλο το μήκος τους, με αποτέλεσμα την επιβάρυνση της θλιβόμενης περιοχής του σκυροδέματος.

Η αποδιοργάνωση της θλιβόμενης ζώνης εντείνεται εξ άλλου απ' την ασυμβατότητα παραμορφώσεων των δύο τριγωνικών τμημάτων της δοκού (βλ. λεπτομέρεια γωνίας, Σχ. 1.4β).

Εξαιτίας της αποδιοργανώσεως του σκυροδέματος στη θλιβόμενη ζώνη των ακραίων διατομών, λόγω των ρωγμών ολισθήσεων (πρβλ. § 1.3.2), αλλά και λόγω της επεκτάσεως των υπολοίπων ρωγμών (βλ. Σχ. 1.6) μετά από ανακυκλίσεις σε μεγάλες στάθμες μετακινήσεων, παύει να λειτουργεί ο μηχανισμός του διαγώνιου θλιπτήρα.

Η τέμνουσα μεταφέρεται, κυρίως, με τον μηχανισμό δικτυώματος, μέσω των συνδετήρων και της εμπλοκής αδρανών κατά μήκος των ρωγμών, αλλ' ο μηχανισμός αυτός είναι πολύ εύκαμπτος.



Σχ. 1.6: Εικόνα γενικευμένης ρηγματώσεως δοκού συζεύξεως.

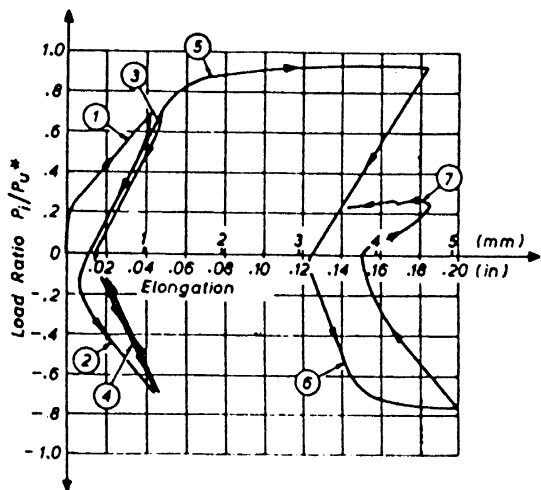
### 1.3 ΚΥΡΙΕΣ ΜΟΡΦΕΣ ΑΣΤΟΧΙΑΣ

#### 1.3.1 Διαγώνια\_εφελκυστική\_αστοχία

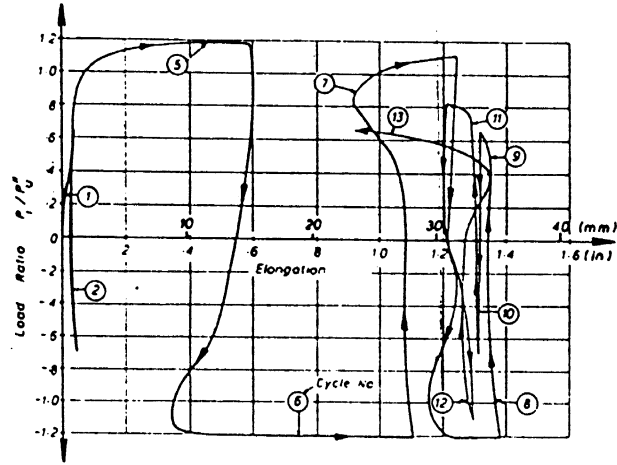
Δοκοί που είναι ανεπαρκώς οπλισμένες έναντι τέμνουσας, αστοχούν κατά μήκος διαγώνιων εφελκυστικών ρωγμών (diagonal tension failure). Όταν ο λόγος διατμήσεως " $\alpha_s$ " είναι μικρότερος του 0.75 [2], οι αρίστιμες διαγώνιες ρωγμές συμπίπτουν με τις κύριες διαγωνίους της δοκού (βλ. Σχ. 1.3). Για να αποφευχθεί η διαγώνια αστοχία θα πρέπει η τέμνουσα να παραλαμβάνεται εξ ολοκλήρου απ' τον οπλισμό διατμήσεως.

Σ' αυτόν τον τύπο αστοχίας η δοκός έχει την διάθεση να παραμορφωθεί δπως φαίνεται στο Σχ. 1.4β: Διατρέπεται σε δύο τριγωνικά τμήματα, εκατέρωθεν της αρίστιμης κυρίας διαγωνίου, παρατηρούμε δε δτι δλη η δοκός επιμηκύνεται. Η επιμήκυνση αυτή επιβεβαιώνεται και πειραματικά, οφείλεται δε στην διαπιστωθείσα καθολική εφελκυστική ένταση κατά μήκος των διαμήκων ράβδων (πρβλ. §1.2.2).

Στο Σχ. 1.7 φαίνονται επιμηκύνσεις δοκών συζεύξεως που μετρήθηκαν πειραματικά [4]. Παρατηρείται δτι οι επιμηκύνσεις της αλασικής οπλισμένης δοκού (Σχ. 1.7α) είναι πολύ μικρότερες συγκριτικά με τις αντίστοιχες της διαγωνίως οπλισμένης δοκού



- α -



- β -

Σχ. 1.7: Επιμήκυνση δοκών συζεύξεως [4]

α. με αλασική δπλιση

β. με δισδιαγώνιο οπλισμό.

(Σχ. 1.7β). Στην περίπτωση της διαγωνώς οπλισμένης δοκού η επιμήκυνση σταματάει μετά την έναρξη λυγισμού των διαγωνών ράβδων (για ημικύκλους  $n > 10$  στο Σχ. 1.7β, πρβλ. §1.3.3).

Με την αύξηση του επιβαλλόμενου φορτίου και των μετακινήσεων, μεγαλώνει το εύρος της κρίσιμης διαγώνιας ρωγμής, με αποτέλεσμα να μειώνεται η συνεισφορά του σκυροδέματος στην ανάληψη της τέμνουσας (λόγω μειωμένης δράσεως της εμπλοκής αδρανών).

Αυτό έχει ως συνέπεια τη μείωση της φέρουσας ικανότητας της δοκού κατά μήκος των διαγωνών και οδηγεί, τελικώς, σε διαγώνια εφελκυστική αστοχία.

### **1.3.2 Αστοχία λόγω διατμητικής ολισθήσεως**

Ο τύπος αυτός αστοχίας εμφανίζεται στις ακραίες διατομές δταν η δοκός είναι μεν επαρκώς οπλισμένη έναντι διατμήσεως (οπότε έχει αποτραπεί ο κίνδυνος διαγώνιας εφελκυστικής αστοχίας), συντρέχουν δε συνθήκες που σχολιάζονται περαιτέρω.

Για μεγάλες τιμές επιβαλλόμενου φορτίου και μετακινήσεως, αποδιοργανώνεται η θλιβόμενη περιοχή των ακραίων διατομών της δοκού, λόγω της ανακυκλιζόμενης εκτάσεως και του εφελκυσμού των διαμήκων οπλισμών σε δλο το μήκος τους (πρβλ. § 1.2.3).

Μετά τη διαρροή του διαμήκους οπλισμού από εφελκυσμό, εμφανίζονται παραμένουσες παραμορφώσεις στον χάλυβα, οι οποίες εμποδίζουν το κλείσιμο των υπαρχουσών ρωγμών κατά την αντιστροφή του φορτίου. Ετσι, με την επιβολή τέμνουσας αντίθετης φοράς δεν υπάρχει επαφή μεταξύ των αδρανών στην ακραία διατομή και επομένως απαιτούνται σημαντικές διατμητικές ολισθήσεις κατά την καταδρυψη διεύθυνση ώστε να έρθουν σε επαφή οι παρειές της ρωγμής και να αναλάβουν τέμνουσα. Με την αύξηση του επιβαλλόμενου φορτίου, το εύρος των ρωγμών αυξάνεται λόγω της επιμήκυνσεως της δοκού (βλ. Σχ. 1.7) με αποτέλεσμα να απαιτούνται ακόμα μεγαλύτερες ολισθήσεις στην ακραία διατομή για την ανάληψη τέμνουσας. Τελικώς, η ακραία διατομή ολισθαίνει ολδικληρη (shear sliding failure) – βλ. Σχ. 1.8 –

Οι δυνάμεις βλήτρου του διαμήκους οπλισμού στην ακραία διατομή ενεργοποιούνται μετά την εμφάνιση διατμητικών ολισθήσεων. Η συνεισφορά-τους δύμως στην ανάληψη της τέμνουσας δεν είναι μεγάλη και δεν μπορούν να αποτρέψουν την διατμητική ολίσθηση.



Σχ. 1.8: Αστοχία λόγω διατμητικής ολισθήσεως και διαγώνιας θλίψεως [3].

Οπως φαίνεται απ' την περιγραφή του τρόπου αυτού αστοχίας, η αστοχία λόγω διατμητικής ολισθήσεως στην ακραία διατομή δεν μπορεί να αποτραπεί με αύξηση του ποσοστού συνδετήρων στην δοκό.

Ο Paulay [3] για την αποφυγή της αστοχίας λόγω ολισθήσεως προτείνει την πύκνωση των συνδετήρων στα άκρα της δοκού. Δοκός στην οποία εφαρμόστηκε αυτό εμφάνισε αύξηση της πλαστιμότητας και αστόχησε τελικώς στη θλιβόμενη περιοχή της ακραίας διατομής λόγω διαγώνιας θλίψης μεγάλης αλίσης.

Κινέζοι ερευνητές [7] καταλήγουν στο συμπέρασμα ότι δταν απαιτούνται μεγάλα ποσοστά οπλισμού διατμήσεως δεν μπορεί να αποτραπεί η αστοχία λόγω διατμητικής ολισθήσεως. Πράγματι, στην περίπτωση αυτή η αντοχή σε τέμνουσα εξαρτάται απ' την φέρουσα ικανότητα του σκυροδέματος, επομένως απ' την θλιπτική αντοχή του σκυροδέματος και απ' τις διαστάσεις της διατομής. Άρα, για να αποφευχθεί η αστοχία λόγω διατμητικής ολισθήσεως θα πρέπει οι διαστάσεις της διατομής να ικανοποιούν την σχέση [7]:

$$k \cdot V \leq 0.15 f_{cb} \cdot b \cdot d_{ef} \quad (\text{III})$$

δπου:  $K$  : συντελεστής ασφάλειας για στοιχεία που καταπονούνται σε διάτημηση και ο οποίος στην Κίνα λαμβάνεται ίσος με  $k = 1,55$ .

$f_{cb}$  : πρισματική θλιπτική αντοχή του σκυροδέματος.

$b, d_{ef}$ : πλάτος και ενεργό ύψος της διατομής, αντιστοίχως.

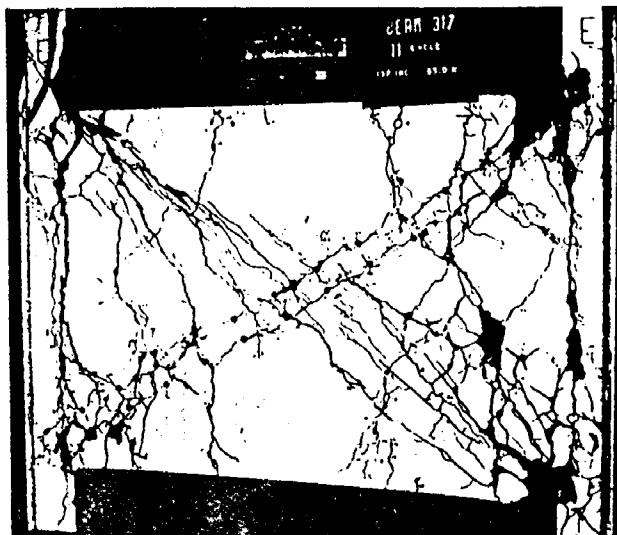
### 1.3.3 Αστοχία λόγω λυγισμού των διαγώνιων οπλισμών.

Η διπλιση δοιών συζεύξεως με δισδιαγώνιους οπλισμούς εμφανίζει μια ιδιαιτερότητα έναντι του ηλασικού τρόπου οπλίσεως: το κύριο μέρος των εξωτερικών δυνάμεων μεταφέρεται μέσω του χάλυβα παρά μέσω του σκυροδέματος. Η συμπεριφορά των δοιών αυτών κυβερνάται απ' τα διαγώνια στοιχεία οπλισμού που θα πρέπει να είναι εξίσου αποτελεσματικά σε θλίψη και σε εφελκυσμό.

Πριν απ' τον σχηματισμό διαγωνίων ρωγμών μεγάλου εύρους, η θλιπτική δύναμη κατά μήκος του διαγώνιου θλιπτήρα αναλαμβάνεται απ' το σκυρόδεμα και απ' τον χάλυβα [4]. Μετά την επέκταση διμώς των ρωγμών, και μετά την εφελκυστική διαρροή των διαγωνίων ράβδων, οι παραμένουσες παραμορφώσεις των οπλισμών εμποδίζουν το ηλείσιμο των διαγωνίων ρωγμών κατά την αντιστροφή της φορτίσεως. Εποιητικά, την θλίψη της διαγωνίου, το σκυρόδεμα δεν συμμετέχει στην ανάληψη θλιπτικών δυνάμεων οι οποίες μεταφέρονται αποκλειστικά μέσω των διαγωνίων οπλισμών. Το σκυρόδεμα αρχίζει να μεταφέρει πάλι θλιπτικές δυνάμεις μόνον μετά την διαρροή σε θλίψη των διαγωνίων οπλισμών (οπότε βεβαίως συμβαίνουν ανεξέλεγκτες θλιπτικές παραμορφώσεις στον χάλυβα).

Μετά την εκδήλωση λυγισμού των διαγωνίων οπλισμών, η δοιός δεν μπορεί να αναλάβει μεγαλύτερο φορτίο. Εξακολουθεί διμώς να αναλαμβάνει φορτίο διότι, κατά την αντιστροφή της φορτίσεως, οι ράβδοι που είχαν υποστεί λυγισμό ευθυγραμμίζονται κάπως λόγω του εφελκυσμού.

Όμως, ο λυγισμός (και, διαδοχικώς, το ζισιωμα των ράβδων) καταστρέφει το σκυρόδεμα στις γωνίες της δοιού (βλ. Σχ. 1.9). Με την πρόοδο των ανακυκλίσεων παρέχεται δόλο και λιγότερη πλευρική συγκράτιση των διαγωνίων ράβδων απ' το σκυρόδεμα, έως δτου επέλθει αστοχία της δοιού.



Σχ. 1.9: Αστοχία δοκού συζεύξεως με δισδιαγώνιους οπλισμούς [4].

Για να εξασφαλιστεί η καλή συμπεριφορά των δοκών με δισδιαγώνιους οπλισμούς είναι απαραίτητη η καλή αγκύρωση των διαγώνιων ράβδων στα γειτονικά τοιχώματα, καθώς και η επιβράδυνση εκδηλώσεως του λυγισμού-τους (μέσω πυκνών συνδετήρων).

#### 1.4 ΑΔΥΝΑΜΙΑ ΤΗΣ ΚΛΑΣΙΚΗΣ ΑΝΑΛΥΣΕΩΣ BERNoulli-NAVIER ΝΑ ΠΕΡΙΓΡΑΦΕΙ ΤΗ ΣΥΜΠΕΡΙΦΟΡΑ ΤΩΝ ΔΟΚΩΝ ΣΥΖΕΥΞΕΩΣ ( $\alpha_s < 1.00$ )

Όπως περιγράφηκε και στα προηγούμενα, η ιδιαιτερότητα στη συμπεριφορά των δοκών συζεύξεως για μικρούς λόγους διατμήσεως ( $\alpha_s \leq 1.00$ ) οφείλεται στο διότι δεν ισχύει η επιπεδότητα των διατομών. Αυτό συμβαίνει σε δλα τα στοιχεία με μικρό λόγο διατμήσεως στα οποία κυριαρχεί η τέμνουσα (λ.χ. κοντά υποστυλώματα).

Αποδείχθηκε ήδη διότι στις δοκούς συζεύξεως, μετά την διαγώνια ρηγμάτωση οι διαμήκεις οπλισμοί υπόκεινται σε εφελκυσμό σε δλο το μήκος-τους (πρβλ. §1.2.2). Το γεγονός αυτό, σε συνδυασμό με τη γρήγορη αποδιοργάνωση των θλιβόμενων περιοχών των ακραίων διατομών (πρβλ. §1.2.3), έχει ως συνέπεια ο μοχλοβραχίονας των συνιστωσών των εσωτερικών δυνάμεων να είναι μικρότερος απ' τον αντίστοιχο μιάς κλασικής δοκού με τα ίδια χαρακτηριστικά.

διατομής. Το φαινόμενο αυτό γίνεται εντονότερο με την ανακυκλι-  
ζόμενη φόρτιση.

Από μετρήσεις βρέθηκε [3] ότι μετά την επέκταση των  
διαγωνών ρωγμών, και κοντά στο φορτίο αστοχίας, ο μοχλοβραχίο-  
νας των εσωτερικών δυνάμεων μπορεί να είναι έως και 60% του  
ενεργού ύψους διατομής:  $d_{ef}$ .

Έχει παρατηρηθεί επίσης ότι, γενικώς, οι ιλασικώς οπλι-  
σμένες δοκοί δεν φτάνουν την θεωρητική ροπή υπολογισμού-τους  
διότι προηγουμένως αστοχούν λόγω υπερβολικής παραμορφώσεως  
ή λόγω θραύσεως του σκυροδέματος [2], [5].

Πειράματα έχουν δείξει [2] ότι, μετά από ανακυκλίσεις  
σε μεγάλες στάθμες φορτίου, η ιαμπτική αντοχή που επιτυχάνεται  
είναι μόνον γύρω στα 85% αυτής που προβλέπει η ιλασική ανάλυση.  
Η μείωση αυτή της ιαμπτικής αντοχής αποδίδεται στη μείωση του  
μοχλοβραχίονα των εσωτερικών δυνάμεων.

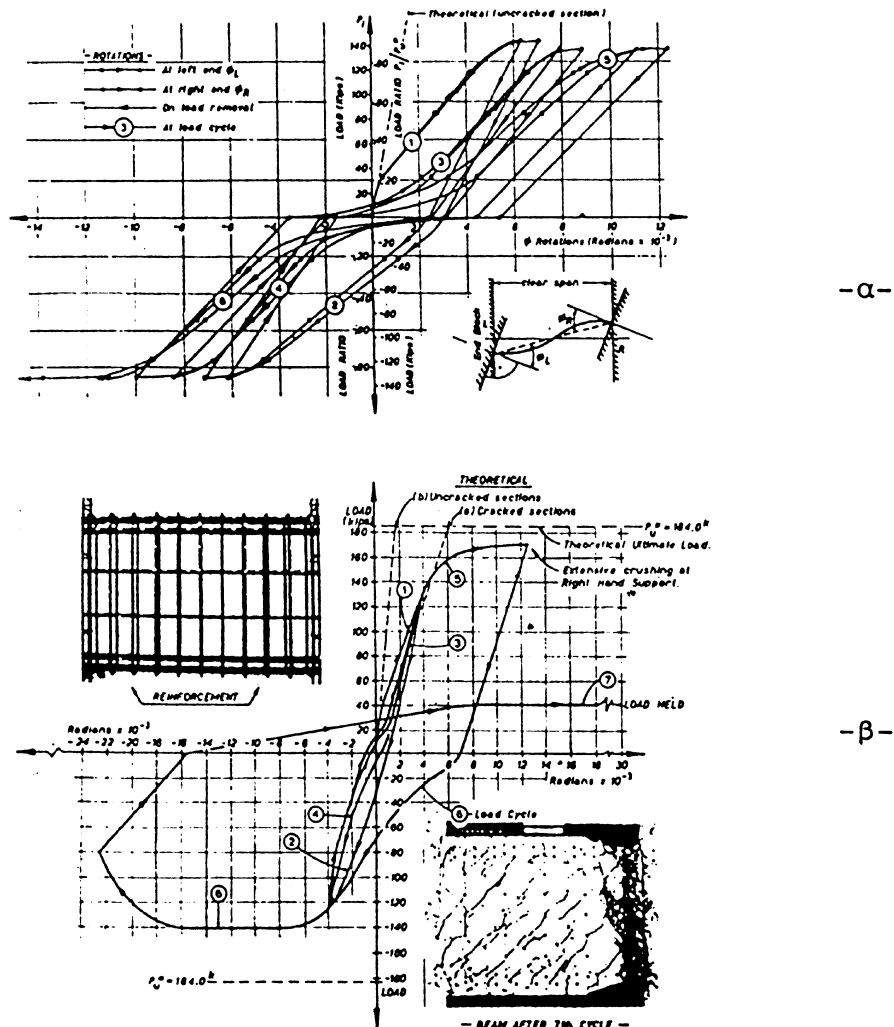
#### 1.5 ΕΠΙΡΡΟΗ ΤΗΣ ΑΝΑΚΥΚΛΙΖΟΜΕΝΗΣ ΦΟΡΤΙΣΕΩΣ ΣΤΗΝ ΑΚΑΜΨΙΑ ΤΩΝ ΔΟΓΩΝ ΣΥΖΕΥΞΕΩΣ.

Σε ιλασικά οπλισμένες δοκούς συζεύξεως, μετά τη διαγώνια  
ρηγμάτωση παρατηρείται σημαντική μείωση της ακαμψίας-τους.

Μετά από αξιολόγηση πειραμάτων αποτελεσμάτων ιλασικώς  
οπλισμένων δοκών συζεύξεως ο Paulay κατέληξε στο συμπέρασμα ότι  
η τελική ακαμψία ρηγματωμένης δοκού είναι περίπου 1ση με το  
20% της θεωρητικής ακαμψίας της αρηγμάτωτης δοκού [3], [2].

Στο Σχ. 1.10 φαίνονται οι καμπύλες επιβαλλόμενου φορτίου-  
στροφών ιλασικώς οπλισμένων δοκών συζεύξεως με διαφορετικά  
ποσοστά διατμητικού οπλισμού. Με διακεκομένη γραμμή σημειώνεται  
η θεωρητική ελαστική ακαμψία  $K_{el}$  των δοκών.

Στο Σχ. 1.11 παριστάνεται η μεταβολή της ακαμψίας της  
δοκού του Σχ. 1.10α συναρτήσει του επιβαλλόμενου φορτίου, για  
τους διάφορους κύκλους φορτίσεως.



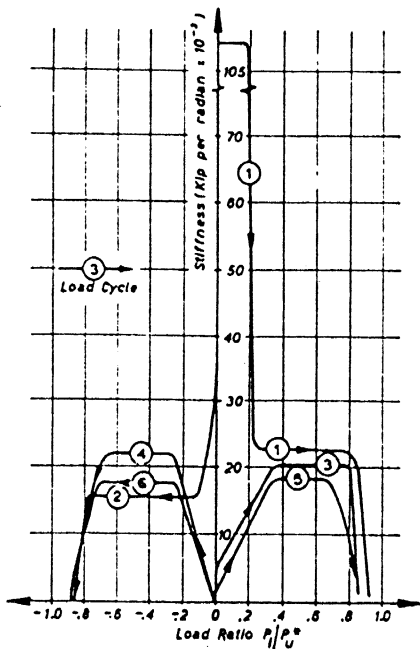
Σχ. 1.10: Διαγράμματα V-1/r κλασικώς οπλισμένων δοκών συζεύξεως

[2]

- α. με ανεπαρκές ποσοστό συνδετήρων
- β. με επαρκείς συνδετήρες.

Παρατηρείται δτι μετά τη διαγώνια ρηγμάτωση ( $n = 1$ ), η ακαμψία μειώνεται περίπου κατά 80% της αρχικής-της τιμής. Στους επόμενους κύκλους φορτίσεως για μικρά επιβαλλόμενα φορτία η ακαμψία έχει σχεδόν μηδενική τιμή. Η ακαμψία της δοκού αυξάνεται με την αύξηση του φορτίου, και φτάνει στη μέγιστη τιμή-της για  $V_i/V_u \approx 0.30$ .

Η σημασία αυτής της γρήγορης "ευκαμπτοποιήσεως" των δοκών συζεύξεως είναι μεγάλη διότι έτσι, μέσα στο υπερστατικό συζευγμένο τοίχωμα, θα παραλαμβάνουν πολύ μικρές ροπές και, επομένως, θα "ανακουφίζουν" πολύ λίγο τα συζευγνυθμένα τοιχώματα.



Σχ. 1.11: Μεταβολή της ακαμψίας σε ανακυκλιζόμενη φόρτιση (δοκός Σχ. 1.10α) [2]

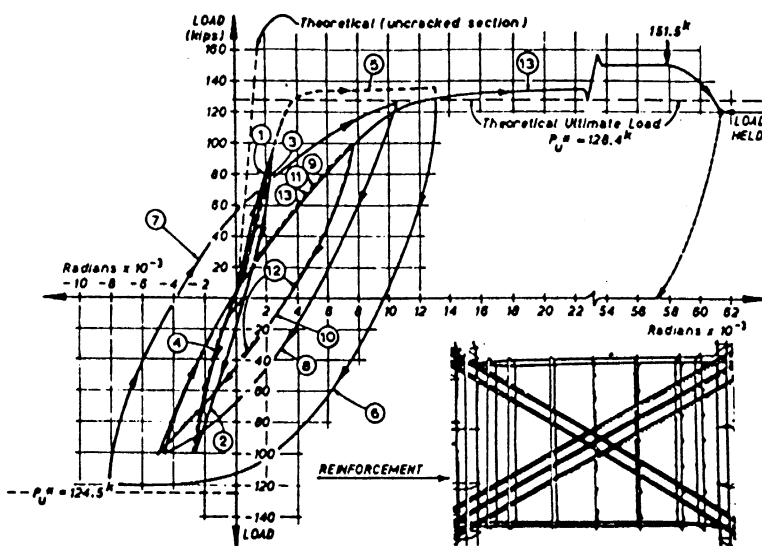
Η μειωμένη τιμή της ακαμψίας, που παρατηρείται για μικρές στάθμες επιβαλλόμενου φορτίου, εντείνεται με την πάροδο των ανακυκλίσεων. Οφείλεται στη διαρροή των συνδετήρων μετά το άνοιγμα μεγάλων ρωγμών. Κατά την αντιστροφή της φορτίσεως για να ενεργοποιηθεί ο μηχανισμός του διαγώνιου θλιπτήρα θα πρέπει πρώτα να κλείσουν οι ρωγμές που έχουν ανοίξει στον προηγούμενο κύκλο. Για τον σκοπό αυτό απαιτούνται μικρά μόνον φορτία με, συγκριτικώς, μεγάλες στροφές. Μετά το κλείσιμο των ρωγμών αρχίζει να αυξάνεται πάλι η ακαμψία της δοκού (κράτυνση).

Η μείωση της ακαμψίας για μικρά φορτία παρατηρείται κι απ' τη στένωση που εμφανίζουν οι βρόχοι υστερήσεως στο μέσον -τους. Η στένωση αυτή είναι πολύ εντονότερη στην περίπτωση της δοκού με ανεπαρκείς συνδετήρες (Σχ. 1.10α) απ' δύτι στη δοκό με επαρκείς συνδετήρες (Σχ. 1.10β). Αυτό είναι αναμενόμενο, διότι για μικρά ποσοστά οπλισμού διατηρήσεως μετά την διαγώνια ρηγμάτωση δύναται οι συνδετήρες διαρρέουν, οπότε δεν μπορούν να συμβάλλουν πλέον στον περιορισμό του εύρους των ρωγμών.

Η μορφή του βρόχου υστερήσεως του Σχ. 1.10α ("στένωση" pinching) είναι χαρακτηριστική των στοιχείων που συμπεριφέρονται

διατμητικά και έχουν μικρή υκανδτητα απορροφήσεως ενέργειας.

Η συμπεριφορά των δοκών συζεύξεως που είναι οπλισμένες με δισδιαγώνιους οπλισμούς καθορίζεται υψηλώς, απ' τους διαγώνιους οπλισμούς και δχι τόσο απ' το σκυρόδεμα (πρβλ. § 1.3.3). Ετσι η ακαμψία-τους είναι ανεξάρτητη της ρηγματώσεως του σκυροδέματος. Τα διαγράμματα φορτίου - μετακινήσεων των δοκών αυτών



Σχ. 1.12: Τυπικό διάγραμμα V-φ δοκού συζεύξεως με δισδιαγώνιο οπλισμό [2].

θυμίζουν αντίστοιχα διαγράμματα στοιχείων από χάλυβα [4], [6] και δεν εμφανίζουν στένωση στο μέσον του βρόχου (βλ. Σχ. 1.12). Απότομη μείωση της ακαμψίας των δοκών αυτών εμφανίζεται μετά τον λυγισμό των διαγωνίων ράβδων του οπλισμού.

Μια μεθοδολογία υπολογισμού της μειωμένης ακαμψίας των δοκών συζεύξεως λόγω ρηγματώσεως, σε περίπτωση μονοτονικής φορτίσεως, προτείνεται από τον Paulay [1]. Δέχεται δτι οι σημαντικότεροι εσωτερικοί μηχανισμοί που προκαλούν παραμορφώσεις σε ρηγματωμένη δοκό συζεύξεως, κατά σειρά σπουδαιότητας, είναι οι παρακάτω:

- (1) Μεταφορά τέμνουσας μέσω του μηχανισμού δικτυώματος και αντίστοιχες διατμητικές παραμορφώσεις.
- (2) Θλίψη κατά μήκος της υψηλής διαγωνίου λόγω του μηχανισμού θλιπτήρα (τδξου).

- (3) Κάμψη και αντίστοιχες στροφές.
- (4) Δυνάμεις λόγω του οπλισμού κάμψεως και αντίστοιχη επιμήκυνση της δοκού.

## 1.6 ΠΛΑΣΤΙΜΟΤΗΤΑ ΤΩΝ ΔΟΚΩΝ ΣΥΖΕΥΞΕΩΣ

Απ' τις παρατηρήσεις των μέχρι σήμερα διεξαχθεισών ερευνών μπορούν να εξαχθούν ορισμένα ποιοτικά συμπεράσματα για τους παράγοντες που επηρεάζουν την πλαστιμότητα των δοκών συζεύξεως. Ποσοτικές συγκρίσεις, δημος, μεταξύ των δεικτών πλαστιμότητας που υπολογίζονται δεν μπορούν να γίνουν. Κι' αυτό, γιατί ο τρόπος υπολογισμού των δεικτών πλαστιμότητας μετακινήσεων ή στροφών, διαφέρει στις διάφορες πειραματικές εργασίες.

Για την επίτευξη μεγάλης πλαστιμότητας στις δοκούς συζεύξεως πρέπει, κατά το σχεδιασμό-τους, να επιδιώκεται κομποδιατμητική και δχι διατμητική αστοχία. Η δοκός πρέπει να οπλίζεται, δηλαδή, ισχυρώς έναντι τέμνουσας και ασθενέστερα έναντι κάμψεως.

Η διαρροή των συνδετήρων θα πρέπει να αποφεύγεται και, οπωσδήποτε, να έπεται της διαρροής του οπλισμού κάμψεως. Κι αυτό διότι οι συνδετήρες, προτού διαρρεύσουν, συμβάλλουν στην αύξηση της αντοχής του σκυροδέματος λόγω περισφρίξεως, καθώς και στον περιορισμό του εύρους των ρωγμών. Η αύξηση, δημος, του οπλισμού διατμήσεως πέρα από ένα ορισμένο ποσοστό δεν βελτιώνει περαιτέρω τη συμπεριφορά της δοκού, αλλ' οδηγεί μάλλον σε σπατάλη οπλισμού.

Κατά τον σχεδιασμό των δοκών συζεύξεως θα πρέπει να αποφεύγεται η διαγώνια εφελκυστική αστοχία η οποία είναι ψαθυρή. Για να επιτευχθεί αυτό, η τέμνουσα αστοχίας θα πρέπει να μπορεί να παραληφθεί εξ ολοκλήρου απ' τον οπλισμό διατμήσεως [2], [5], (πρβλ. §1.3.1). Θα πρέπει να αγνοούνται, δηλαδή, η συνεισφορά του σκυροδέματος και η δράση βλήτρου στην ανάληψη της τέμνουσας.

Επίσης, θα πρέπει να επιδιώκεται η αποφυγή της αστοχίας λόγω διατμητικής ολισθήσεως των ακραίων διατομών (πρβλ. §1.3.2)

η οποία είναι κι αυτή ψαθυρής μορφής. Για την αποφυγή-της και για αύξηση του δείκτη πλαστιμότητας προτείνεται αύξηση της περισφέργεως στις περιοχές των στηρίξεων της δοκού [3].

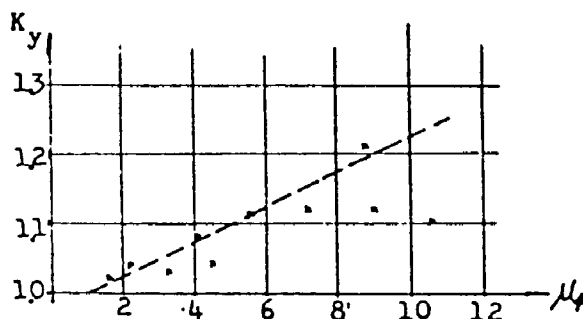
Ένας έμμεσος δείκτης εκτιμήσεως της διαθέσιμης πλαστιμότητας στροφών που εισάγεται στη βιβλιογραφία [5] είναι ο λόγος  $K_y$ :

$$K_y = \frac{\text{Φορτίο αστοχίας}}{\text{Φορτίο διαρροής}} \quad (\text{failure yield ratio})$$

Όσο μεγαλύτερη τιμή έχει ο  $K_y$ , τόσο μεγαλύτερη δυνατότητα αναλήψεως φορτίου και μετακινήσεων έχει η δοκός αφότου διαρρεύουν οι καμπτικοί οπλισμοί. Η αύξηση του φορτίου που αναλαμβάνει το στοιχείο μετά τη διαρροή των οπλισμών οφείλεται στην ιράτωση του χάλυβα (εάν την διαθέτει).

Για τιμές  $K_y < 1,20$  θεωρείται πιθανή η διατμητική αστοχία της δοκού. Για πολύ μεγάλες τιμές του  $K_y$  γίνεται σπατάλη οπλισμού χωρίς ανάλογη βελτίωση της πλαστιμότητας της δοκού.

Από πειραματικά αποτελέσματα σε δοκίμια από ελαφροσκυρόδεμα προέκυψε η συσχέτιση  $K_y - \mu_\phi$  που φαίνεται στο Σχ. 1.13.

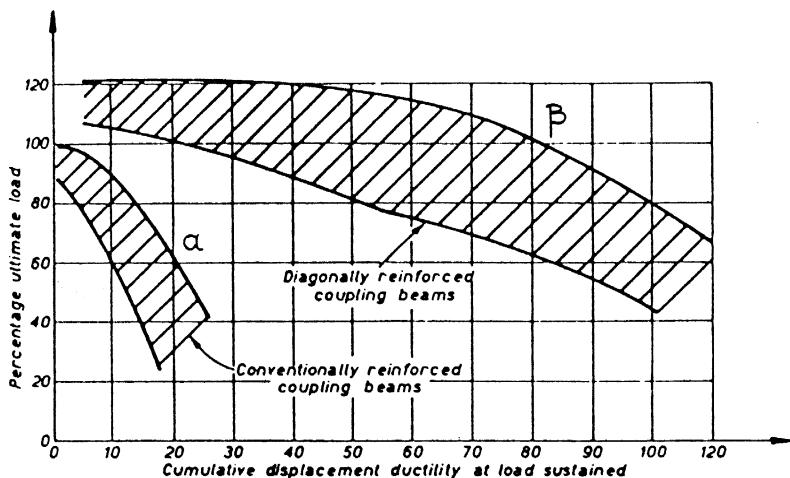


Σχ. 1.13: Μεταβολή του λόγου  $K_y$  του φορτίου αστοχίας προς το φορτίο διαρροής, συναρτήσει του δείκτη πλαστιμότητας στροφών [5].

Γενικώς, ο ιλασικός τρόπος οπλίσεως των δοκών συζεύγεως κρίνεται δτι παρέχει ανεπαρκή πλαστιμότητα, ιδίως για λόγους διατμήσεως  $\alpha_s < 0.75$  [9], και γι' αυτό πρέπει να αποφεύγεται.

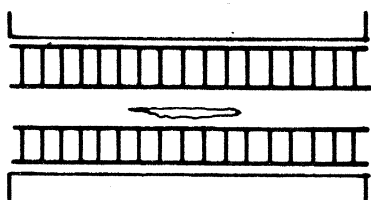
Η δπλιση με δισδιαγώνιους οπλισμούς θεωρείται ως η πλέον αποτελεσματική για την αύξηση της πλαστιμότητας των δοκών συζεύξεως.

Στο Σχ. 1.14 φαίνεται η θεαματική αύξηση του δείκτη αθροιστικής πλαστιμότητας διαγωνώς οπλισμένης δοκού συζεύξεως συγκριτικά με ιλασικώς οπλισμένην (η έννοια του δείκτη αθροιστικής πλαστιμότητας εξηγείται στην §7.2).



Σχ. 1.14: Μεταβολή του δείκτη αθροιστικής πλαστιμότητας σύναρτησει του φορτίου για δοκούς συζεύξεως α) ιλασικώς οπλισμένες και β) διαγωνώς οπλισμένες.

Τέλος, Κινέζοι ερευνητές [5], από πειράματα σε δοκίμια από ελαφροσκυρόδεμα παρατήρησαν δτι η τεχνητή μείωση του λόγου διατμήσεως δοκών συζεύξεως με την δημιουργία ρωγμής στο μέσον-τους (βλ. Σχ. 1.15) οδήγησε σε αύξηση της πλαστιμότητας.



Σχ. 1.15: Τεχνητή μείωση του λόγου διατμήσεως δοκού συζεύξεως με τη δημιουργία ρωγμής στο μέσον-της [5].

## 1.7 ΕΠΙΔΡΑΣΗ ΤΩΝ ΧΑΡΑΚΤΗΡΙΣΤΙΚΩΝ ΤΩΝ ΔΟΚΩΝ ΣΥΖΕΥΞΕΩΣ ΣΤΗ ΣΥΜΠΕΡΙΦΟΡΑ ΤΟΥ ΣΥΣΤΗΜΑΤΟΣ ΤΩΝ ΣΥΖΕΥΓΜΕΝΩΝ ΤΟΙΧΩΜΑΤΩΝ

Σ' αυτό εδώ το κεφάλαιο αναπτύσσεται εκτενέστερα η επίδραση των δοκών συζεύξεως στην συνολική συμπεριφορά του συστήματος των συζευγμένων τοιχωμάτων.

Όπως έχει αναφερθεί και προηγουμένως (πρβλ. § 1.1), οι δοκοί συζεύξεως μεταφέρουν τέμνουσες δυνάμεις στα εκατέρωθεν τοιχώματα. Το άθροισμα των τεμνουσών δυνάμεων στο κάθε τοίχωμα δίνει μία αξονική δύναμη  $T$ , θλιπτική ή εφελκυστική, αναλόγως με την φορά της επιβαλλόμενης οριζόντιας δυνάμεως (βλ. Σχ. 1.1).

Ο πλήρης μηχανισμός διαρροής ενός συζευγμένου τοιχώματος θεωρείται δτι ενεργοποιείται μετά την εμφάνιση πλαστικών αρθρώσεων στα άκρα των δοκών καθώς και στις βάσεις των τοιχωμάτων.

Για την εκμετάλλευση δλης της διαθέσιμης αντοχής του συστήματος των συζευγμένων τοιχωμάτων θα πρέπει οι δοκοί συζεύξεως να έχουν τη δυνατότητα μεγάλων παραμορφώσεων χωρίς σημαντική απώλεια της αποκρίσεως-τους, ώστε να επιτρέπουν εντωμεταξύ την πλαστικοποίηση δλων των δοκών αλλά και των βάσεων-τους. Ετσι, ένας σωστός σχεδιασμός πρέπει να εξασφαλίζει μια σχεδόν ταυτόχρονη εξάντληση της αντοχής των δοκών και των τοιχωμάτων.

Για τον σκοπόν αυτόν, βασική-μας απαίτηση είναι οι δοκοί συζεύξεως να έχουν μεγάλη ικανότητα καταναλώσεως ενέργειας, η δε αναλισκόμενη ενέργεια να εκτείνεται σε δλο το ύψος του συστήματος και να μην περιορίζεται μόνον κοντά στη βάση των τοιχωμάτων.

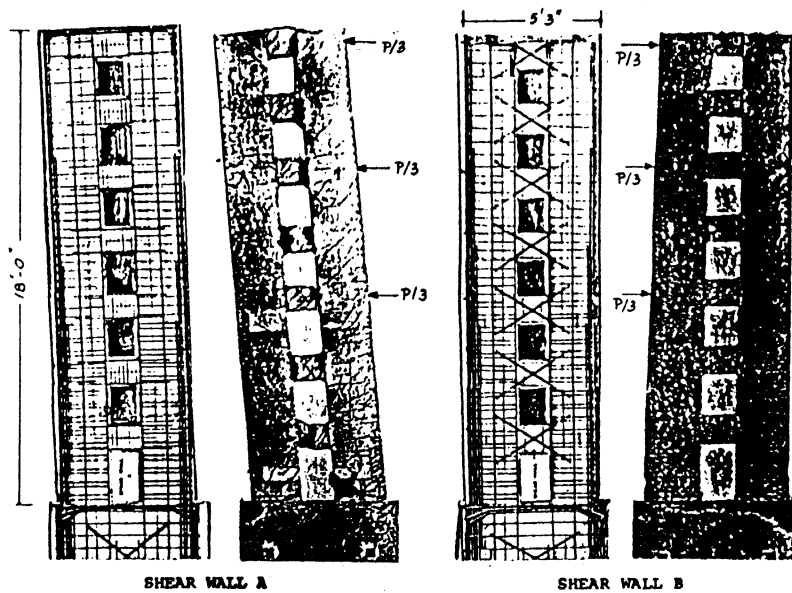
### 1.7.1 Τρόπος οπλίσεως των δοκών συζεύξεως

Η επίδραση του τρόπου οπλίσεως των δοκών συζεύξεως στη συμπεριφορά του συστήματος των συζευγμένων τοιχωμάτων διερευνήθηκε πειραματικώς από τους Paulay-Santhakumar [9], [10]. Δοκιμάστηκαν δύο 7δροφα συστήματα συζευγμένων τοιχωμάτων, σε κλίμακα 1:4. Στο ένα (A) οι δοκοί συζεύξεως ήσαν κλασικώς οπλισμένες,

ενώ στο άλλο (B) είχαν οπλιστεί με δισδιαγώνιους οπλισμούς (βλ. Σχ. 1.16). Επεβλήθη ανακυκλιζόμενη φόρτιση στις στάθμες που φαίνονται στο Σχ. 1.16.

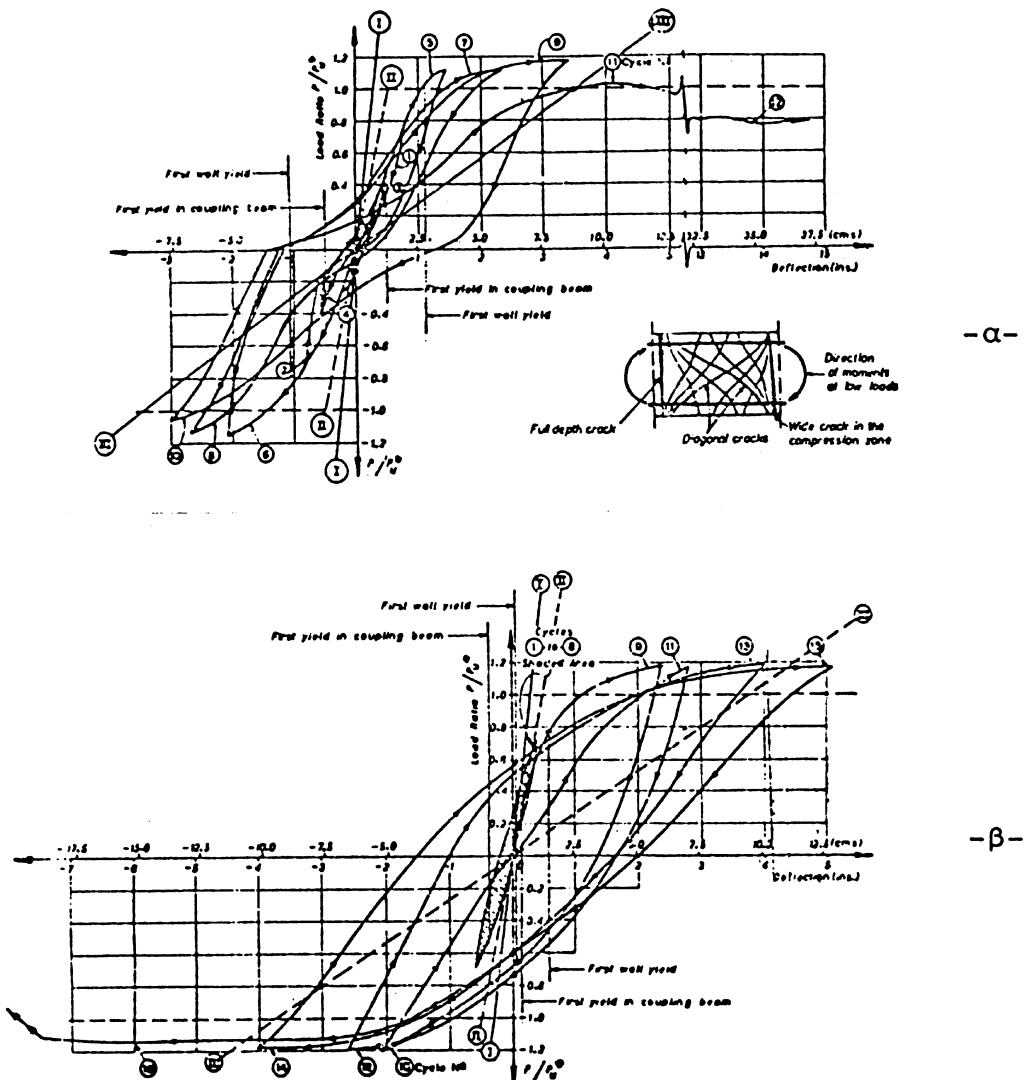
Το σύστημα A αστόχησε στη θλιβόμενη περιοχή του εφελκυδμενού τοιχώματος ενώ, το σύστημα B αστόχησε λόγω λυγισμού των οπλισμών στο θλιβόμενο τοίχωμα ο οποίος προκλήθηκε από κατασκευαστικές ατέλειες.

Οι ακασικώς οπλισμένες δοκοί του συστήματος A αστόχησαν στα άκρα λόγω διατμητικής ολισθήσεως (βλ. Σχ. 1.16) (η διαγώνια αστοχία αποφεύχθηκε διότι οι συνδετήρες είχαν σχεδιαστεί ώστε να αναλαμβάνουν δλη την τέμνουσα.). Οι δοκοί με δισδιαγώνιο οπλισμό (B), αν και ο οπλισμός-τους διέρρευσε σημαντικά, εμφάνισαν πολύ μικρότερη ρηγμάτωση και μικρότερες παραμορφώσεις απ' τις δοκούς με ακασική δόπλιση.



Σχ. 1.16: Τρόπος οπλίσεως και μορφολογία ρηγματώσεως τοιχωμάτων A και B [10].

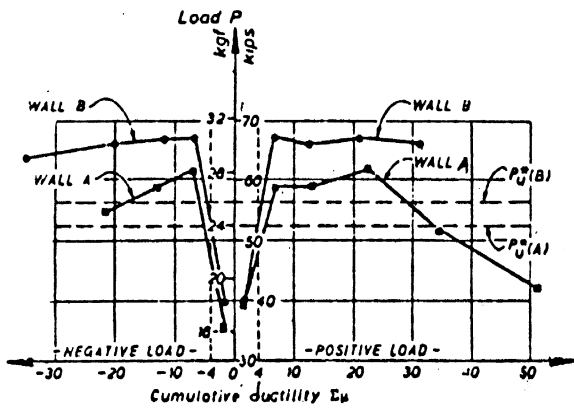
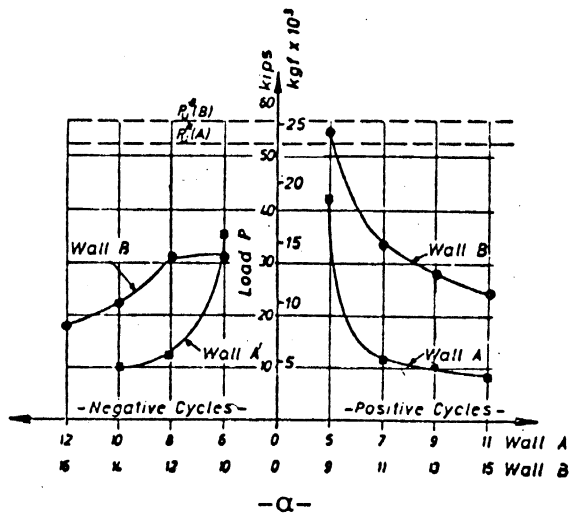
Στο Σχ. 1.17 φαίνονται τα διαγράμματα φορτίου-μετακινήσεως κορυφής των δύο συστημάτων. Απ' την μορφή των βρόχων υστερήσεως είναι εμφανής η πιο πλάστιμη συμπεριφορά του συστήματος B με τις δισδιαγωνίως οπλισμένες δοκούς.



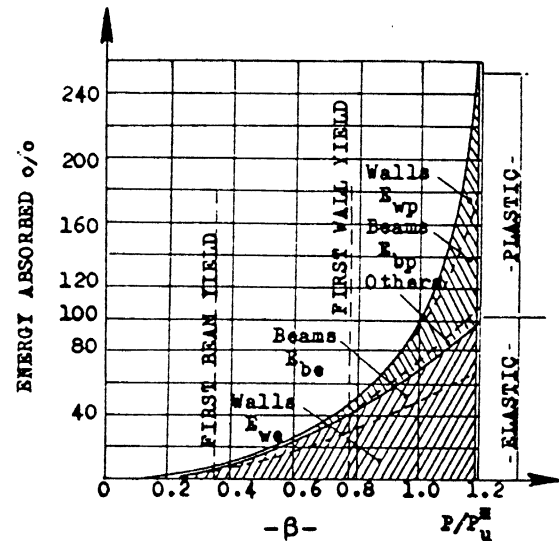
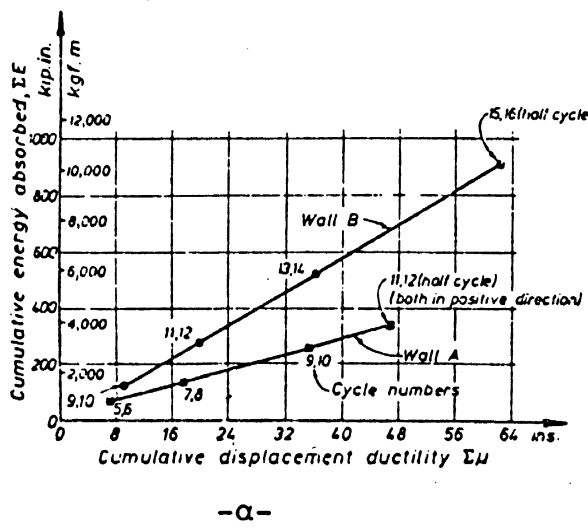
Σχ. 1.17: Διαγράμματα φορτίου-μετακινήσεως κορυφής συστημάτων συζευγμένων τοιχωμάτων.

- κλασικώς οπλισμένες δοκοί συζεύξεως
- δοκοί συζεύξεως με δισδιαγώνιο οπλισμό

Επίσης, το σύστημα Β εμφάνισε μεγαλύτερη υκανδτητα αναλήψεως φορτίου απ' δ, τι το σύστημα Α (βλ. Σχ. 1.18α), μικρότερη μείωση αποκρίσεως συναρτήσει των μετακινήσεων (Σχ. 1.18β), καθώς και μεγαλύτερη υκανδτητα απορροφήσεως ενέργειας (βλ. Σχ. 1.19α).



- Σχ. 1.18α: Φορτίο που ανέλαβαν τα συστήματα A, B συναρτήσει του πλήθους των ημικύκλων φορτίσεως για μετακίνηση κορυφής ίση με τη διπλάσια θεωρητική μετακίνηση διαρροής.
- β: Μεταβολή του φορτίου συναρτήσει της αθροιστικής πλαστιμότητας μετακίνησεων.



- Σχ. 1.19α: Σύγκριση της απορροφούμενης ενέργειας των συστημάτων A, B, συναρτήσει της αθροιστικής πλαστιμότητας μετακίνησεων.
- β: Ποσοστά αναλισκόμενης ενέργειας δοκών και τοιχωμάτων στο σύστημα B, κατά τον κύκλο  $n = 9$ .

Στο Σχ. 1.19β φαίνονται τα ποσοστά απορροφούμενης ενέργειας του συστήματος B: Με  $E_{be}$ ,  $E_{we}$  συμβολίζεται η ελαστική ενέργεια και με  $E_{bp}$ ,  $E_{wp}$  η πλαστική ενέργεια των δοκών και των τοιχωμάτων, αντιστοίχως. Ενδεικτικά αναφέρεται ότι για

τιμές φορτίου μέχρι 1.10 της θεωρητικής αντοχής του συστήματος, το μεγαλύτερο ποσό ενέργειας καταναλωνόταν απ' τις δοκούς συζεύξεω -  $E_{bp}$  - και δχι απ' τα τοιχώματα -  $E_{wp}$  -.

Είναι εμφανής λοιπόν η συνεισφορά των δοκών συζεύξεως στην κατανάλωση ενέργειας στο σύστημα.

Δεδομένου ότι τα δύο συστήματα A και B διέφεραν μόνον κατά τον τρόπο οπλίσεως των δοκών συζεύξεως, η καλύτερη συμπεριφορά του συστήματος B αποδίδεται στην βελτιωμένη συμπεριφορά των δισδιαγωνών οπλισμένων δοκών συζεύξεως έναντι των αλασικών οπλισμένων δοκών του A.

### **1.7.2 Βαθμός\_συζεύξεως\_δοκών-τοιχωμάτων**

Η επιρροή του βαθμού συζεύξεως των τοιχωμάτων μέσω των δοκών (ασθενής ή ισχυρή σύζευξη) εξετάστηκε πειραματικά [11] μέσω βορδφου συστήματος συζευγμένων τοιχωμάτων σε αλίμακα 1:3. Οι δοκοί συζεύξεως ήσαν αλασικώς οπλισμένες.

Ως βαθμός συζεύξεως θεωρήθηκε το ποσοστό της ροπής αντοχής στη βάση του συστήματος το οποίο οφείλεται στις αξονικές δυνάμεις Τ των τοιχωμάτων. (Οι δυνάμεις Τ αναπτύσσονται λόγω των δοκών συζεύξεως - πρβλ. §1.1 -).

Κατά την πρώτη δοκιμή οι δοκοί συζεύξεως ήσαν ασθενείς συγκριτικά με τα τοιχώματα (το "ποσοστό συζεύξεως" εκτιμήθηκε περίπου 11%). Οι δοκοί διέρρευσαν πολύ γρήγορα, με αποτέλεσμα να απαιτούντο μεγάλοι δείκτες πλαστιμότητας για την διαρροή του οπλισμού των τοιχωμάτων και την ενεργοποίηση του πλήρους μηχανισμού αστοχίας (δημιουργία πλαστικών αρθρώσεων στα δικρατων δοκών και στις βάσεις των τοιχωμάτων). Μετά την πάροδο μικρού αριθμού ανακυκλίσεων οι δοκοί συμπεριφέρονταν απλώς ως "αξονικοί σύνδεσμοι" των τοιχωμάτων χωρίς σημαντική ικανότητα μεταφοράς τεμνουσών δυνάμεων. Στην περίπτωση αυτή η συνολική αντοχή του συστήματος καθορίστηκε απ' την πλαστιμότητα των δοκών.

Η δοκιμή επαναλήφθηκε μετά απ' την επισκευή και την ενίσχυση των δοκών (ποσοστό επιτευχθείσας συζεύξεως περίπου 30%). Παρατηρήθηκε μείωση της πλαστικής λειτουργίας του συστήματος, αύξηση της συνολικής ακαμψίας, καθώς και σημαντική αύξηση του

φορτίου διαρροής των δοκών. (Καί στις δύο περιπτώσεις η διαρροή των δοκών ξεκίνησε απ' τους υψηλότερους ορόφους, τελευταία δε διέρρευσε η δοκός της πρώτης στάθμης). Στην περίπτωση "ισχυρών" δοκών συζεύξεως, ιρίσιμη για την αντοχή του συστήματος ήταν η πλαστιμότητα των τοιχωμάτων.

Παρατηρήθηκε ακόμη δτι στην περίπτωση ασθενών δοκών συζεύξεως η αξονική δύναμη  $T$  (βλ. Σχ. 1.1) που αναπτύχθηκε στα τοιχώματα, λόγω των τεμνουσών δυνάμεων των δοκών, δεν επηρέασε την συμπεριφορά των τοιχωμάτων. Ενώ στις ισχυρές δοκούς, δπου μεταβιβάζονται μεγάλες τέμνουσες και η δύναμη  $T$  είναι μεγάλη, βρέθηκε δτι η αντοχή των τοιχωμάτων ήταν μειωμένη συγκριτικά με τοιχώματα δπου η αξονική δύναμη είναι μηδέν.

Ετσι, για την καλή συμπεριφορά ενδς συστήματος συζευγμένων τοιχωμάτων επιδιώκεται η σύνδεση μέσω δοκών συζεύξεως να είναι αρκετά ισχυρή ώστε να επιτυγχάνεται η συνεργασία των τοιχωμάτων (αποφυγή πλαισιακής λειτουργίας) δχι δμως και υπερβολικά ισχυρή γιατί τότε επιβαρύνονται πολύ τα τοιχώματα με δυσμενείς επιπτώσεις για την συνολική συμπεριφορά του συστήματος.

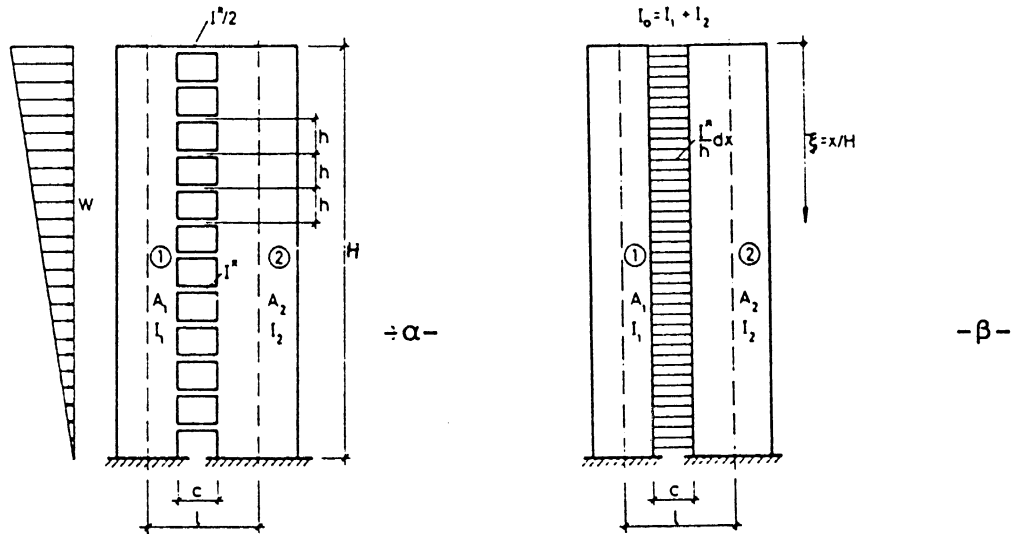
### **1.7.3 Εκτίμηση αλληλεπιδράσεως δοκών-τοιχωμάτων μέσω θεωρητικού προσσομοιώματος.**

Για την επίλυση των συζευγμένων τοιχωμάτων χρησιμοποιείται συνήθως η μέθοδος "διανεμημένης ακαμψίας" (laminar method of analysis). Στη μέθοδο αυτή τα ανοίγματα καθύψος υποκαθίστανται από απειρωστές ελαστικές στρώσεις ισοδύναμης ακαμψίας (βλ. Σχ. 1.20β). Η αναλογία αυτή επιτρέπει την αντιμετώπιση του προβλήματος μέσω μίας διαφορικής εξισώσεως (1), απ' την επίλυση της οποίας προκύπτουν οι ζητούμενες εσωτερικές δυνάμεις, ροπές και μετακινήσεις ως συνεχής συνάρτηση της αποστάσεως απ' την αρχή του κατακόρυφου άξονα.

$$\frac{d^2T}{dx^2} - \beta^2 T + \gamma H^2 M_0 = 0 \quad (1)$$

δπου  $T$ : η συνάρτηση της άγνωστης αξονικής που δρα στο τοίχωμα.  
 $M_0$ : η ροπή του προβόλου που προέρχεται απ' τα εξωτερικά φορτία δλης της κατασκευής.

$$\xi = \frac{x}{H}, \quad \beta^2 = H^2 \left( \frac{1}{I_0} + \frac{1}{A_1} + \frac{1}{A_2} \right) \frac{12 I^*}{h c^3}, \quad \gamma = \frac{12 I^*}{h c^3 I_0}$$



Σχ. 1.20 α: Χαρακτηριστικά συζευγμένου τοιχώματος.

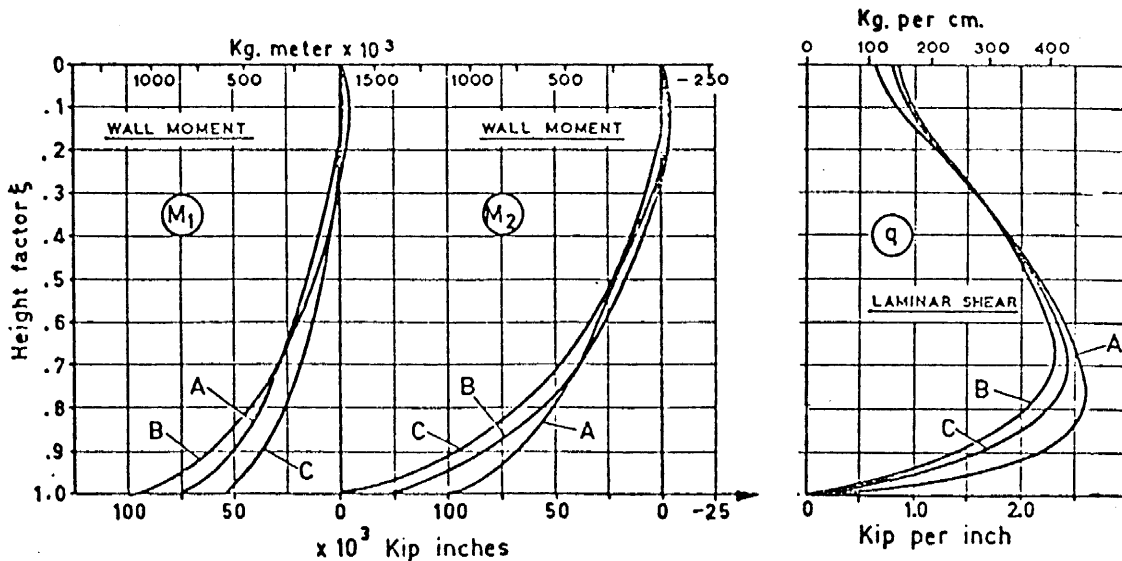
β: Προσωμοίωμα του συζευγμένου τοιχώματος με διανεμημένη ακαμψία.

Η ανάλυση αυτή προϋποθέτει ελαστικές συνθήκες και είναι κατάλληλη για τον υπολογισμό πολυωρδφων κατασκευών στις οποίες οι μόνες πλευρικές δυνάμεις που μπορεί να ασκηθούν οφείλονται σε ανεμοποιέσεις.

Σε περίπτωση δύμας σεισμού, η ρηγμάτωση των δοκών και των τοιχωμάτων οδηγεί σε μείωση της ακαμψίας τους. Στο Σχ. 1.21 φαίνονται οι μεταβολές της κατανομής των εντατικών μεγεθών που προκύπτουν αν στην εξ.(1) χρησιμοποιηθούν μειωμένες τιμές της ροπής αδράνειας των στοιχείων.

Για τον υπολογισμό των εντατικών μεγεθών και των παραμορφώσεων συστήματος συζευγμένων τοιχωμάτων που υπόκειται σε μεγάλες τιμές πλευρικού φορτίου η εξίσωση 1 λύνεται προσεγγιστικά με διάφορες μεθόδους. Μιά απ'τις πιο γνωστές είναι του Paulay [7] ο οποίος επιλύει την (1) βήμα προς βήμα θεωρώντας, διαδοχικά τα παρακάτω στάδια φορτίσεως της κατασκευής.

- 1.- Ελαστική συμπεριφορά.
- 2.- Διαρροή της πλέον αρίστιμης δοκού.



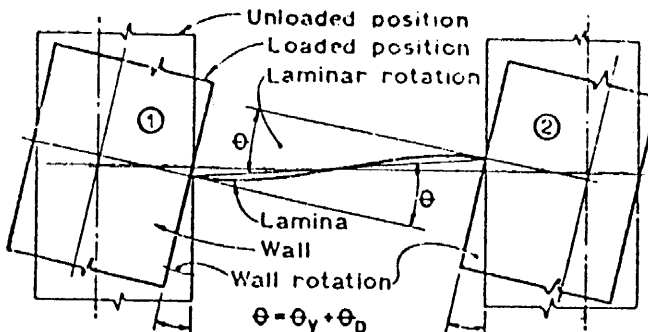
Σχ. 1.21: Μεταβολή της τέμνουσας ροπών των δοκών και των ροπών  $M_1$ ,  $M_2$  των τοιχωμάτων, καθύψος του συστήματος [7].

A: αρηγμάτωτες διατομές

B: ρηγμάτωση των δοκών συζεύξεως

C: ρηγμάτωση των δοκών συζεύξεως και του τοιχώματος 1.

- 3.- Διαρροή δλων των δοκών συζεύξεως. Τα τοιχώματα εξακολουθούν να συμπεριφέρονται ελαστικά.
- 4.- Εξάντληση της αντοχής του τοιχώματος 1 που βρέσκεται υπό εφελκυσμό.
- 5.- Εξάντληση της αντοχής του τοιχώματος 2 που βρέσκεται υπό θλίψη.



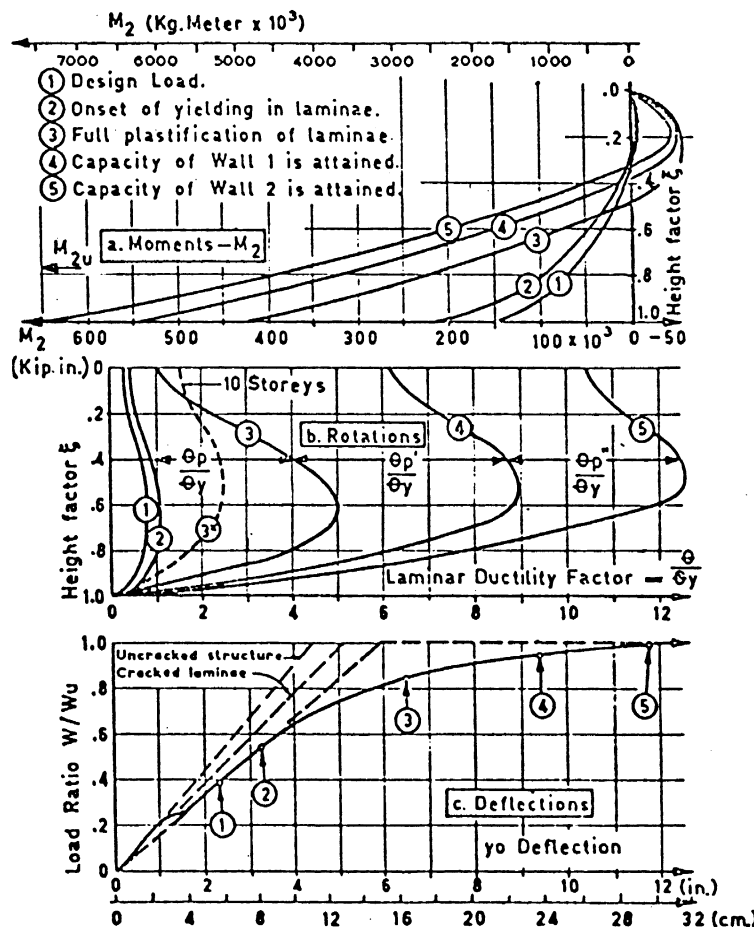
Σχ. 1.22: Στροφές μιάς στρώσης ή μιάς δοκού συζεύξεως [7].

Για τα 5 αυτά στάδια φορτίσεως υπολογίζονται οι κατανομές ροπών του τοιχώματος 2 και στροφών των δοκών καθύψος ενδεικτικού συζευγμένου τοιχώματος (βλ. Σχ. 1.23).

Η μεταβολή των στροφών των στρώσεων δίνεται ως λόγος των πλαστικών στροφών  $\theta_p$  που υπολογίζονται, προς την στροφή  $\theta_y$  που αντιστοιχεί στην διαρροή. Ετσι το διάγραμμα του Σχ. 1.23β εκφράζει τον συντελεστή πλαστιμότητας στροφών των στρώσεων (δοκών συζεύξεως).

Παρατηρείται δτι την μεγαλύτερη απαίτηση σε πλαστιμότητα την έχουν οι δοκοί στο μέσον του ύψους της κατασκευής. Ετσι, για τον συγκεκριμένο πυρήνα, για να εξαντληθεί η αντοχή και των δύο τοιχωμάτων - στάδιο 5 - η δοκός συζεύξεως στο μέσον του ύψους θα πρέπει να έχει πλαστιμότητα στροφών ίση με 12.

Αν απαιτηθεί ο υπόψη πυρήνας να έχει έναν συνολικό δείκτη πλαστιμότητας μετακινήσεων ίσο με 4, τότε η αντίστοιχη μετακίνη-



Σχ. 1.23: Αποτελέσματα ελαστοπλαστικής αναλύσεως ενός 18ορόφου συζευγμένου τοιχώματος [7].

- Καθύψος κατανομή των ροπών του τοιχώματος 2.
- Καθύψος κατανομή των πλαστικών στροφών των δοκών.
- Μεταβολή του πλευρικού φορτίου συναρτήσει των μετακινήσεων της κορυφής.

ση κορυφής θα είναι 64 cm (βλ. Σχ. 1.23γ) και ο αντίστοιχος δείκτης πλαστιμότητας στροφών της αρίσιμης δοκού συζεύξεως θα είναι 27:

Ετσι γίνεται σαφές πόσο μεγάλη πλαστιμότητα δοκών συζεύξεως απαιτείται προκειμένου να καταστήσει το δλον σύστημα επαρκώς πλάστιμον.

Βεβαίως, οδηγηθήκαμε σ' αυτά τα αποτελέσματα θεωρώντας ότι δλες οι δοκοί είχαν ιδία αντοχή. Αυτό είχε ως συνέπεια να απαιτούνται μεγάλες πλαστικές στροφές της δοκού στο μέσον του ύψους ώστε να γίνει δυνατή η αστοχία της δοκού στην κορυφή.

Ετσι, η απαίτηση πλαστιμότητας των δοκών μπορεί να μειωθεί σημαντικά αν η υπολογιστική αντοχή των δοκών συζεύξεως μεταβάλλεται καθύψος του τοιχώματος κατά τρόπον ανάλογο με την μεταβολή της τέμνουσσας φ που αναπτύσσεται στις δοκούς (βλ. Σχ. 1.21).

---

2. ΧΑΡΑΚΤΗΡΙΣΤΙΚΑ ΔΟΚΙΜΙΩΝ ΚΑΙ ΠΕΙΡΑΜΑΤΙΚΗΣ ΔΙΑΤΑΞΕΩΣ ΣΤΗΝ ΠΑΡΟΥΣΑ ΕΡΕΥΝΑ

---

Στόχος της έρευνας αυτής ήταν η διερεύνηση της συμπεριφοράς δοκών συζεύξεως τοιχωμάτων υποβαλλόμενων σε ανακυκλιζόμενη φόρτιση. Ειδικότερα, είχαμε σκοπό να συγκρίνουμε διαφορετικούς τρόπους οπλίσεως, μερικοί απ' τους οποίους δεν έχουν ξαναερευνηθεί.

Οι παράμετροι που εξετάστηκαν ήσαν α) ο τρόπος οπλίσεως και β) ο λόγος διατμήσεως  $\alpha_s = M/V \cdot h = 1/2h$ .

Κατασκευάστηκαν 10 δοκίμια που χωρίζονταν ανά 5 σε δύο ομάδες: Τα δοκίμια της ομάδας A είχαν λόγο διατμήσεως  $\alpha_s = 0.50$  ενώ της ομάδας B είχαν  $\alpha_s = 0.83$ .

Η επιλογή αυτών των λόγων διατμήσεως έγινε με κριτήριο τις παρατηρήσεις διαφοροποίησης της συμπεριφοράς δοκών με λόγους διατμήσεως  $\alpha_s < 0.75$  εμφανίζουν εντονότερη διαφοροποίηση της συμπεριφοράς-τους συγκριτικά με τις αλασικές δοκούς, λόγω της αυξημένης επιρροής της διατμήσεως, ενώ για  $\alpha_s > 1.0 \div 1.5$  οι δοκοί συζεύξεως συμπεριφέρονται δπως οι αλασικές δοκοί.

Εξετάστηκαν 5 διαφορετικοί τρόποι οπλίσεως στις ομάδες A, B (βλ. Πιν. 2.1).

Λεπτομέρειες των τρόπων οπλίσεως καθώς και σχέδια και φωτογραφίες των οπλισμών φαίνονται στην 1η ' Εκθεση Προόδου (πρβλ. § 3.2).

Πίνακας 2.1: Διαστάσεις και τρόπος οπλίσεως  
των δοκιμών της παρούσας έρευνας.

Κωδικός Αριθμός Δοκιμών	Διάταξη οπλισμών	L (mm)	H (mm)	t (mm)
CB-1A		500	500	130
CB-1B		500	300	130
CB-2A		500	500	130
CB-2B		500	300	130
CB-3A		500	500	130
CB-3B		500	300	130
CB-4A		500	500	130
CB-4B		500	300	130
CB-5A		500	500	130
CB-5B		500	300	130

#### Συμβολισμοί ονοματολογίας

CB: δοκός συνδέσεως

1: αλασική όπλιση

2: δισδιαγώνιες "χρυφοκολώνες"

3: χιαστί οπλισμοί στις πακτώσεις

4: "βλήτρα-σφιγκτήρες" σε όλο το μήκος  
της δοκού

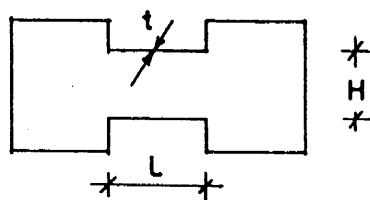
5: κοντά-βλήτρα στις πακτώσεις

A: δοκίμιο με  $\alpha_s = 0.50$  ( $L/H = 1$ )

B: δοκίμιο με  $\alpha_s = 0.83$  ( $L/H = 1.67$ )

επομένως,

το δύνομα κάθε δοκιμήσου φανερώνει τον  
τρόπο οπλίσεως του και τον λόγο δια-  
τμήσεως της δοκού ( $\alpha_s = L/2H$ )



Συνολικό πλήθος δοκιμών: 10

(κατασκευάσθηκε και ένα δοκιμαστικό  
ομοίωμα).

## 2.1 ΥΔΙΚΑ ΚΑΤΑΣΚΕΥΗΣ

### 2.1.1 Σκυρόδεμα

Για τον έλεγχο των αντοχών ελήφθησαν κύβοι διαστάσεων 200 mm. Για το κάθε δοκίμιο θραύσθηκαν 3 κύβοι μετά πάροδο 28 ημερών απ' την σκυροδέτηση (βλ. 1η 'Εκθεση Προδόου) και 3 κύβοι την ημέρα εκτελέσεως του πειράματος. Για τον υπολογισμό της θλιπτικής αντοχής του σκυροδέματος χρησιμοποιούνται οι αντοχές των κύβων την ημέρα του πειράματος, αφού πολλαπλασιαστούν επί 0,85 για να αναχθούν σε ισοδύναμη κυλινδρική αντοχή (βλ. πίνακα 2.2).

Πίνακας 2.2 - Αντοχές σκυροδέματος δοκιμών

Δοκίμιο (1)	Αντοχή κύβου [kg/cm <sup>2</sup> ] (2)	Ισοδ. κυλινδρική αντοχή:(2)X0,85 (3) [MPa]
CB-1A	386	32,8
CB-1B	388	33,0
CB-2A	335	28,5
CB-2B	310	26,3
CB-3A	373	31,7
CB-3B	398	33,8
CB-4A	351	29,8
CB-4B	375	31,9
CB-5A	380	32,3
CB-5B	390	33,1

Λεπτομέρειες για την σκυροδέτηση των δοκιμών αναφέρονται στην 1η 'Εκθεση Προδόου (§ 3.2.4).

### 2.1.2 Χάλυβας

Για τον προσδιορισμό των τάσεων διαρροής και θραύσεως των οπλισμών έγιναν δοκιμές για δλες τις διαμέτρους των ράβδων που χρησιμοποιήθηκαν (μηχανή AMSLER-LAFFON). Για τις μετρήσεις

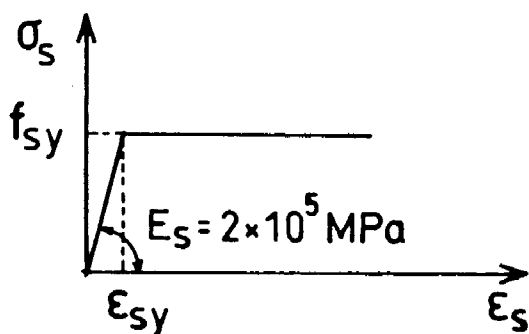
των παραμορφώσεων χρησιμοποιήθηκε μηκυνσιδμετρό HUGENBERGER TENSOMETER. Τα αποτελέσματα των δοκιμών φαίνονται στον Πίνακα 2.3.

Πίνακας 2.3 – Χαρακτηριστικά ράβδων οπλισμού

Διάμετρος ράβδου [mm]	Τάση διαρροής [MPa]	Τάση θραύσεως [MPa]	Παραμόρφωση διαρροής [ο/οο]
20	450	745	2,2
18	453	724	2,2
14	451	692	2,2
12	484	771	2,4
10	504	764	2,5
8	296	407	1,5
6	281	380	1,4

$E_s = 2 \times 10^5 \text{ MPa}$

Κατά τους υπολογισμούς που θα ακολουθήσουν θεωρήθηκε δτι το διάγραμμα τάσεων-παραμορφώσεων του χάλυβα είναι ελαστικό - τελείως πλαστικό (βλ. Σχ. 2.1). Αμελείται δηλαδή καταρχήν η κράτυνση.



Σχ. 2.1: Διάγραμμα  $\sigma_s$ - $\epsilon_s$  του χάλυβα που χρησιμοποιείται κατά τους υπολογισμούς.

Για την διατήρηση εντατικού μέτρου ελαστικότητας του χάλυβα:  $E_s = 2 \times 10^5 \text{ MPa}$ , η παραμόρφωση που αντιστοιχεί στη διαρροή υπολογίζεται απ' τον λόγο:  $\epsilon_{sy} = \sigma_{sy}/E_s$ . Η τιμή αυτή διαφέρει ελάχιστα απ' την παραμόρφωση του χάλυβα που μετρήθηκε για την τάση διαρροής κατά τις δοκιμές.

## 2.2 ΔΙΑΤΑΞΗ ΦΟΡΤΙΣΣΕΩΣ

Το κάθε δοκίμιο τοποθετείται σε μεταλλικό πλαίσιο (βλ. Σχ. 3.22 1ης Εκθ. Προδόου), πακτώνεται στο ένα άκρο του, επιβάλλονται δε μετακινήσεις στο άλλο άκρο-του το οποίο είναι ελεύθερο να μετακινηθεί.

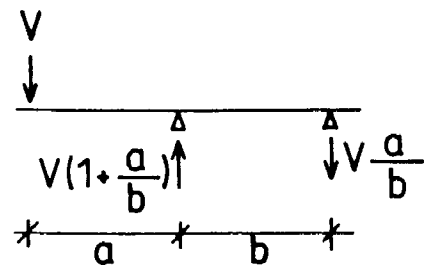
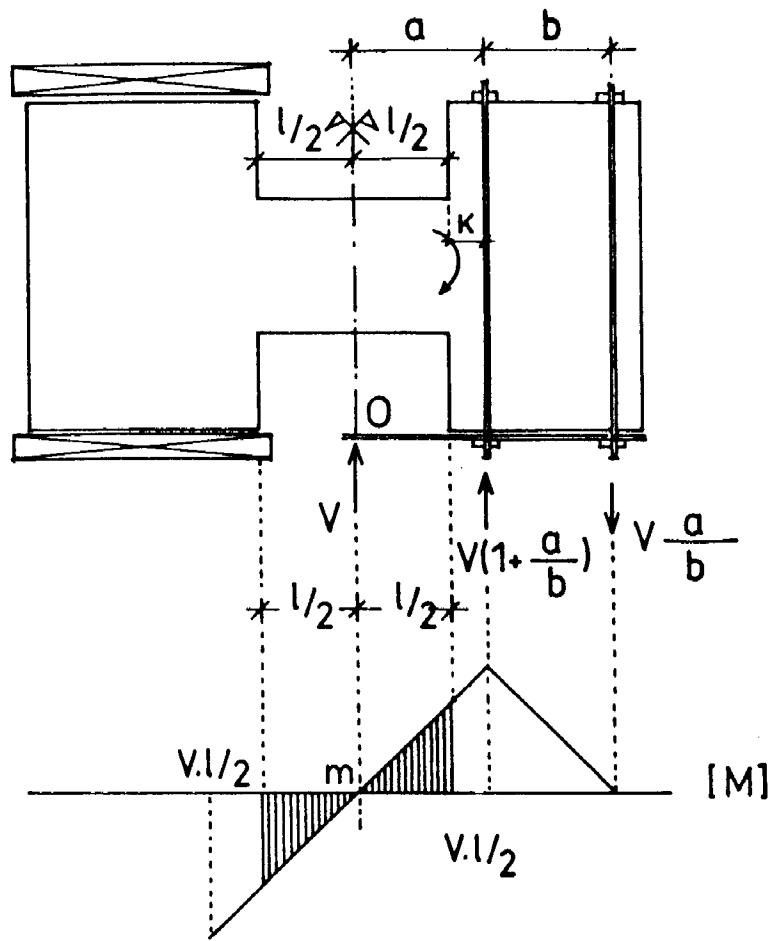
Η πάκτωση επιτυγχάνεται μέσω μεταλλικών πλακών που "σφηνώνουν" το δοκίμιο στο πλαίσιο, και μέσω ενδιαφέροντος υδραυλικού γρύλλου που ασκεί σταθερό θλιπτικό φορτίο στο πακτωμένο τοίχωμα καθόλη τη διάρκεια του πειράματος. Οι μετακινήσεις εγκαρσίως στο επίπεδο του δοκιμίου εμποδίζονται μέσω μεταλλικών αντιστηρίξεων.

Οι μετακινήσεις στο ελεύθερο άκρο του δοκιμίου επιβάλλονται μέσω σερβιομηχανισμού, ο άξονας του οποίου συμπίπτει με τον άξονα του δοκιμίου ώστε οι ροπές στο μέσον της δοκού να είναι μηδέν. Ο γρύλλος ασκεί τις μετακινήσεις πάνω σε μεταλλική δοκό η οποία συνδέεται με το ελεύθερο άκρο του δοκιμίου μέσω ράβδων χάλυβα υψηλής αντοχής (ντίζες). Περισσότερες λεπτομέρειες σχετικά με τη διάταξη φορτίσεως αναφέρονται στην 1η Έκθεση Προδόου.

Η διάταξη αυτή εξασφαλίζει συνθήκες φορτίσεως ανάλογες με εκείνες τις οποίες αναπτύσσονται οι σεισμικές δυνάμεις σε δοκούς συζεύγεως πραγματικών κατασκευών. Τα εντατικά μεγέθη που αναπτύσσονται στη δοκό αντιστοιχούν σε αμφίπακτη δοκό, φαίνονται δε στο Σχ. 2.2. Επαληθεύεται δτι η ροπή στο άκρο της δοκού συζεύγεως είναι:

$$M_{11} = V \frac{a}{b} \left( b + a - \frac{1}{2} \right) - V \left( 1 + \frac{a}{b} \right) \left( a - \frac{1}{2} \right) \longrightarrow M_{11} = V \cdot \frac{1}{2}$$

δπως προκύπτει στερεοστατικά.



Σχ. 2.2 Εντατικά μεγέθη που αναπτύσσονται στο δοκίμιο μέσω της διατάξεως φορτίσεως.

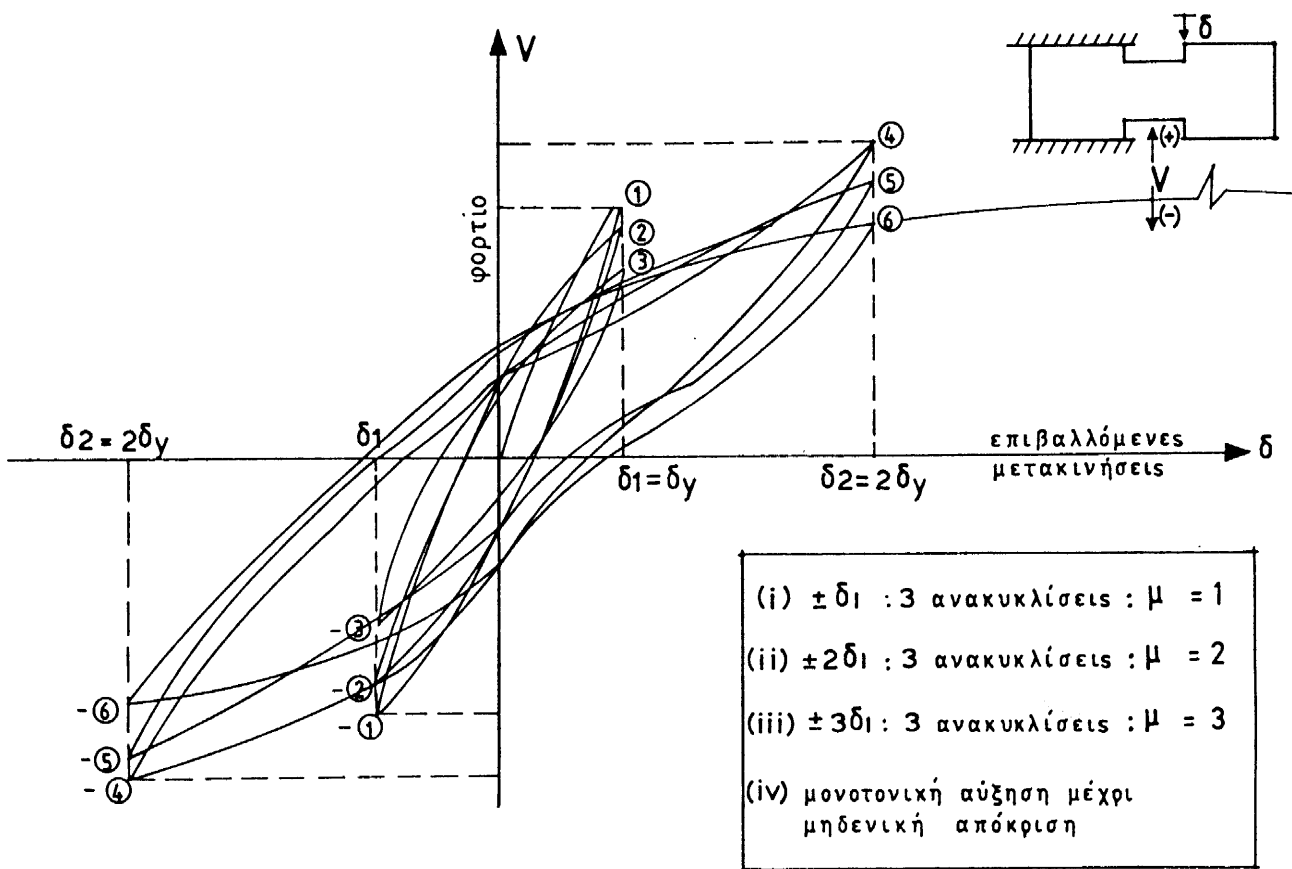
### 2.3 ΙΣΤΟΡΙΑ ΦΟΡΤΙΣΕΩΣ

Αρχικώς επιβάλλεται στο άκρο της δοκού μετακίνηση  $\delta_1$  τέτοια που να προκαλεί διαρροή των κυρίων οπλισμών κάμψεως (οριζόντιων, διαγωνίων ή βλήτρων, αναλόγως με τον τρόπο οπλίσεως). Γίνονται 3 πλήρεις ανακυκλίσεις βάσει αυτής της μετακινήσεως ( $\pm \delta_1$ ).

Κατόπιν γίνονται 3 πλήρεις ανακυκλίσεις σε στάθμη μετακινήσεων ( $+ 2\delta_1$ ) και ακολούθως σε στάθμη ( $+ 3\delta_1$ ).

Τέλος, αν δεν έχει προηγηθεί αστοχία κατά τις προηγούμενες φάσεις φορτίσεως, το δοκίμιο φορτίζεται μονοτονικά έως την αστοχία.

Στο Σχ. 2.3 φαίνεται σχηματικά μέρος της ιστορίας φορτίσεως στην οποία υποβλήθηκαν τα δοκίμια.



Σχ. 2.3 Ιστορία φορτίσεως των δοκιμών.

Οι επιβαλλόμενες μετακινήσεις στο ελεύθερο άκρο της δοκού καταγράφονται μέσω βελομέτρου που είναι τοποθετημένο στη θέση αυτή (βελ. 5, Σχ. 2.4).

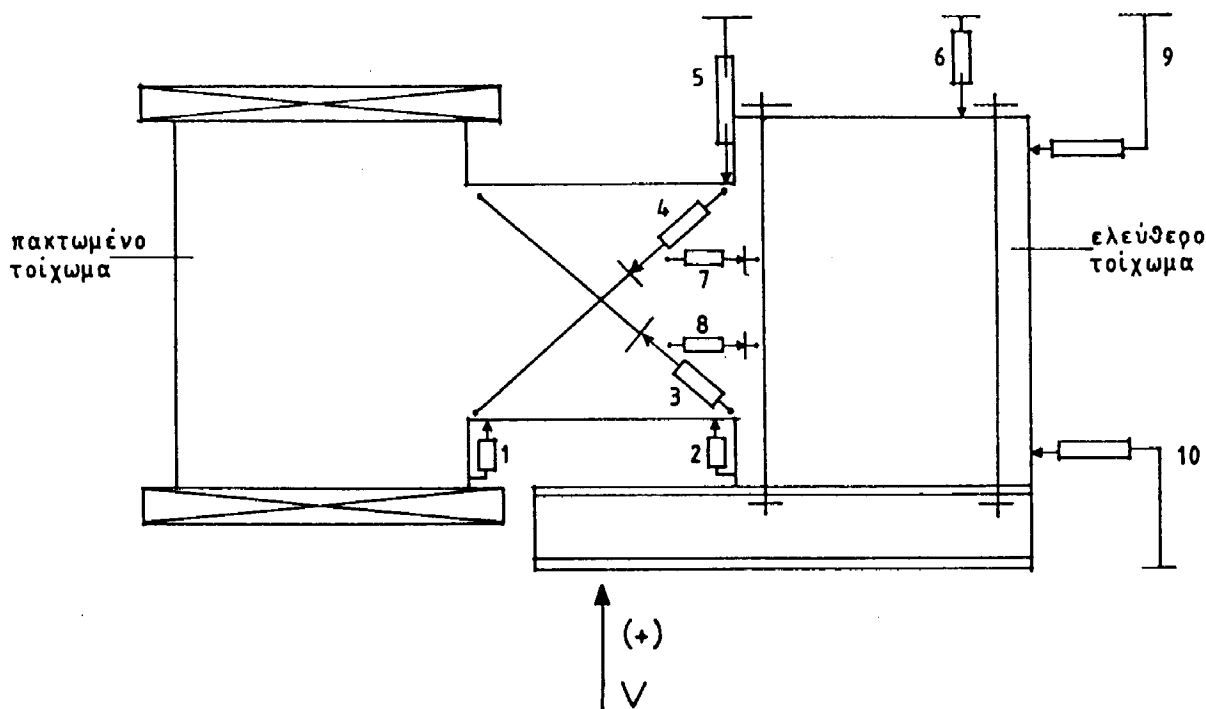
Οι αντίστοιχες τιμές του φορτίου που ασκείται απ' τον γρύλλο λαμβάνονται απευθείας απ' τον σερβομηχανισμό.

## 2.4 ΟΡΓΑΝΑ ΜΕΤΡΗΣΕΩΣ

### 2.4.1 Βελόμετρα

Σε κάθε δοκίμιο τοποθετήθηκαν 10 επαγωγικά βελόμετρα (βλ. Σχ. 2.4). Απ' τις καταγραφές των βελομέτρων αυτών μπορούν να προσδιοριστούν:

- α) Η κατακόρυφη μετακίνηση του ελεύθερου άκρου της δοκού συζεύξεως - βελ. 5 -
- β) Η στροφή του ελεύθερου άκρου της δοκού - βελ. 5,6 και 9,10 -
- γ) Η γωνιακή παραμόρφωση της δοκού - βελ. 3,4 -
- δ) Οι σχετικές ολισθήσεις μεταξύ των άκρων της δοκού και των τοιχωμάτων - βελ. 1,2 -
- ε) Η εξέλιξη των κατακόρυφων ρωγμών ολισθήσεως που αναμένονται να εμφανιστούν μεταξύ δοκού και τοιχωμάτων - βελ. 7,8 -

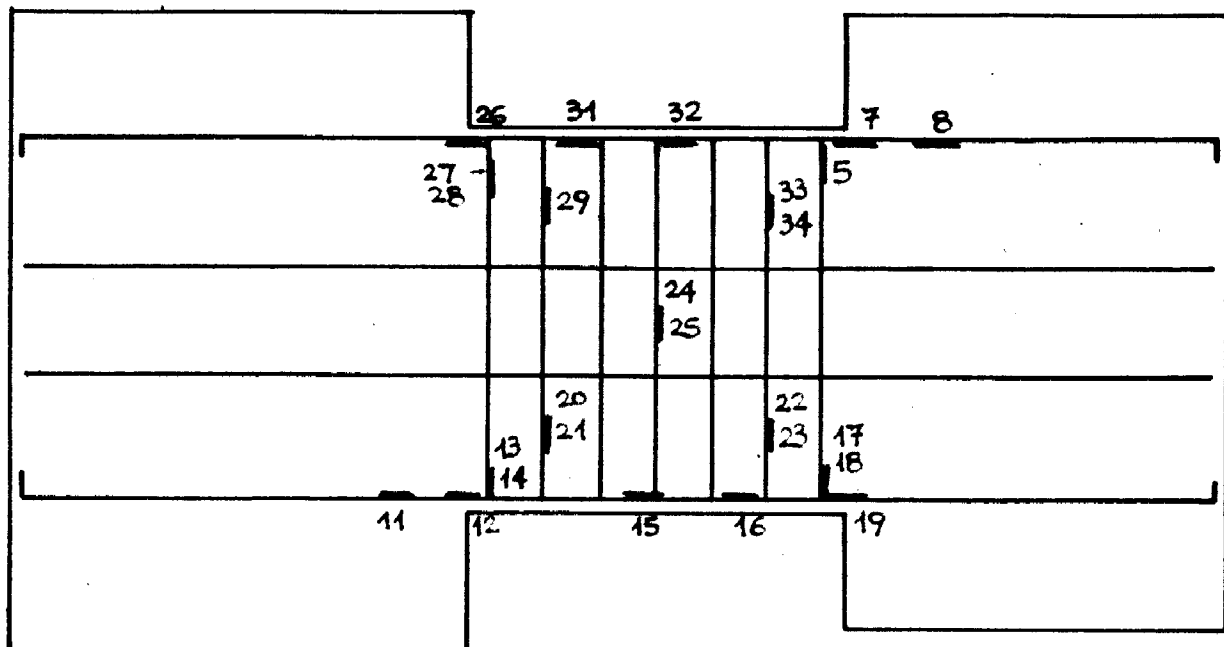


Σχ. 2.4 Θέσεις επαγωγικών βελομέτρων.

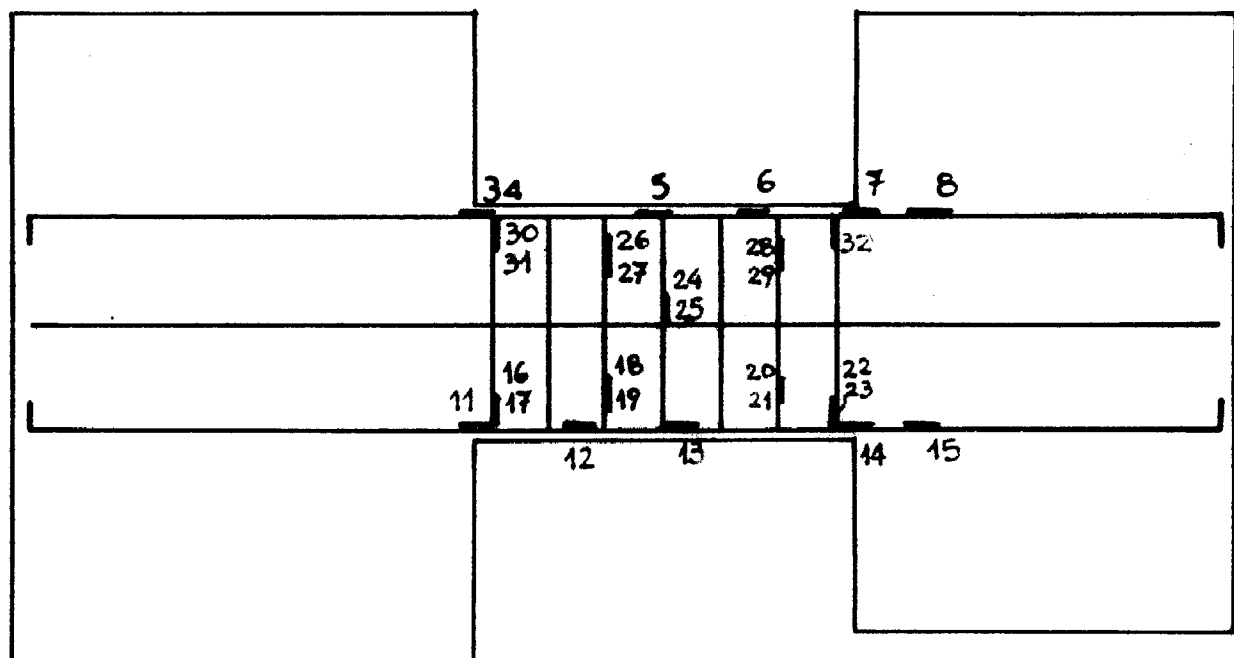
#### 2.4.2 Ηλεκτρομηκυνσιόμετρα (Strain Gauges)

Για τη μέτρηση των παραμορφώσεων των οπλισμών χρησιμοποιούνται ηλεκτρομηκυνσιόμετρα. Οι θέσεις των ηλεκτρομηκυνσιομέτρων, σε κάθε δοκίμιο, φαίνονται στα Σχ. 2.5-2.9. Σε δύο θέσεις θέσεις σημειώνονται δύο αριθμοί (συνδετήρες, διαγώνιοι οπλισμοί) υποδηλώνουν την ύπαρξη δύο ηλεκτρομηκυνσιομέτρων, ένα στο κάθε σκέλος /ράβδο οπλισμού.

## CB - 1A

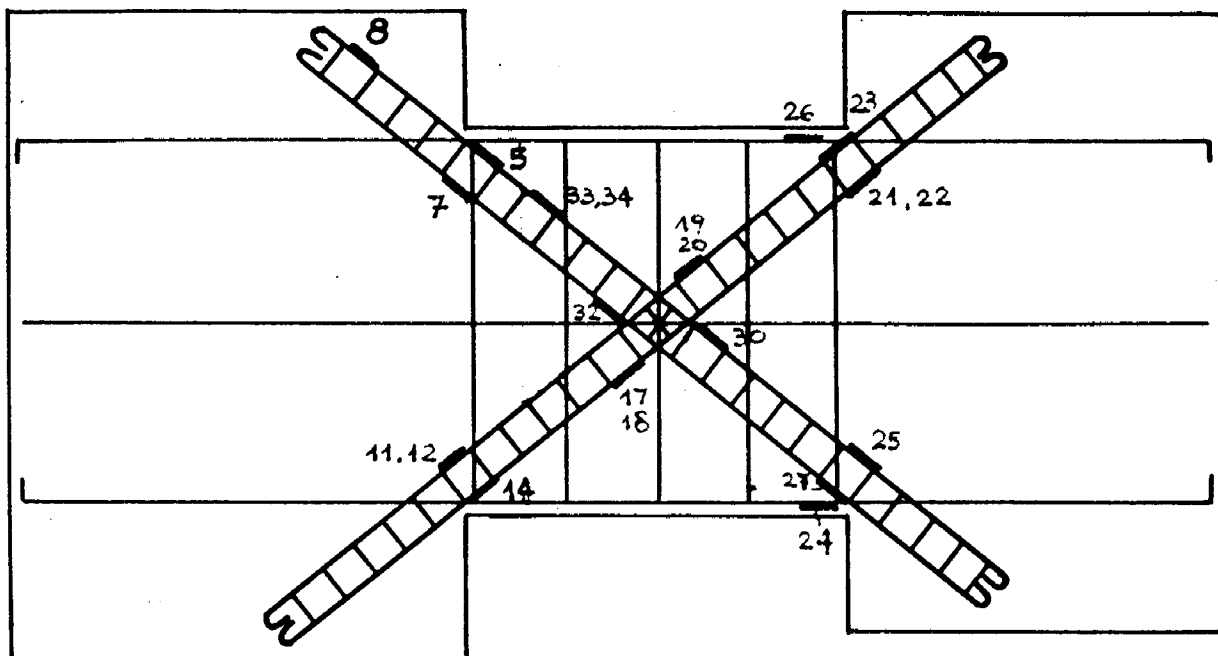


## CB - 1B

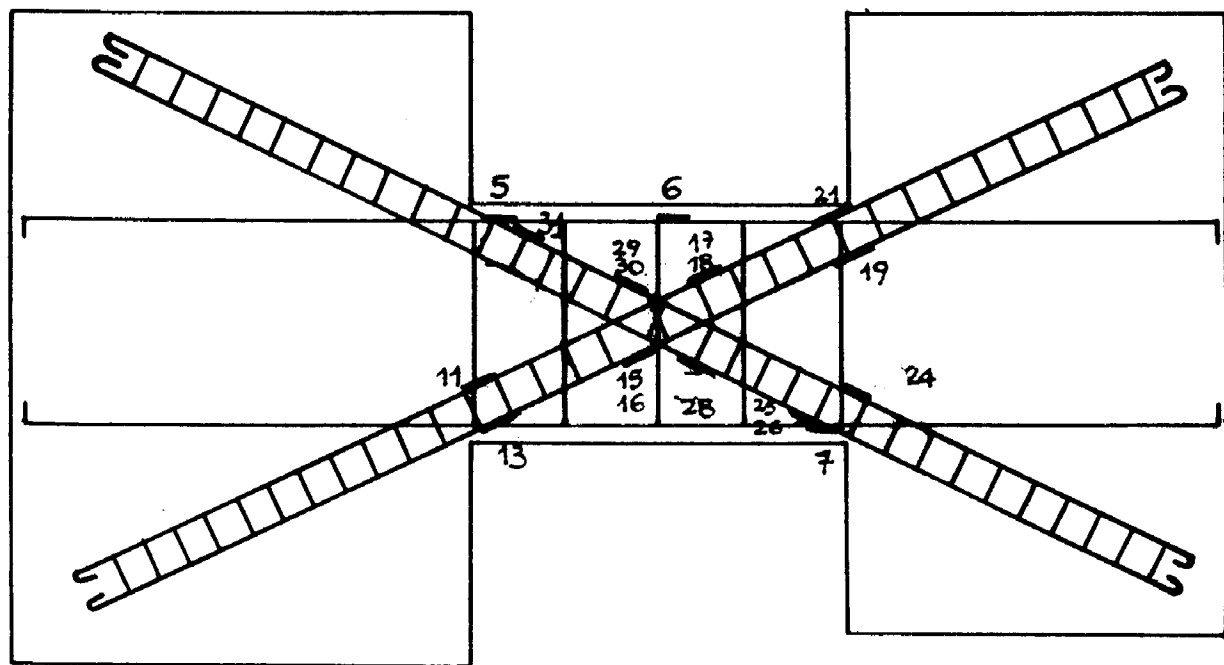


Εχ. 2.5 Θέσεις τηλεκτρομηκυνσιομέτρων δοκιμών CB-1A, B.

## CB - 2A



## CB - 2B



Σχ. 2.6 Θέσεις ηλεκτρομηχανισμάτων δοκιμών CB-2A, B.

## CB - 4A

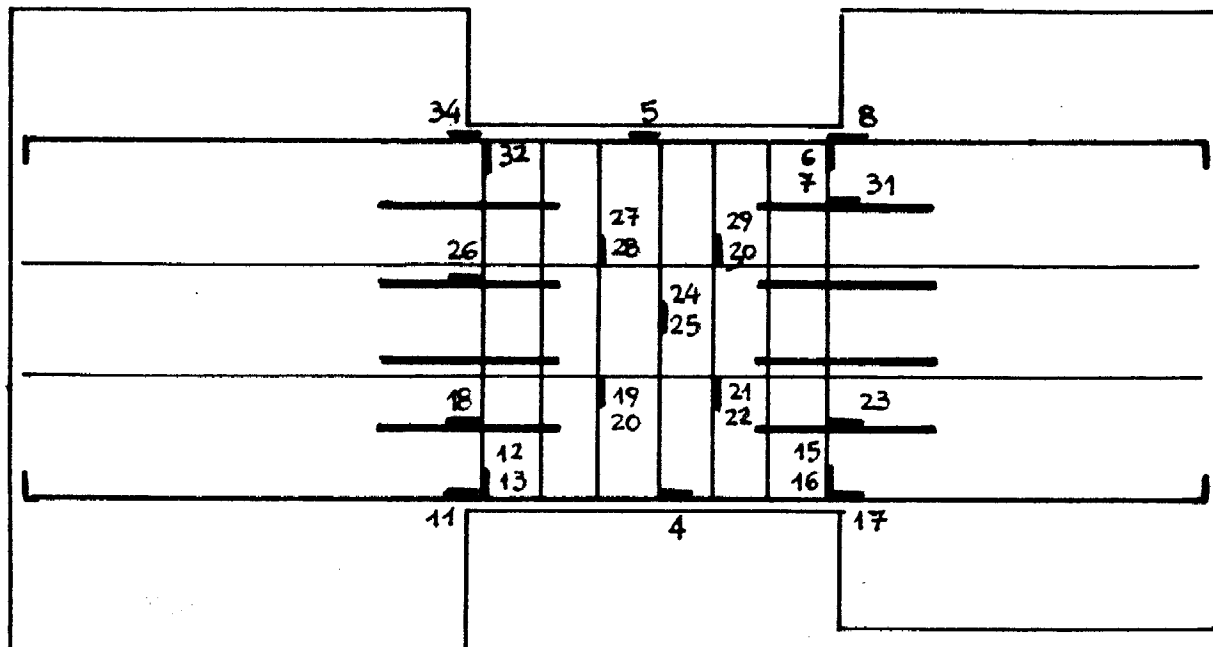
33	34	7 8				5 11	6	
27			28 29		30 31		32	
19				25 26			24	
15			20 21		22 23		17 18	
		16 12				13 14		

## CB - 4B

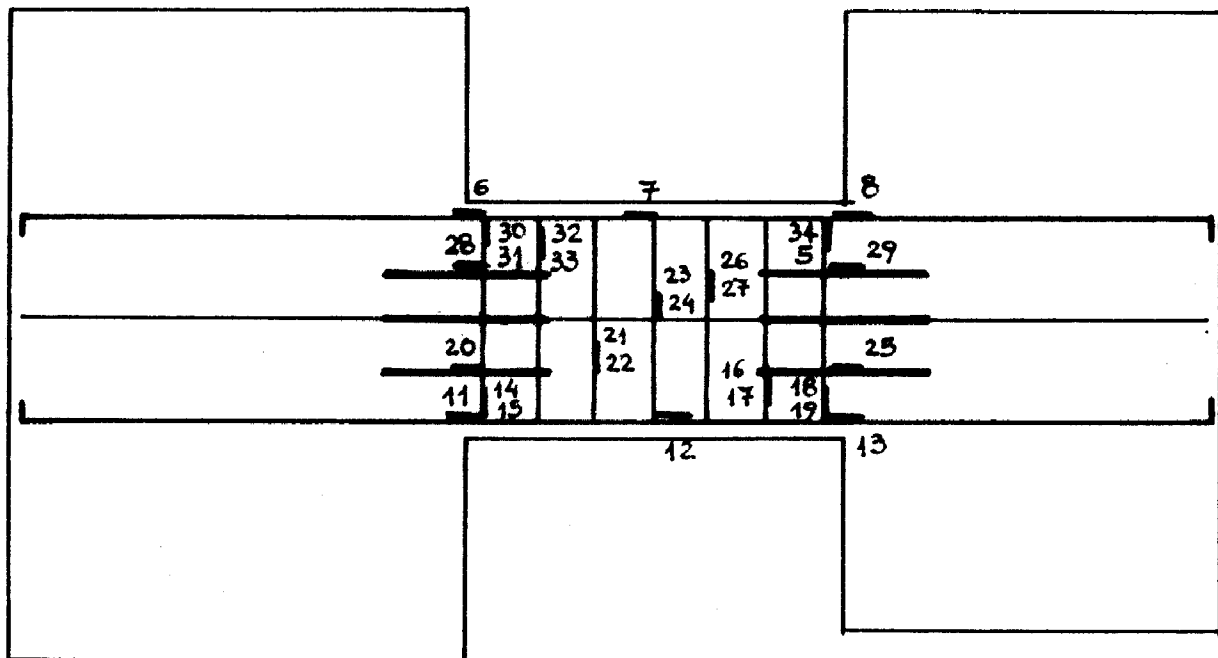
31 32	6		33		7 8	34		
23		24 25	26 27	28 29		30		
15		16 17	19 20			21 22		
	11 12		18		13 14			

Σχ. 2.8 Θέσεις ηλεκτρομηκυνσιομέτρων δοκιμών CB-4A,B.

## CB - 5A



## CB - 5B



Σχ. 2.9 Θέσεις ηλεκτρομηχανισμάτων δοκιμών CB-5A,B.

---

### 3. ΔΙΑΓΡΑΜΜΑΤΑ ΦΟΡΤΙΟΥ - ΜΕΤΑΚΙΝΗΣΕΩΝ

---

Τα διαγράμματα φορτίου - επιβαλλόμενων μετακινήσεων των δοκιμών της παρούσας έρευνας φαίνονται στα Σχ. 3.1-3.5.

Οι δοκοί με τον μικρό λόγο διατμήσεως  $\alpha_s = 0.50$  - ομάδα A - ανέλαβαν μεγαλύτερες τέμνουσες απ' τις δοκούς με  $\alpha_s = 0.83$  - ομάδα B -, εμφάνισαν δύμως και μεγαλύτερη μείωση αποκρίσεως ΔV κατά τις ανακυκλίσεις, για σταθερή στάθμη επιβαλλόμενων μετακινήσεων (πρβλ. § 5). Επί πλέον, το πλήθος "n" των ανακυκλίσεων προ της αστοχίας ήταν μεγαλύτερο στις δοκούς με λόγο  $\alpha_s = 0.83$  (βλ. Πίνακα 3.1).

Εποι, κι απ' την μορφή των διαγράμμάτων V-d επιβεβαιώνεται το γεγονός ότι οι δοκοί συζεύξεως με τον μεγαλύτερο λόγο διατμήσεως συμπεριφέρονται περισσότερο πλάστιμα (μεγαλύτερα n, μικρότερες ΔV).

Οι τιμές των τεμνουσών που αντιστοιχούν στις εκάστοτε μέγιστες στάθμες επιβαλλόμενων μετακινήσεων (κορυφές των κύκλων φορτίσεως) φαίνονται αναλυτικά στους Πίνακες 5.1, 5.2 στο Κεφάλαιο 5 (περί μειώσεως της αποκρίσεως λόγω ανακυκλίσεων).

α) Δοκίμια CB-1A,B

Τα δοκίμια αυτά που ήσαν οπλισμένα δύπως οι κλασικές δοκοί εμφανίζουν έντονη στένωση (pinching) στο μέσον του βρόχου-τους (Σχ. 3.1). Η στένωση αυτή, που γίνεται πιο έντονη για μεγαλύτερες στάθμες επιβαλλόμενων μετακινήσεων ( $n \geq 4$ ,  $\delta \geq 2\delta_y$ ), οδηγεί σε μικρότερη καταναλισκόμενη ενέργεια (πρβλ. §8) και είναι χαρακτηριστική της συμπεριφοράς των ψαθυρών στοιχείων.

β) Δοκίμια CB-2A,B

Οι βρόχοι υστερήσεως των δοκιμών με δισδιαγώνιο οπλισμό δεν εμφάνισαν στένωση στο μέσον-τους (βλ. Σχ. 3.2). Η μορφή αυτή των βρόχων επιβεβαιώνει τις παρατηρήσεις άλλων ερευνητών (πρβλ. § 1.5) και είναι ενδεικτική πλάστιμης συμπεριφοράς. Οφείλεται στο γεγονός ότι οι εξωτερικές δυνάμεις στα δοκίμια αυτά μεταφέρονται κυρίως μέσω των διαγωνών οπλισμών και δχλ μέσω του

σκυροδέματος, επομένως η μορφή των βρόχων αντιστοιχεί στη συμπεριφορά του χάλυβα.

γ) Δοκίμια CB-3A, B

Οι δοκοί με χιαστή οπλισμούς στα άκρα-τους εμφανίζουν και αυτές στένωση στο μέσον των βρόχων-τους (Σχ. 3.3), η οποία, δημοσ., είναι μικρότερη από εκείνη των ιλασικώς οπλισμένων δοκιμών.

Το δοκίμιο CB-3A, πριν απ' την φόρτιση που φαίνεται στο Σχ. 3.3α είχε υποβληθεί σε δύο πλήρεις κύκλους διαρροής ( $\delta_y = \pm 8.50$  mm). Η δοκιμή διακόπηκε γιατί παρουσιάστηκαν προβλήματα στη διάταξη φορτίσεως και επαναλήφθηκε άλλη ημέρα. Η μορφολογία ρηγματώσεως μετά το πέρας της 1ης δοκιμής φαίνεται στην Φωτ. 28 του κεφ. 4.

Κατά την τελική δοκιμή το δοκίμιο συμπεριφέρεται ως "προφορτισμένο", εμφανίζει, δηλαδή, αυξημένες ακαμψίες κατά τα πρώτα στάδια φορτίσεως. Αυτό είναι εμφανές τόσο απ' την μορφή του διαγράμματος V-δ (Σχ. 3.3α) όσο κι απ' τις τιμές της ακαμψίας (βλ. Σχ. 6.7α, 6.8α).

δ) Δοκίμια CB-4, 5

Οι δοκοί που ήσαν οπλισμένες με βλήτρα, είτε σε όλο το μήνος είτε μόνον στα άκρα-τους, συμπεριφέρθηκαν ψαθυρά (βλ. Σχ. 6.4, 6.5). Καί στις τέσσερεις δοκούς η μέγιστη τέμνουσα αναπτύχθηκε στον 1ο θετικό κύκλο διαρροής. Ένα άλλο κοινό χαρακτηριστικό-τους είναι το πολύ μεγάλο εμβαδόν του βρόχου υστερήσεως της πρώτης ανακυκλώσεως σε κάθε στάθμη επιβαλλόμενων μετακινήσεων ( $n = 1, 4$ ) συγκριτικά με το εμβαδόν των βρόχων των άλλων δύο κύκλων στην 1ίδια στάθμη μετακινήσεων ( $n = 2, 3$  και  $5, 6$ ). Παρατηρείται, επίσης, και μεγάλη μείωση της αποκρίσεως των δοκιμών αυτών, για σταθερή στάθμη επιβαλλόμενων μετακινήσεων (πρβλ. §5).

Το δοκίμιο CB-5A (Σχ. 6.5α) υποβλήθηκε σε διαφορετική ιστορία φορτίσεως απ' τα άλλα δοκίμια. Κατά τον 1ο κύκλο φορτίσεως επιβλήθηκε  $\delta = 5.2$  mm, χωρίς δημοσ., να διαρρεύσει ο οπλισμός. Η διαρροή συνέβη στον 2ο κύκλο για  $\delta_y = 12$  mm. Στην στάθμη

αυτή μετακινήσεων έγιναν 3 ανακυκλίσεις ( $n = 2,3,4$ ). Ο 5ος κύκλος έγινε σε  $\delta = 3\delta_y = 36\text{mm}$ , και δχλ σε στάθμη  $\delta = 2\delta_y$  δημιουργώντας στα άλλα δοκίμια. Αυτό οφειλόταν σε προβλήματα στην διάταξη φορτίσεως.

Στον Πίνακα 3.1 φαίνονται οι τιμές των χαρακτηριστικών τεμνουσών των δοκιμών. Από τις τιμές της στήλης 9 παρατηρούμε ότι στα δοκίμια CB-2,3,4 η μέγιστη τέμνουσα  $V_{max,peiro}$  που αναπτύχθηκε κατά το πείραμα ήταν 25-50% μεγαλύτερη από την αντίστοιχη θεωρητική αντοχή  $V_u,\theta\text{εωρ}$ .

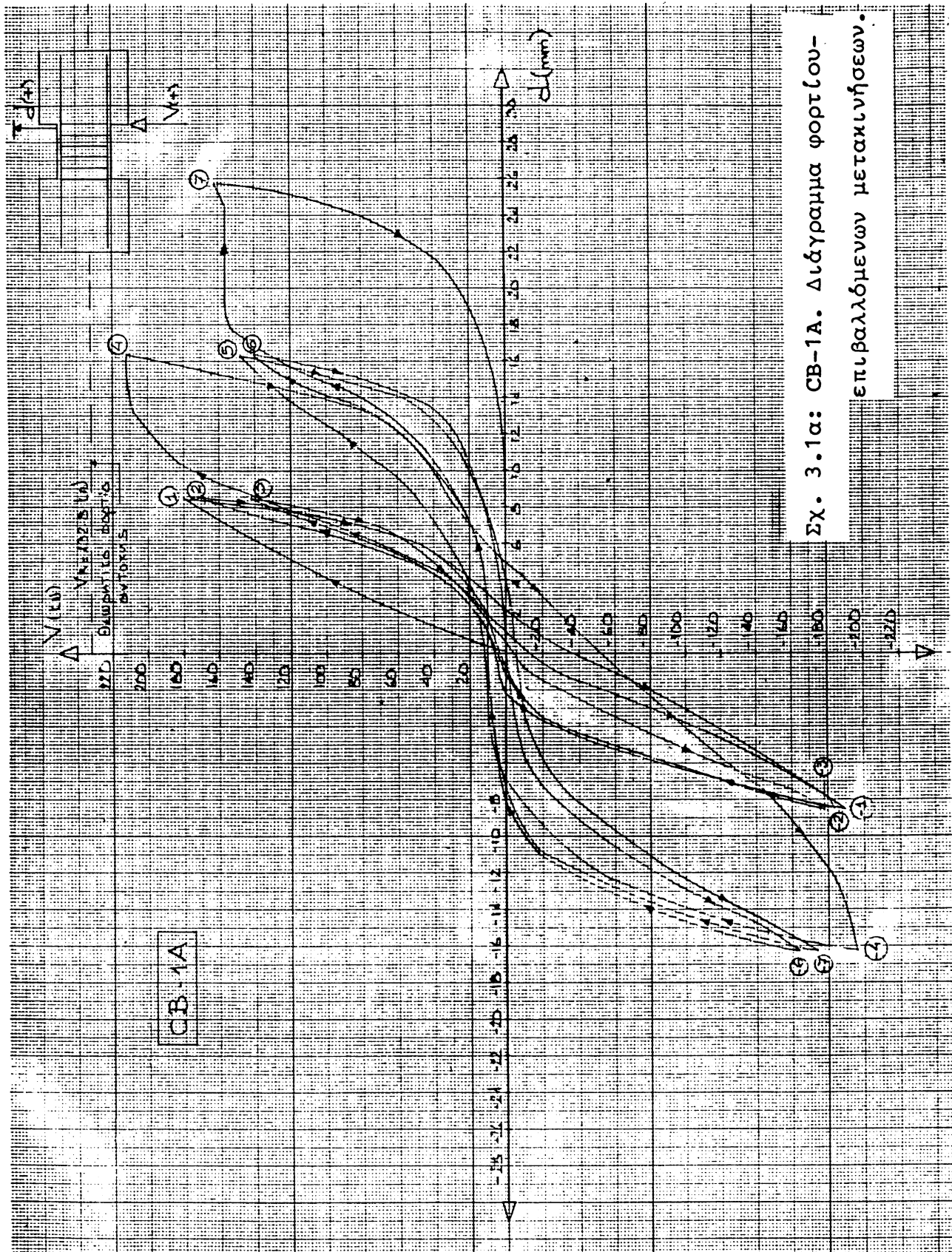
Η καμπτική αντοχή  $M_R$  των δοκών, καθώς και η αντοχή-τους  $V_R$  σε τέμνουσα (στήλες (8),(7) Πίνακα 3.1) υπολογίστηκαν σύμφωνα με δσα αναφέρονται στο κεφ. 4 της 1ης Εκθέσεως Προόδου, και για τις αντοχές χάλυβα και σκυροδέματος που μετρήθηκαν πειραματικώς.

Πίνακας 3.1: Χαρακτηριστικά μεγέθη των δοκιμών της παρούσας έρευνας.

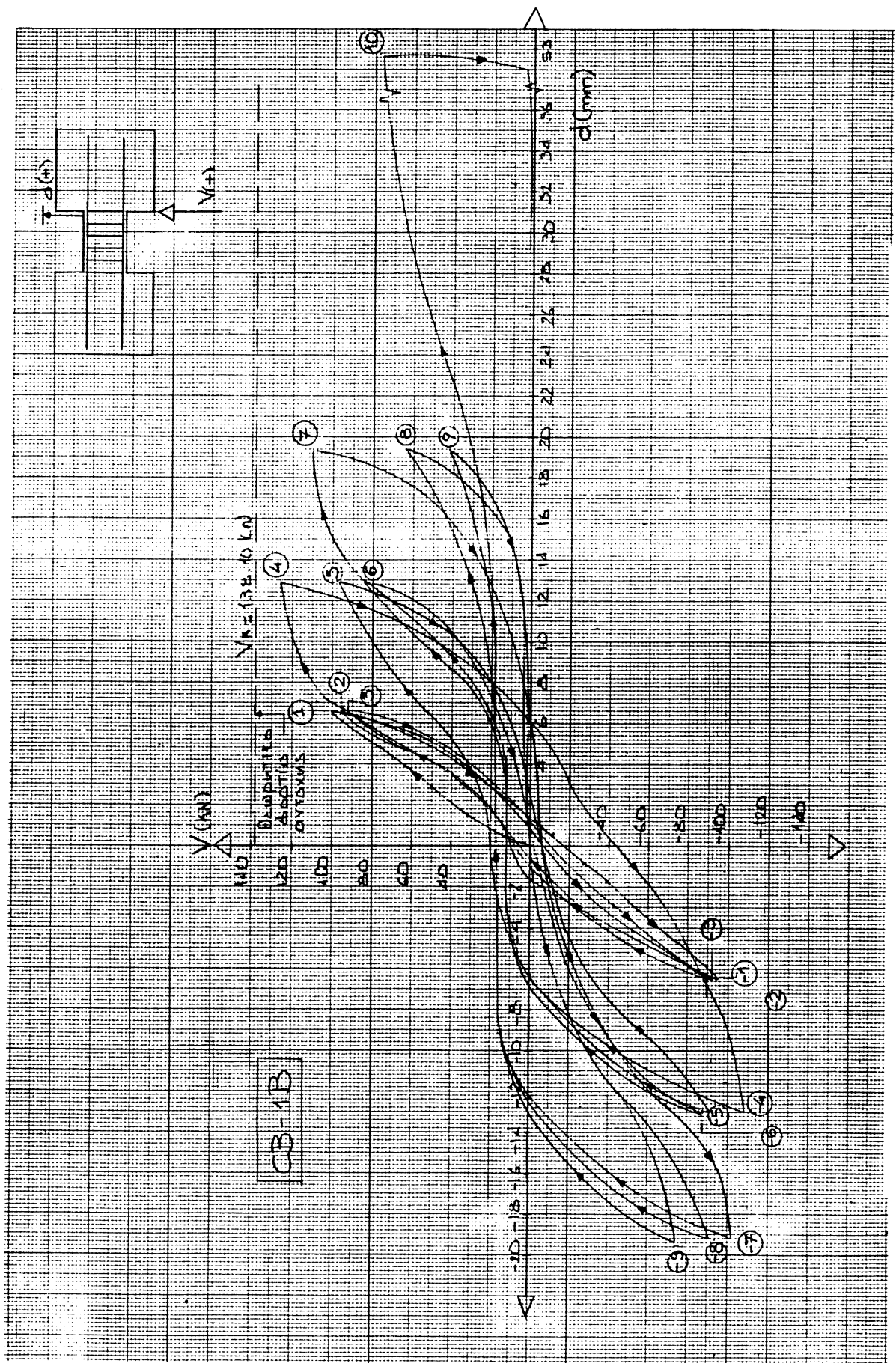
α/α δοκιμίου	Πειραματικά							$\frac{V_{max}}{V_u,\theta\text{εωρ}}$
	n	$\delta_y$ (mm)	$V_{d,cr.}$ (kN)	$V_y$ (kN)	$V_{max}$ (kN)	$V_R$ (kN)	$V(M_R)$ (kN)	
(1)	(2)	(3)	(4)	(5)	(6)	(7)	(8)	(9)
CB-1A	7	7.8	179	179	212	221	229	0.96
CB-1B	10	6.4	63	100	124	128	122	1.02
CB-2A	10	7.4	136	214	283	212	204	1.40
CB-2B	10	8.5	101	115	170	187	112	1.51
CB-3A	9	8.5	150	183	302	221	229	1.37
CB-3B	10	6.4	99	121	151	129	122	1.25
CB-4A	7	10.5	162	282	282	222	451	1.27
CB-4B	6	10.8	88	162	162	130	141	1.25
CB-5A	5	12.0	152	237	237	221	229	1.07
CB-5B	7	11.2	100	130	130	128	122	1.07

- (2)  $n$  : πλήθος ανακυκλίσεων πριν απ' την αστοχία.
- (3)  $\delta_y$  : μετακίνηση που προκαλεί διαρροή του διαμήκους οπλισμού.
- (4)  $v_{d,cr.}$  : φορτίο εμφανίσεως της 1ης διαγώνιας ρωγμής (κατά τον πρώτο θετικό κύκλο).
- (5)  $v_y$  : φορτίο που αντιστοιχεί στην μετακίνηση διαρροής  $\delta_y$
- (6)  $v_{max}$  : μέγιστο φορτίο που αναπτύχθηκε.
- (7)  $v_R$  : θεωρητική αντοχή σε τέμνουσα της δοκού.
- (8)  $v_{(M_R)}$  : τέμνουσα που αντιστοιχεί στην θεωρητική καμπτική αντοχή της δοκού ( $v = 2M_R/1$ ).
- (9) : ο λόγος της τέμνουσας της (6) προς την μικρότερη απ' τις τέμνουσες των (7), (8).

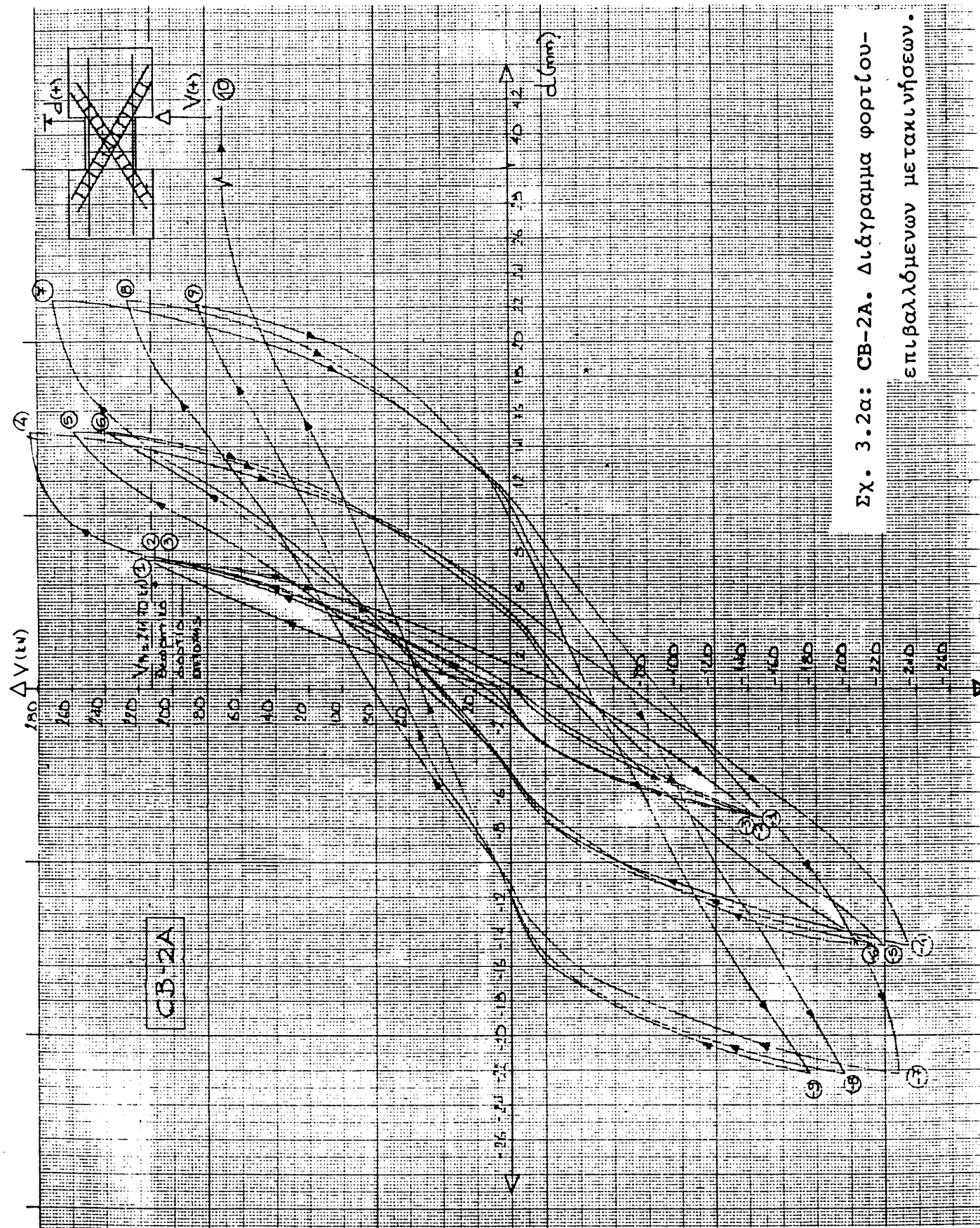
Οι διαφορές που παρατηρήθηκαν ανάμεσα στη θεωρητική και στην πραγματική τιμή μέγιστου φορτίου οφείλονται να γίνουν αντικείμενο ειδικότερης διερευνήσεως, η οποία θα ακολουθήσει σε μεταγενέστερο στάδιο.



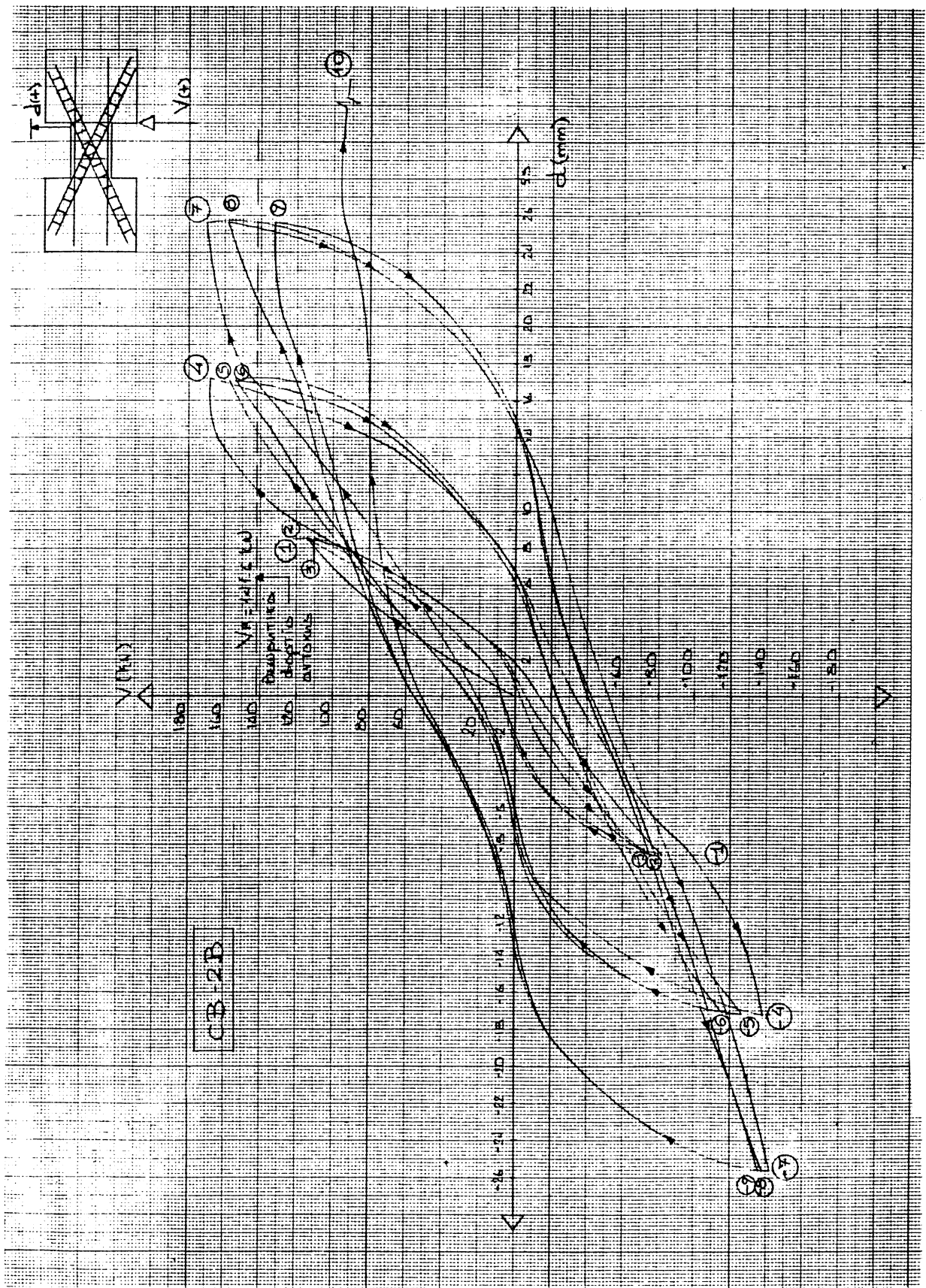
Σχ. 3.1α: CB-1A. Διάγραμμα φορτίου-επιβαλλόμενων μετακυρήσεων.



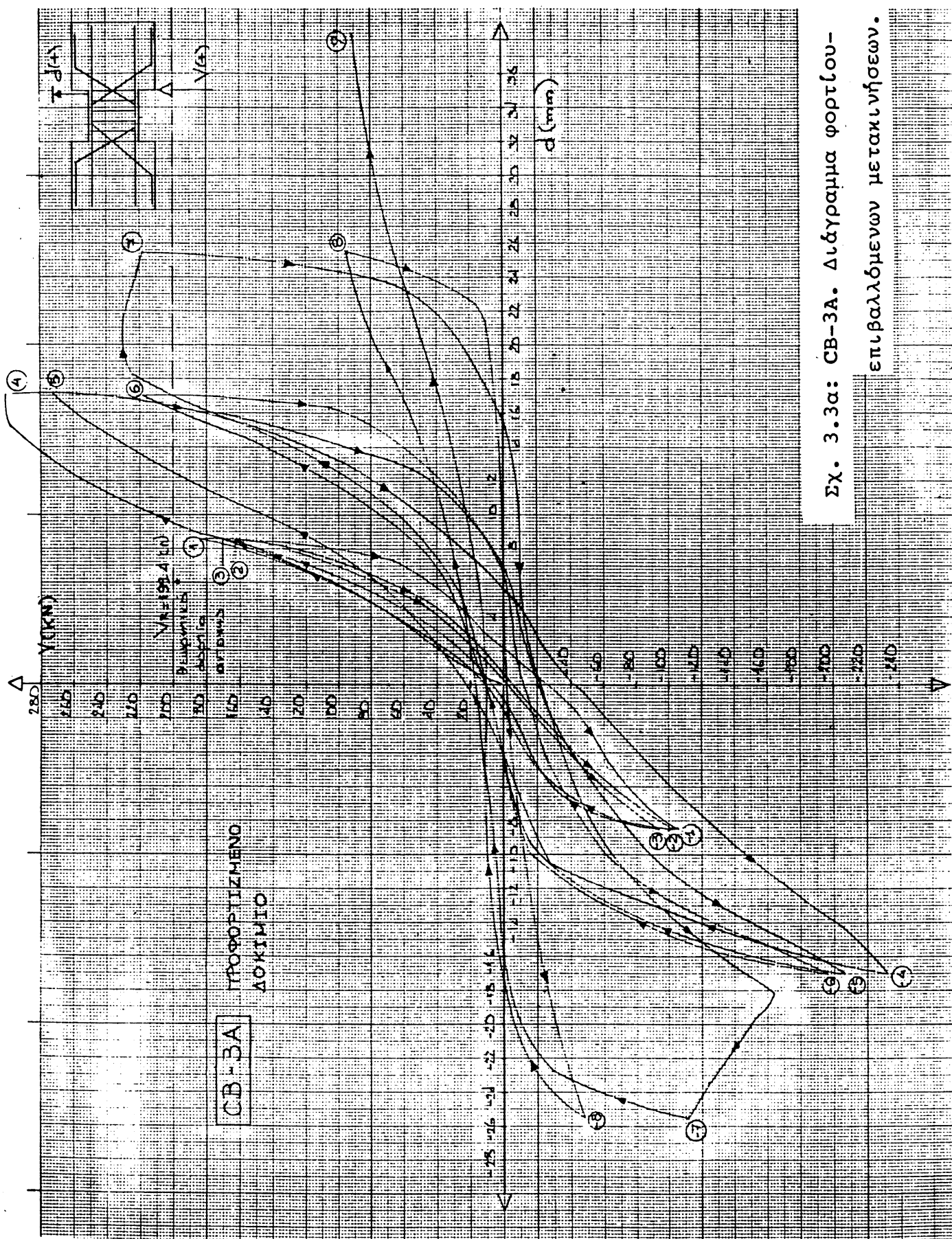
**Σχ. 3.1β: CB-1B.** Διάγραμμα φορτίου-επιβαλλόμενων μετακινήσεων.

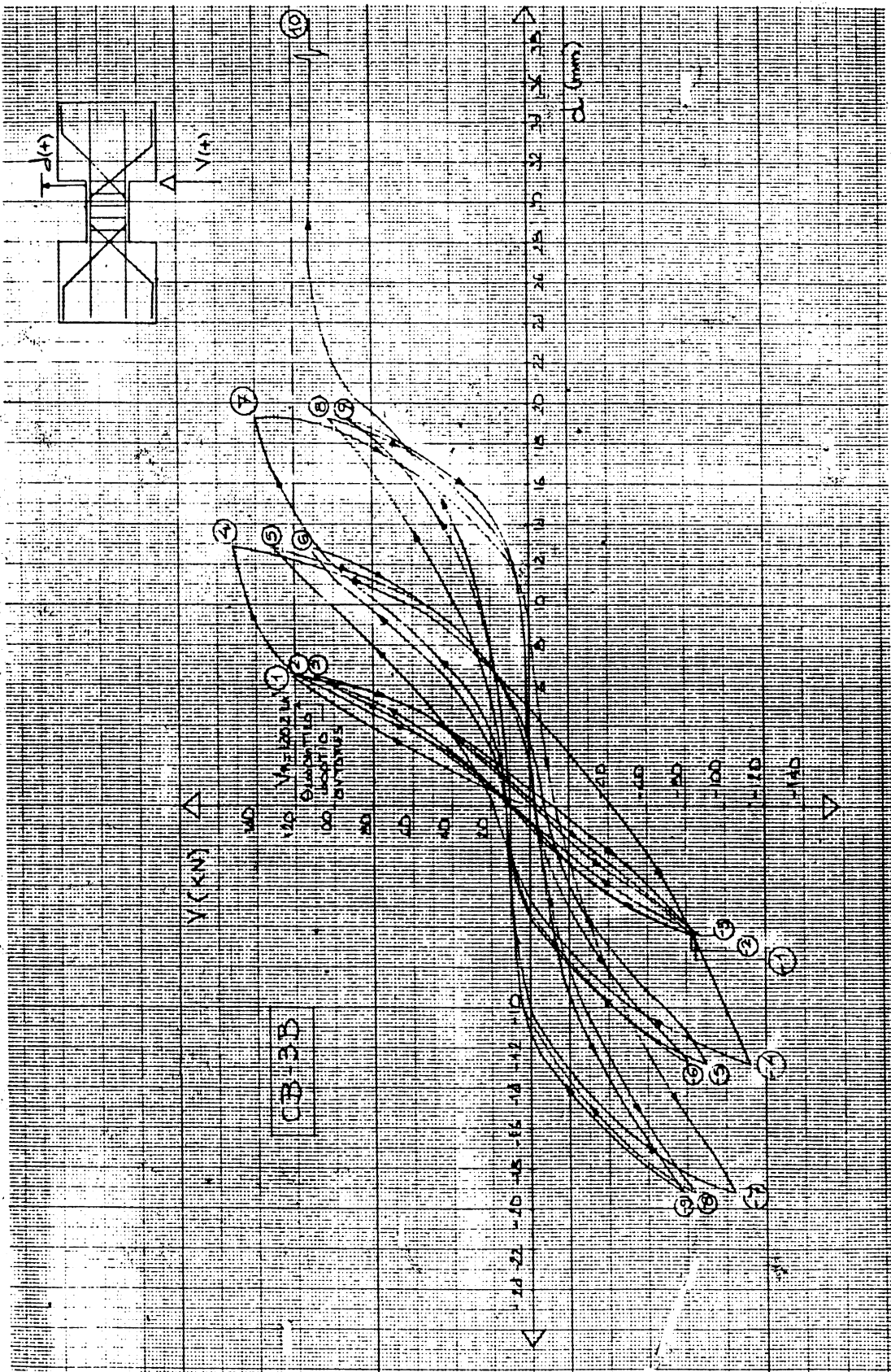


Σχ. 3.2α: CB-2A. Διάγραμμα φορτίου-  
επιβαλλόμενων μετακυρήσεων.

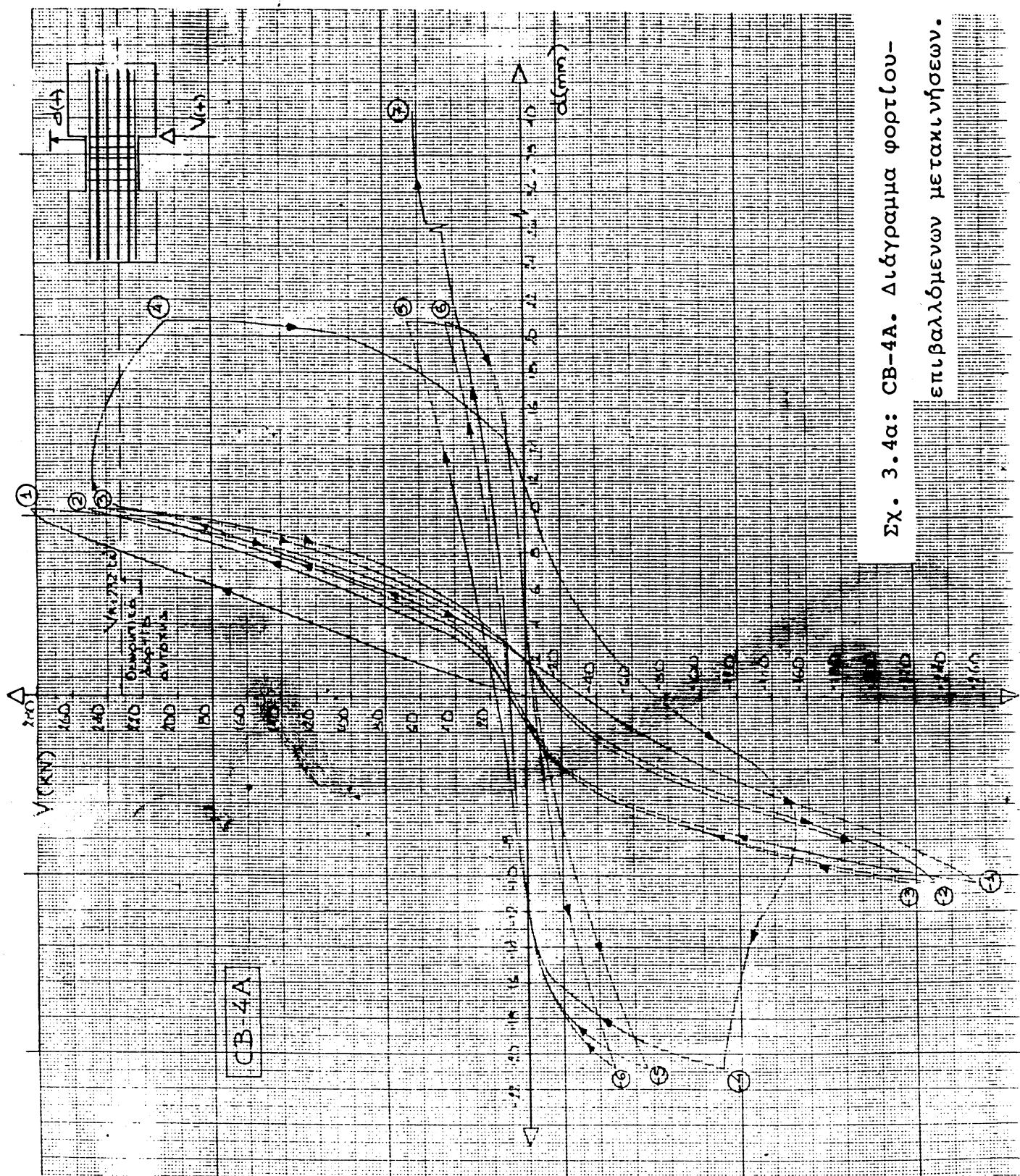


**Σχ. 3.2β: CB-2B. Διάγραμμα φορτίου-επιβαλλόμενων μετακυρσών.**



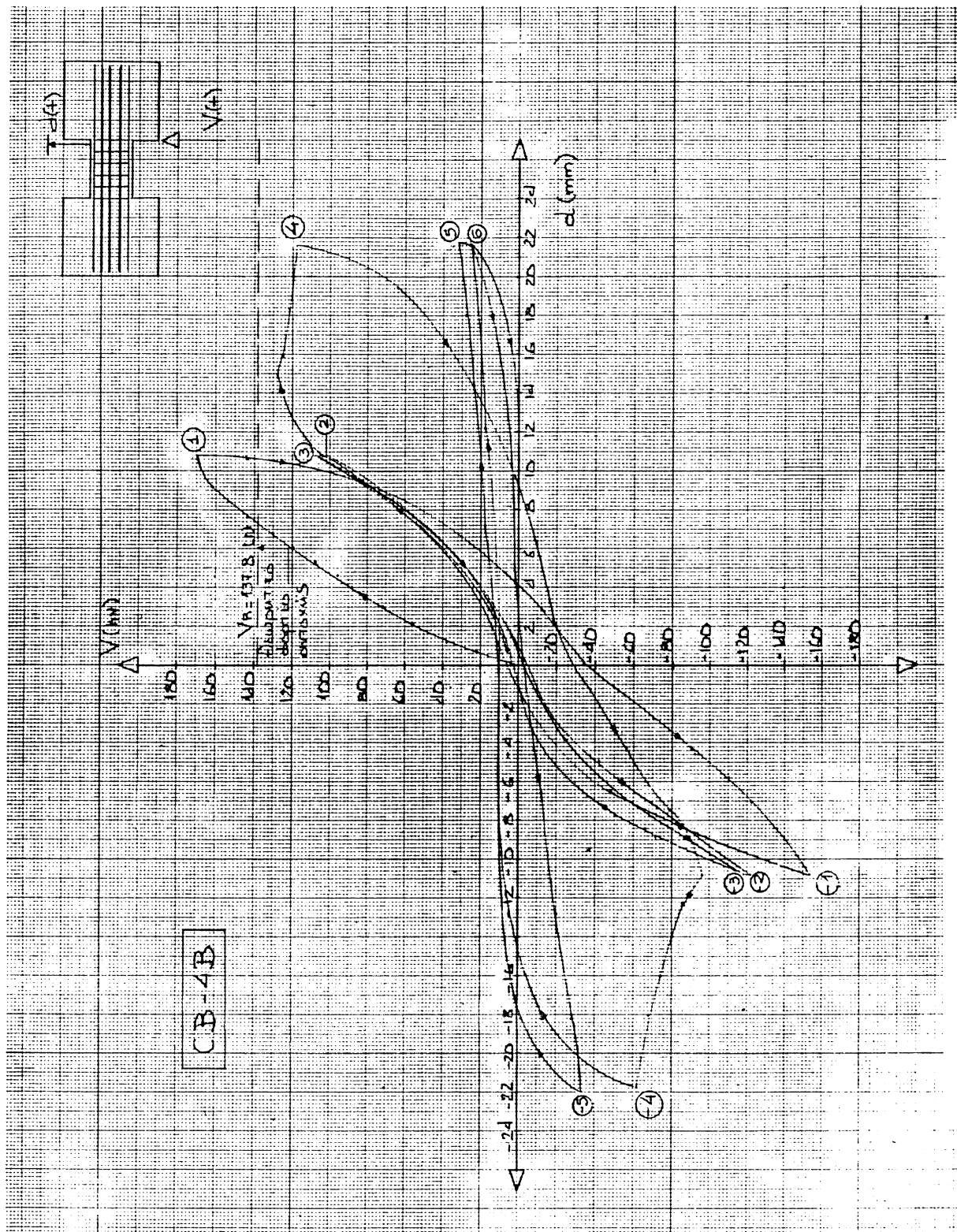


Σχ. 3.3β: CB-3B. Διαγραμμα φορτου-επιβαλλομενων μετακυρσεων.

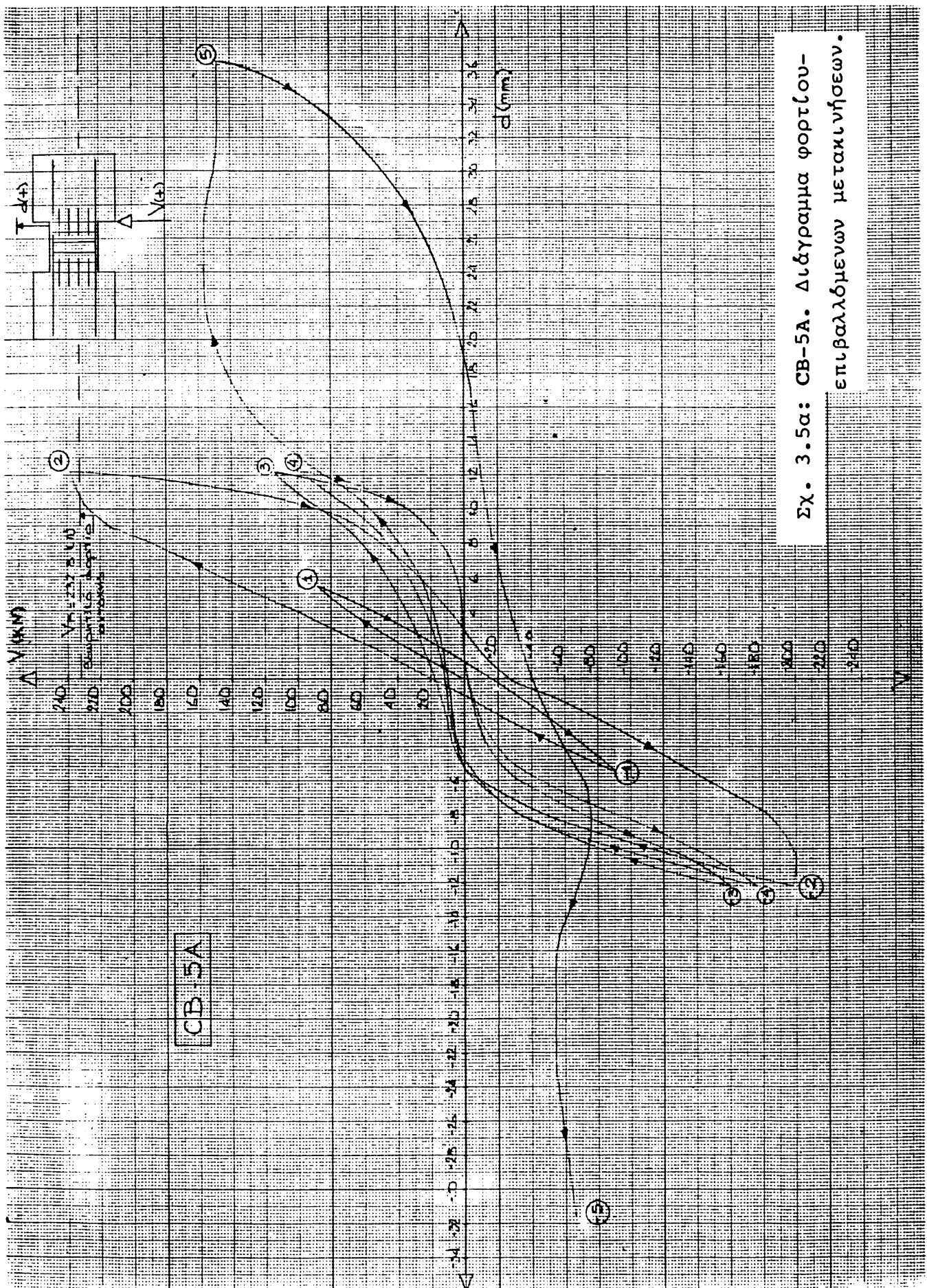


Σχ. 3.4α: CB-4Α. Διάγραμμα φορτου-

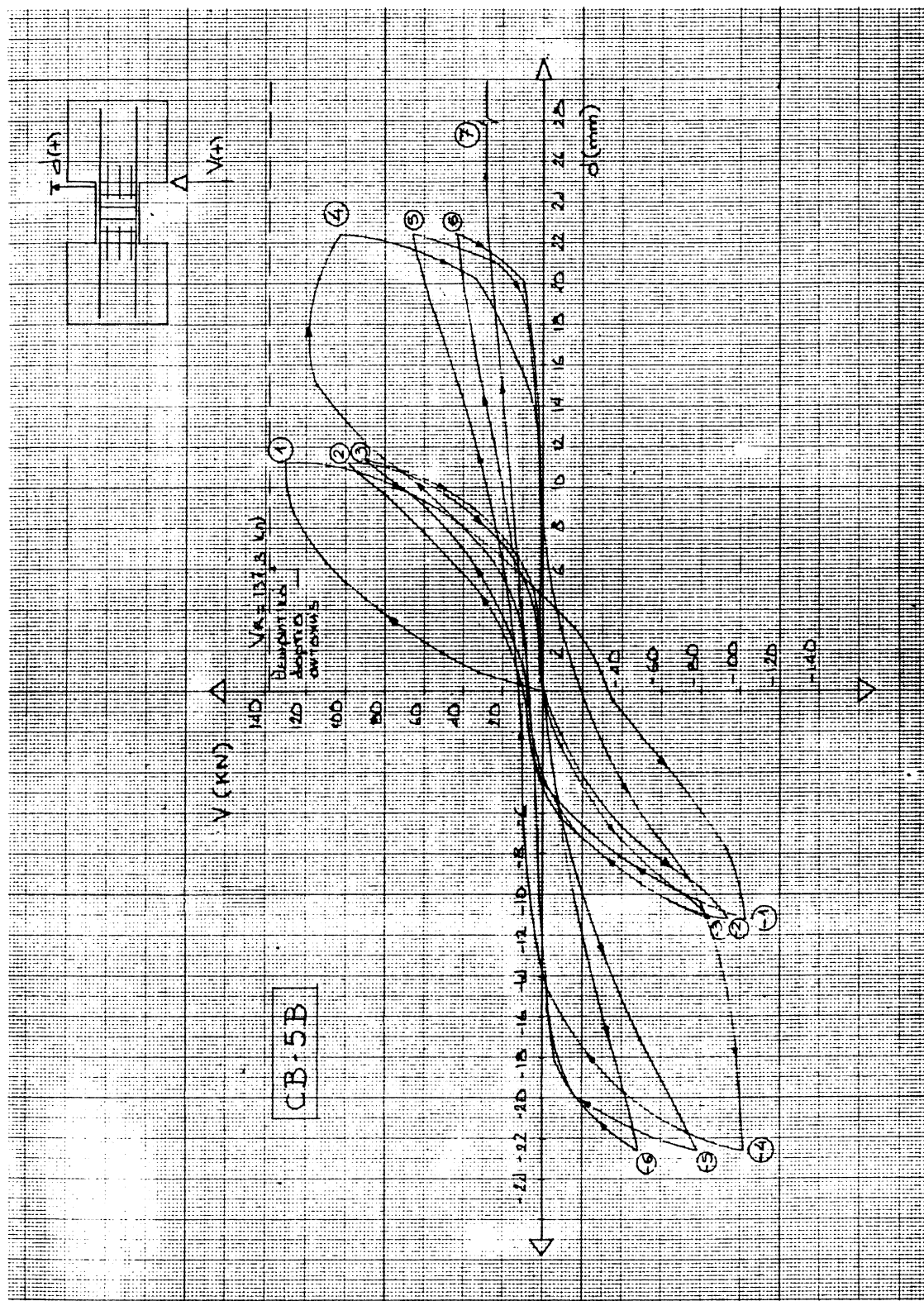
επιβολλόμενων μετακυρήσεων.



Σχ. 3.4β: CB-4B. Διάγραμμα φορτίου-επιβαλλόμενων μετακυρσεων.



Σχ. 3.5α: CB-5A. Διάγραμμα φορτίου-επιβαλλόμενων μετακυνήσεων.



Σχ. 3.5β: CB-5B. Διάγραμμα φορτίου-επιβαλθμευων με ταυνήσεων.

#### 4. ΜΟΡΦΟΛΟΓΙΑ ΡΗΓΜΑΤΩΣΕΩΣ

Στο κεφάλαιο αυτό σχολιάζεται η μορφολογία ρηγματώσεως και ο τρόπος αστοχίας των δοιών συζεύξεως της παρούσας έρευνας. Γίνεται σύγκριση μεταξύ των δοκιμών με διαφορετικό λόγο διατμήσεως και με τον ίδιο τρόπο οπλίσεως.

Στις φωτογραφίες που ακολουθούν, σημειώνονται με μαύρο χρώμα οι ρωγμές που εμφανίστηκαν στις 3 πρώτες ανακυκλίσεις στην μετακίνηση διαρροής:  $\mu = 1$ , με ιδικό χρώμα οι ρωγμές που άνοιξαν για  $\mu = 2$  ( $n = 4-6$ ), ενώ με πράσινο χρώμα οι ρωγμές που άνοιξαν σε μεγαλύτερες μετακινήσεις ( $n \geq 7$ ).

Η περιγραφή των ρωγμών αναφέρεται πάντοτε στην ίδια όψη για όλα τα δοκίμια (όψη Α). Χάριν πληρέστερης δημοσίευσης της παθολογικής εικόνας των δοκιμών, υπάρχουν και ορισμένες φωτογραφίες των βλαβών στην όψη Β.

##### 4.1 ΔΟΚΙΜΙΑ 1Α, 1Β (κλασική οπλιση)

Η δοκός CB-1A, με λόγο διατμήσεως  $a_s = 0.5$ , παρουσίασε απ' τον πρώτο κι' δλας κύκλο ρωγμή κατά μήκος της κυρίας διαγωνίου. Με την πρόοδο των ανακυκλίσεων δημιουργήθηκε πλέγμα διαγωνίων ρωγμών. Η δοκός αστόχησε λόγω εφελκυσμού κατά μήκος της αρχικής διαγώνιας ρωγμής (Φωτ. 3,4).

Παρατηρήθηκαν επίσης κατακόρυφες ρωγμές ολισθήσεως στις διατομές συνδέσεως με τα τοιχώματα (φωτ. 1-4). Στο αριστερό άκρο για  $n = 4$  το εύρος μιάς τέτοιας ρωγμής έφτασε τα 2 mm. Οι ρωγμές αυτές δεν εξελίχθηκαν υπό μεγαλύτερες στάθμες φορτίου.

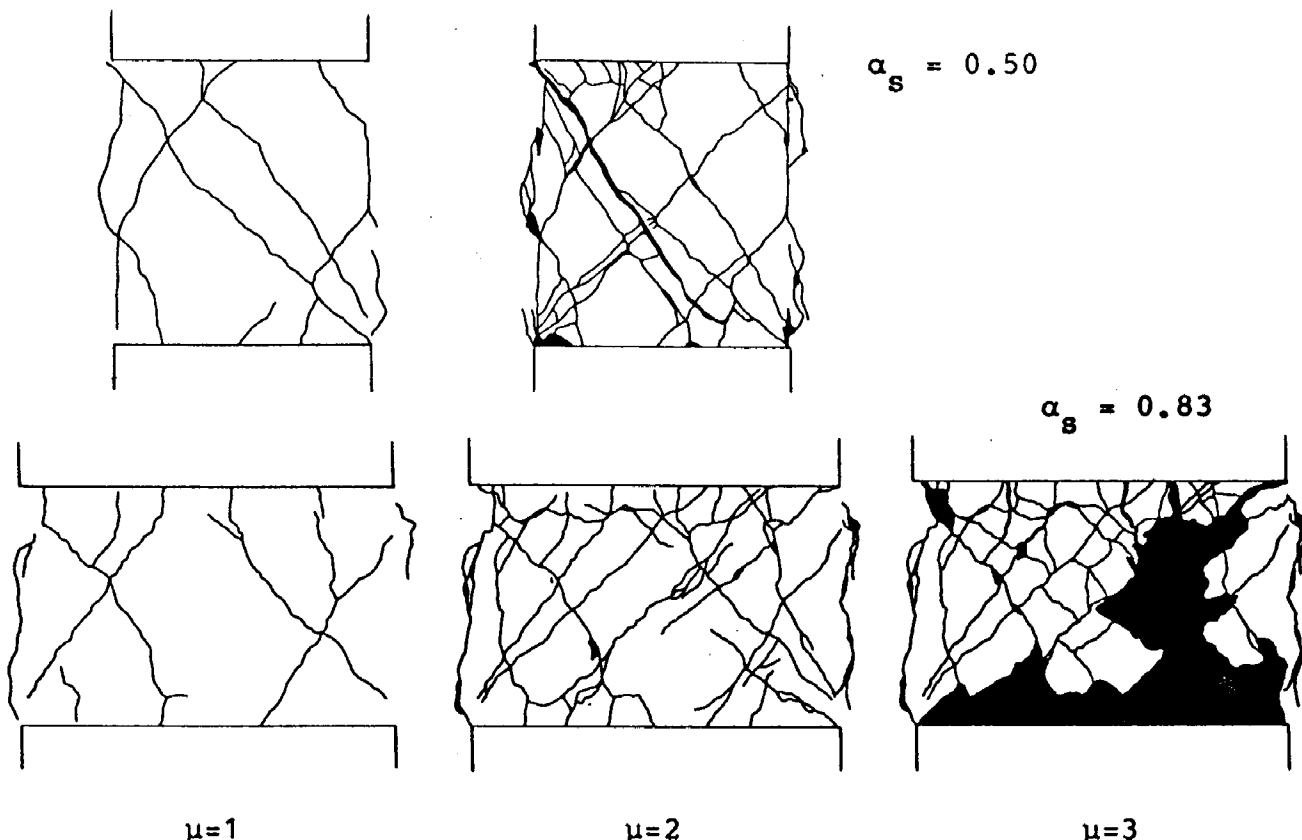
Η δοκός CB-1B εμφάνισε αρχικά χιαστή ρωγμές κοντά στα άκρα-της (βλ. φωτ. 5, Σχ. 4.1β). Ρωγμή κατά τη διεύθυνση της κυρίας διαγωνίου παρουσιάστηκε μόνο για  $n = 5$  αλλά δεν επηρέασε την αστοχία της δοκού. Η δοκός αστόχησε θλιπτοδιατμητικά πάνω στα ακραία-της τμήματα λόγω διευρύνσεως των χιαστή αρχικών ρωγμών. Η αστοχία συνοδεύτηκε και από εκτεταμένες αποφλοιώσεις (Φωτ. 7,8).

Κατακόρυφες ρωγμές ολισθήσεως στη σύνδεση δοκού-τοιχώμα-

τος εμφανίστηκαν, το εύρος-τους δμως παρέμεινε πολύ μικρό.

Επί πλέον, στην δοκό αυτή παρουσιάστηκε αστοχία συνάφειας χάλυβα-σκυροδέματος κατά μήκος των οπλισμών κάμψεως (βλ. φωτ. 7,8). Στην κάτω παρειά της δοκού μάλιστα, αποκαλύφθηκαν και οι οπλισμοί, μετά από αποκόλληση της επικαλύψεως.

Γενικώς η δοκός 1B ( $\alpha_s = 0.83$ ) παρουσίασε μικρότερου εύρους και εντάσεως ρηγμάτωση απ' ότι η δοκός 1A με τον μικρότερο λόγο διατμήσεως ( $\alpha_s = 0.50$ ) - φωτ. 2,6 -.



Σχ. 4.1: Μορφολογία ρηγματώσεως δοκών CB-1A, B (κλασική οπλιση).

Ο τρόπος αστοχίας των δοκιμών 1A, 1B επιβεβαιώνει τις παρατηρήσεις της βιβλιογραφίας στην περίπτωση των κλασικώς οπλισμένων δοκών συζεύξεως (πρβλ. §1.3.1). Δηλαδή ότι οι δοκοί με  $\alpha_s < 0.75$  στις οποίες ο οπλισμός διατμήσεως δεν επαρκεί για την ανάληψη δλης της τέμνουσας αστοχούν λόγω εφελκυστικής ρωγμής κατά μήκος της κυρίας διαγωνίου.

Ο σχεδιασμός έναντι τέμνουσας του CB-1A είχε γίνει λαμβά-

νοντας υπόψη και τη συνεισφορά του σκυροδέματος. Η φέρουσα υιανότητα των συνδετήρων ήταν  $V_W = 170 \text{ kN}$ , ενώ η μέγιστη τέμνουσα που αναπτύχθηκε ήταν  $V = 212 \text{ kN}$ .

Από την διαφορετική μορφολογία ρηγματώσεως των δύο δοκών θα μπορούσαν να εξαχθούν συμπεράσματα και για τους κύριους μηχανισμούς μεταφοράς τέμνουσας που ενεργοποιούνται στην άσθε περίπτωση: Στην δοκό CB-1A, με  $\alpha_s = 0.50$ , είναι εμφανές ότι ο υπερισχύει ο μηχανισμός του διαγωνίου θλιπτήρα. Ενώ στην CB-1B, με  $\alpha_s = 0.83$ , λόγω του τρόπου ρηγματώσεως (χιαστί ρωγμές, απουσία σημαντικών διαγωνίων ρωγμών) φαίνεται να ενεργοποιείται περισσότερο ο μηχανισμός δικτυώματος. Την υπόθεση αυτή ενισχύει και η εμφάνιση αστοχίας συνάφειας κατά μήκος των διαμήκων οπλισμών του 1B που υποδηλώνει την μεγαλύτερη συνεισφορά των οπλισμών αυτών στην μεταφορά των δυνάμεων. Δεν διαθέτομε δμως λεπτομερέστερα αποδεικτικά στοιχεία για την παραπάνω διαφοροποίηση.

#### **4.2 ΔΟΚΙΜΙΑ 2A, 2B (δισδιαγώνιοι οπλισμοί)**

Κατά τους πρώτους κύκλους φορτίσεως η μορφολογία ρηγματώσεως των δοκιμών αυτών είναι ανάλογη με την αντίστοιχη των ιλασικών οπλισμένων δοκιμών (πρβλ. § 4.1). Στην δοκό 2A με  $\alpha_s = 0.50$ , εμφανίστηκαν ρωγμές κατά τη διεύθυνση των κυρίων διαγωνίων ενώ στην 2B, με  $\alpha_s = 0.83$ , πλέγμα χιαστί ρωγμών ξοντά στα δύο άκρα (βλ. Φωτ. 10-13, 20-23).

Στη δοκό 2A παρατηρήθηκαν θλιπτικές αποφλοιώσεις στην επάνω αριστερή γωνία-της κατά τον κύκλο  $n = 5$  (βλ. φωτ. 12), και στην κάτω αριστερή γωνία για  $n = 7$  (φωτ. 14). Με την πρόοδο των ανακυκλίσεων, οι παραμορφώσεις συγκεντρώθηκαν στην αρχική ρωγμή κατά την κύρια διαγώνιο, οι δε αποφλοιώσεις στις γωνίες επεκτάθηκαν. Αστοχία επήλθε λόγω λυγισμού των διαγώνιων οπλισμών. Ο λυγισμός ξεκίνησε κατά τον κύκλο  $n = 9$  με "πέταγμα" ενός τμήματος της επικαλύψεως κατά μήκος της διαγωνίου (βλ. φωτ. 16-18), ολοκληρώθηκε δε στον  $n = 10$ .

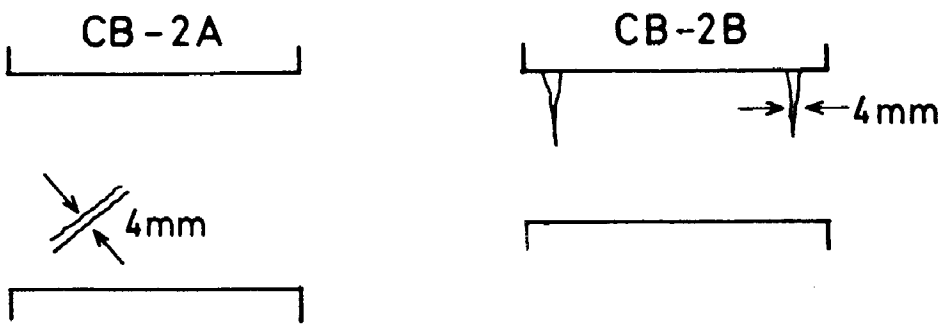
Στην φωτ. 19 φαίνεται καθαρά το "φούσκωμα" προς τα έξω

ενδός τμήματος της δοκού λόγω του λυγισμού των διαγώνιων οπλισμών.

Κατακόρυφη ρωγμή ολισθήσεως εμφανίστηκε και στα δύο άκρα της δοκού, με πιο έντονη εκείνη στο αριστερό άκρο (φωτ. 14), το εύρος της οποίας έφτασε τα 5 mm κατά τον κύκλο  $n = 7$ . Η ρωγμή αυτή επέτεινε οπωσδήποτε την αποδιοργάνωση των γωνιών της δοκού στην παρειά αυτή.

Στη δοκό 2B εμφανίστηκε σύνθλιψη σκυροδέματος στην κάτω δεξιά γωνία κατά τον κύκλο  $n = 4$  (φωτ. 22). Στον κύκλο  $n = 7$  αποκολλήθηκε τμήμα της επικαλύψεως, στο τέλος δε του 9ου κύκλου συνέβη θλιπτική θραύση σκυροδέματος λόγω λυγισμού των διαγώνιων οπλισμών (φωτ. 24-27). Κατά τον λυγισμό των οπλισμών, αστόχησε λόγω συνθλίψεως και το άλλο άκρο της διαγωνίου (επάνω αριστερή γωνία: φωτ. 24).

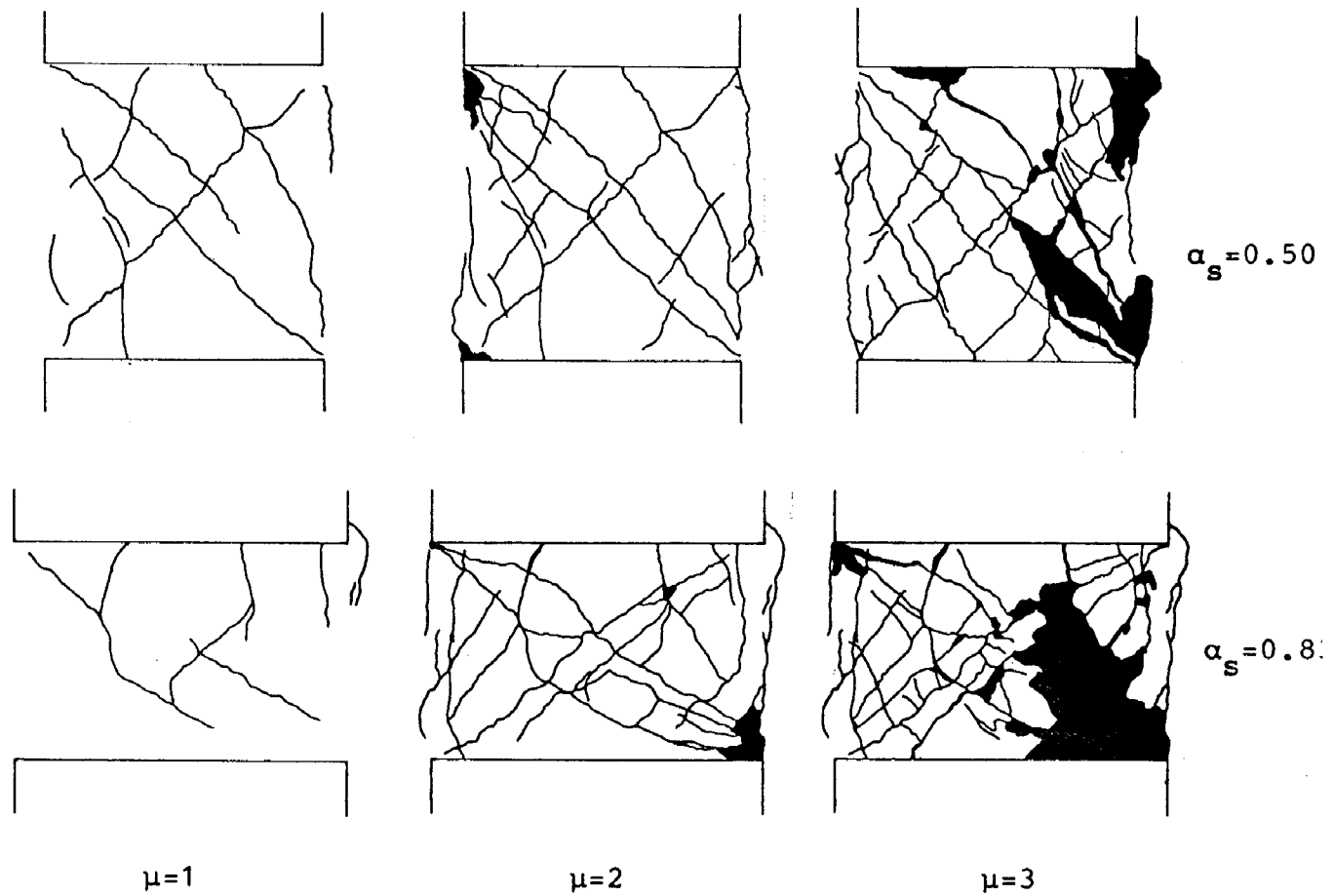
Στην δοκό αυτή οι παραμορφώσεις συγκεντρώθηκαν στις δύο καμπτικές ρωγμές που άνοιξαν στην επάνω παρειά (βλ. φωτ. 22), το άνοιγμα των οποίων έφτασε τα 4mm (για  $n = 7$ ), κατ' αντίθεση προς τη δοκό 2A δύο παραμορφώσεις συγκεντρώθηκαν στις διαγώνιες ρωγμές (βλ. Σχ. 4.2).



Σχ. 4.2: Ρωγμές στις οποίες συγκεντρώθηκαν οι παραμορφώσεις στα δοκ. CB-2A, 2B.

Εμφανίστηκαν και κατακόρυφες ρωγμές μεταξύ δοκού και τοιχώματος (φωτ. 22), το εύρος-τους δύμως παρέμεινε πολύ μικρό.

Πρέπει να παρατηρηθεί ότι η παρουσία των δισδιαγώνιων οπλισμών μείωσε σημαντικά το εύρος της ρηγματώσεως των δοκών, συγκριτικά με την αντίστοιχη των κλασικώς οπλισμένων δοκών. Η βελτίωση στην συμπεριφορά είναι συγκριτικώς πολύ εντονότερη στις δοκούς με λόγο  $\alpha_s = 0.50$ . Ετσι λ.χ. στην φωτ. 2 (δοκ.



Σχ. 4.3: Μορφολογία ρηγματώσεως για τις 3 στάθμες επιβαλλόμενων μετακινήσεων (δοκ. CB-2Α,Β).

1Α, για  $n = 4$ ) και φωτ. 13 (δοκ. 2Α, για  $n = 7$ ) παρατηρούμε "ίσες" ρηγματώσεις παρά την εξαιρετικώς πιο προχωρημένη εξαίτηση της δοκού 2Α.

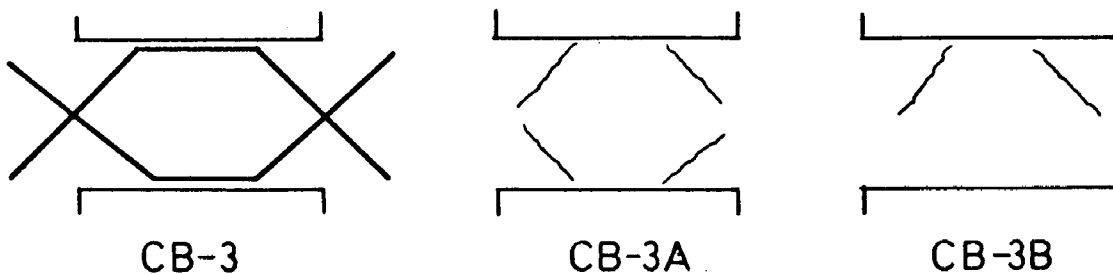
#### 4.3 ΔΟΚΙΜΙΑ 3Α, 3Β (χιαστή οπλισμός στα άκρα)

Σε χαμηλές στάθμες φορτίσεως ( $n \leq 4$ ) η μορφολογία ρηγματώσεως είναι παρόμοια με των δοκών 1,2: ρωγμές κατά την κύρια διαγώνιο στο 3Α, διαγώνιες ρωγμές κοντά στα άκρα στο 3Β (φωτ. 28, 35, 36).

Για μεγαλύτερες στάθμες φορτίου δμως, καί οι δύο δοκοί παρουσιάζουν στα άκρα -τους πλέγμα διαγωνίως διασταυρούμενων ρωγμών στις θέσεις ακριβώς όπου βρίσκονται οι χιαστή οπλισμοί (φωτ. 30,31,37,38). Οι ρωγμές αυτές υποδηλώνουν μάλλον, αστοχία

συνάφειας χάλυβα-σκυροδέματος κατά μήκος των χιαστί οπλισμών. Με την πάροδο των ανακυκλίσεων οι ρωγμές αυτές διευρύνονται (βλ. Σχ. 4.4) και επιταχύνουν την αστοχία των δοκιμών.

Παρατηρείται ότι το μεσαίο τμήμα των δοκών παραμένει σχετικώς, ανάπαφο (βλ. φωτ. 32, 39, 41).

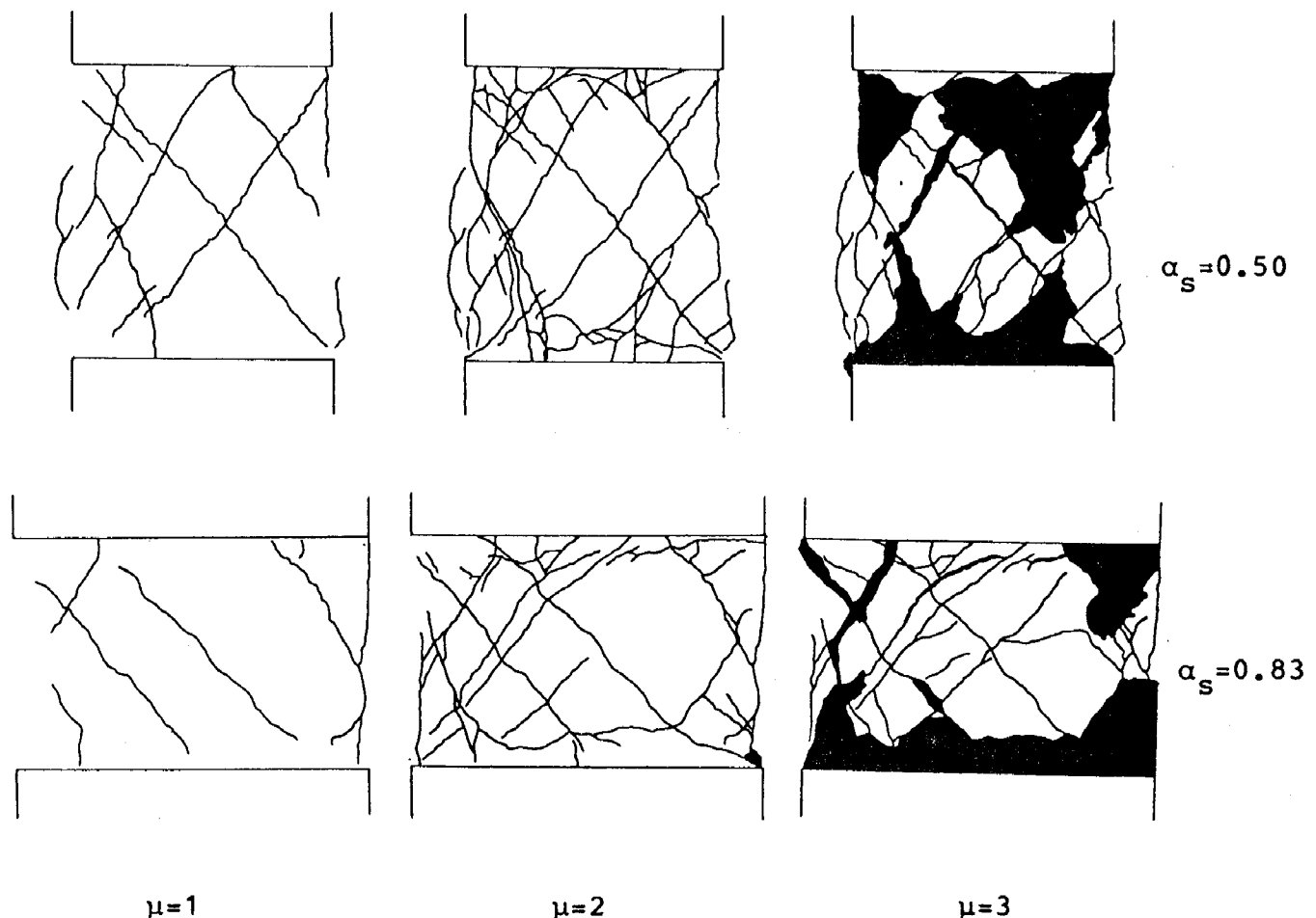


Σχ. 4.4: Ρωγμές στις οποίες συγκεντρώθηκαν οι παραμορφώσεις των δοκών με χιαστί οπλισμούς.

Καί οι δύο δοκοί αστόχησαν θλιπτοδιατητικά στις γωνίες (βλ. φωτ. 32-34 και 39-41). Παρατηρήθηκε επίσης αστοχία συνάφειας χάλυβα-σκυροδέματος, κατά μήκος των ακραίων διαμήκων οπλισμών η οποία συνοδεύτηκε κι από έντονες αποφλοιώσεις και αποκόλληση της επικαλύψεως (φωτ. 34, 40, 42).

Οι κατακρυφες ρωγμές ολισθήσεως που εμφανίζονται στα άκρα των δοκών δεν διευρύνονται, πράγμα που αναμένεται λόγω της παρουσίας των χιαστί οπλισμών ακριβώς πάνω στις ακραίες διατομές.

Απ' την μορφολογία ρηγματώσεως παρατηρούμε ότι καί οι χιαστί οπλισμοί, για μεσαίες τιμές μετακινήσεων ( $n \leq 6,7$ ), οδήγησαν σε μικρότερου εύρους και εκτάσεως ρηγμάτωση απ' ότι ο κλασικός τρόπος οπλίσεως.



Σχ. 4.5: CB-3A, B - Μορφολογία ρηγματώσεως για τις 3 στάθμες επιβαλλόμενων μετακινήσεων.

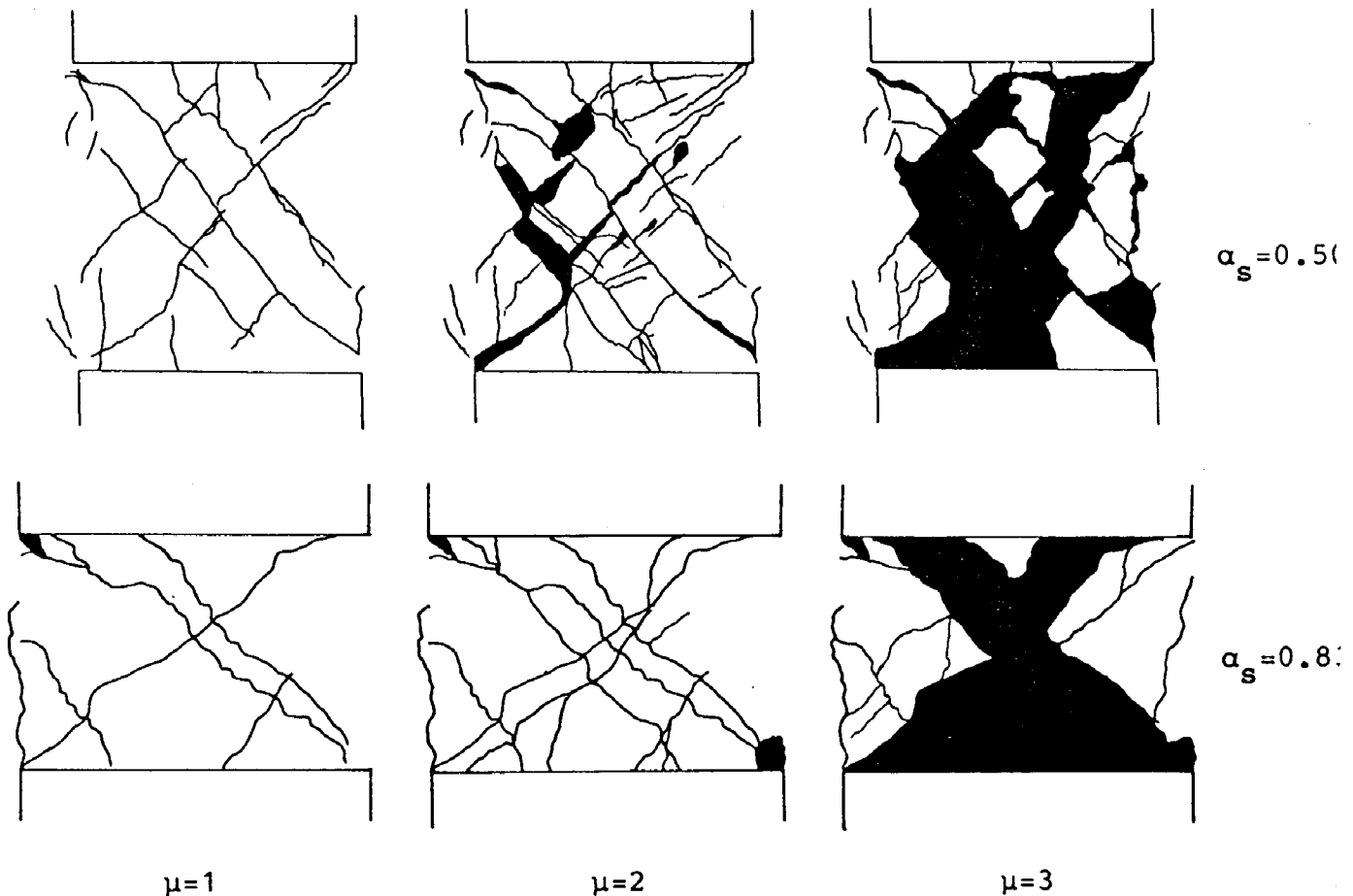
#### 4.4 ΔΟΚΙΜΙΑ 4A, 4B (βλήτρα καθόλο το μήνος της δοκού)

Στις δοκούς αυτές δεν παρατηρείται η διαφοροποίηση μορφολογίας ρηγματώσεως ανάλογα με τον λόγο  $\alpha_s$ . Και στα δύο δοκίμια, παρατηρούνται ρωγμές κατά τις κύριες διαγωνίους, το εύρος των οποίων αυξάνεται με την αύξηση του πλήθους των ανακυκλίσεων (βλ. φωτ. 43-46, Σχ. 4.6).

Η αστοχία και στα δύο δοκίμια επέρχεται στο μέσον της δοκού, λόγω συνδυασμού θλίψεως και διατμήσεως, συνοδεύεται δε από εκτεταμένες αποφλοιώσεις σκυροδέματος και αποκάλυψη των οπλισμών (πρβλ. φωτ. 47-50, Σχ. 4.6).

Εμφανίστηκε επίσης αστοχία συνάφειας μικρής εκτάσεως, κατά μήνος των ακραίων οπλισμών, για μεγάλες τιμές μετακινήσεων.

Κατακόρυφες ρωγμές στις θέσεις συνενώσεως με τα τοιχώματα πρακτικώς δεν εμφανίστηκαν. Ο ρόλος "πεδήσεως" των βλήτρων είναι φανερός.



Σχ. 4.6: Μορφολογία ρηγματώσεως δοκ. CB-4Α,Β για τις 3 στάθμες επιβαλλόμενων μετακινήσεων.

Γι' αυτόν τον λόγο, διατηρήθηκαν σχεδόν ανέπαφα τα ακραία τμήματα των δοκών, δλες δε οι βλάβες συγκεντρώθηκαν στα μεσαία τμήματα.

Αυτός δύναται να εξηγηθεί από την ανέπαφη σύγκριση με την αντίστοιχη συγκριτική στην οπλίσεως σε μειωμένη ρηγμάτωση συγκριτικά με εκείνη της αλασικής οπλίσεως.

**4.5 ΔΟΚΙΜΙΑ 5A, 5B (βλήτρα στις θέσεις συνενώσεως με τα τοιχώματα).**

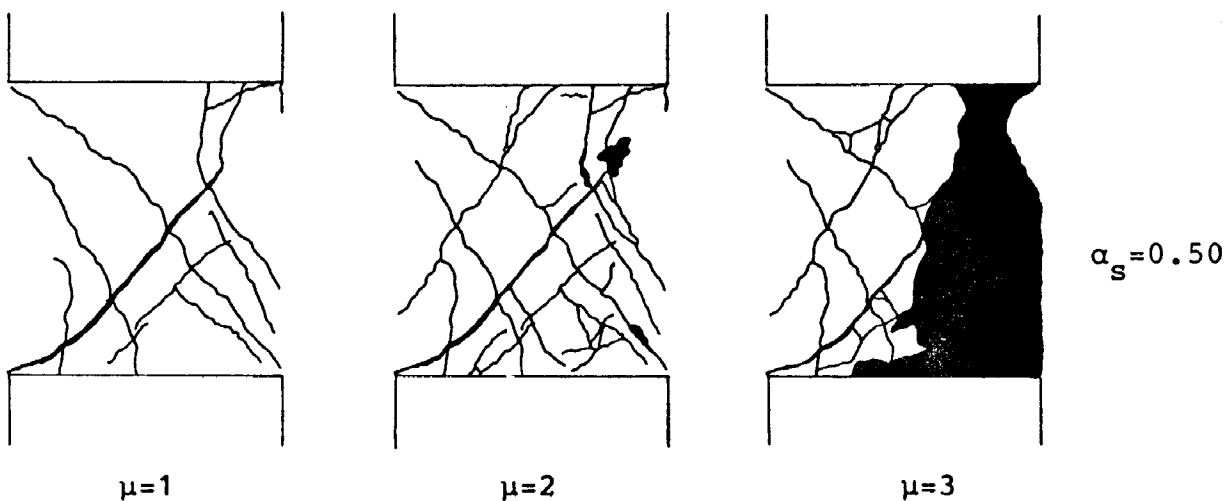
Οι δοκοί με "κοντά" βλήτρα συμπεριφέρθηκαν κατά τρόπον ανάλογο με τις δοκούς που είχαν βλήτρα σε δλο το μήκος-τους (πρβλ. §4.4).

Απ' τους πρώτους κύκλους φορτίσεως εμφανίζονται διαγώνιες ρωγμές κατά τη διεύθυνση των κύριων διαγωνίων, στις οποίες συγκεντρώνονται δλες οι παραμορφώσεις των δοκών (βλ. φωτ. 51, 52, Σχ. 4.7). Με την αύξηση των επιβαλλόμενων μετακινήσεων παρατηρείται σύνθλιψη και αποφλοίωση της κάτω δεξιάς γωνίας των δοκών (φωτ. 53), καθώς και τμημάτων των κυρίων διαγωνίων (φωτ. 54).

Η αστοχία των δοκών επέρχεται λόγω θλιπτοδιατμητικής θραύσεως του σκυροδέματος στο δεξιό άκρο. Η θραύση συνοδεύεται από εκτεταμένες αποφλοιώσεις και αποκάλυψη των οπλισμών, οι οποίες είναι εντονότερες στην δψη Β των δοκών λόγω μικρότερου πάχους επικαλύψεως (φωτ. 55-58).

Αστοχία συνάφειας χάλυβα-σκυροδέματος παρατηρείται σε μικρή έκταση κατά μήκος των ακραίων διαμήκων οπλισμών.

Κατακόρυφες ρωγμές ολισθήσεως μεταξύ δοκού-τοιχώματος δεν εμφανίστηκαν.



Σχ. 4.7: Μορφολογία ρηγμ. δοκ. CB-5A για τις 3 στάθμες επιβαλλόμενων μετακινήσεων.

Ο τρόπος αστοχίας των δοκών αυτών οφείλεται μάλλον στη μεταφορά των δυνάμεων βλήτρου στο σκυρόδεμα, στη θέση δπου

σταματούν τα βλήτρα. Οι δυνάμεις αυτές, σε συνδυασμό με την θλίψη και διάτμηση που μεταφέρονται μέσω των θλιβόμενων διαγωνίων απ' το άλλο άκρο της δοκού, προκαλούν την αστοχία.

Η όπλιση αυτή δεν οδήγησε σε μειωμένη ρηγμάτωση συγκριτικά με την ιλασική όπλιση.

Στον Πίνακα 4.1 φαίνονται ενδεικτικά το είδος και ο βαθμός των βλαβών του κάθε δοκιμίου.

ΠΙΝΑΚΑΣ 4.1: ΣΥΓΚΕΝΤΡΩΤΙΚΟΣ ΠΙΝΑΚΑΣ ΠΕΡΙΓΡΑΦΗΣ ΑΣΤΟΧΙΑΣ

(Για την κάθε μορφή σημειώνονται: + = ελαφρός, ++ = μέτρια, +++ = ισχυρή)

Λόγος διατμήσεως $\alpha_s$	$\alpha/\alpha$ δοκιμίου	Μ ο ρ φ ο λ ο γ ζ α α σ τ ο χ ζ α ζ	Διαγώνια ρηγμάτωση	Ολισθητική δύναμη	Απώλεια συνάρτεσης	Θλιπτικότητη της έρευνης δικρού	Λουπές (λυγνοθράσκ. ειαγ.ρέβ.)	Χιωτικές ρωγμές	Απαρλούδας ΙΣ στα δίκρα
0.50	CB-1A	+++	++					+	
	CB-2A	+++	+			+++	+++	+	+
	CB-3A	+	+	+++	+			+++	+++
	CB-4A	+++	+	+	+			+++	+++
	CB-5A	+++	++	+++	++			++	++
0.83	CB-1B	+	++	+			++	++	+++
	CB-2B	++	+		+++	+++	+	+	++
	CB-3B		+	++	+		++	++	++
	CB-4B	++		+	+			+++	+++
	CB-5B	+++		++	+++			++	++



Φωτ. 1: CB-1A. Μορφολογία ρηγματώσεως μετά το πέρας των 3 πρώτων αύκλων φορτίσεως:  $\mu=1$  ( $\delta=\pm 8.15\text{mm}$ ,  $V_{\max}=183\text{ kN}$ ) - δψη A.



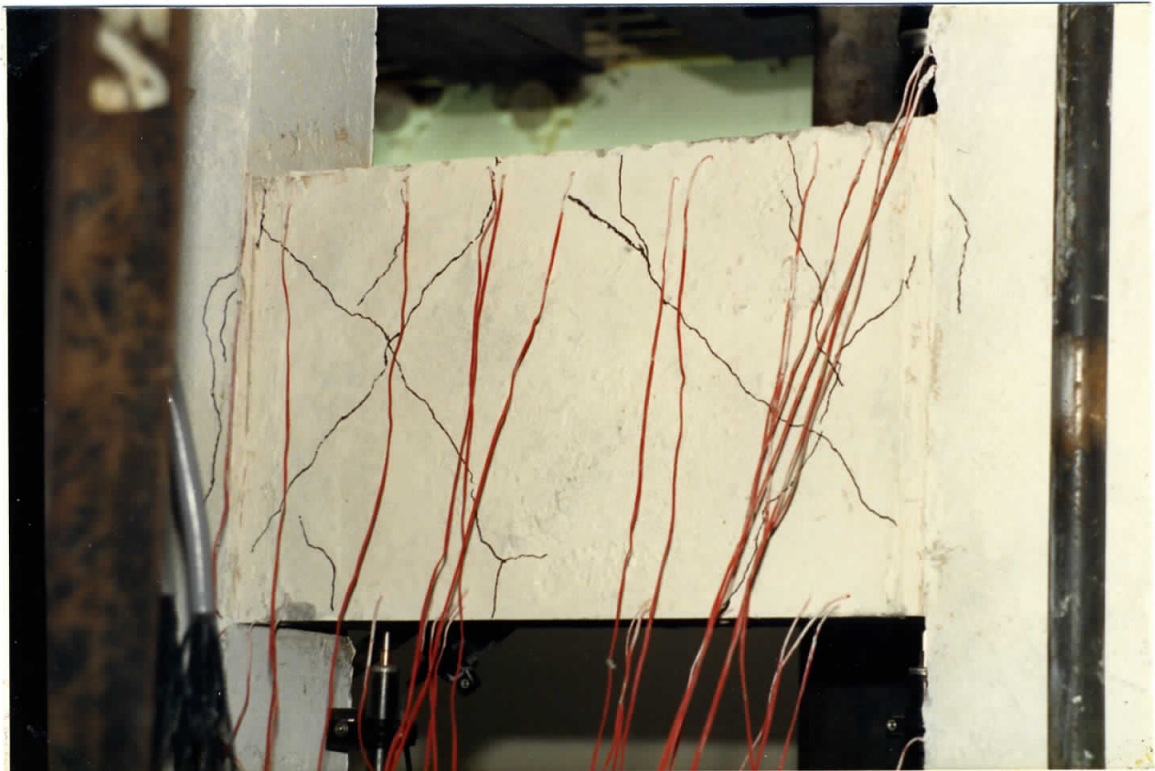
Φωτ. 2: CB-1A. Μορφολογία ρηγματώσεως για:  $n=4^-$ ,  $\mu=2$  ( $\delta=-16.2\text{mm}$ ,  $V=-196\text{ kN}$ ) - δψη A.



Φωτ. 3: CB-1A. Μορφολογία ρηγματώσεως μετά την αστοχία του δοκιμέου ( $n = 7$ ) - δψη Α -.



Φωτ. 4: CB-1A Μορφολογία ρηγματώσεως μετά την αστοχία του δοκιμέου - δψη Β -.



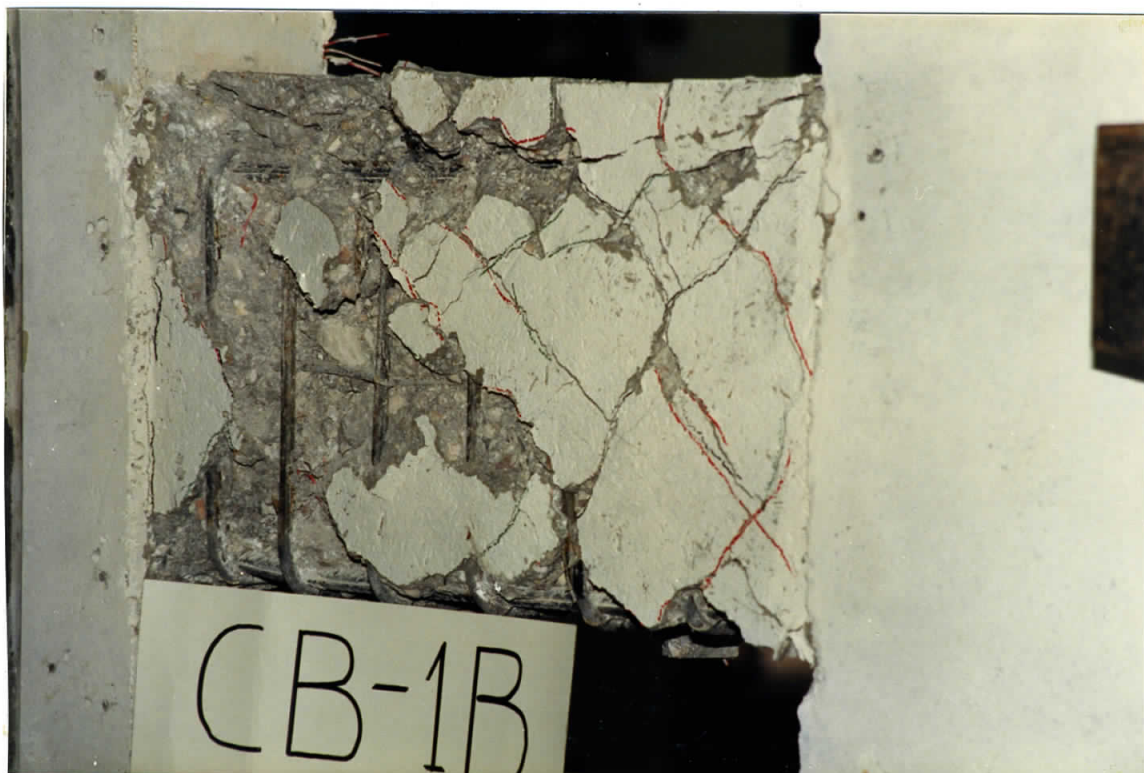
Φωτ. 5: CB-1B. Μορφολογία ρηγματώσεως μετά το πέρας των 3 πρώτων ιύνλων  $\mu=1$  ( $\delta= \pm 6,4\text{mm}$ ,  $V_{\max} = 100 \text{ kN}$ ) - δψη A -.



Φωτ. 6: CB-1B. Μορφολογία ρηγματώσεως για  $n = 6$ ,  $\mu = 2$  ( $\delta= \pm 12,8 \text{ mm}$ ,  $V_{\max} = 124 \text{ kN}$ ) - δψη B -.



Φωτ. 7: CB-1B. Μορφολογία ρηγματώσεως μετά την αστοχία του δο-  
κιμήσου  $n = 10$ ,  $\mu > 3$  ( $\delta_{10} = 49\text{mm}$ ,  $V_{\max} = 108 \text{ kN}$ ) - δψη Α -.



Φωτ. 8: CB-1B. Μορφολογία ρηγματώσεως μετά την αστοχία - δψη Β -.



Φωτ. 9: CB-1B. Λεπτομέρεια μορφολογίας ρηγματώσεως ηατά την αστοχία - δψη Β -.



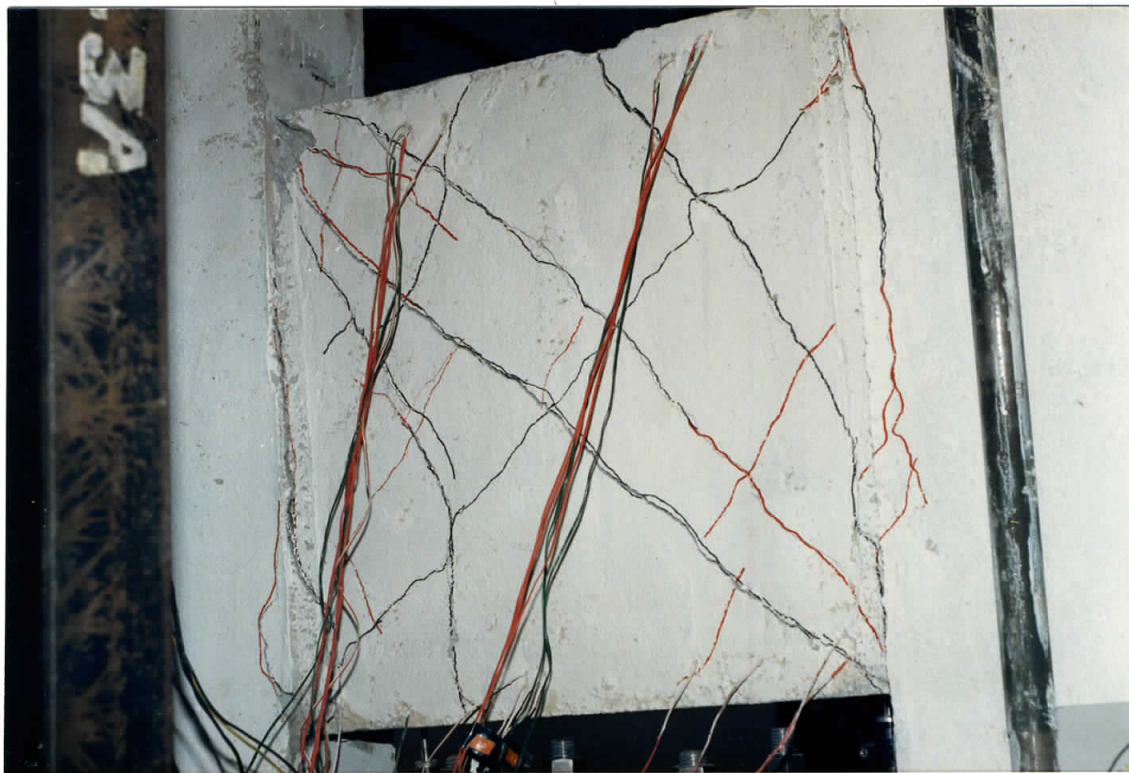
Φωτ.10: CB-2A. Μορφολογία ρηγματώσεως για  $n = 1^+$  ( $\delta = 6,2 \text{ mm}$ ,  $V = 188 \text{ kN}$ ) - δψη Α -.



Φωτ. 11: CB-2A. Μορφολογία ρηγματώσεως μετά το πέρας των 3 πρώτων αύκλων  $\mu = 1$  ( $\delta = \pm 7,4\text{mm}$ ,  $V_{\max} = 214 \text{ kN}$ ) - δψη A -.



Φωτ. 12: CB-2A. Μορφολογία ρηγματώσεως μετά το τέλος των 6 πρώτων αύκλων  $\mu = 2$  ( $\delta = \pm 14,8\text{mm}$ ,  $V_{\max} = 283 \text{ kN}$ ) - δψη A -.



Φωτ. 13: CB-2A. Μορφολογία ρηγματώσεως για  $n = 7+$  ( $\delta = 17,3$  mm,  $\dagger V = 252,5$  kN) - δψη A -.



Φωτ. 14: CB-2A. Μορφολογία ρηγματώσεως για  $n = 8+$ ,  $\mu = 3$  ( $\delta = 22,4$  mm,  $\dagger V = 227$  kN) - δψη A -.



Φωτ. 15: CB-2A. Μορφολογία ρηγματώσεως για  $n = 10+$  ( $\delta_{\text{παραμ.}} = -9,5 \text{ mm}$ ,  $\uparrow V = 12 \text{ kN}$ ) - δψη Α -.



Φωτ. 16: CB-2A. Μορφολογία ρηγματώσεως μετά την αστοχία του δοκιμήσου ( $n = 10$ ) - δψη Α -.



Φυτ. 17: CB-2A. Λεπτομέρεια θλιπτοδιατμητικής αστοχίας της γωνίας της δούκού.



Φωτ. 18: CB-2A. Μορφολογία ρηγματώσεως μετά την αστοχία - όψη Β -.



Φωτ. 19: CB-2A. Λεπτομέρεια δύψεως Β όπου διακρίνεται το "φούσκωμα" της δοκού λόγω λυγισμού των διαγωνών οπλισμών.



Φωτ. 20: CB-2B. Μορφολογία ρηγματώσεως μετά τους 3 πρώτους αύκλους φορτίσεως:  $\mu = 1$  ( $\delta = \pm 8,5 \text{ mm}$ ,  $V_{\max} = 115 \text{ kN}$ ) - δύψη Α - .



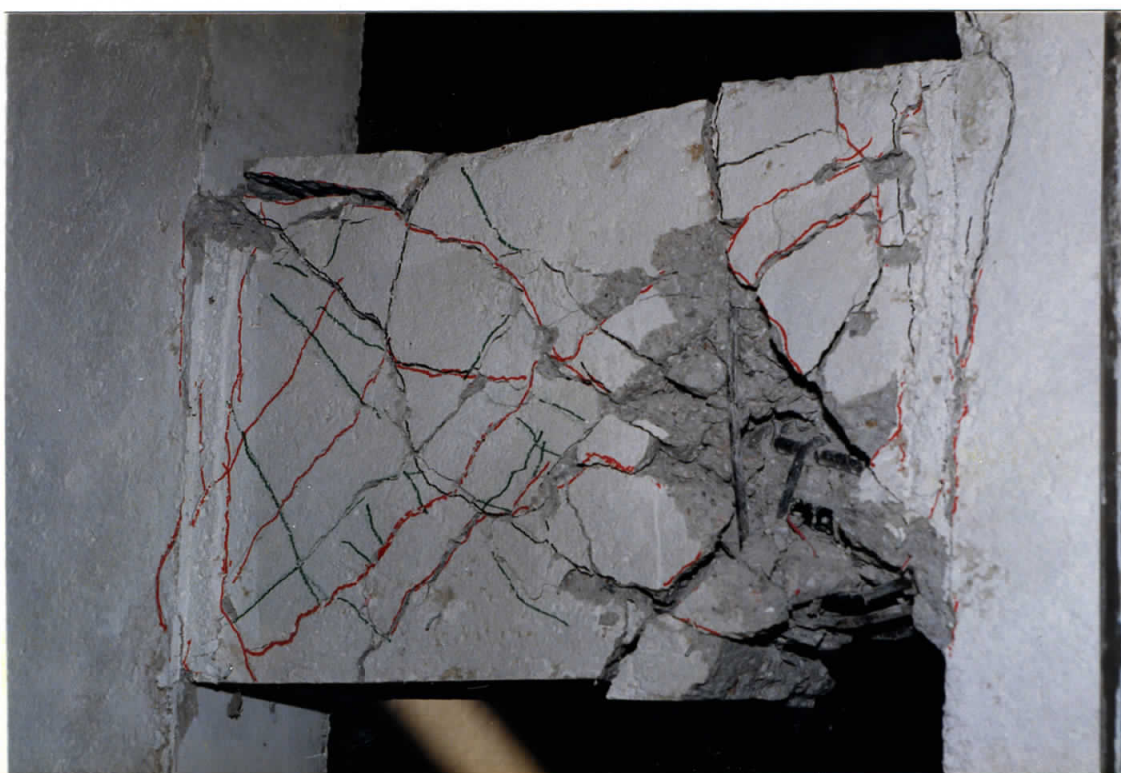
Φωτ. 21: CB-2B. Μορφολογία ρηγματώσεως μετά τους 3 πρώτους αύλους - δψη Β -.



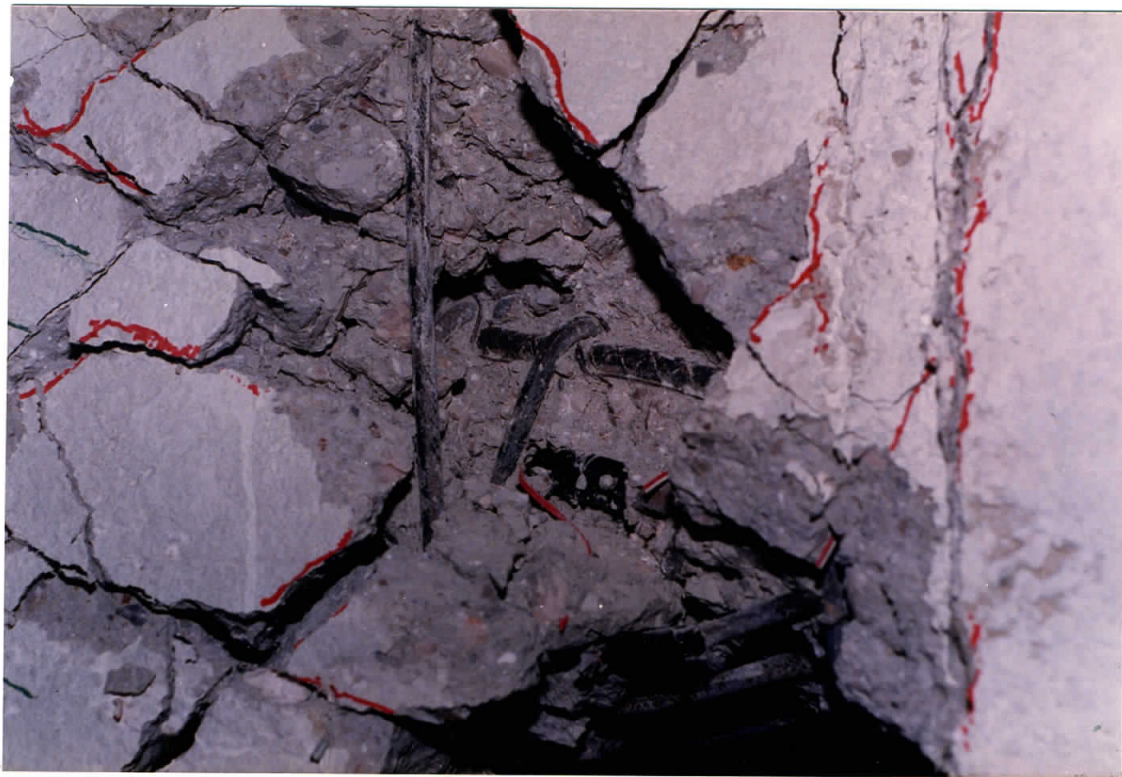
Φωτ. 22: CB-2B. Μορφολογία ρηγματώσεως μετά το τέλος των 6 πρώτων αύλων:  $\mu = 2$  ( $\delta = \pm 17 \text{ mm}$ ,  $V_{\max} = 167 \text{ kN}$ ) - δψη Α -.



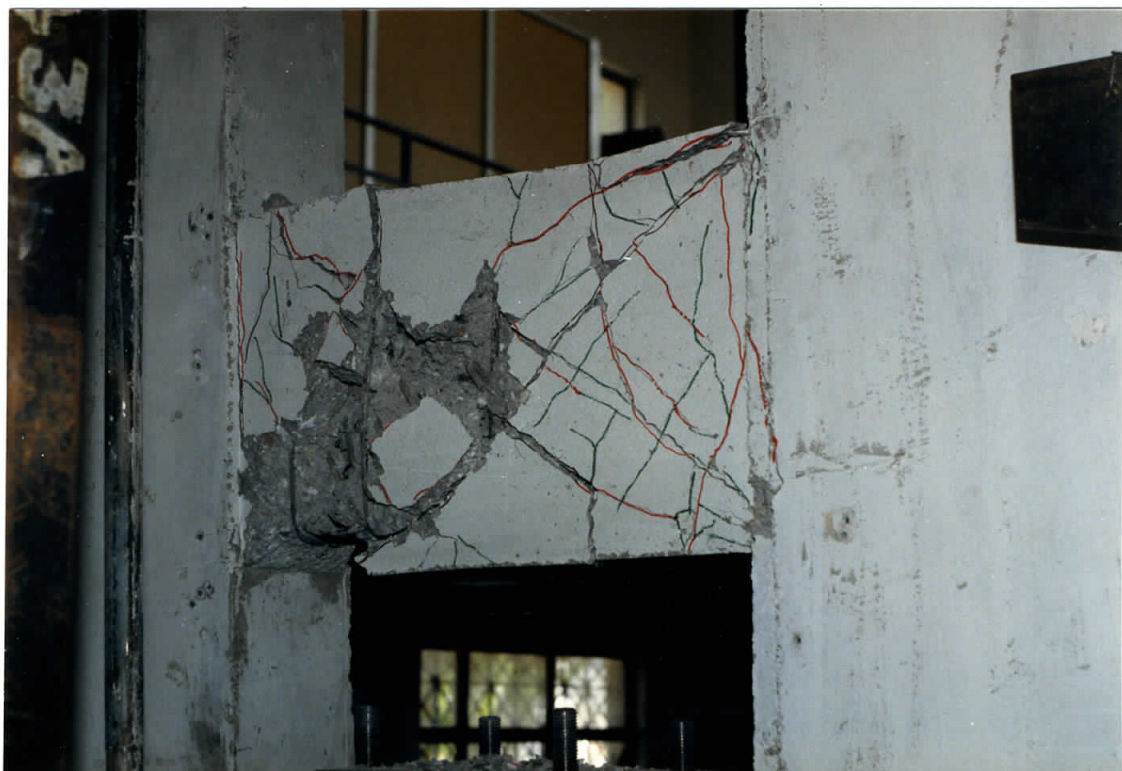
Φωτ. 23: CB-2B. Μορφολογία ρηγματώσεως μετά τους 6 πρώτους αύλους - δψη Β -.



Φωτ. 24: CB-2B. Μορφολογία ρηγματώσεως μετά την αστοχία ( $n = 10$ ,  $\delta_{10} = 43 \text{ mm}$ ) - δψη Α -.



Φωτ. 25: CB-2B. Λεπτομέρεια φωτ. 24. Διακρίνεται ο λυγισμός των διαγωνών ράβδων.



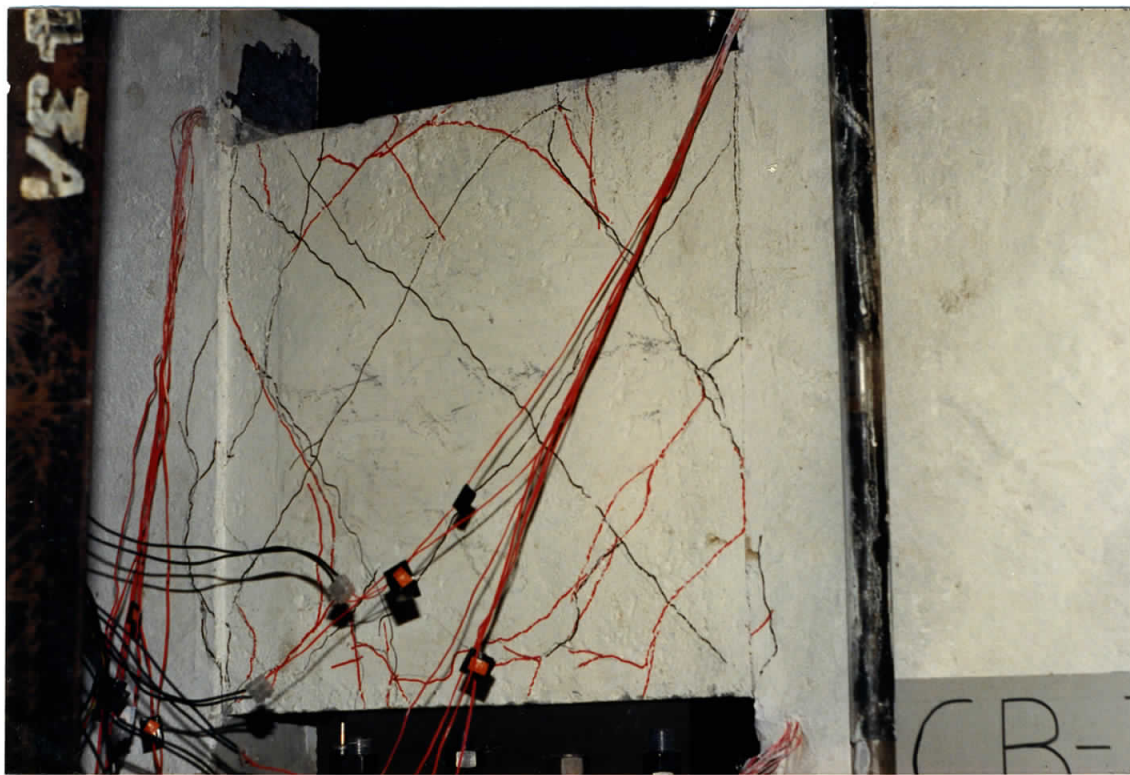
Φωτ. 26: CB-2B. Μορφολογία ρηγματώσεως κατά την αστοχία της δοκού - δψη Β -.



Φωτ. 27: CB-2B. Λεπτομέρεια αστοχίας της γωνίας της δοκού.



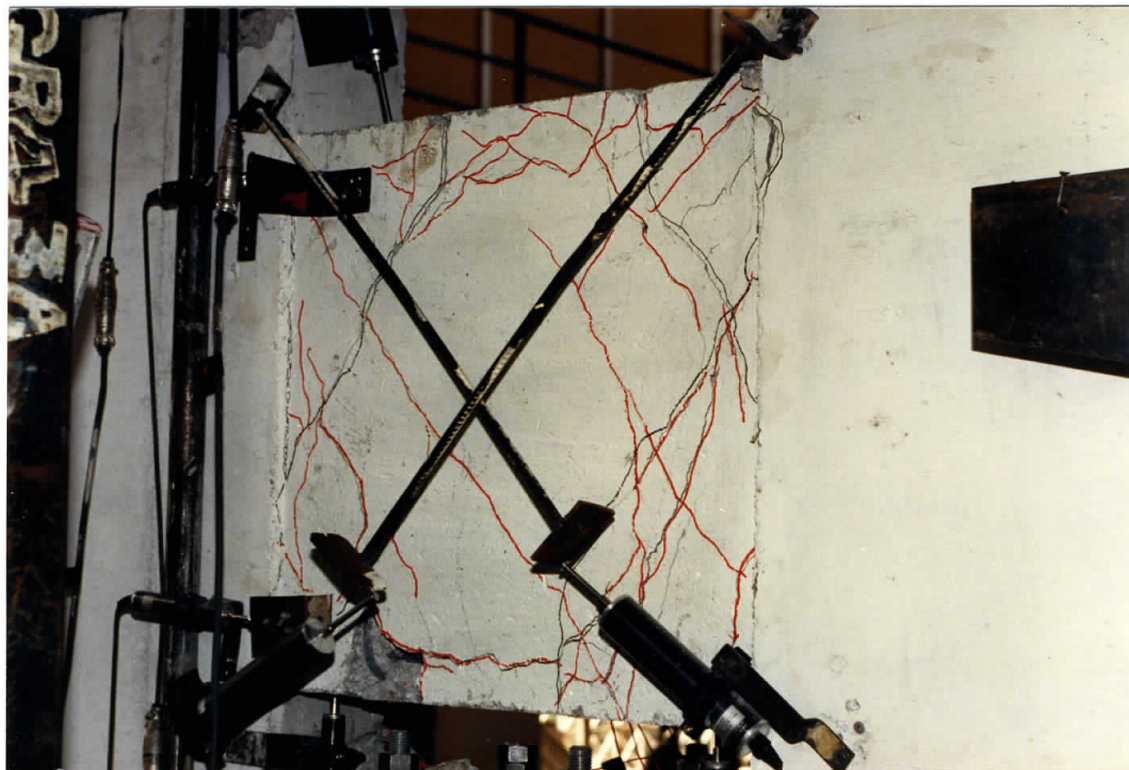
Φωτ. 28: CB-3A. Μορφολογία ρηγματώσεως μετά το τέλος της πρώτης δοκιμής (προφόρτιση). Δεν μεταβλήθηκε μετά το τέλος των 3 πρώτων αύηλων της κανονικής δοκιμής:  $\mu = 1$  ( $\delta = \pm 8,6 \text{ mm}$ ,  $V_{\max} = 183 \text{ kN}$ ) - δψη A -.



Φωτ. 29: CB-3A. Μορφολογία ρηγματώσεως για  $n = 5+$  ( $\delta = 10,2 \text{ mm}$ ,  $\uparrow V = 150 \text{ kN}$ ) - δύη Α -.



Φωτ. 30: CB-3A. Τέλος δου κύκλου:  $\mu = 2$  ( $\delta = \pm 17,2 \text{ mm}$ ,  $V_{\max} = 302 \text{ kN}$ ) - δύη Α -.



Φωτ. 31: CB-3A. Τέλος 6ου αύκλου - δψη B -.



Φωτ. 32: CB-3A. Μορφολογία ρηγματώσεως μετά την αστοχία ( $n = 9$ ,  $\delta_9 = 34,8 \text{ mm}$ ) - δψη A -.

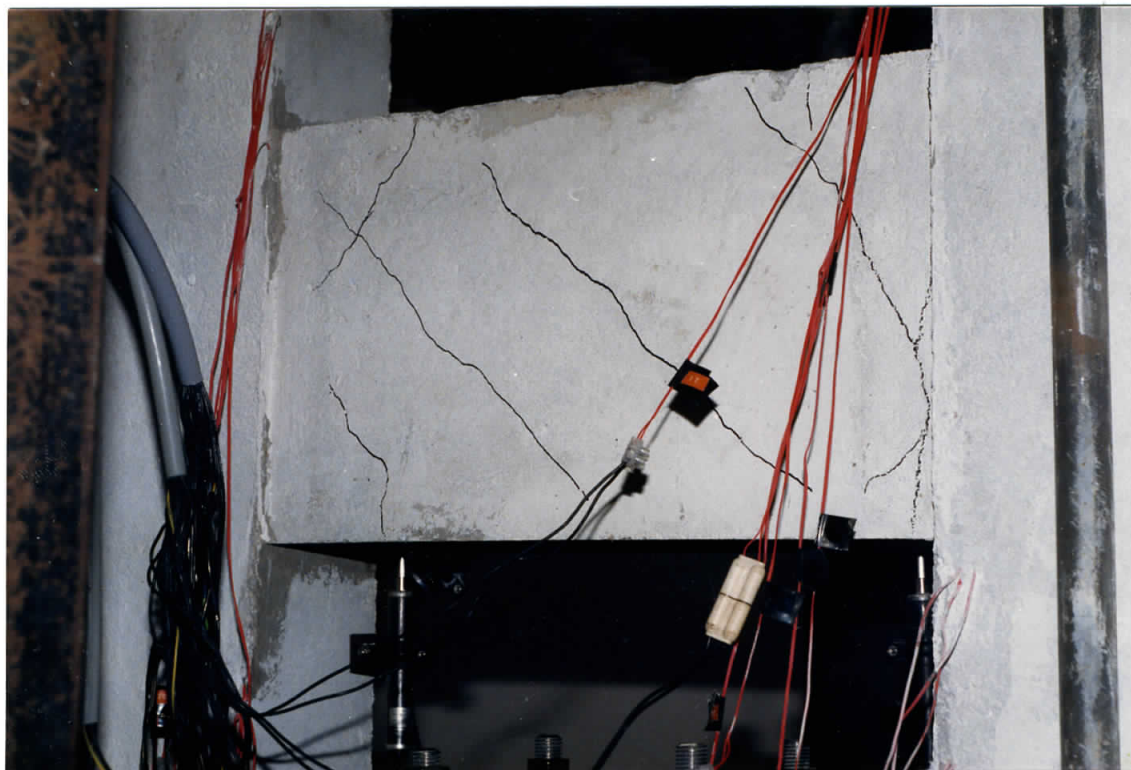


Φωτ. 33: CB-3A. Μορφολογία ρηγματώσεως μετά την αστοχία - δψη Β -.



Φωτ. 34:

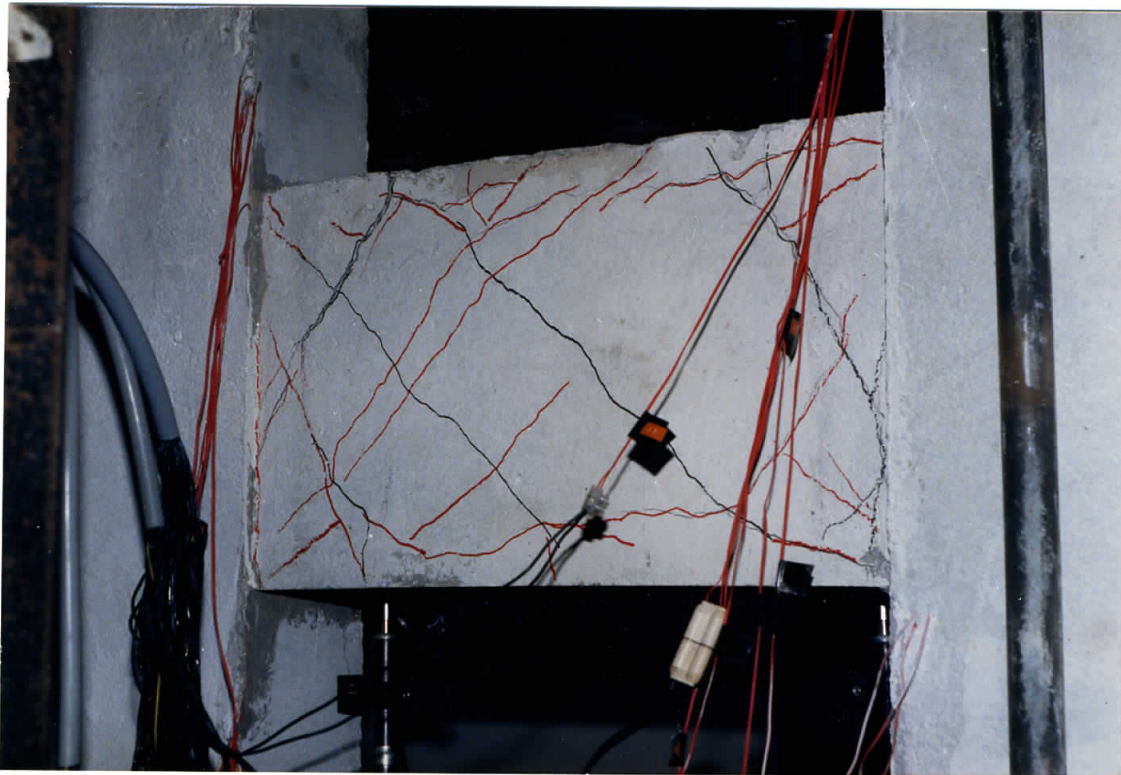
CB-3A. Λεπτομέρεια ρηγματώσεως παρειάς της δοκού μετά την αστοχία - δψη Β -.



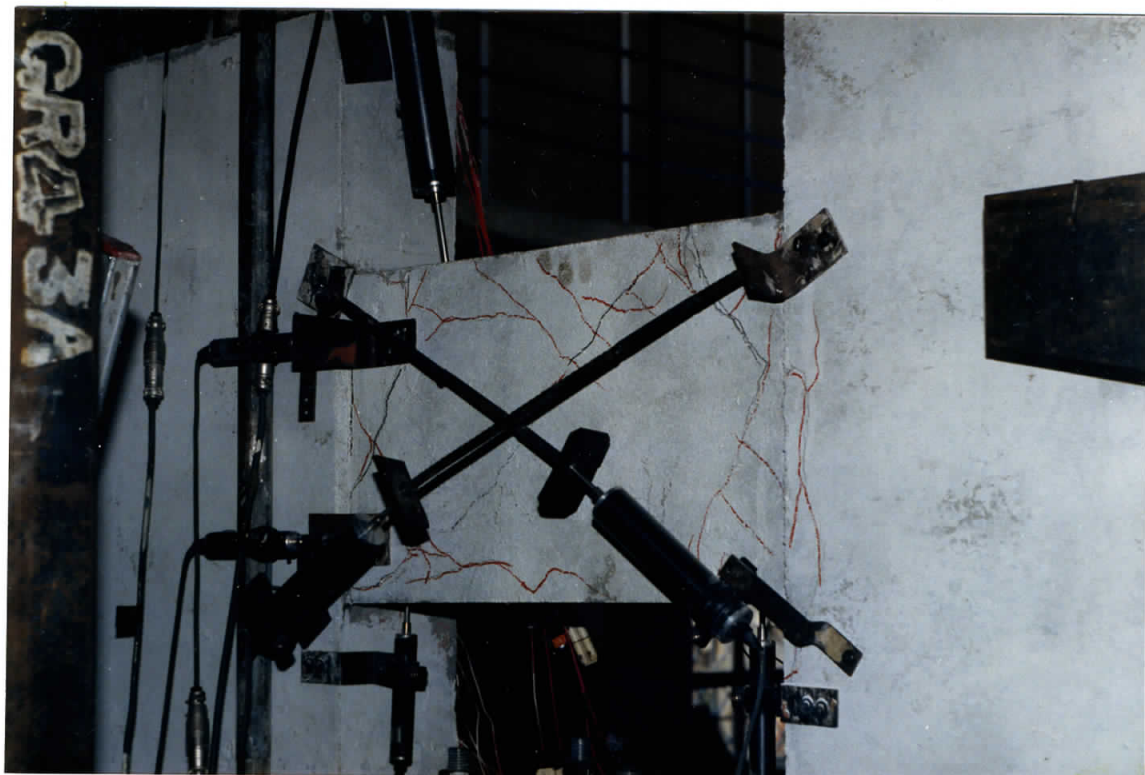
Φωτ. 35: CB-3B. Μορφολογία ρηγματώσεως μετά τους 3 πρώτους αύλους:  $\mu = 1$  ( $\delta = \pm 6,4 \text{ mm}$ ,  $V_{\max} = 120 \text{ kN}$ ) - δψη Α -.



Φωτ. 36: CB-3B. Μορφολογία ρηγματώσεως μετά τους 3 πρώτους αύλους - δψη Β -.



Φωτ. 37: CB-3B. Μορφολογία ρηγματώσεως μετά το τέλος του δου  
ιύκλου:  $\mu = 2$  ( $\delta = \pm 12,8$  mm,  $V_{max} = 151$  kN) - άψη Α -.



Φωτ. 38: CB-3B. Μορφολογία ρηγματώσεως μετά τον δο ιύκλο - άψη Β -.



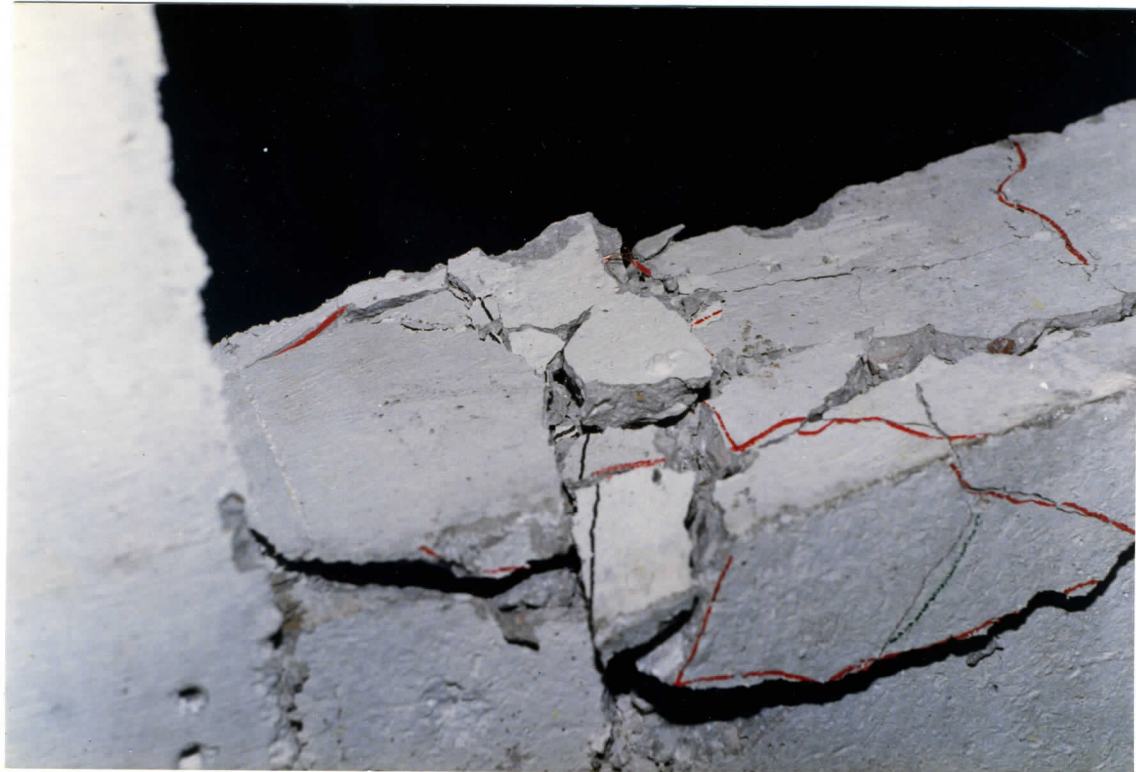
Φωτ. 39: CB-3B. Μορφολογία ρηγματώσεως μετά την αστοχία της δοκού ( $n = 10$ ,  $\delta_{10} = 39,5$  mm) - όψη Α -.



Φωτ. 40: CB-3B. Λεπτομέρεια αποκαλύψεως οπλισμών κάτω άκρου.  
Διακρίνονται οι χιαστές οπλισμού.



Φωτ. 41: CB-3B. Μορφολογία ρηγματώσεως μετά την αστοχία - δύη Β -



Φωτ. 42: CB-3B. Λεπτομέρεια θραύσεως επάνω γωνίας της δοκού.



Φωτ. 43: CB-4A. Μορφολογία ρηγματώσεως κατά την αποφόρτιση απ' τον κύκλο  $n = 1+$  - δψη A -.



Φωτ. 44: CB-4A. Μορφολογία ρηγματώσεως μετά τους 3 πρώτους κύκλους:  $\mu = 1$  ( $\delta = \pm 10,4$  mm,  $V_{max} = 282$  kN) - δψη A -.



Φωτ. 45: CB-4A. Μορφολογία ρηγματώσεως μετά τον ιύκλο:  $n = 4+$ .  
Η διαγώνια ρωγμή έχει  $\delta_{παρ} = 5 \text{ mm}$  - όψη Α -.



Φωτ. 46: CB-4A. Μορφολογία ρηγματώσεως στο μέγιστο φορτίο του ιύκλου:  $n = 4-$  ( $\delta = -16 \text{ mm}$ ,  $\dot{\gamma}V = -110 \text{ kN}$ ) - όψη Α -.



Φωτ. 47: CB-4A. Κύκλος n = 5- ( $\delta = -10$  mm,  $\dot{\gamma}V = -27$  kN) - όψη A -.



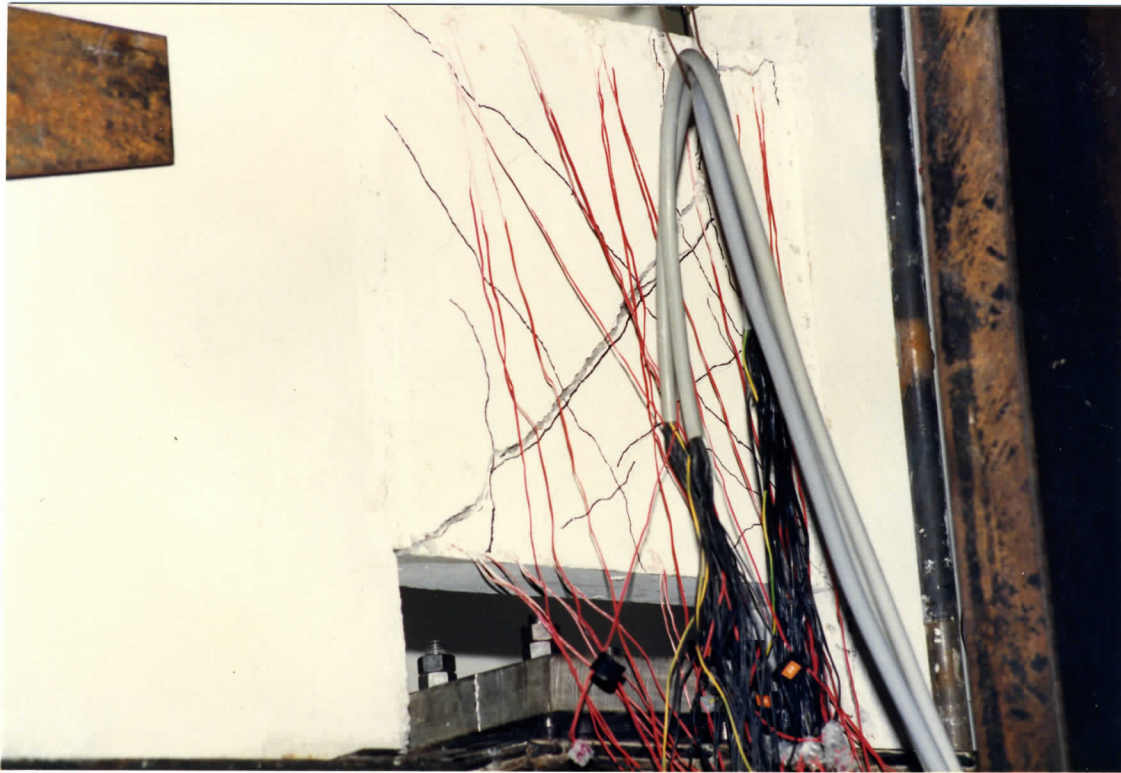
Φωτ. 48: CB-4A. Λεπτομέρεια θλιπτοδιατμητικής αστοχίας στο μέσον της δοκού.



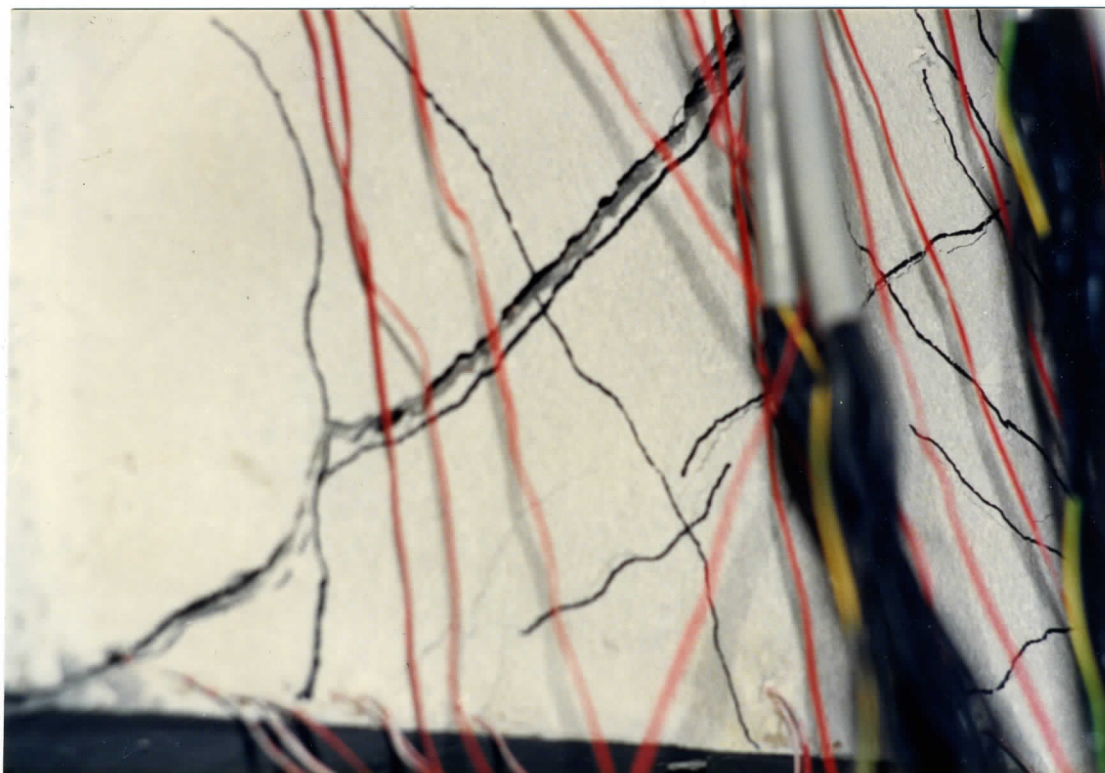
Φωτ. 49: CB-4Α. Μορφολογία ρηγματώσεως μετά την αστοχία.  
( $n = 7$ ,  $\delta_7 = 40,4$  mm) - όψη Α -.



Φωτ. 50: CB-4Α. Αστοχία δοκού - όψη Β - Διακρίνεται η εγκάρσια διδγκωση στο μέσον.



Φωτ. 51: ΣΒ-5Α. Μορφολογία ρηγματώσεως σε στάθμη φορτίσεως:  
 $\downarrow V = -201 \text{ kN}$ ,  $\delta = -11,8 \text{ mm}$  (κορυφή κύκλου  $n = 2-$ )  
 - Όψη Α - .



Φωτ. 52: ΣΒ-5Α. Λεπτομέρεια φωτ. 51. Άνοιγμα διαγώνιας ρωγμής:  
 $d = 10 \text{ mm}$ .



Φωτ. 53: CB-5Α. Μορφολογία ρηγματώσεως για  $n = 4-$ : ( $\delta = -12,1 \text{ mm}$ ,  $\dot{\gamma}V = -159 \text{ kN}$ ) - δψη Α -.



Φωτ. 54: CB-5Α. Μορφολογία ρηγματώσεως για  $n = 4-$ , - δψη Β -.



Φωτ. 55: CB-5A. Μορφολογία ρηγματώσεως μετά την αστοχία της δοκού - δψη Α -.



Φωτ. 56: CB-5A. Λεπτομέρεια αστοχίας κάτω γωνίας της δοκού.  
Διακρίνεται η παραμόρφωση των οπλισμών κάμψεως φ12.



Φωτ. 57: CB-5A. Μορφολογία ρηγματώσεως μετά την αστοχία - δψη Β -. Διακρίνεται η στρέβλωση των συνδετήρων λόγω εγκάρσιας διογκώσεως.



Φωτ. 58: CB-5A. Λεπτομέρεια αστοχίας της κάτω γωνίας της δοκού.

## **5. ΜΕΙΩΣΗ ΤΗΣ ΑΠΟΚΡΙΣΕΩΣ ΛΟΓΩ ΑΝΑΚΥΚΛΙΣΕΩΝ**

Η μείωση της μέσης αποκρίσεως των δοκιμών για τις δύο κατευθύνσεις φορτίσεως συναρτήσει του αριθμού "n" των κύκλων φαίνεται στα Σχ. 5.1 έως 5.5. Εκφράζεται με τον λόγο του μέσου φορτίου  $\bar{V}_n$  που αναλαμβάνει το δοκίμιο σε έναν κύκλο (για δεδομένη στάθμη επιβαλλόμενης μετακινήσεως) προς το μέσο φορτίο  $\bar{V}_1$  που αντιστοιχεί στον 1ο κύκλο της ίδιας στάθμης μετακινήσεως (ίδιο "μ"). Στους Πίνακες 5.1, 5.2 σημειώνονται οι μέγιστες τιμές των φορτίων των δοκιμών στις δύο κατευθύνσεις φορτίσεως ( $V(+)$ ,  $V(-)$ ), οι μέσες τιμές-τους  $\bar{V}_n$ , καθώς και οι αντίστοιχοι λόγοι  $\bar{V}_n/\bar{V}_1$ .

Στα Σχ. 5.1-5.5 η καμπύλη  $\mu = 1$  αντιστοιχεί στην μετακίνηση διαρροής  $\delta = \delta_0$ , η  $\mu = 2$  σε  $\delta = 2\delta_0$  και η  $\mu = 3$  σε  $\delta = 3\delta_0$ . Τα δοκίμια για τα οποία δεν δίδονται καμπύλες  $\mu = 2$  ή 3 είχαν αστοχήσει για μικρότερες επιβαλλόμενες μετακινήσεις.

Στα Σχ. 5.6, 5.7 παριστάνεται η μέση μείωση της αποκρίσεως  $\Delta\bar{V}$  (για τις στάθμες επιβαλλόμενων μετακινήσεων  $\mu = 2,3$ ) ως ποσοστό του  $\bar{V}_1$  (της αντίστοιχης στάθμης "μ"), συναρτήσει του αριθμού  $n$  των κύκλων.

Παρατηρούμε ότι τα δοκίμια CB-2A,B με την δισδιαγώνια άπλιση παρουσίασαν την μικρότερη μείωση αποκρίσεως από όλες τις άλλες κατηγορίες.

Μετά τις διαγωνίως οπλισμένες δοκούς, η μικρότερη μείωση αποκρίσεως  $\Delta V$  παρατηρήθηκε στις δοκούς CB-3A,B με τους χιαστή οπλισμούς στα άκρα.

Η δοκός CB-3A για  $\mu = 3$  παρουσίασε μεγάλη  $\Delta V$ , ήταν δημοση η μόνη από τις δοκούς με λόγο διατμήσεως  $a_s = 0.50$  που άντεξε σε τόσο μεγάλες μετακινήσεις.

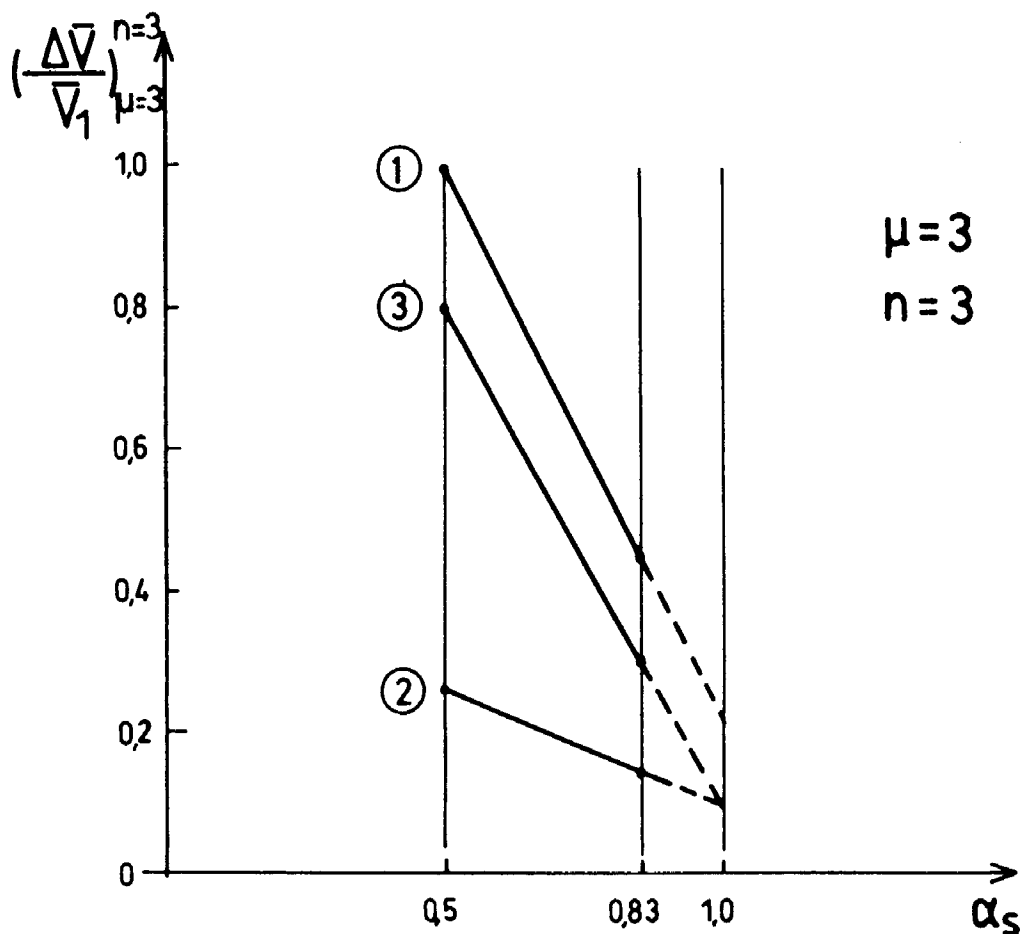
Τη χειρότερη συμπεριφορά, είχαν τα δοκίμια CB-4, CB-5 με τα βλήτρα (Σχ. 5.4-5.6).

Παρατηρείται ακόμη ότι τα δοκίμια CB-1B και CB-3B με  $a_s = 0.83$  παρουσίασαν παρόμοια συμπεριφορά, σε αντίθεση με

τα CB-1A και CB-3A που είχαν  $\alpha_s = 0.50$  (βλ. Σχ. 5.1, 5.3, 5.6). Βλέπουμε δηλαδή ότι για τον μεγαλύτερο λόγο διατμήσεως η διαφορά ανάμεσα στην ικανή διαταξη και στους χιαστές οπλισμούς στα άκρα μειώνεται (πρβλ. §4.2,8).

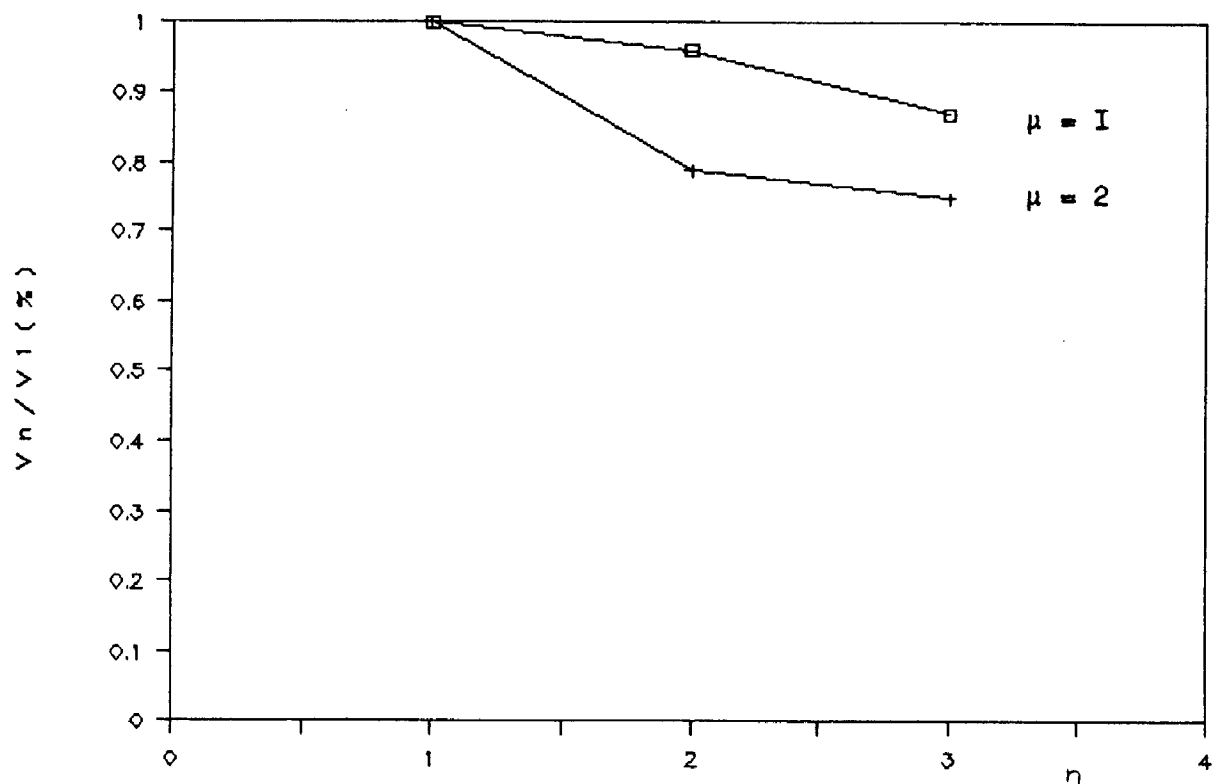
Συγκρίνοντας την συμπεριφορά των δοκών με την ίδια διαταξη και με διαφορετικό λόγο διατμήσεως, φαίνεται ότι οι δοκοί με  $\alpha_s = 0.83$  (δοκίμια B) εμφάνισαν πολύ μικρότερη μείωση αποκρίσεως απ' τις δοκούς με  $\alpha_s = 0.50$ . Η διαφοροποίηση της συμπεριφοράς γίνεται εντονότερη για μεγαλύτερες στάθμες επιβαλλόμενων μετακινήσεων.

Στο Σχ. 5.8 παριστάνεται ενδεικτικά η μείωση της αποκρίσεως των δοκών CB-1,2,3 συναρτήσει του λόγου διατμήσεως, για  $\mu = 3$  και  $n = 3$ .

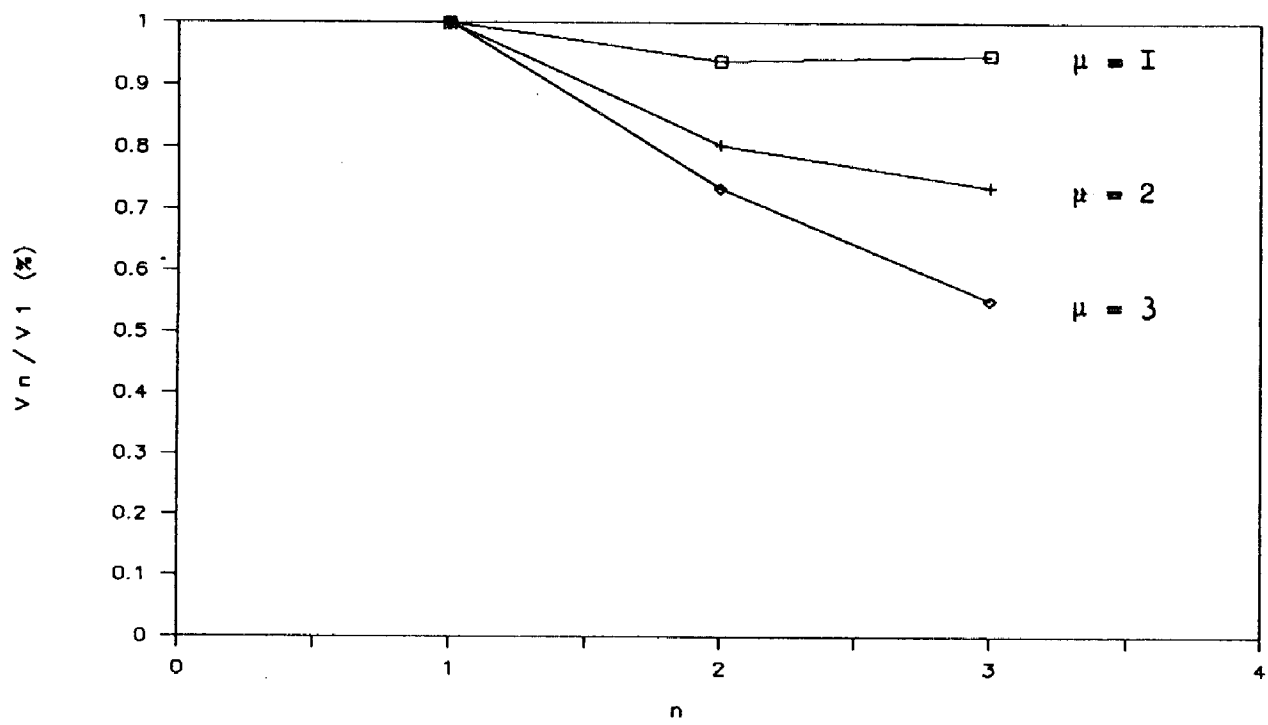


Σχ. 5.8: Μείωση της αποκρίσεως των δοκιμών CB-1,2,3 συναρτήσει του λόγου διατμήσεως (για  $\mu = 3$ ,  $n = 3$ ).

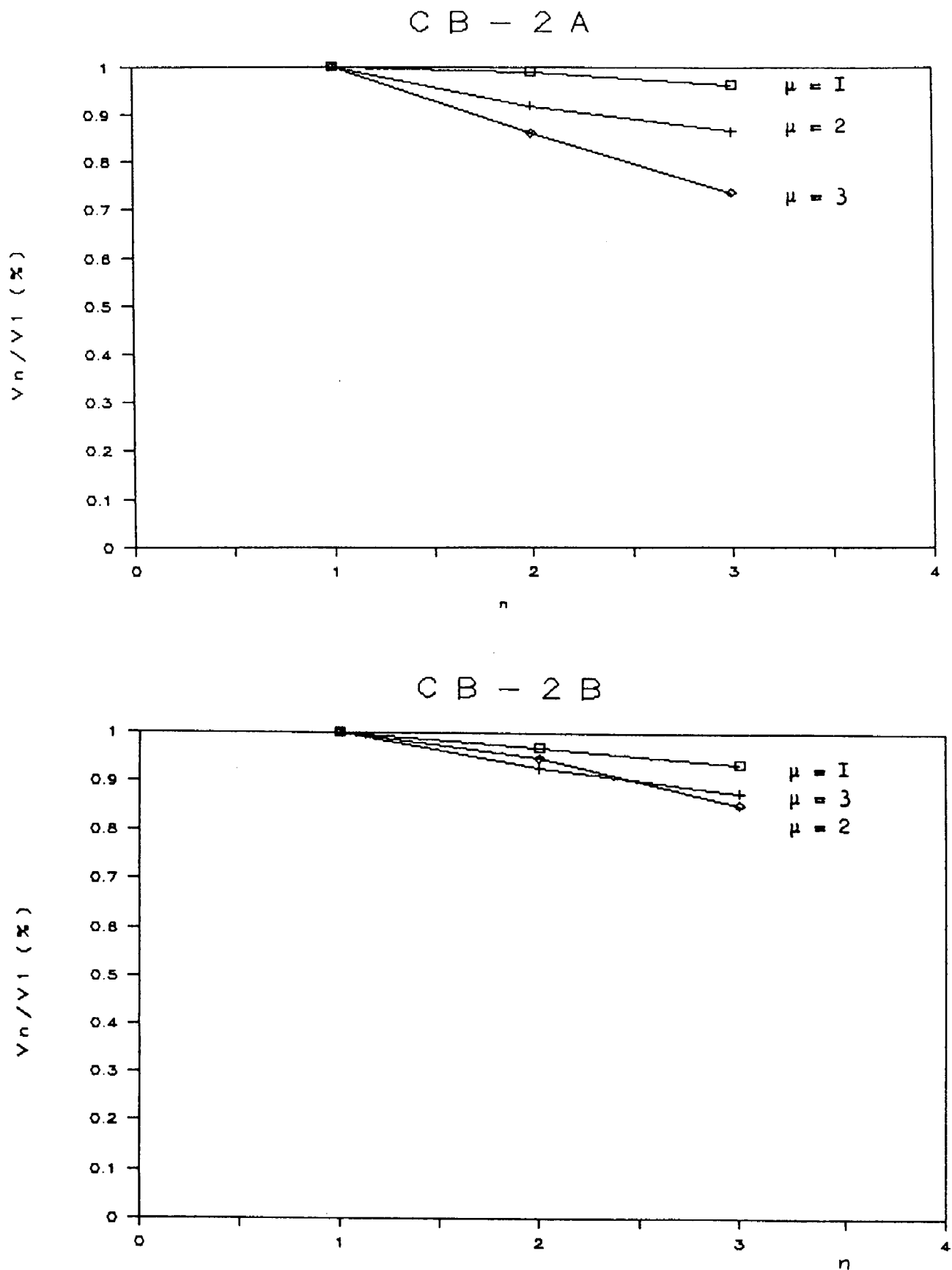
C B - 1 A



C B - 1 B

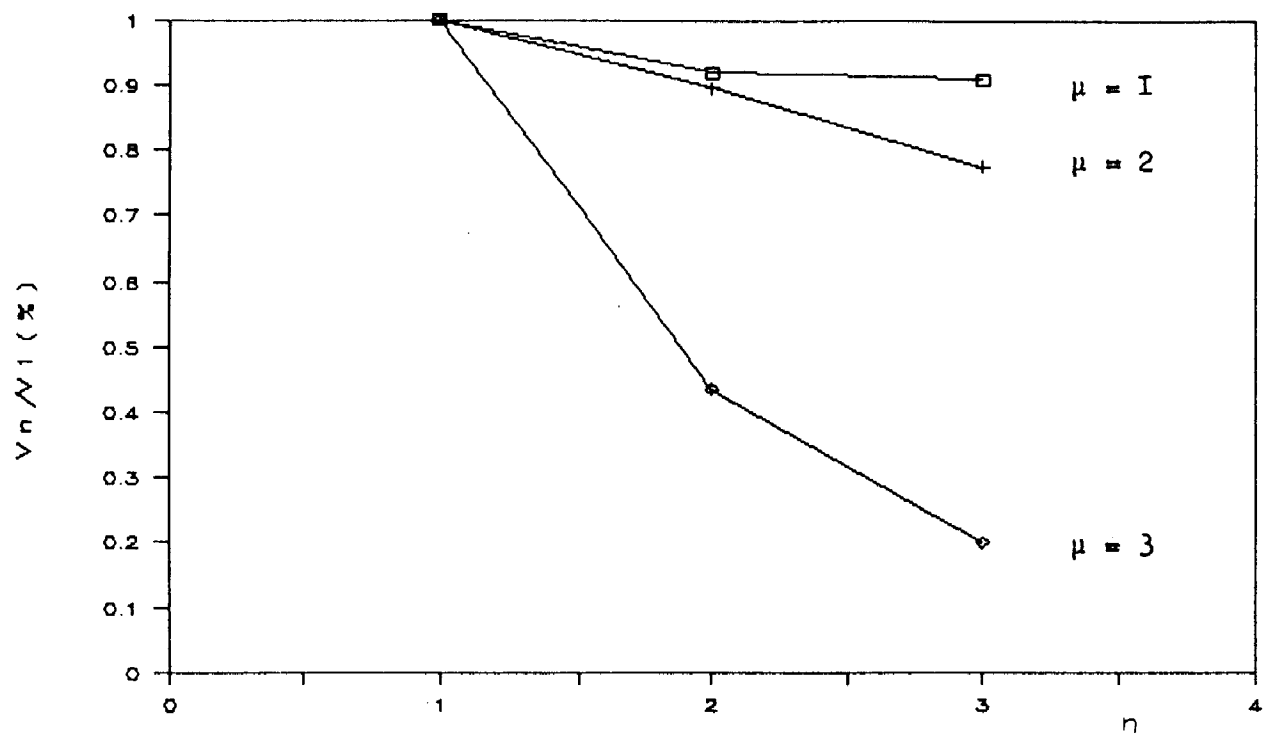


Σχ. 5.1 Δοκ. CB-1A,B - Μείωση της αποκρίσεως λόγω ανακυκλίσεων για έδια στάθμη επιβαλλόμενων μετακινήσεων.

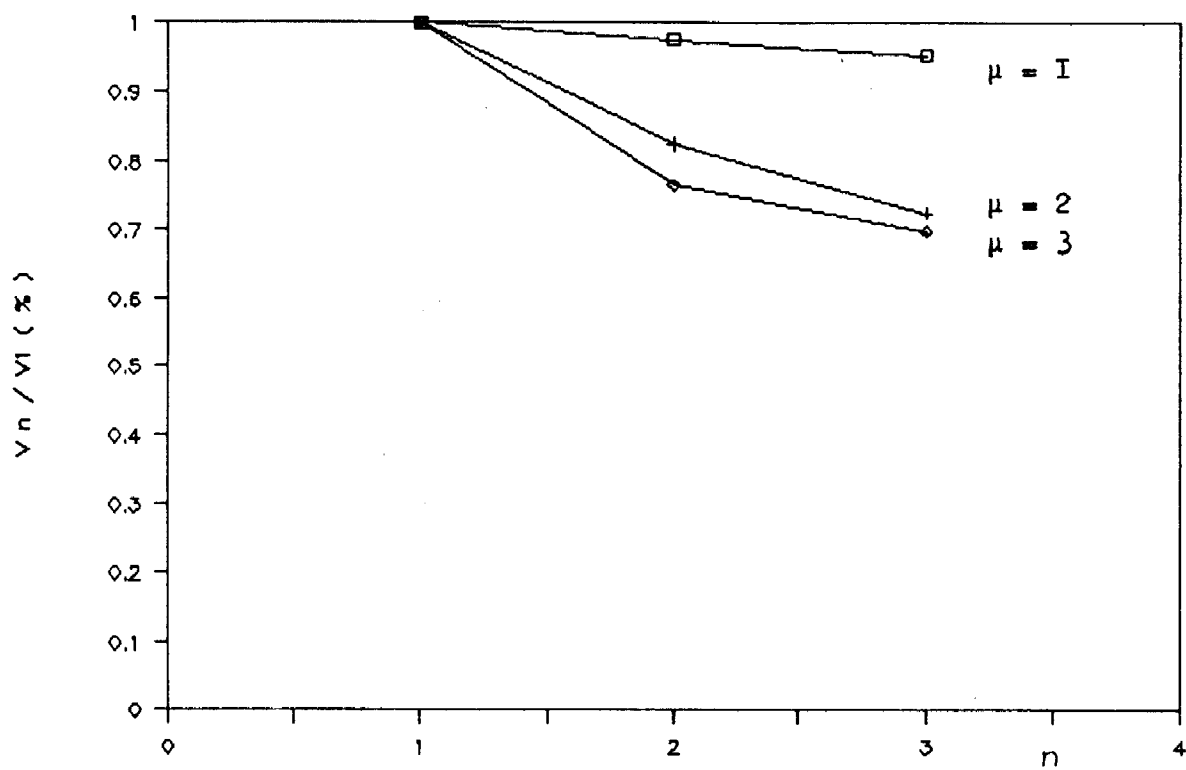


Σχ. 5.2 Δοκ. CB-2Α,Β - Μείωση της αποκρίσεως λόγω ανακυκλίσεων για δια στάθμη επιβαλλόμενων μετακινήσεων.

C B - 3 A

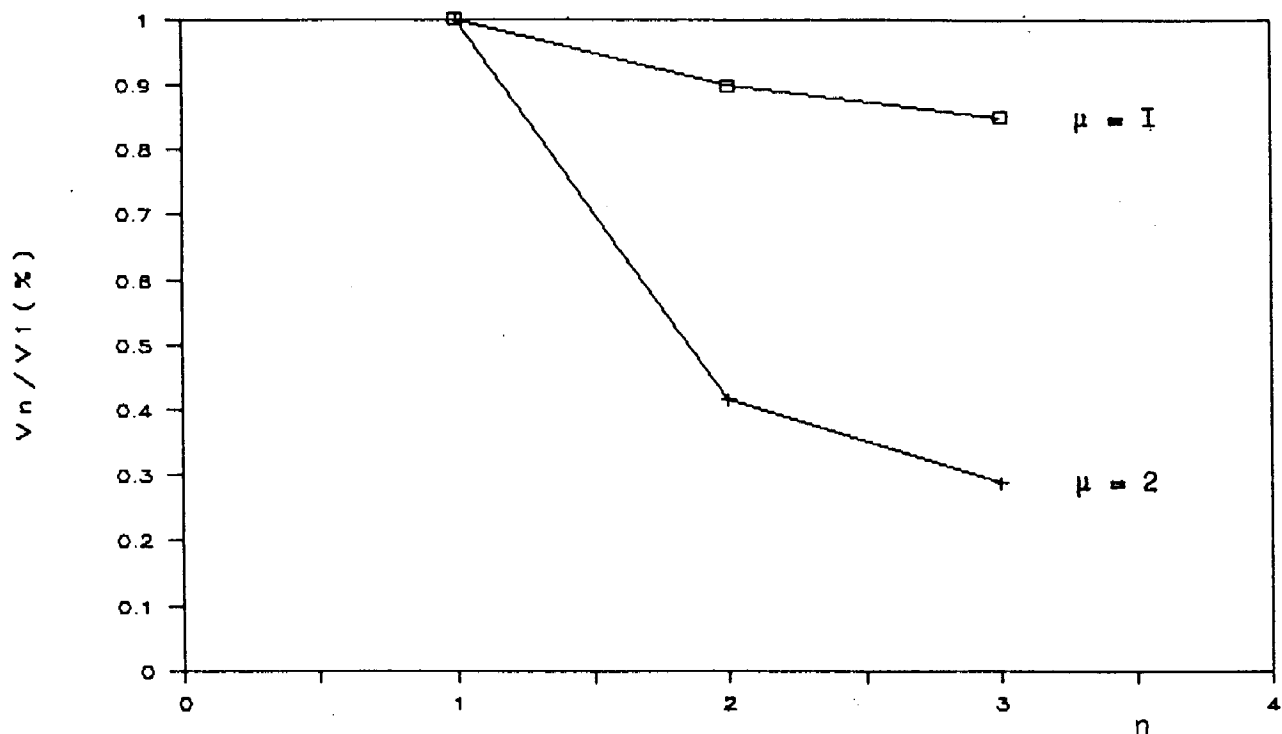


C B - 3 B

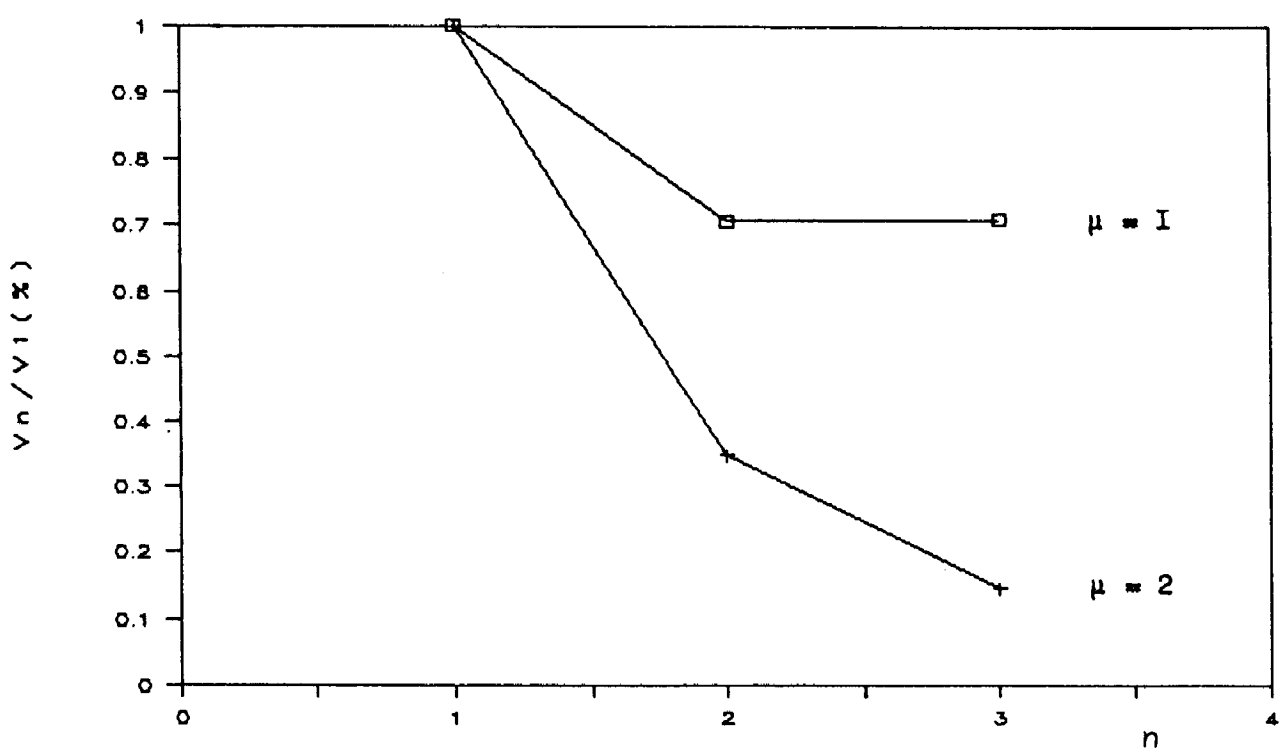


Σχ. 5.3 Δοκ. CB-3A,B - Μείωση της αποκρίσεως λόγω ανακυκλώσεων για έδια στάθμη επιβαλλόμενων μετακινήσεων.

## C B - 4 A

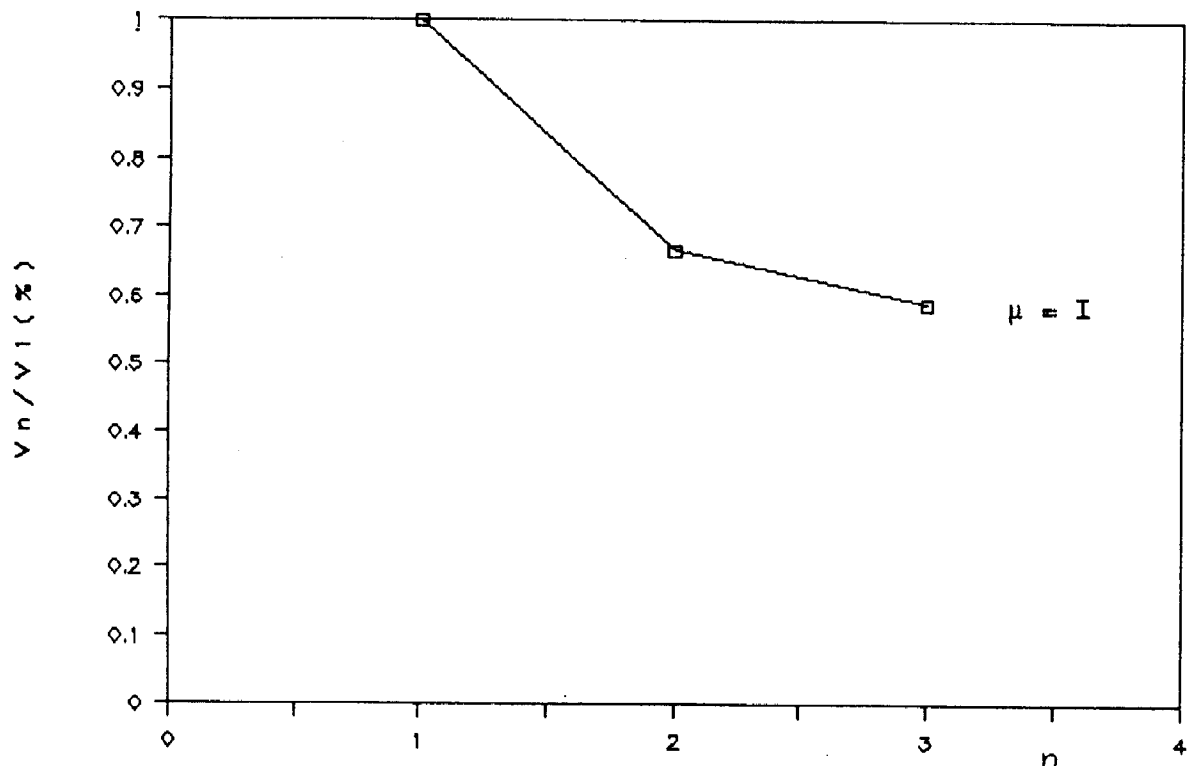


## C B - 4 B

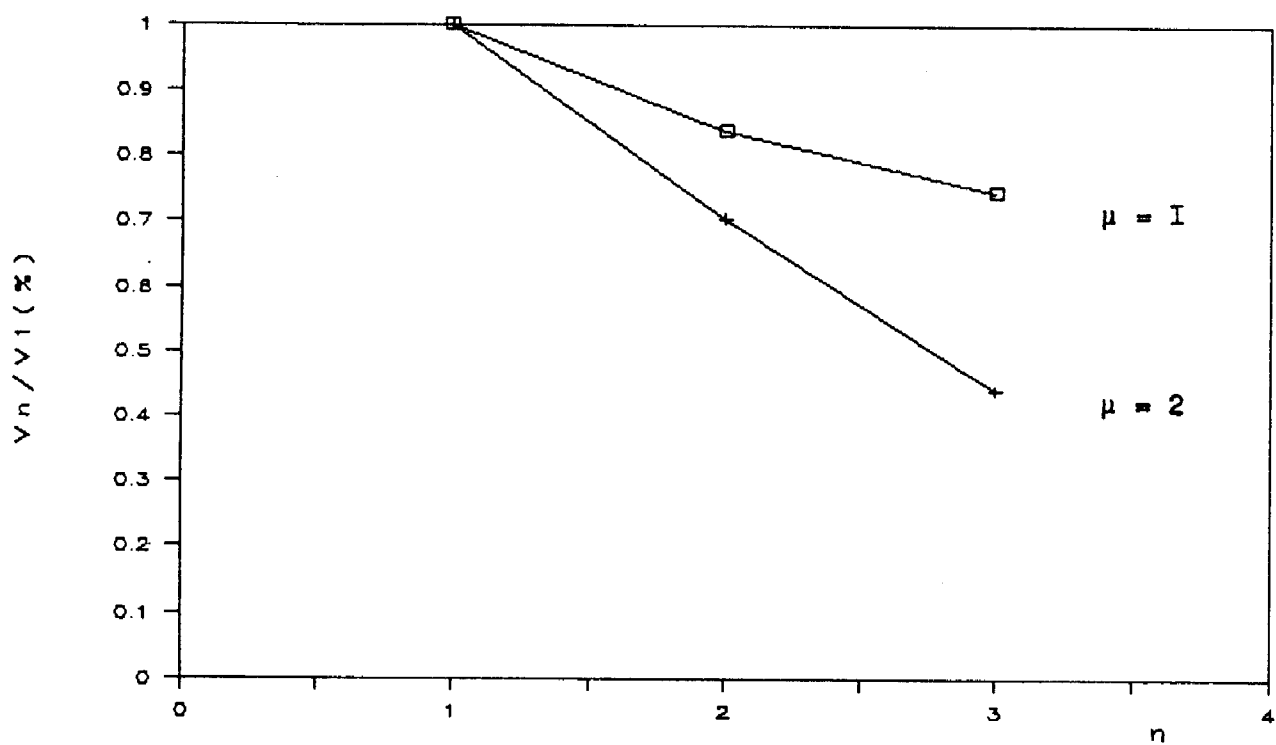


Σχ. 5.4 Δοκ. CB-4A,B - Μείωση της αποκρίσεως λόγω ανακυκλίσεων για δια στάθμη επιβαλλόμενων μετακινήσεων.

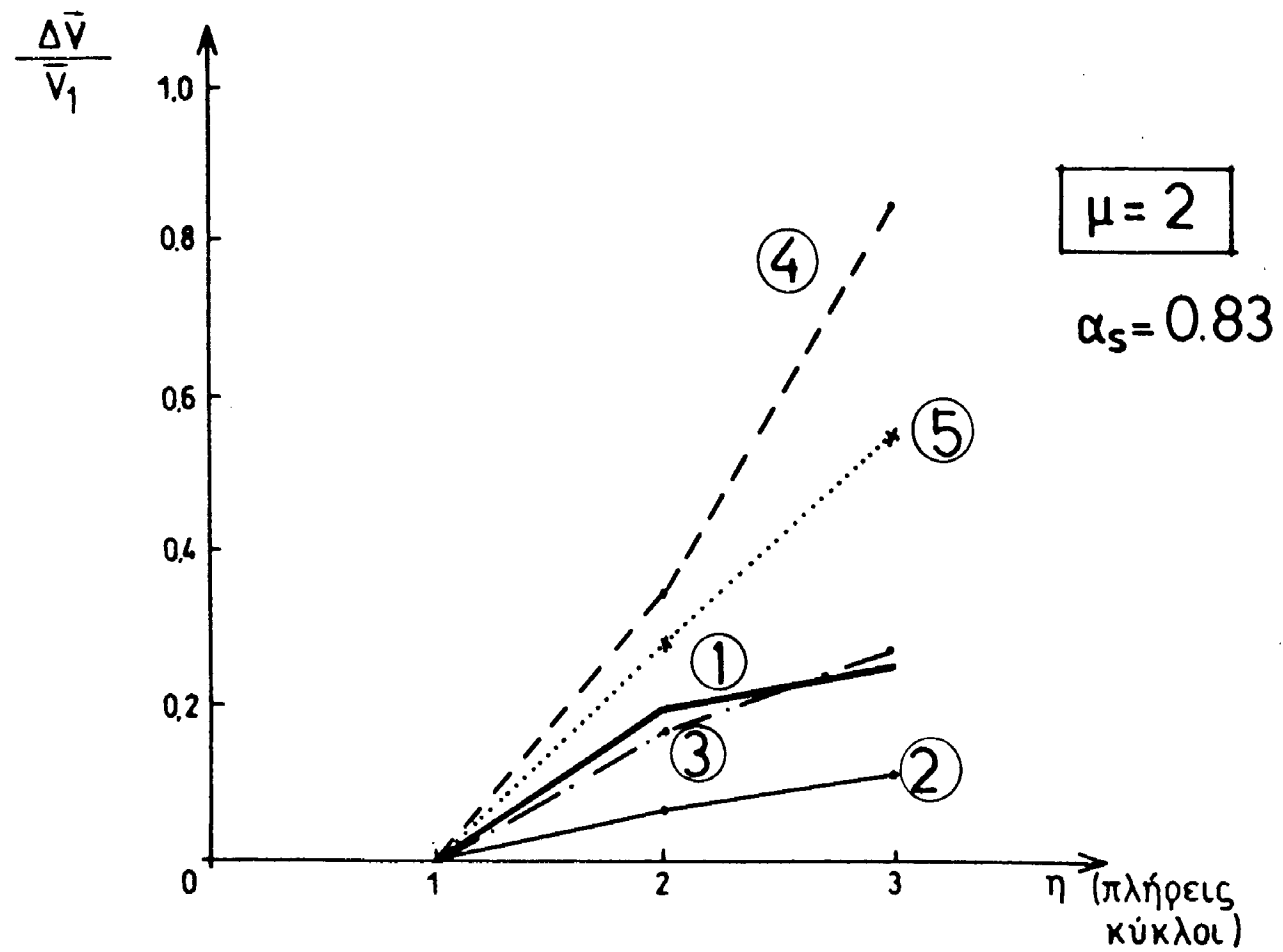
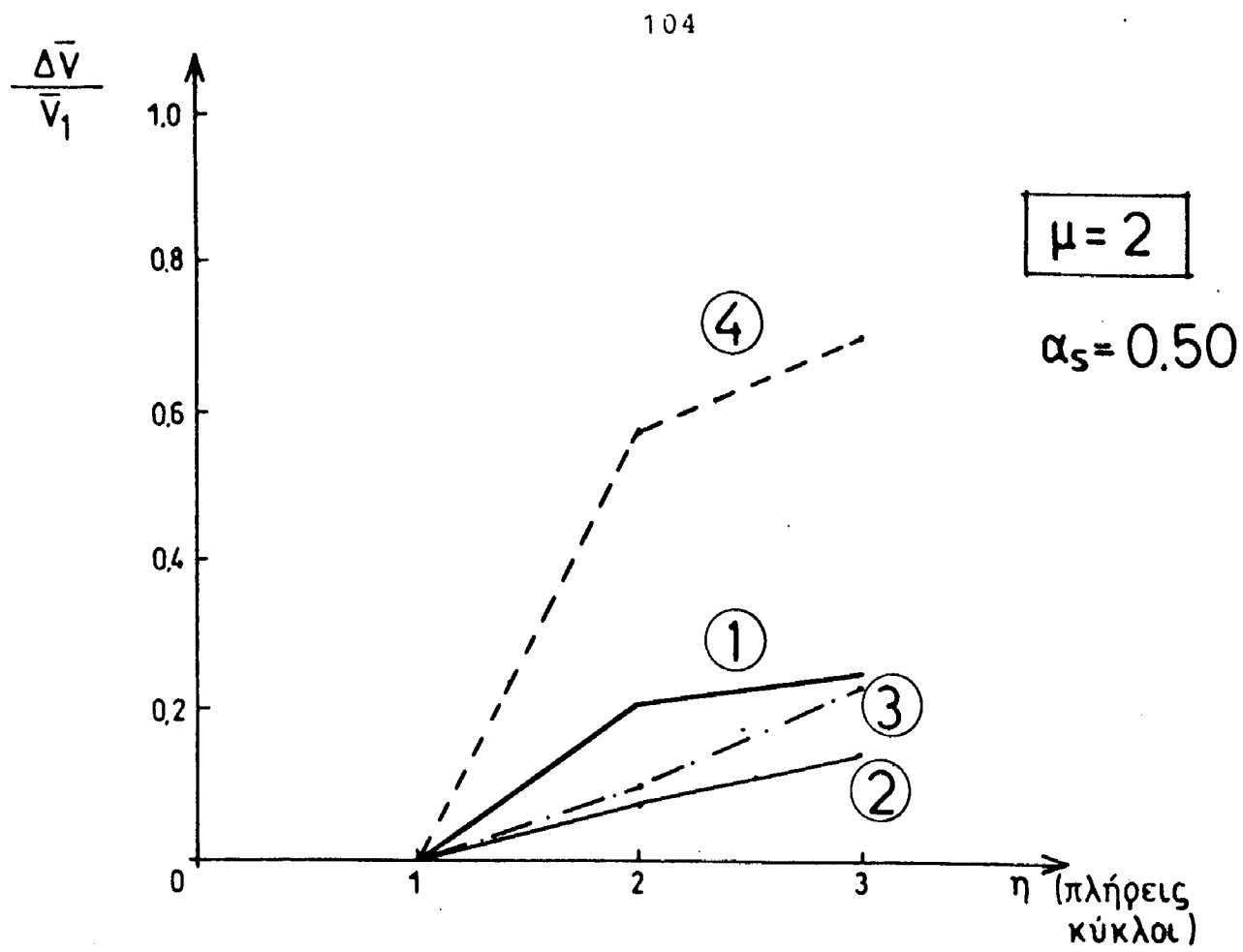
C B - 5 A



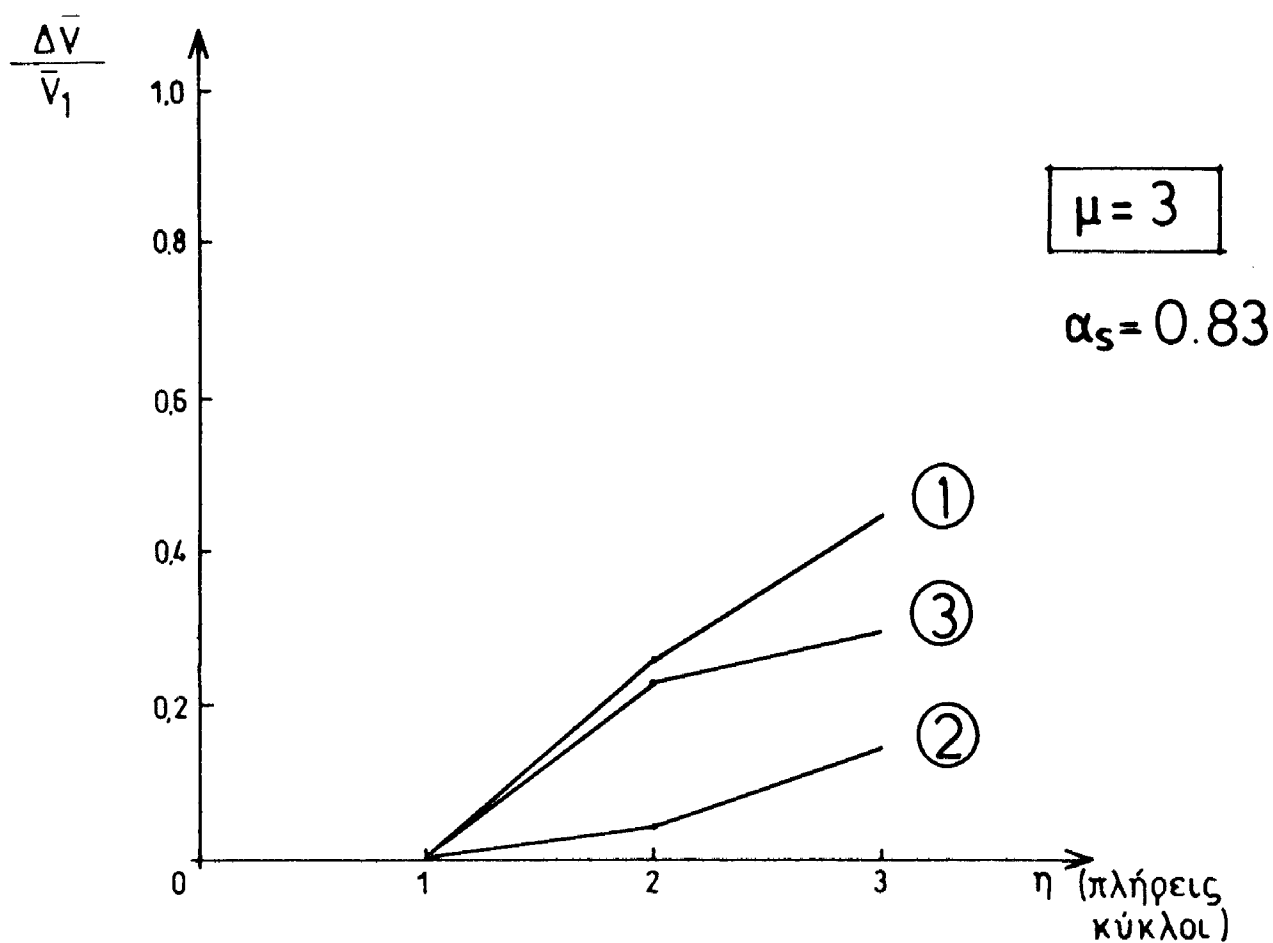
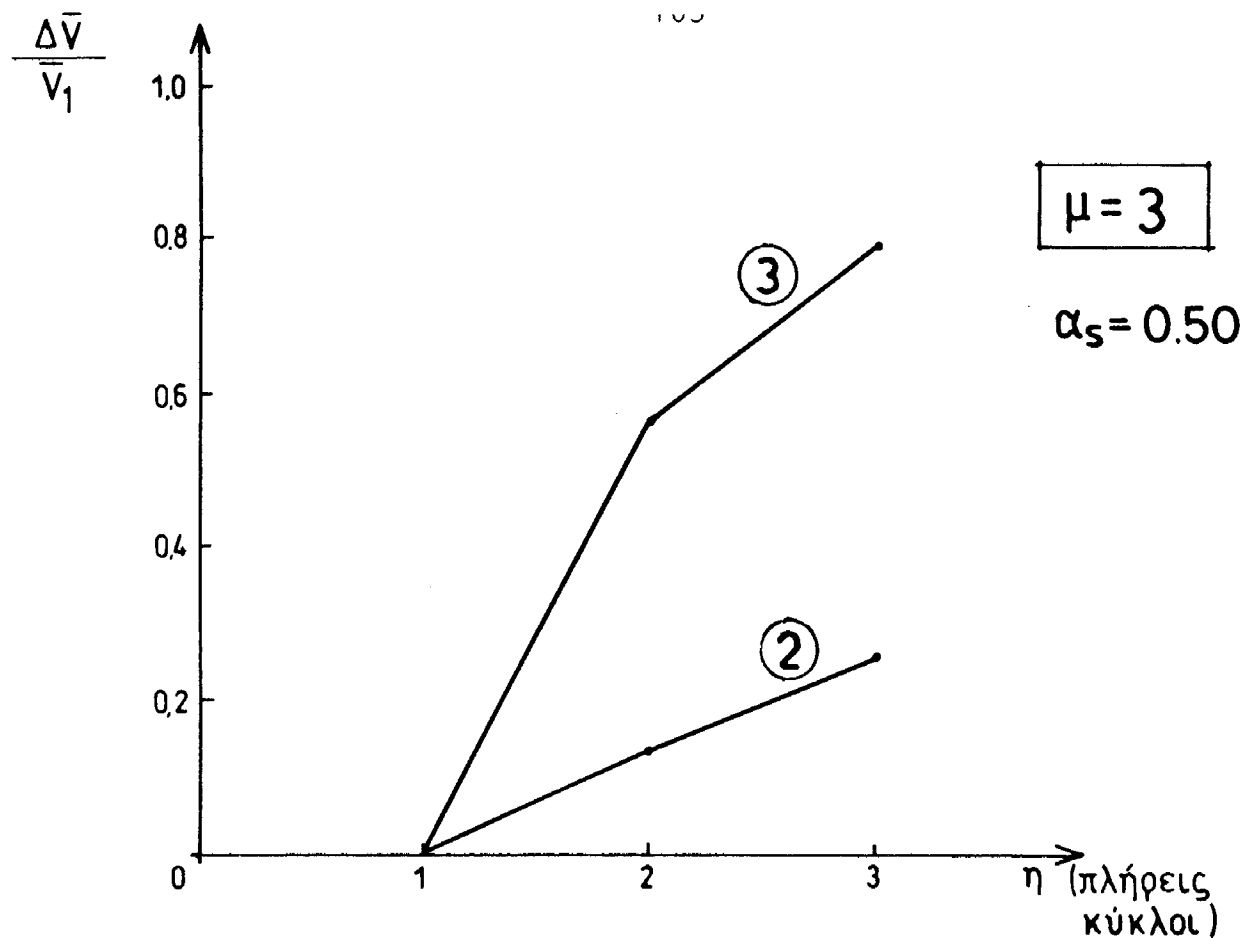
C B - 5 B



Σχ. 5.5 Δοκ. CB-5A,B - Μείωση της αποκρίσεως λόγω ανακυκλώσεων για διάσταση επιβαλλόμενων μετακινήσεων.



Σχ. 5.6α,β: Μείωση της αποκρίσεως συναρτήσει του αριθμού των αύκλων, σε στάθμη επιβαλλόμενων μετακινήσεων:  $\mu = 2$ .



Σχ. 5.7α,β: Μείωση της αποκρίσεως συναρτήσει του αριθμού των αύλων, για  $\mu = 3$ .

## CB - 1A

M=d/dy	n	V (+) (KN)	V (-) (KN)	$\bar{V}_n$ (KN)	$\bar{V}_n/\bar{V}_1$
M=1	1	179.00	190.00	184.50	1.00
	2	170.00	184.19	177.10	0.96
	3	142.51	178.63	160.57	0.87
M=2	1	212.00	195.76	203.88	1.00
	2	148.45	173.00	160.73	0.79
	3	140.12	164.96	152.54	0.75

## CB - 2A

M=d/dy	n	V (+) (KN)	V (-) (KN)	$\bar{V}_n$ (KN)	$\bar{V}_n/\bar{V}_1$
M=1	1	214.25	146.20	180.23	1.00
	2	210.00	147.00	178.50	0.99
	3	202.53	144.59	173.56	0.96
M=2	1	283.54	234.10	258.82	1.00
	2	256.00	219.21	237.61	0.92
	3	237.30	210.03	223.67	0.86
M=3	1	265.00	223.16	244.08	1.00
	2	224.70	195.60	210.15	0.86
	3	185.32	174.36	179.84	0.74

Πίνακας 5.1 Δοκ. CB-A - Χαρακτηριστικές τιμές φορτίου στις κορυφές των αύκλων φορτίσεως.

CB - 3A

M=d/dy	n	V (+) (KN)	V (-) (KN)	$\bar{V}_n$ (KN)	$\bar{V}_n/\bar{V}_1$
M=1	1	183.65	105.65	144.65	1.00
	2	162.86	103.35	133.11	0.92
	3	170.01	93.00	131.51	0.91
M=2	1	302.22	231.47	266.85	1.00
	2	272.00	205.98	238.99	0.90
	3	217.00	196.00	206.50	0.77
M=3	1	219.94	110.41	165.18	1.00
	2	95.08	48.42	71.75	0.43
	3	66.44	0.00	33.22	0.20

CB - 4A

M=d/dy	n	V (+) (KN)	V (-) (KN)	$\bar{V}_n$ (KN)	$\bar{V}_n/\bar{V}_1$
M=1	1	282.30	253.44	267.87	1.00
	2	251.32	230.19	240.76	0.90
	3	239.80	215.28	227.54	0.85
M=2	1	205.00	110.00	157.50	1.00
	2	64.97	66.00	65.49	0.42
	3	43.36	47.70	45.53	0.29

CB - 5A

M=d/dy	n	V (+) (KN)	V (-) (KN)	$\bar{V}_n$ (KN)	$\bar{V}_n/\bar{V}_1$
M=1	1	237.00	198.50	217.75	1.00
	2	114.00	176.67	145.34	0.67
	3	97.35	159.10	128.23	0.59

Πίνακας 5.1 (συνέχεια): Δοκ. CB-A - Χαρακτηριστικές τιμές φορτίου στις κορυφές των αύκλων φορτίσεως.

## CB - 1B

M=d/dy	n	V (+) (KN)	V (-) (KN)	$\bar{V}_n$ (KN)	$\bar{V}_n/\bar{V}_1$
1	1	100.28	95.96	98.12	1.00
	2	94.93	89.14	92.04	0.94
	3	92.58	93.54	93.06	0.95
2	1	124.16	108.00	116.08	1.00
	2	95.74	91.00	93.37	0.80
	3	83.65	87.46	85.56	0.74
3	1	108.00	102.00	105.00	1.00
	2	63.07	91.00	77.04	0.73
	3	41.75	74.13	57.94	0.55

## CB - 2B

M=d/dy	n	V (+) (KN)	V (-) (KN)	$\bar{V}_n$ (KN)	$\bar{V}_n/\bar{V}_1$
M=1	1	114.85	82.26	98.56	1.00
	2	114.71	76.25	95.48	0.97
	3	110.00	74.20	92.10	0.93
M=2	1	167.44	137.78	152.61	1.00
	2	156.68	126.00	141.34	0.93
	3	153.82	114.00	133.91	0.88
M=3	1	170.00	142.68	156.34	1.00
	2	157.85	138.15	148.00	0.95
	3	131.70	135.00	133.35	0.85

Πίνακας 5.2 Δοκ. CB-B - Χαρακτηριστικές τιμές φορτίου στις κορυφές των κύκλων φορτίσεως.

## CB - 3B

M=d/dy	n	V (+) (KN)	V (-) (KN)	$\bar{V} n$ (KN)	$\bar{V}n/\bar{V}1$
M=1	1	120.79	84.75	102.77	1.00
	2	117.00	83.72	100.36	0.98
	3	109.29	86.80	98.05	0.95
M=2	1	151.48	114.63	133.06	1.00
	2	129.80	89.80	109.80	0.83
	3	111.56	81.45	96.51	0.73
M=3	1	139.00	104.16	121.58	1.00
	2	102.00	84.00	93.00	0.76
	3	92.80	77.00	84.90	0.70

## CB - 4B

M=d/dy	n	V (+) (KN)	V (-) (KN)	$\bar{V} n$ (KN)	$\bar{V}n/\bar{V}1$
M=1	1	163.00	153.09	158.05	1.00
	2	102.55	121.23	111.89	0.71
	3	105.84	118.22	112.03	0.71
M=2	1	117.70	61.53	89.62	1.00
	2	31.94	30.33	31.14	0.35
	3	26.15	0.00	13.08	0.15

## CB - 5B

M=d/dy	n	V (+) (KN)	V (-) (KN)	$\bar{V} n$ (KN)	$\bar{V}n/\bar{V}1$
M=1	1	129.72	102.40	116.06	1.00
	2	98.66	96.00	97.33	0.84
	3	88.00	85.19	86.60	0.75
M=2	1	103.06	101.00	102.03	1.00
	2	65.26	78.72	71.99	0.71
	3	42.78	47.17	44.98	0.44

Πίνακας 5.2 (συνέχεια): Δοκ. CB-B - Χαρακτηριστικές τιμές φορτίου στις κορυφές των κύκλων φορτίσεως.

**6. ΜΕΙΩΣΗ ΤΗΣ ΑΚΑΜΨΙΑΣ ΛΟΓΩ ΑΝΑΚΥΚΛΙΣΕΩΝ**

Η μεταβολή της ακαμψίας των δοκιμών κατά τις ανακυκλίσεις παριστάνεται συναρτήσει του επιβαλλόμενου φορτίου στα Σχ. 6.1-6.5. Το δεξί τμήμα ιδίθε διαγράμματος αντιστοιχεί στους θετικούς ημικύκλους φορτίσεως, ενώ το αριστερό στους αρνητικούς που συμβολίζονται με τόνο. Το φορτίο εκφράζεται ως ποσοστό του μεγίστου φορτίου (κατ' απόλυτη τιμή) του ιδίου δοκιμήου.

Οι δοκοί που ήταν οπλισμένες με βλήτρα εμφάνισαν πολύ μικρές τιμές ακαμψίας κατά τους κύκλους  $n > 4$  (βλ. Σχ. 6.4, 6.5), πράγμα που επιβεβαιώνει την γενικότερη συμπεριφορά αυτών των δοκιμών.

Τα διαγράμματα ( $K_{V_i/V_{max}}$ ) που αντιστοιχούν στις δοκούς CB-2A, B με δισδιαγώνιο οπλισμό διαφέρουν απ' τα αντίστοιχα των άλλων δοκιμών, ιδίως για μεγάλες τιμές του  $n$  ( $n > 7$ ). Η ακαμψία είναι σταθερή και πρακτικώς ανεξάρτητη του φορτίου. Η συμπεριφορά αυτή οφείλεται στο γεγονός ότι οι δισδιαγώνιοι οπλισμοί δύο προχωρεί η αποδιοργάνωση του σκυροδέματος (με την αύξηση των  $n$ ) τόσο μεγαλύτερο τμήμα των εξωτερικών δυνάμεων αναλαμβάνουν. Ετσι, η ακαμψία των δοκών αυτών (για μεγάλα  $n$ ) εξαρτάται κυρίως απ' την ακαμψία των δισδιαγώνιων στοιχείων του χάλυβα, γι' αυτό και εμφανίζεται σταθερή. Ενώ στις άλλες δοκούς δύο που η ακαμψία εξαρτάται απ' τον χάλυβα και απ' το σκυρόδεμα, η ακαμψία εξακολουθεί να μεταβάλλεται γραμμικώς συναρτήσει του φορτίου και για μεγάλα  $n$ .

Στα Σχ. 6.6α-ε παριστάνεται ο λόγος της μέγιστης τιμής  $K_{max,i}$  της ακαμψίας του ιδίου ημικύκλου - θετικών και αρνητικών - προς την (μέγιστη) αρχική ακαμψία  $K_{max,1+}$  του πρώτου θετικού ημικύκλου ( $n = 1+$ ), συναρτήσει του πλήθους  $n$  των ικύλων φορτίσεως. Το ιδίθε σχήμα αντιστοιχεί στα ζεύγη δοκιμών με τον ίδιο τρόπο οπλίσεως.

Τα δοκίμια CB-A με τον μικρό λόγο διατμήσεως:  $\alpha_s = 0.50$  εμφάνισαν μεγαλύτερη ακαμψία απ' τα αντίστοιχα CB-B με  $\alpha_s = 0.83$ , τόσο κατά τους θετικούς δύο και κατά τους αρνητικούς ημικύκλους, εκτός απ' την περίπτωση δισδιαγώνιων οπλισμών-δοκ. CB-2A, B, βλ. Σχ. 6.6β -.

Στα Σχ. 6.7, 6.8 φαίνεται η μεταβολή του λόγου  $K_{max,i}/K_{max,1+}$  συναρτήσει του πλήθους η των θετικών ή αρνητικών κύλων για δλες τις δοκούς με κοινό λόγο διατμήσεως.

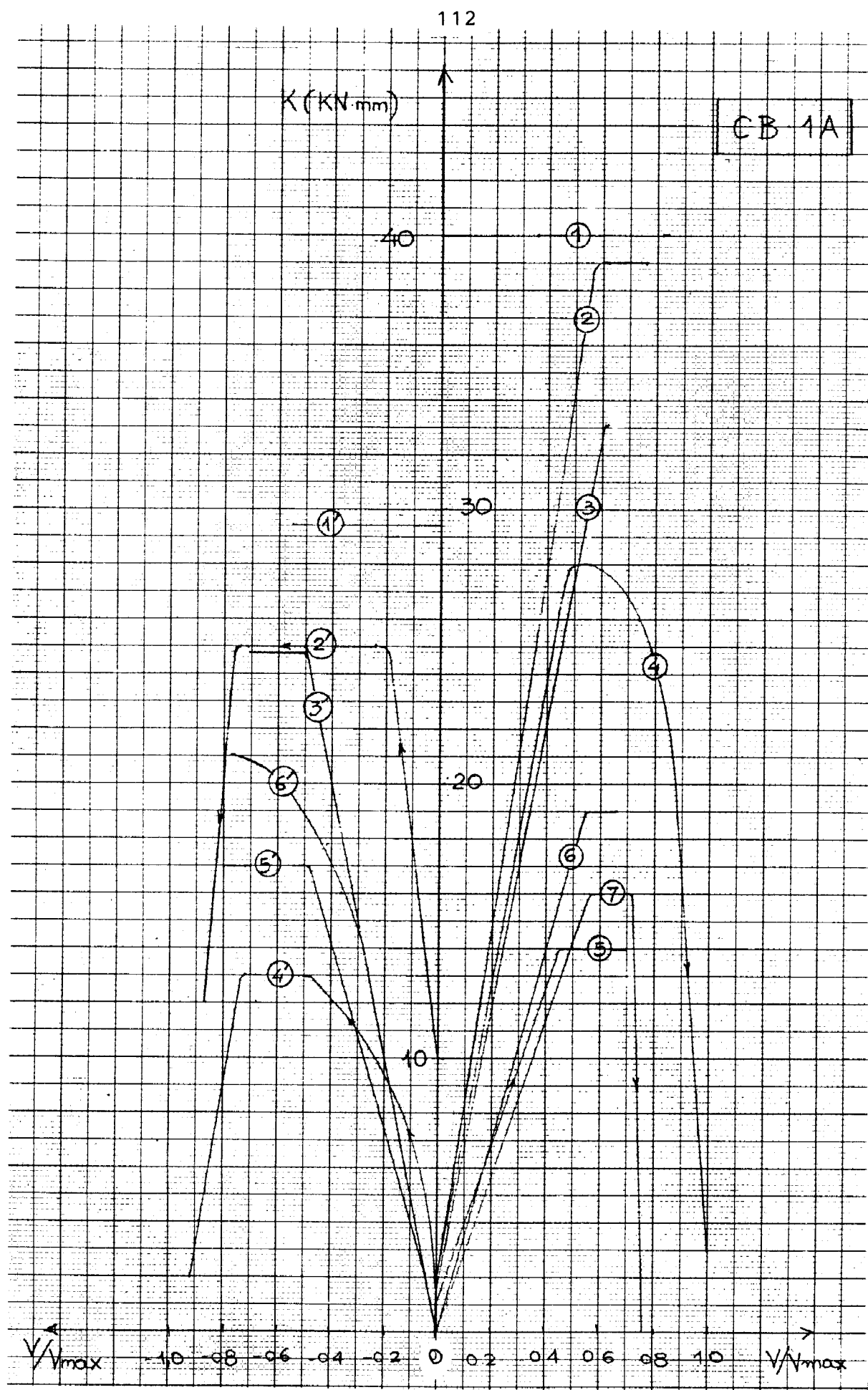
Την μεγαλύτερη μείωση αποκρίσεως εμφανίζουν οι δοκοί με τα βλήτρα CB-4,5.

Για τον λόγο διατμήσεως  $\alpha_s = 0.50$  το προφορτισμένο δοκίμιο CB-3A με τους χιαστή οπλισμούς στα άκρα, έχει τη μικρότερη μείωση αποκρίσεως για  $n \leq 8$ . Το ιλασικώς οπλισμένο δοκίμιο για  $n \leq 6$ , εμφάνισε παρόμοια πτώση ακαμψίας με το δοκίμιο CB-2A με δισδιαγώνιο οπλισμό.

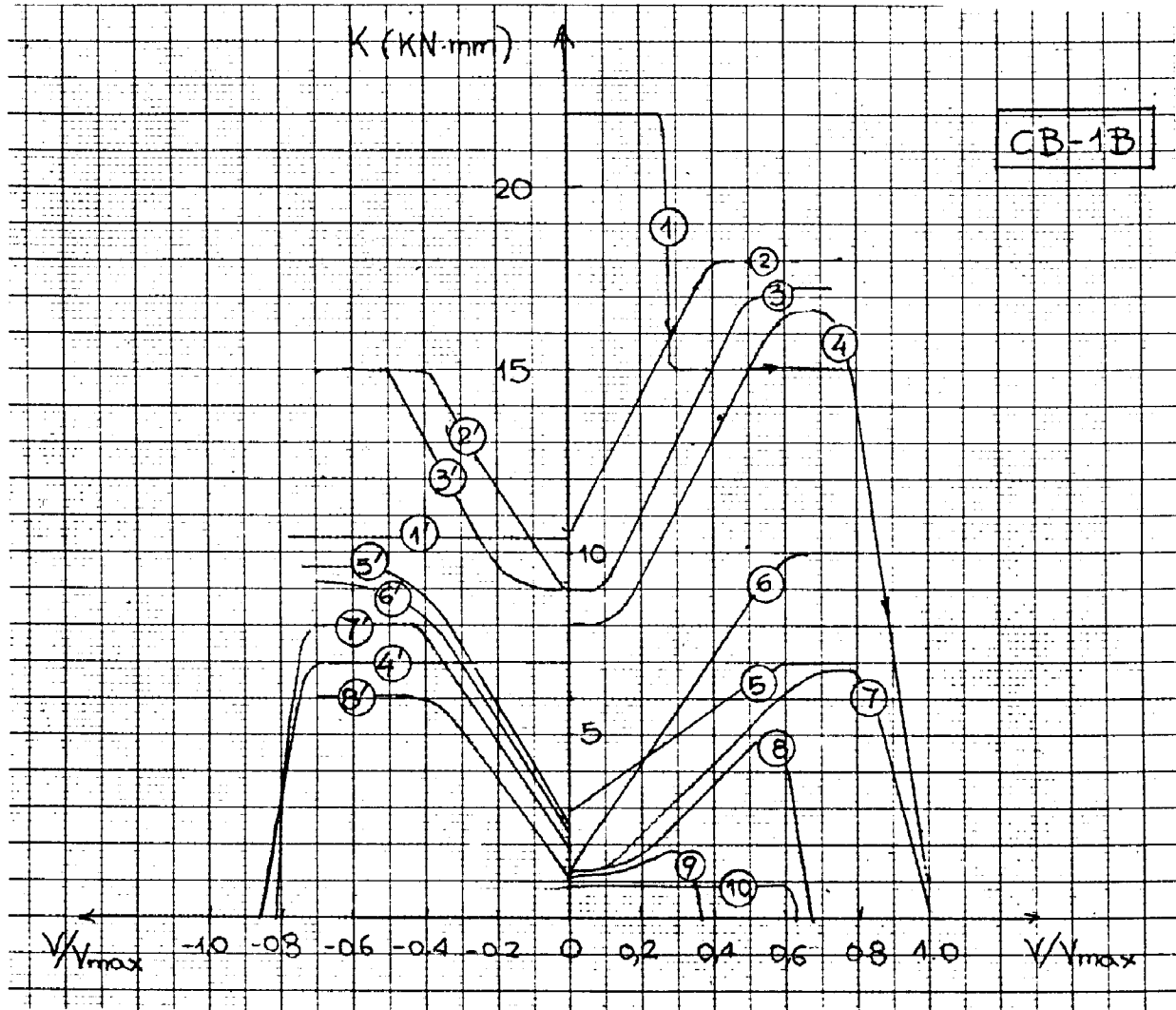
Για τον λόγο  $\alpha_s = 0.83$  την μικρότερη μείωση αποκρίσεως εμφανίζει η δοκός με τους δισδιαγώνους οπλισμούς, ενώ οι δοκοί με την ιλασική διπλιση CB-1B και με τους χιαστή οπλισμούς στα άκρα CB-3B - έχουν παρόμοια συμπεριφορά.

Γενικώς δεν παρατηρείται η αναμενόμενη διαφοροποίηση στην μείωση της ακαμψίας των δοκιμών λόγω των ανακυκλίσεων, ανάλογα με τον τρόπο οπλίσεως. Εκτός απ' τις δοκούς με τα βλήτρα (CB-4,5) οι οποίες παρουσίασαν εμφανώς μικρότερη ακαμψία απ' τις άλλες, οι δοκοί CB-1,2,3 παρουσίασαν ανάλογη μείωση ακαμψίας.

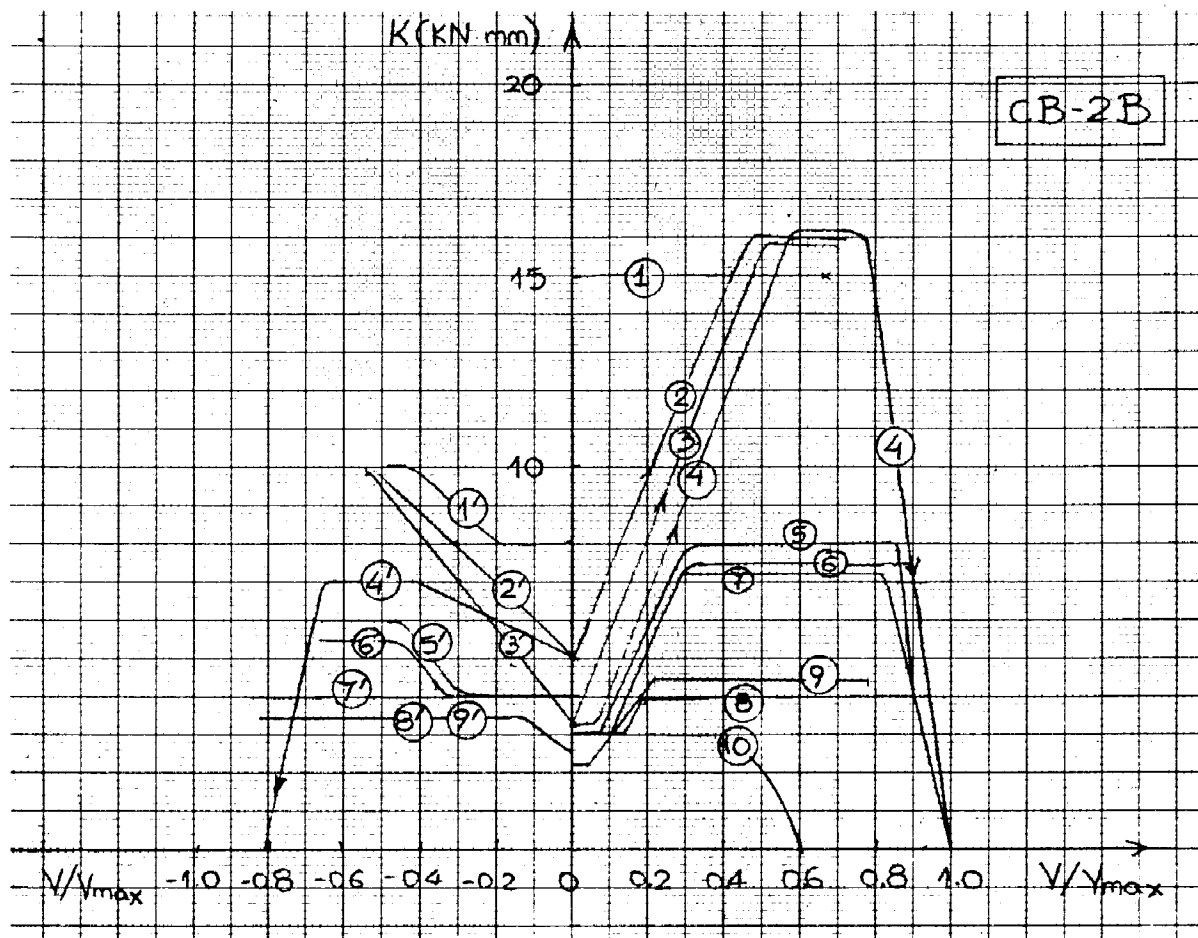
Εποι, μόνη η μείωση της ακαμψίας λόγω ανακυκλίσεων δεν είναι ενδεικτική της καθολικής ελαστοπλαστικής συμπεριφοράς των δοκών συζεύξεως.



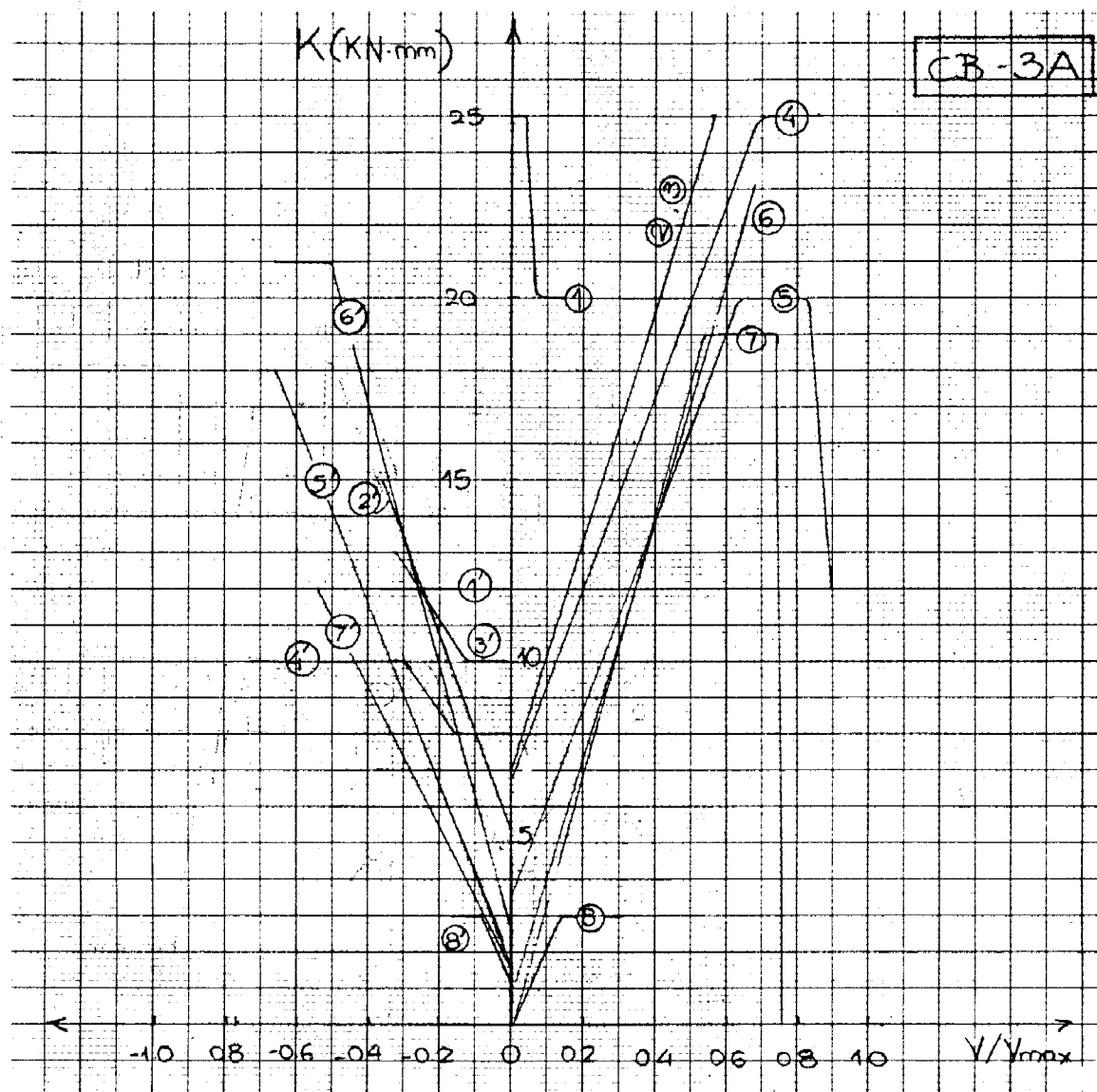
Σχ. 6.1α: CB-1A. Μεταβολή της ακάμψιας κατά τις ανακυκλώσεις συναρτήσει του φορτίου.



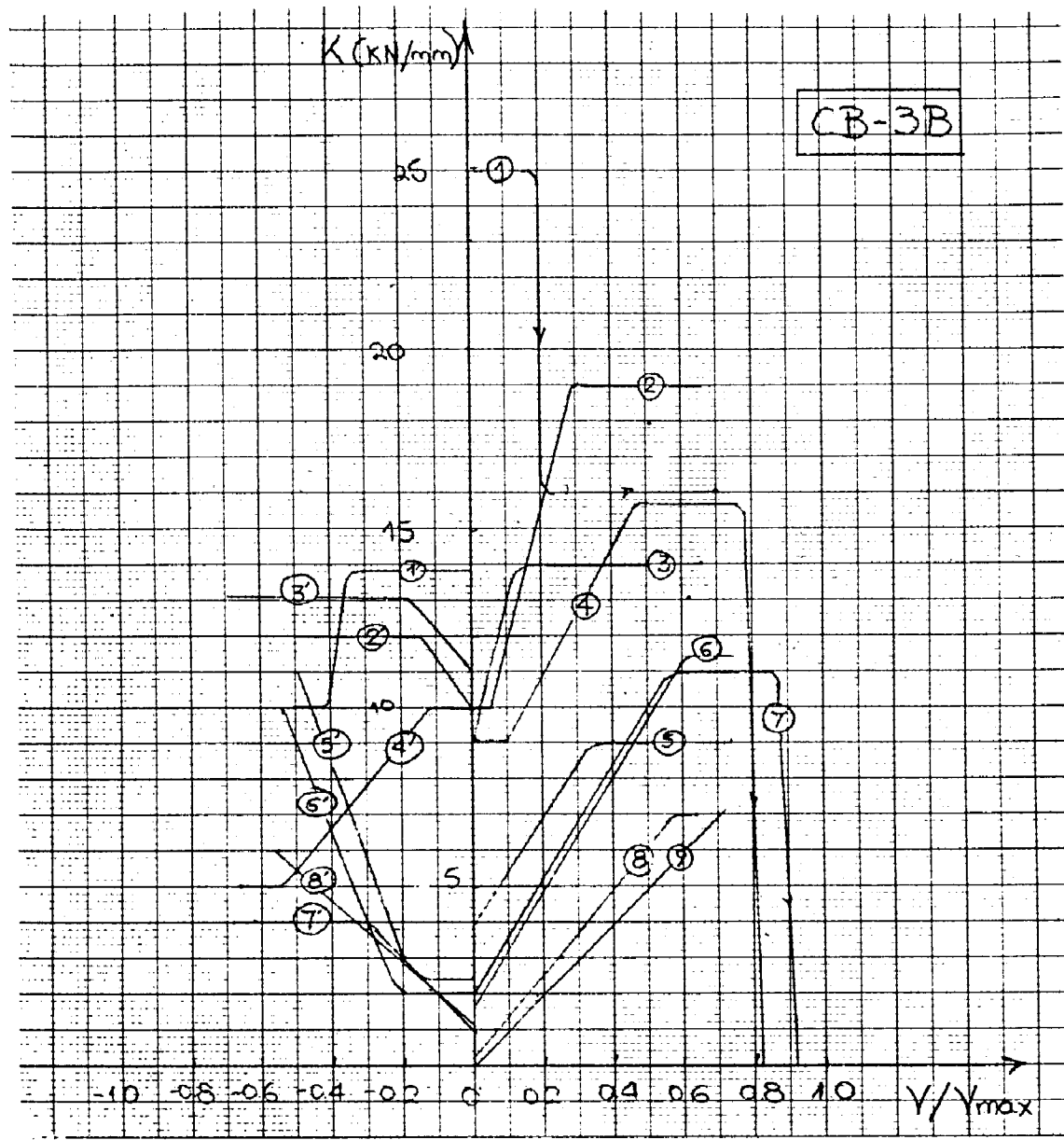
Σχ. 6.1β: CB-1B. Μεταβολή της ακαμψίας κατά τις ανακυκλίσεις συναρτήσει του φορτίου.



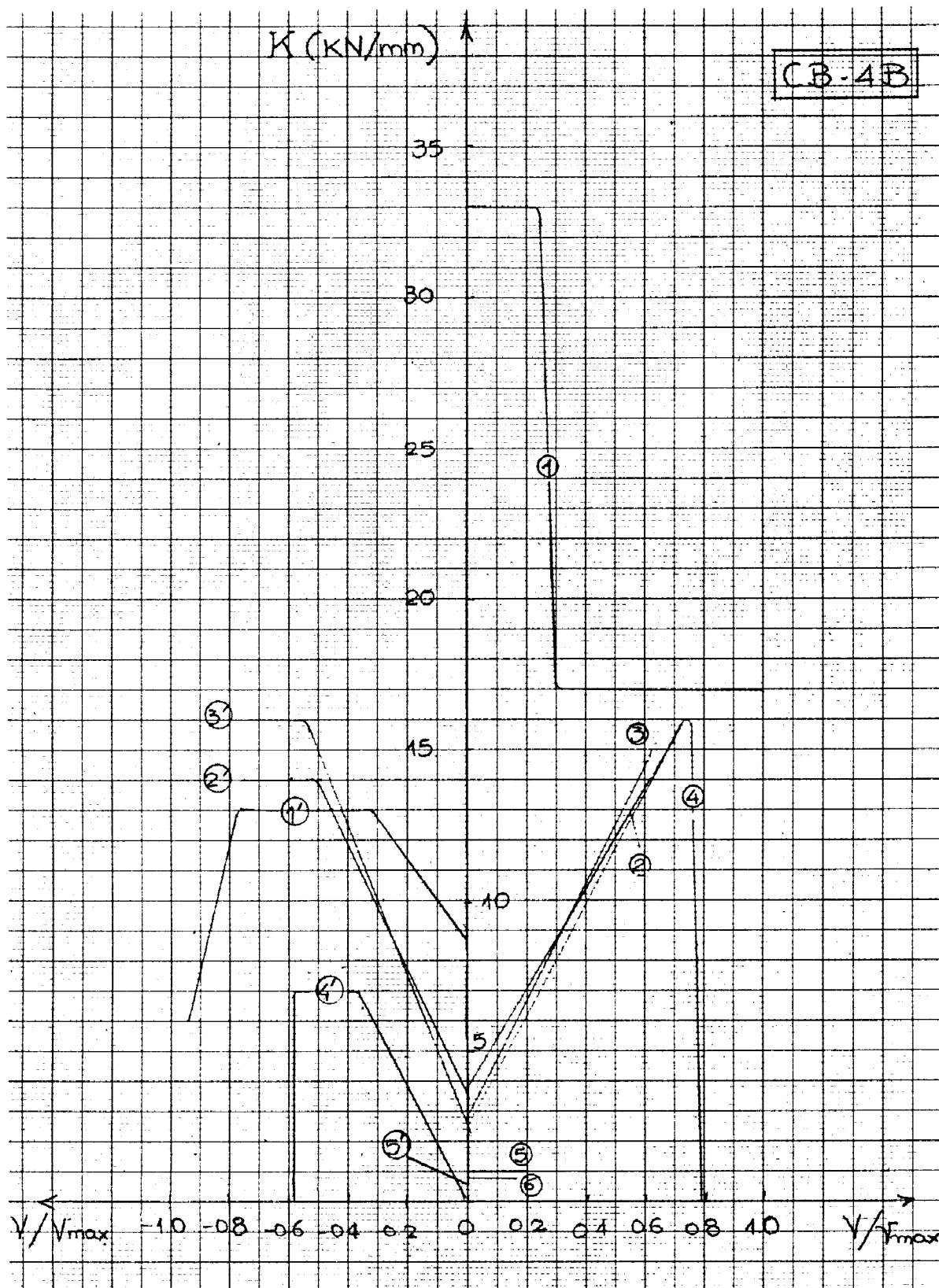
Σχ. 6.2β: CB-2B. Μεταβολή της ακαμψίας κατά τις ανακυκλώσεις συναρτήσει του φορτίου.



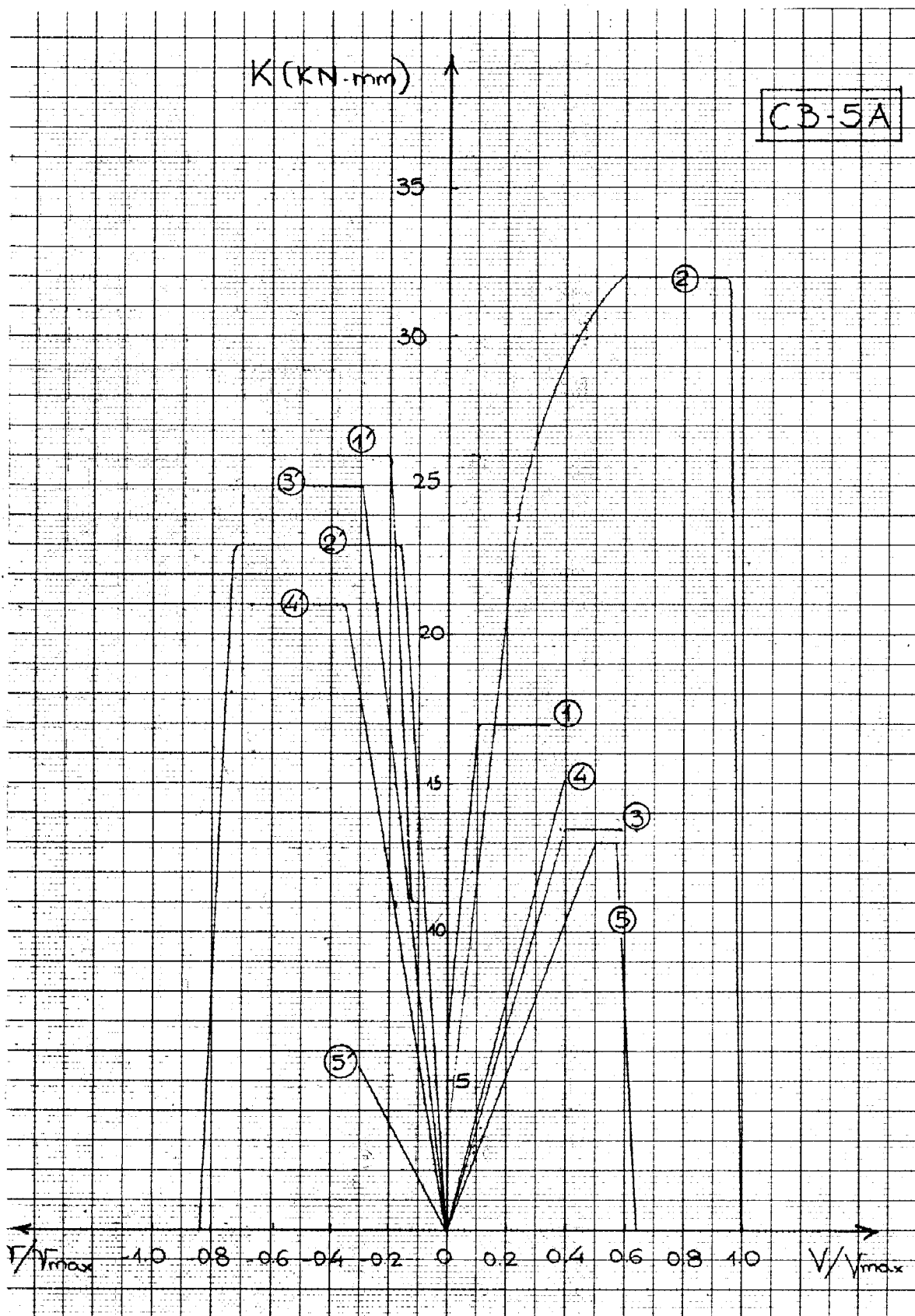
Σχ. 6.3α: CB-3A. Μεταβολή της ακαμψίας κατά τις ανακυκλίσεις συναρτήσει του φορτίου.



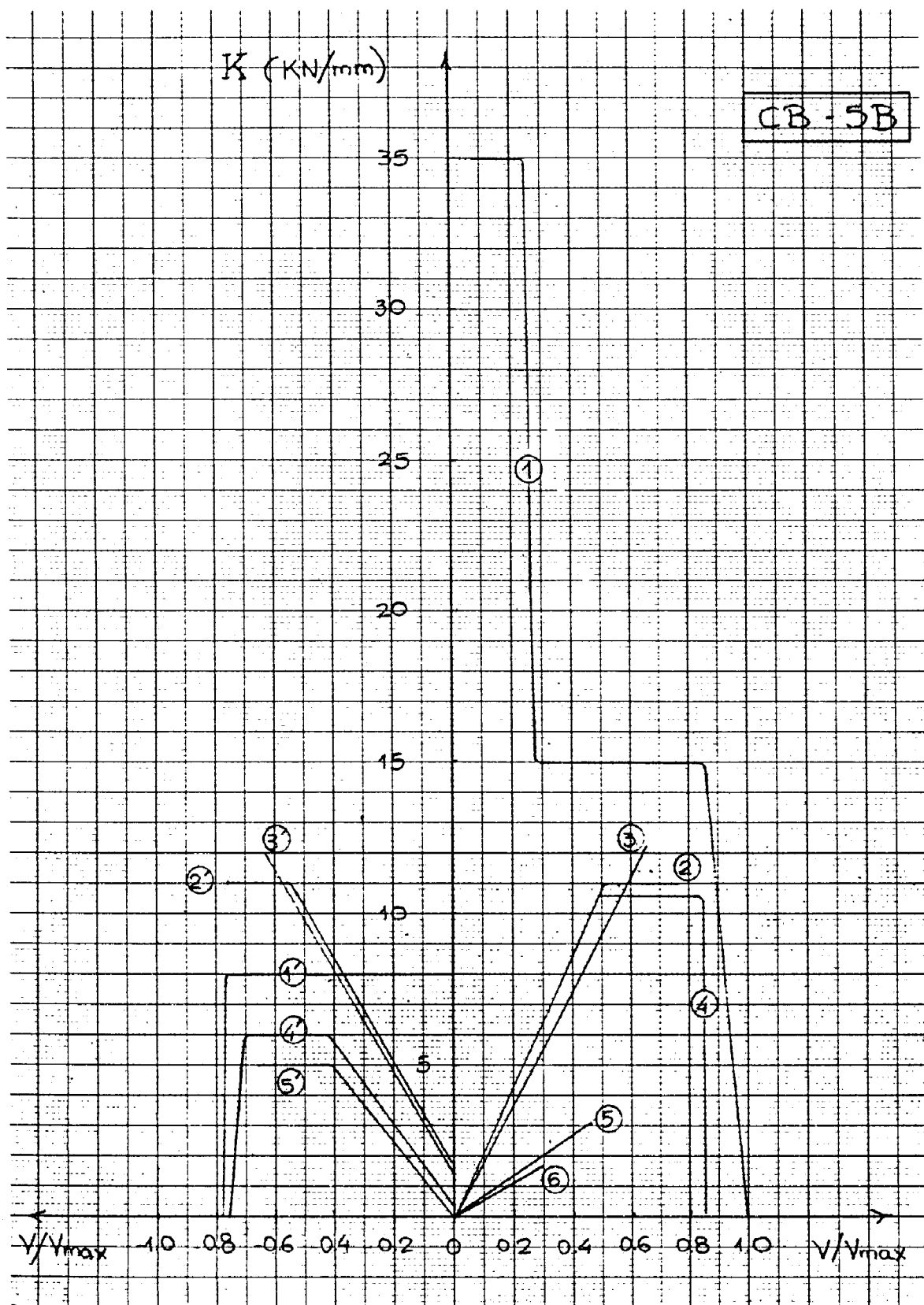
Σχ. 6.3β: CB-3B. Μεταβολή της ακαμψίας κατά τις ανακυκλίσεις συνυπόγειες του φορτίου.



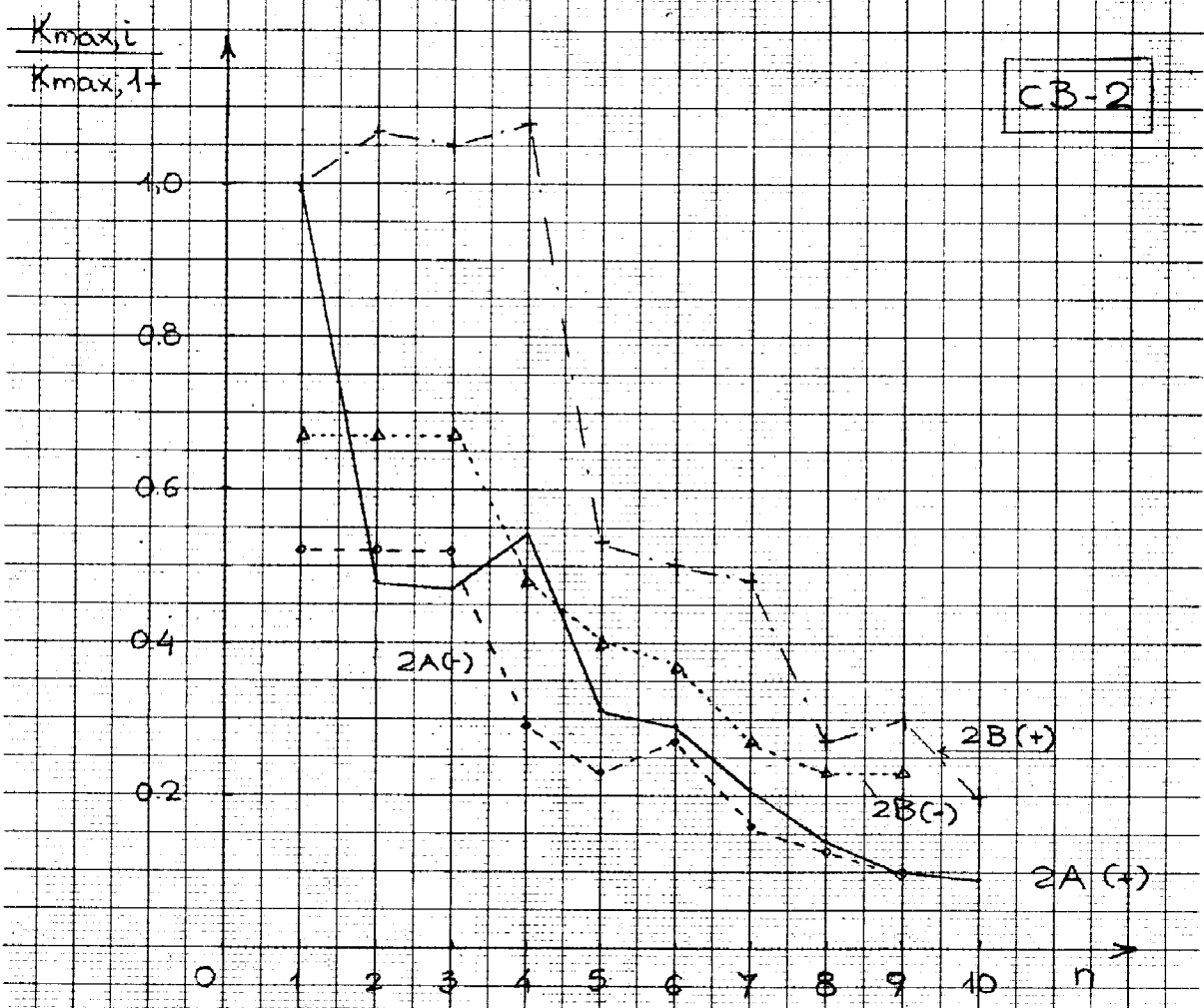
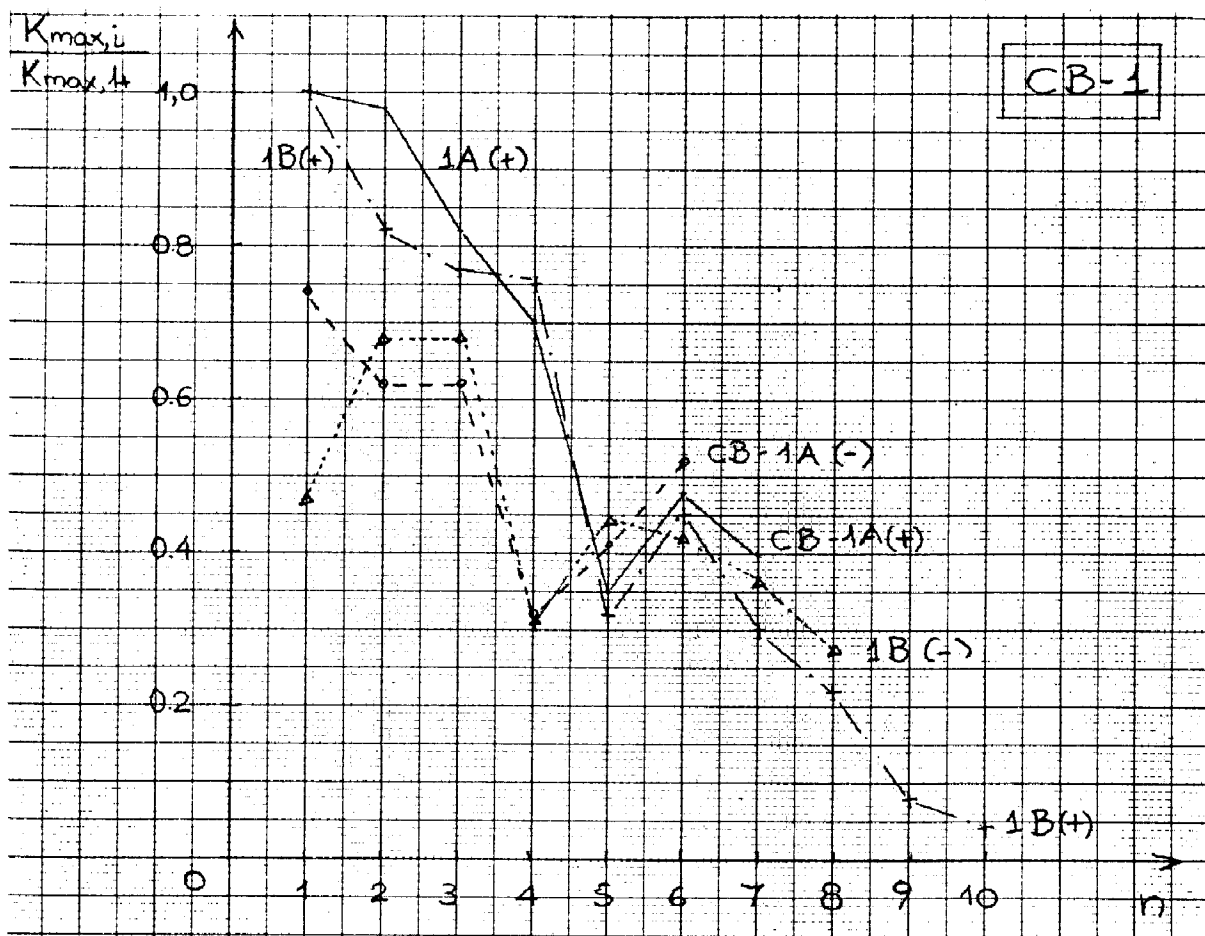
Σχ. 6.4β: CB-4B. Μεταβολή της ακαμψίας κατά τις ανακυκλίσεις συναρτήσει του φορτίου.



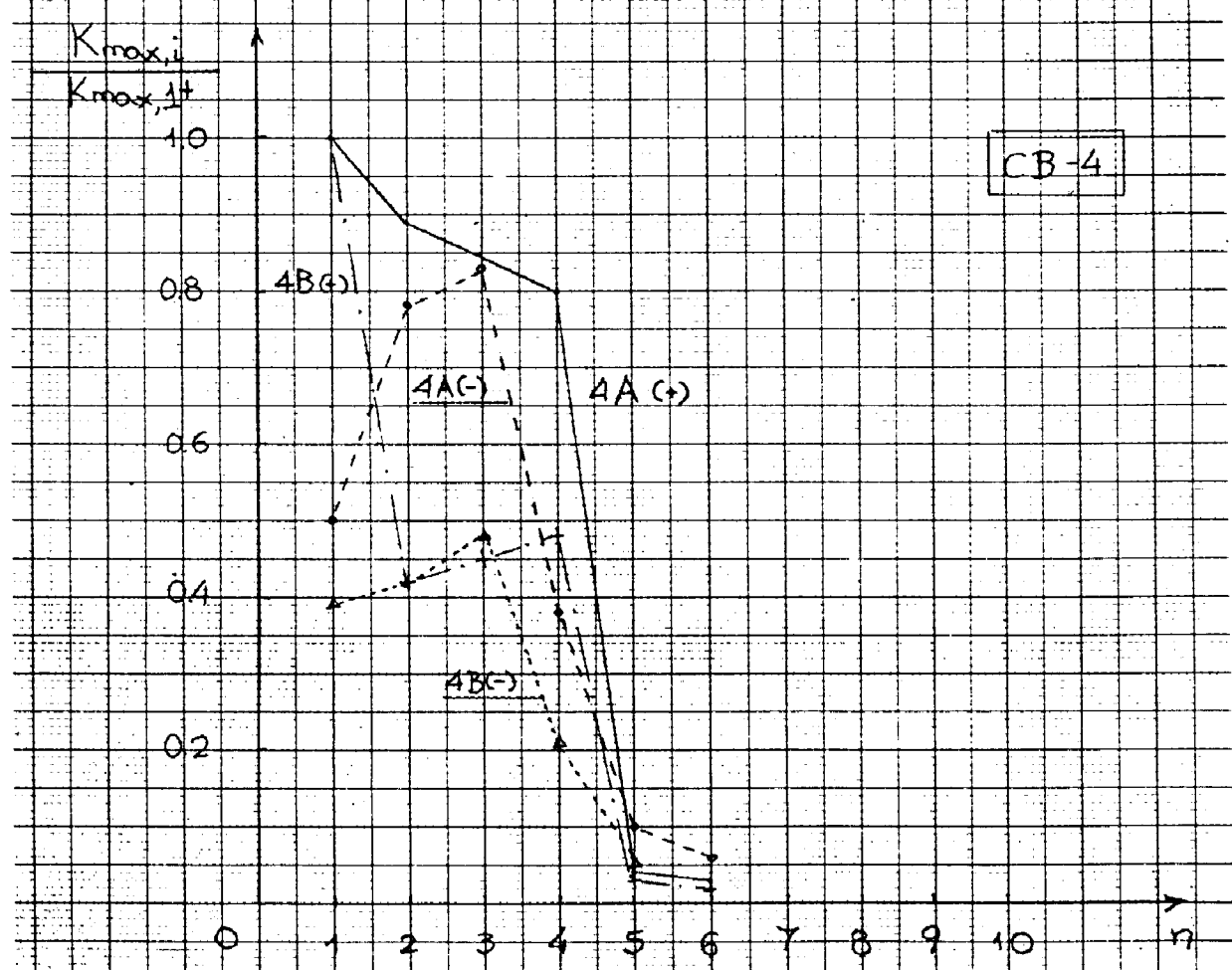
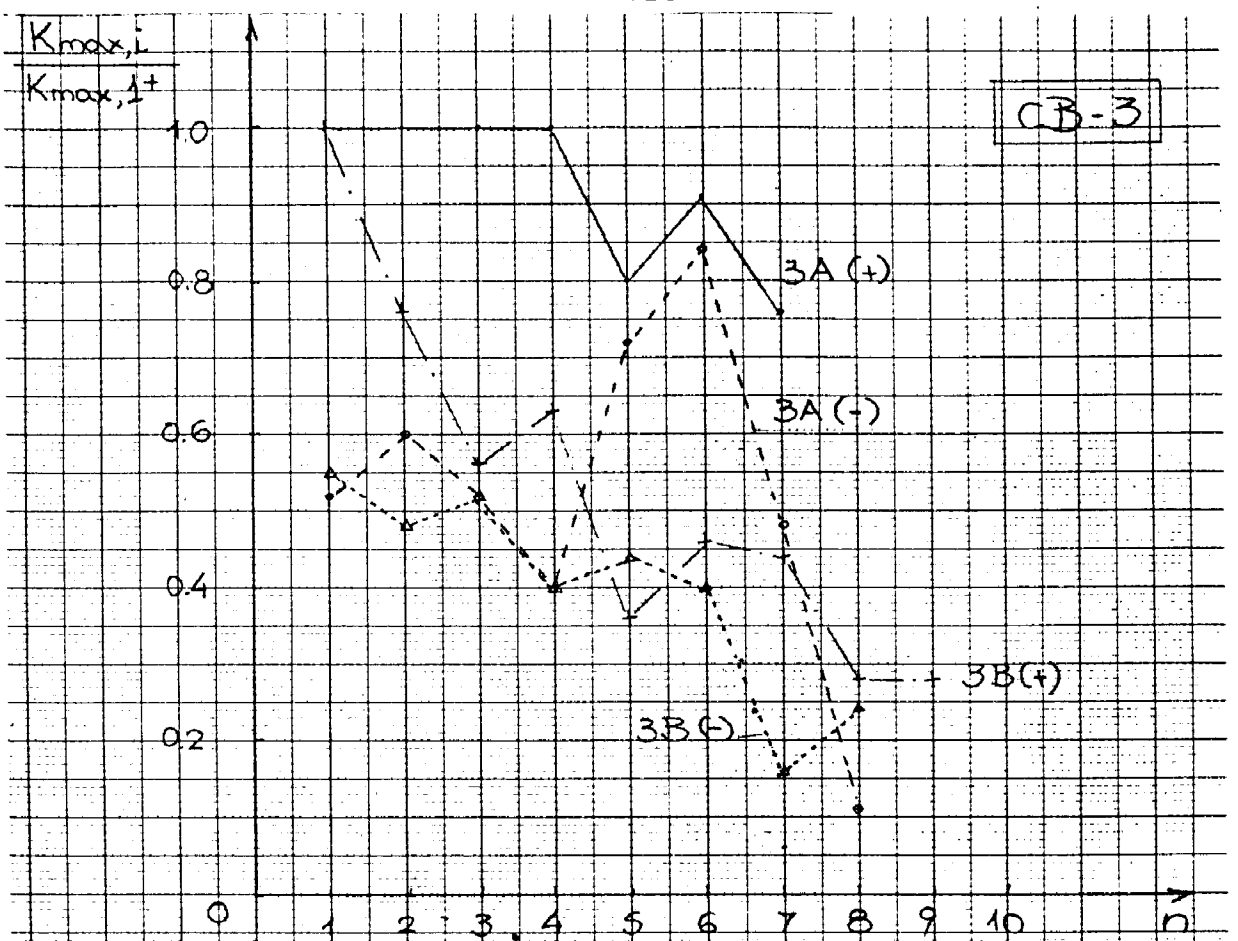
Σχ. 6.5α: CB-5A. Μεταβολή της ακαμψίας κατά τις ανακυκλίσεις συναρτήσει του φορτίου.



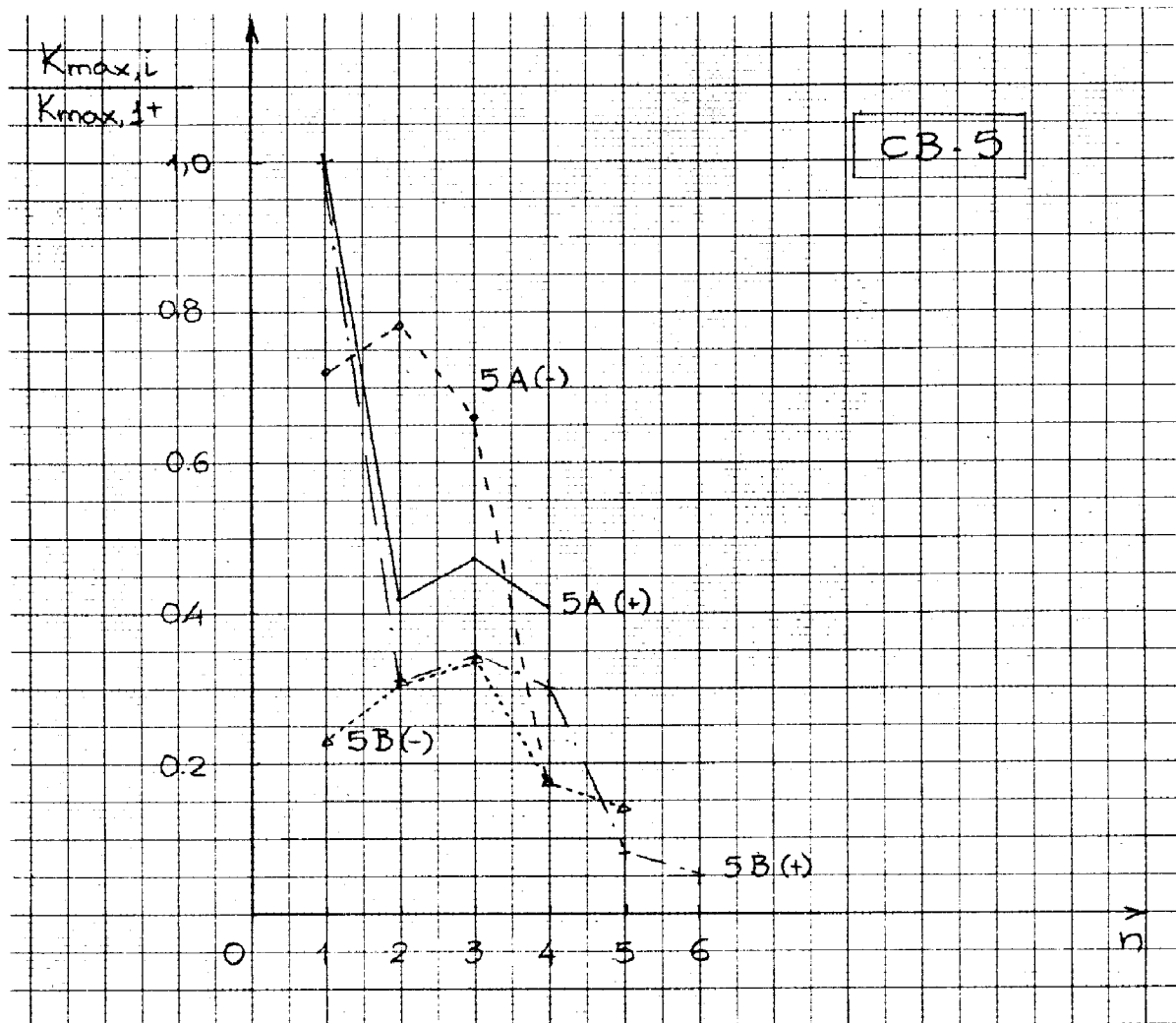
Σχ. 6.5β:  $\text{CB}-5\text{B}$ . Μεταβολή της ακαμψίας κατά τις ανακυκλίσεις συναρτήσει του φορτίου.



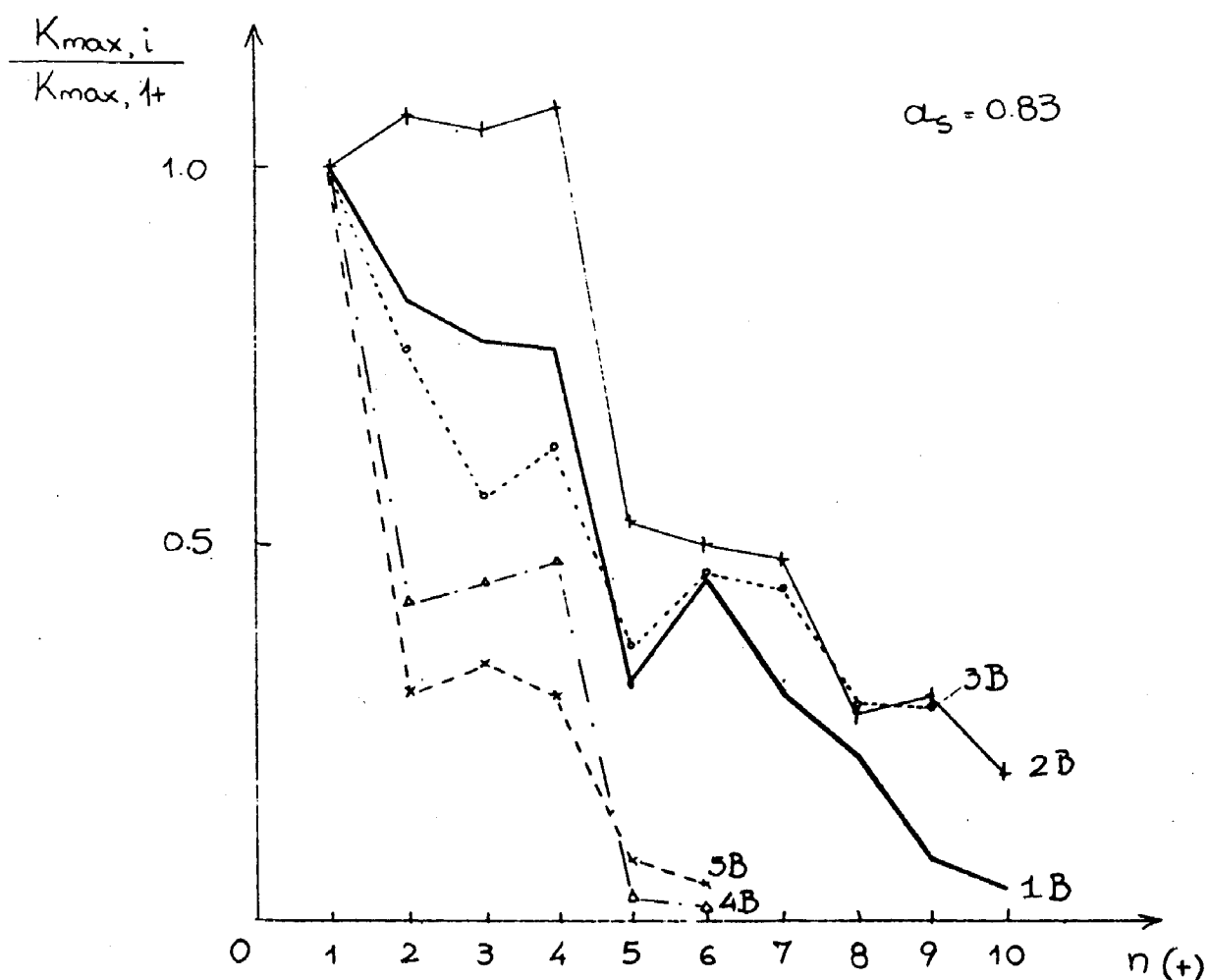
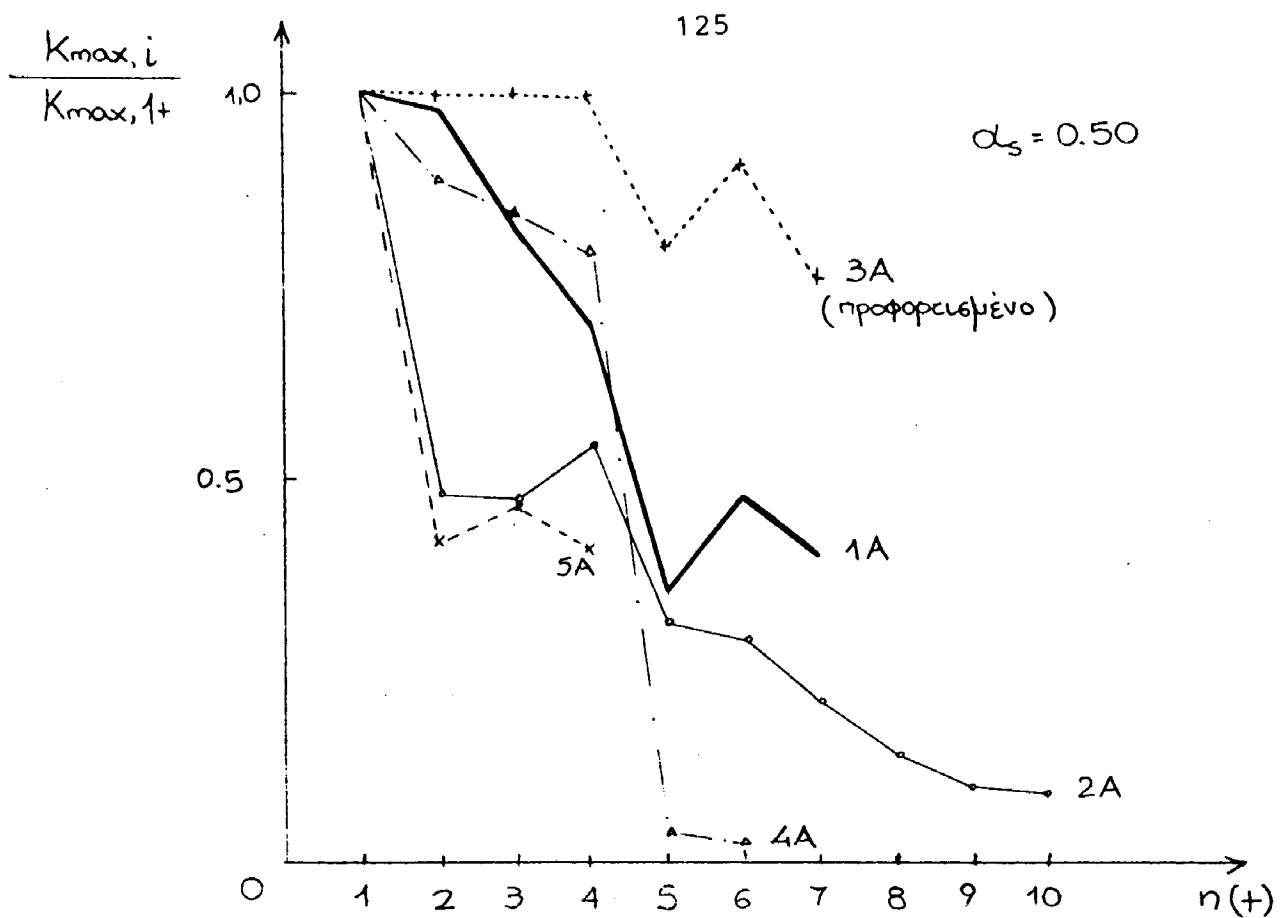
Σχ. 6.6α,β: CB-1,2. Μεταβολή της μέγιστης ακαμψίας συναρτήσει του πλήθους των κύκλων.



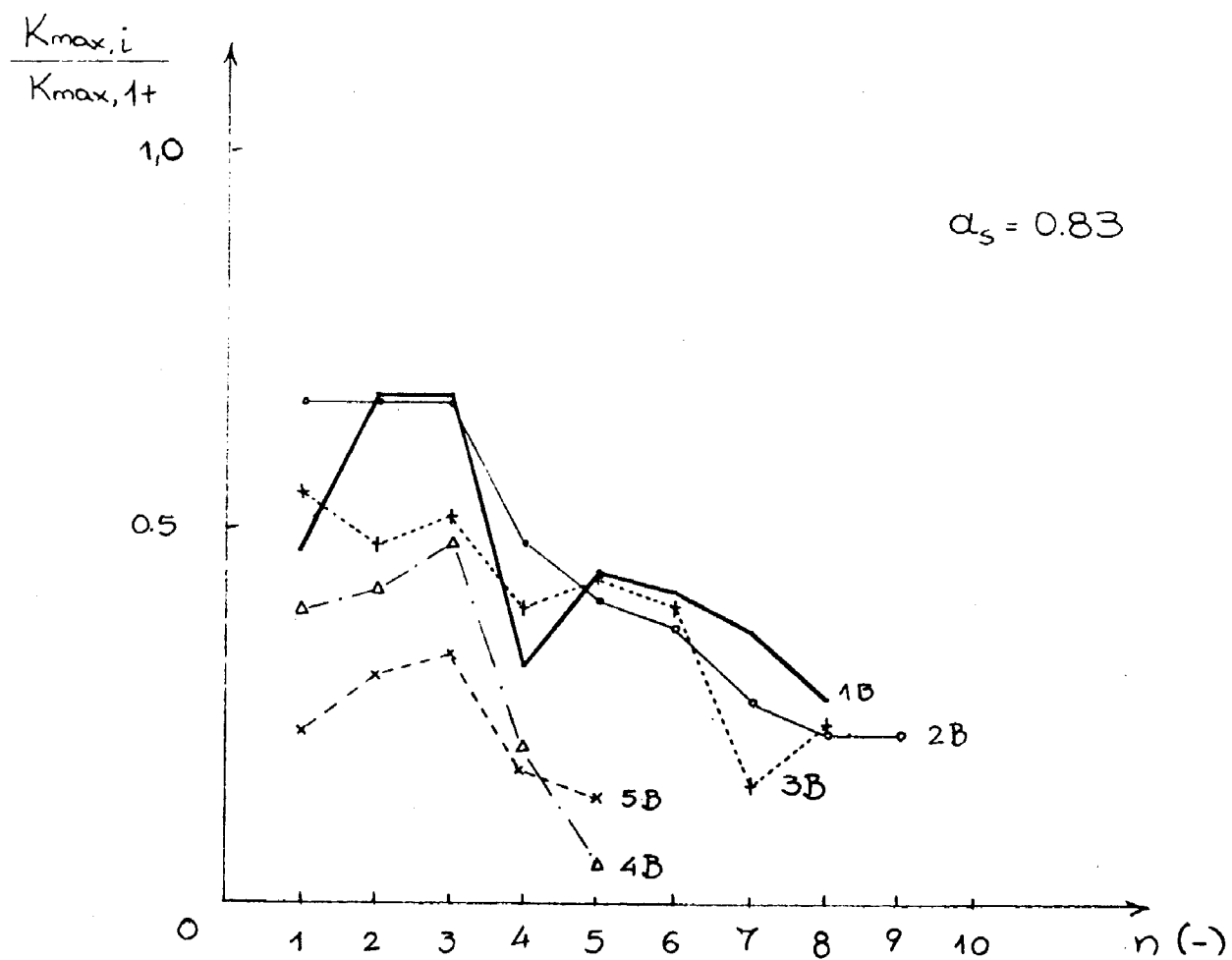
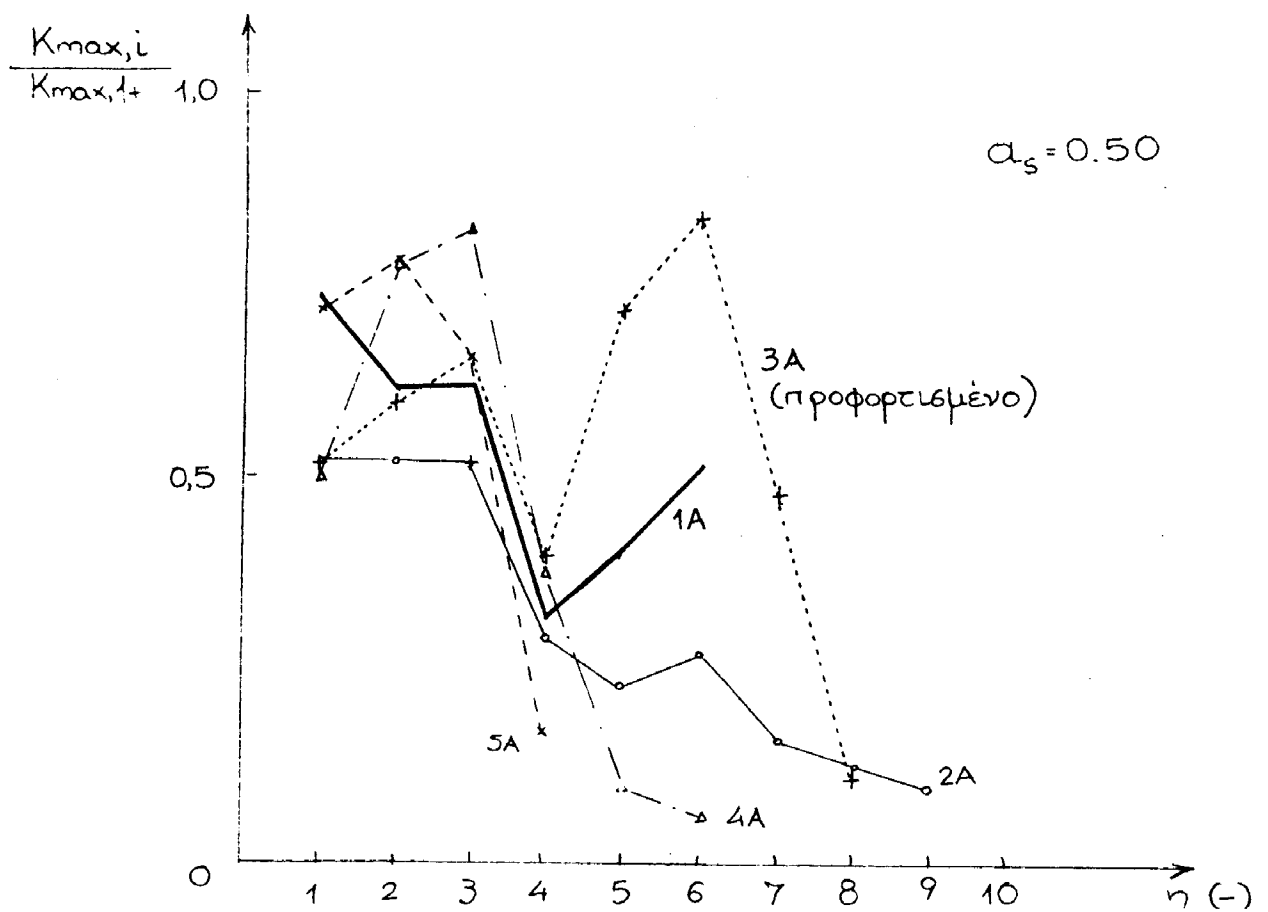
Σχ. 6.6γ,δ: CB-3,4. Μεταβολή της μέγιστης ακαμψίας συναρτήσει του πλήθους των κύκλων.



Σχ. 6.6ε: CB-5. Μεταβολή της μέγιστης ακαμψίας συναρτήσει του πλήθους των κύνλων.



Σχ. 6.7α,β: Μετάβολη της μέγιστης ακαμψίας των δοκιμών κατά τις θετικές ανακυκλίσεις.



Σχ. 6.8α,β: Μεταβολή της μέγιστης αιαμψίας των δοκιμών κατά τις αρνητικές ανακυκλίσεις.

## 7. ΠΛΑΣΤΙΜΟΤΗΤΑ

Η πλαστιμότητα είναι ένα καλδύ αριτήριο για την αξιολόγηση της σεισμικής συμπεριφοράς στοιχείων από οπλισμένο σκυρόδεμα. Υπάρχουν δυνατότητες στην εκτίμηση της πλαστιμότητας μιάς δεδομένης κατασκευής ή μέλους κατασκευής. Κι αυτό διδτεί η πλαστιμότητα εξαρτάται απ' τον τρόπο αστοχίας της κατασκευής ή του μέλους που εξετάζεται [12]. Για τον λόγον αυτόν δεν υπάρχει ενιαίο αριτήριο εκτιμήσεως της πλαστιμότητας το οποίο να εφαρμόζεται εξίσου αξιόπιστα σε δλεγκτικές περιπτώσεις [12].

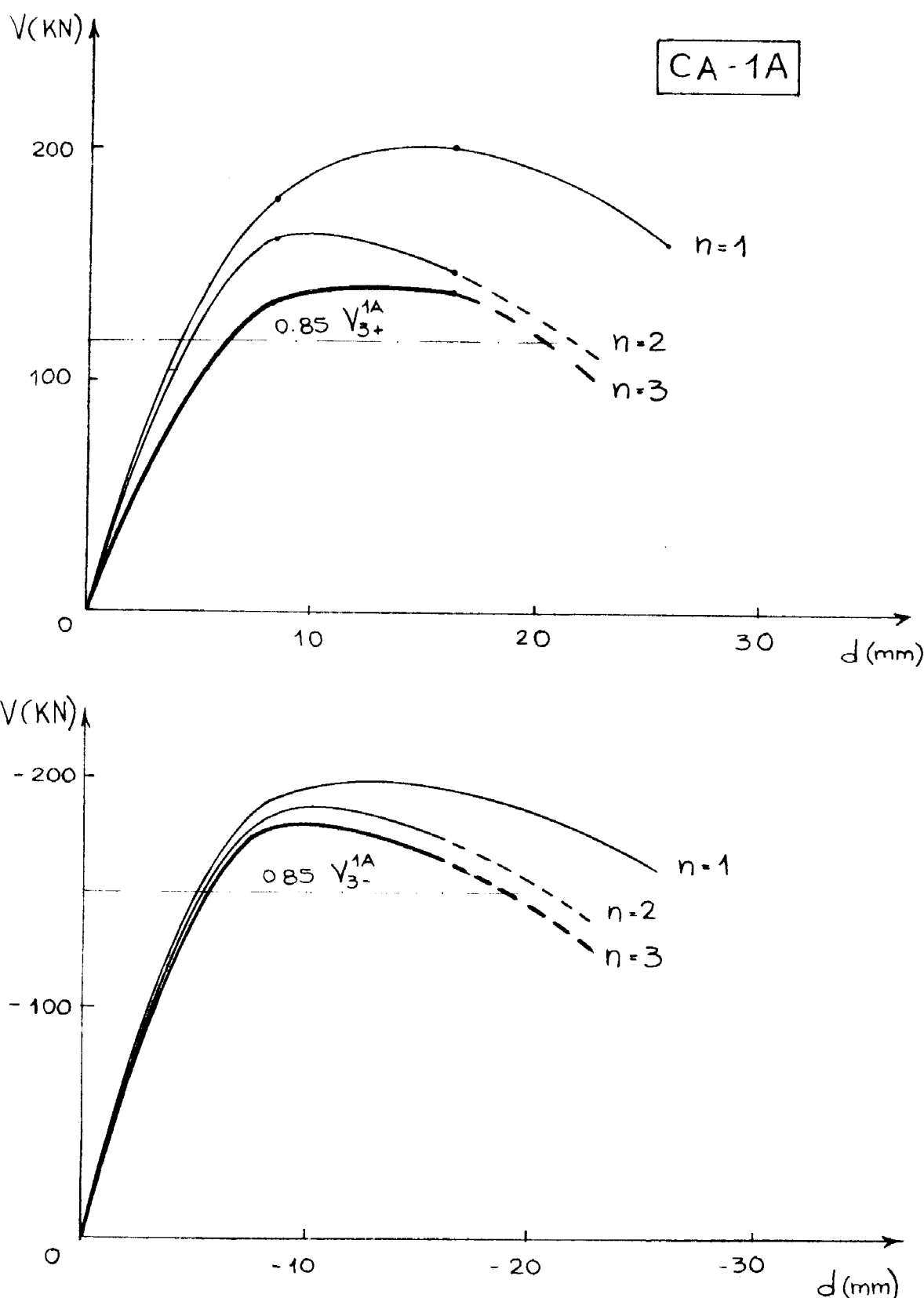
Στα επόμενα εξετάζονται διάφοροι τρόποι εκτιμήσεως της πλαστιμότητας των δοκιμών της παρούσας έρευνας, σχολιάζεται δε η αξιοπιστία-τους.

### 7.1 ΔΕΙΚΤΗΣ ΠΛΑΣΤΙΜΟΤΗΤΑΣ ΜΕΤΑΚΙΝΗΣΕΩΝ

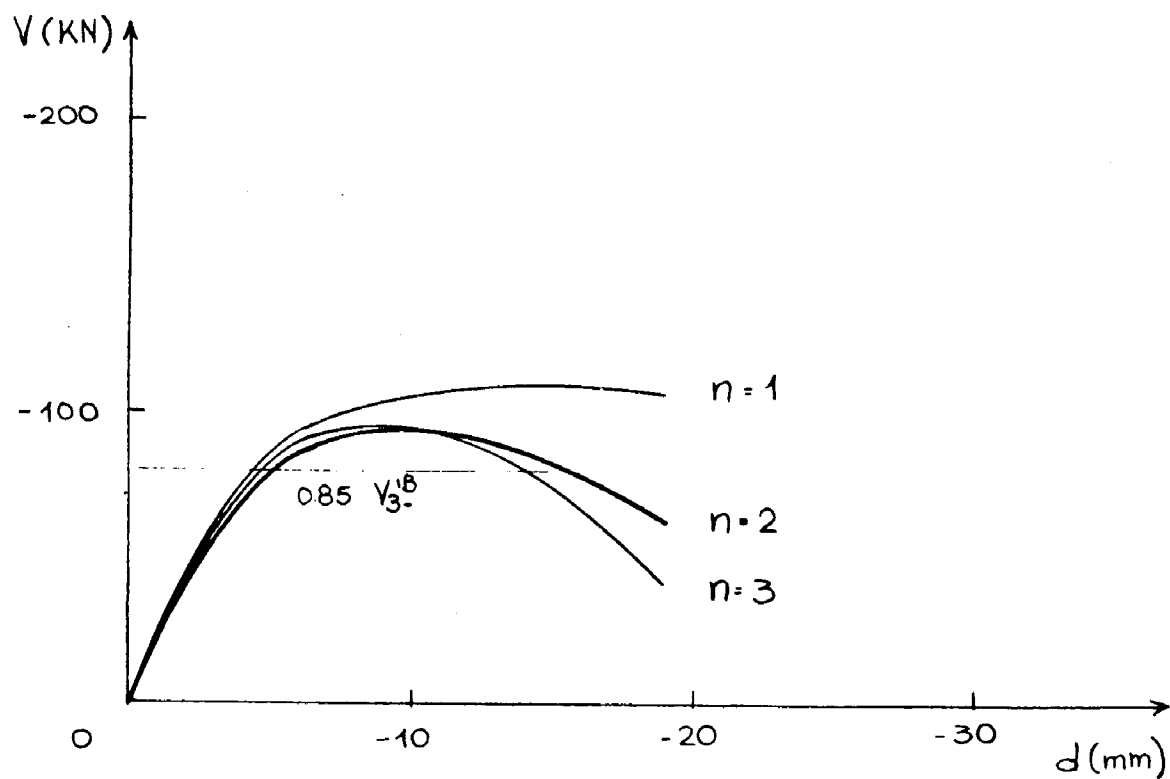
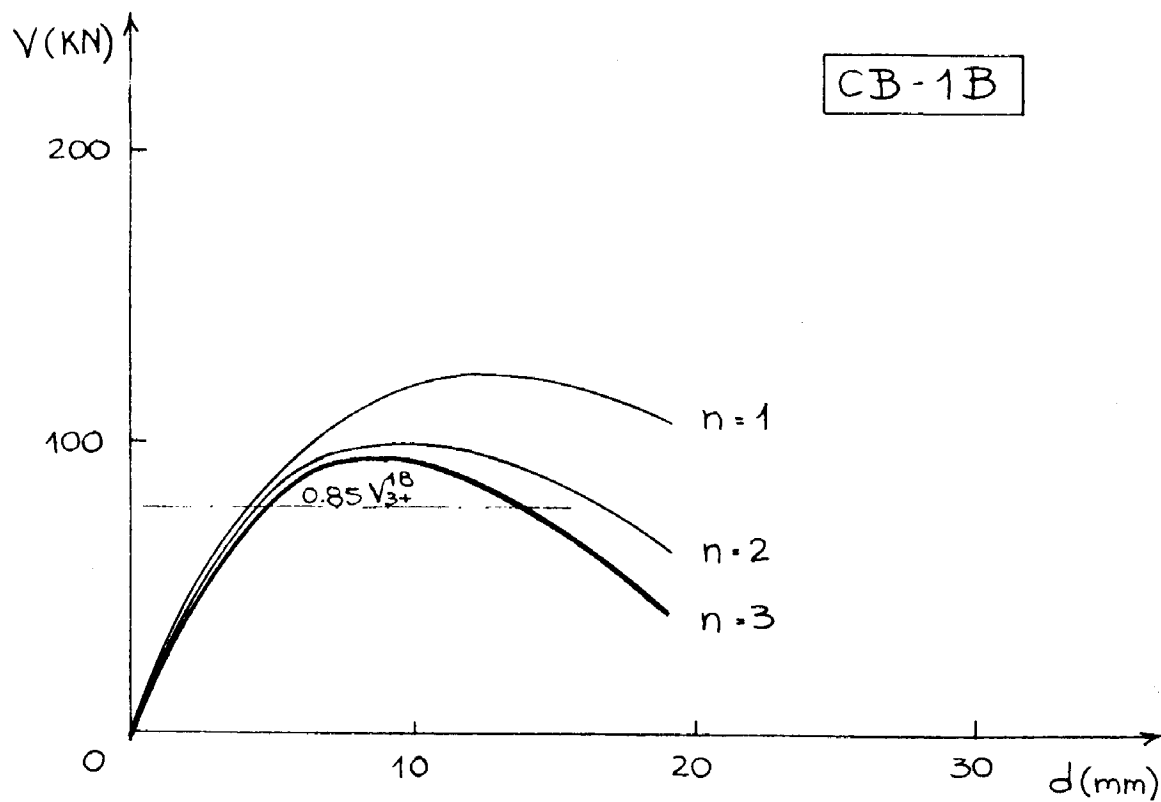
Ο δείκτης πλαστιμότητας μετακινήσεων "μ<sub>d</sub>" εκφράζει τη δυνατότητα μετελαστικής παραμορφώσεως ενός στοιχείου χωρίς σημαντική μείωση της αποκρίσεώς-του. Εξαρτάται, γενικώς: α) απ' τον λόγο διατμήσεως α<sub>s</sub> και β) απ' τον τρόπο οπλίσεως.

Ο δείκτης "μ<sub>d</sub>" σε ανακυκλιζόμενη φόρτιση ευρίσκεται απ' το σχήμα της περιβάλλουσας των κύκλων φορτίσεως. Σε περίπτωση που γίνονται περισσότερες από μία ανακυκλίσεις για την ίδια στάθμη επιβαλλόμενης μετακινήσεως πρέπει να καταστεί σαφές ποιών κύκλων η περιβάλλουσα θα λαμβάνεται υπόψη. Απαιτείται να οριοθεί και ένα "αποδεκτό" ποσοστό μειώσεως της αποκρίσεως κατά την μετελαστική μετακίνηση (περιθώρια ανακατανομής εντάσεως).

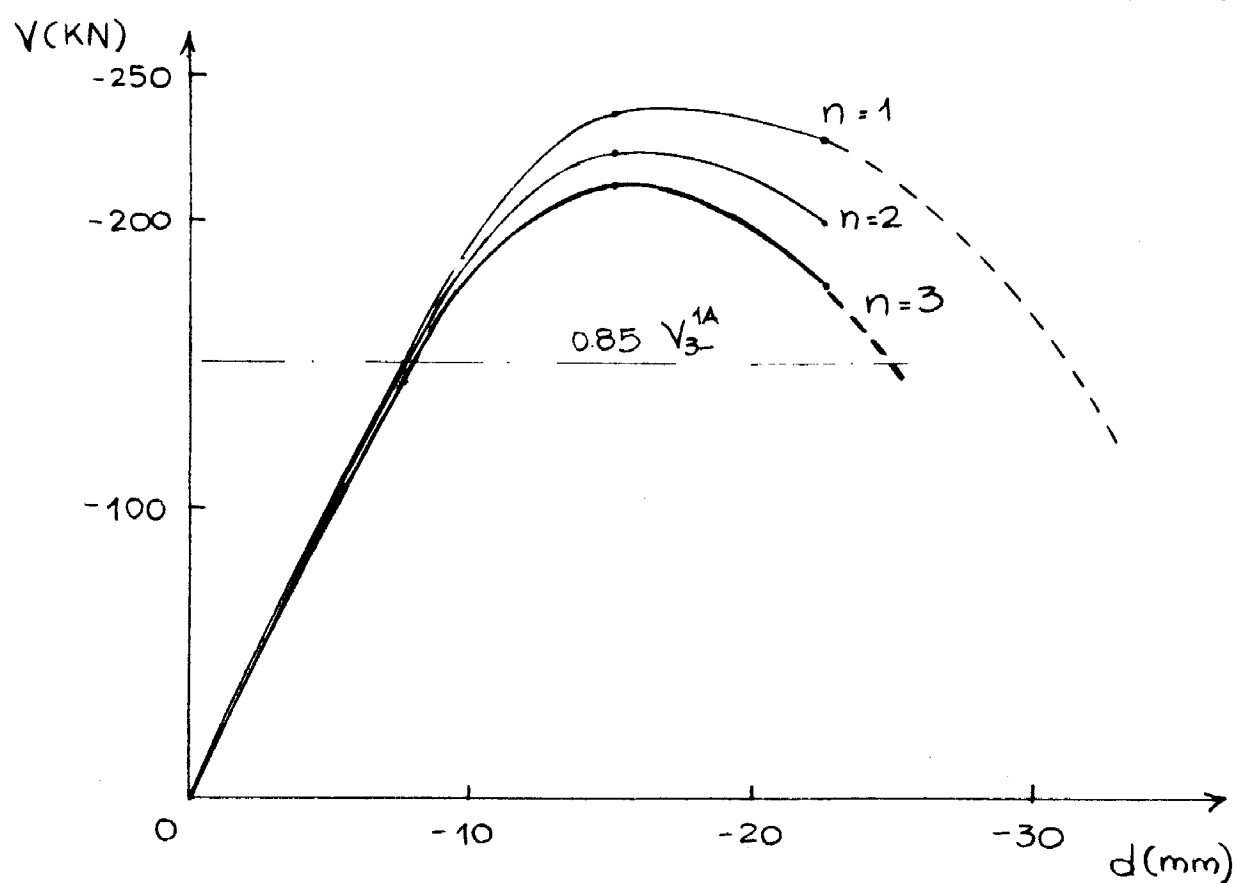
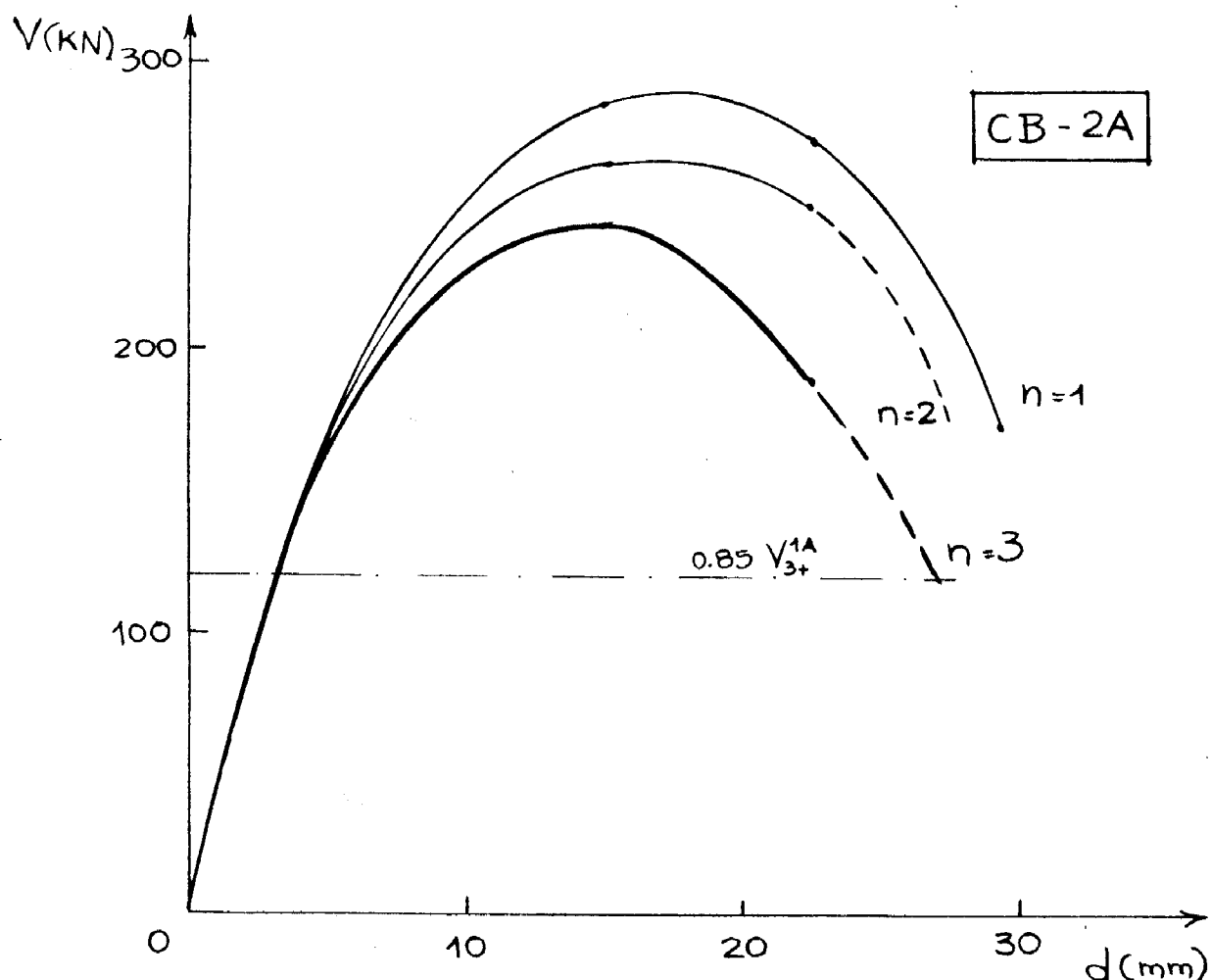
Ενδεικτικώς αναφέρεται ότι στον κανονισμό της Νέας Ζηλανδίας, μία κατασκευή θεωρείται πλαστιμη εάν δταν υποβάλλεται σε μετακίνηση 4-πλάσια της διαρροής για 4 τουλάχιστον πλήρεις ανακυκλίσεις, εμφανίζει πτώση αποκρίσεως μικρότερη ή ίση του 20%. Σήμερα, πάντως, οι παραπάνω απαιτήσεις θεωρούνται μάλλον υπερβολικές.



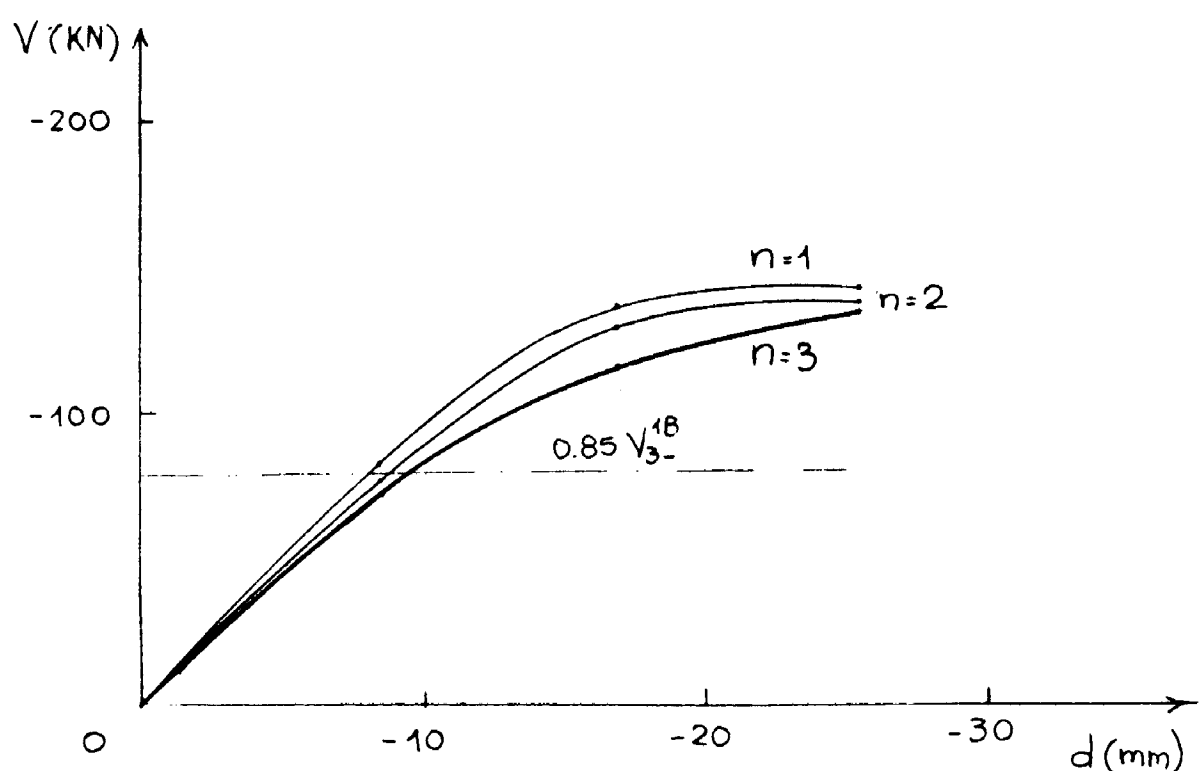
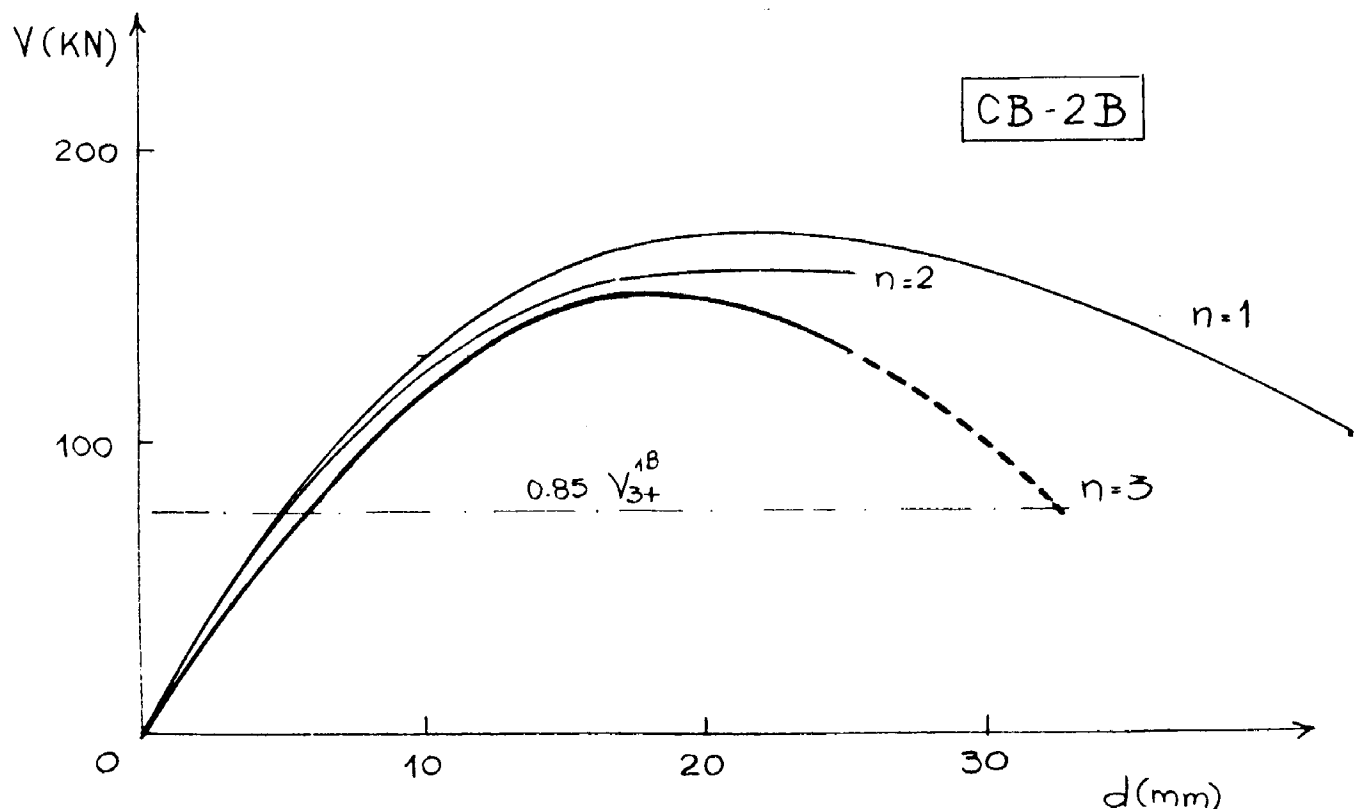
Σχ. 7.1α CB-1Α - Περιβάλλονσες των κύκλων  $n = 1, 2, 3$  για τις δύο κατευθύνσεις φορτίσεως.



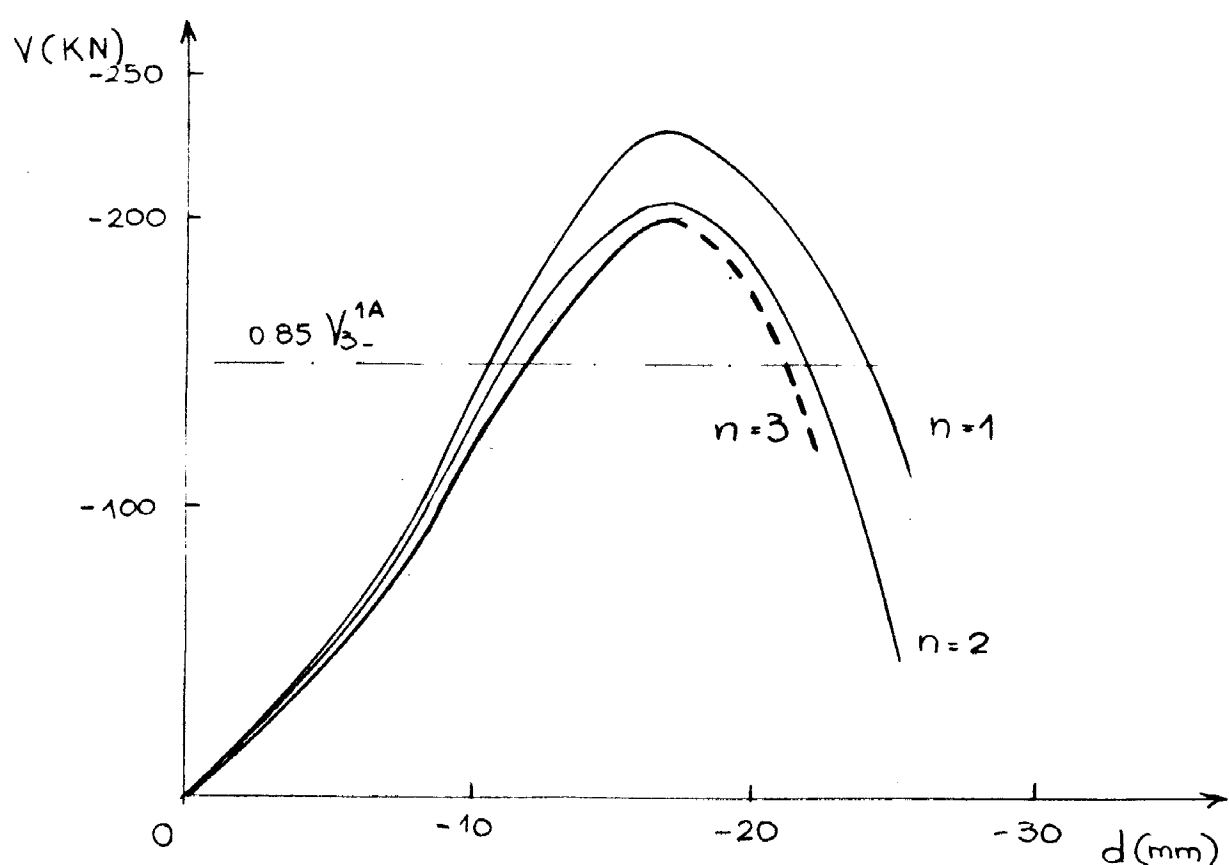
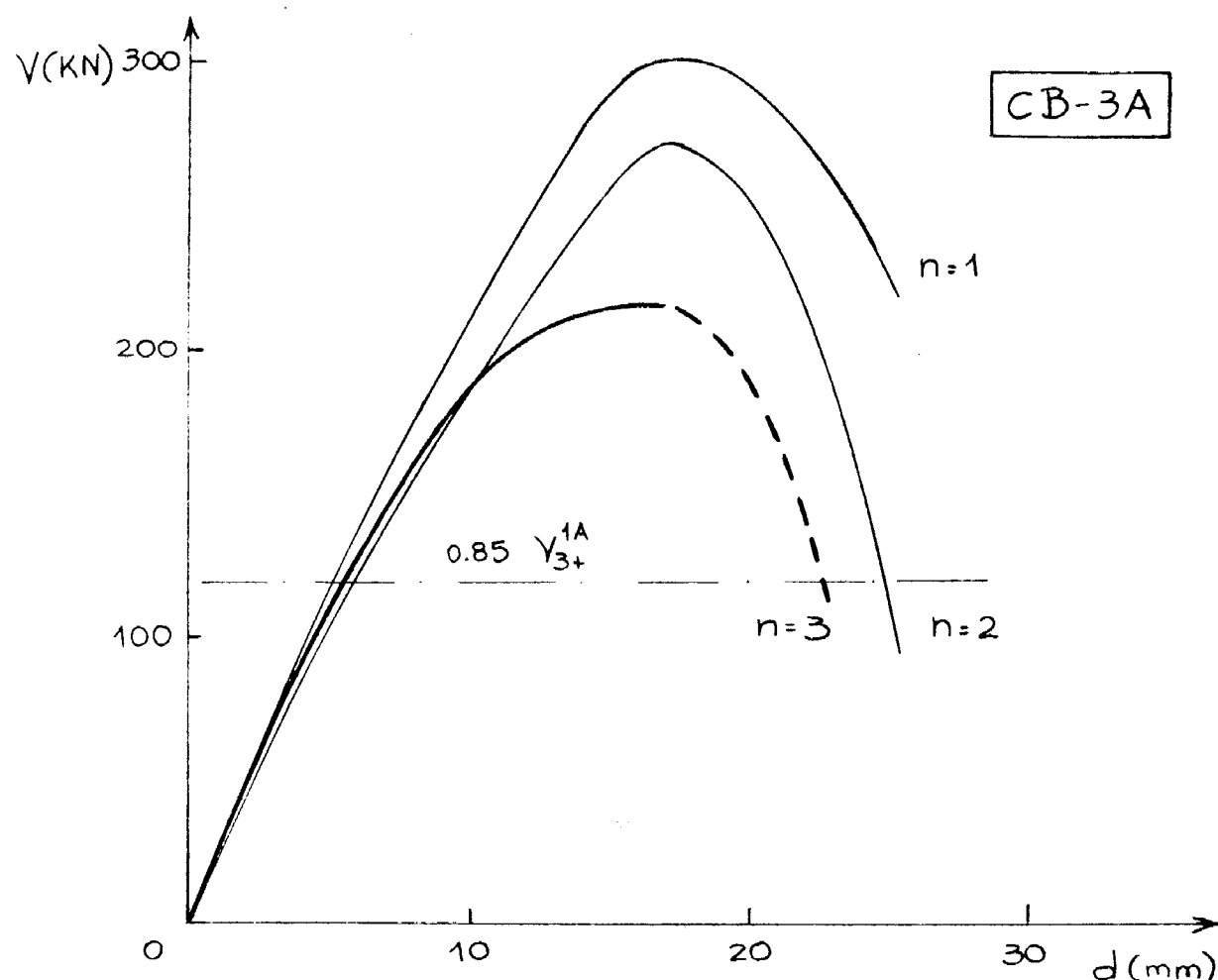
Σχ. 7.1β CB-1B - Περιβάλλουσες των κύκλων  $n = 1, 2, 3$  για τις δύο κατευθύνσεις φορτίσεως.



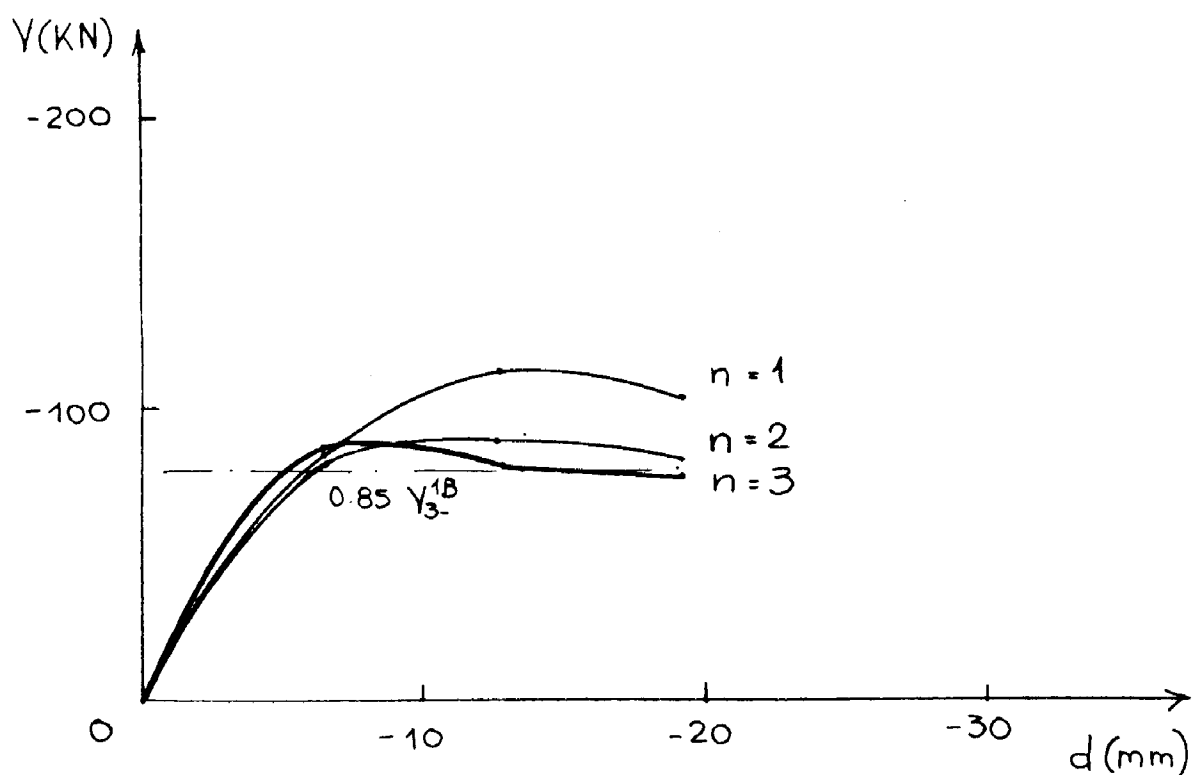
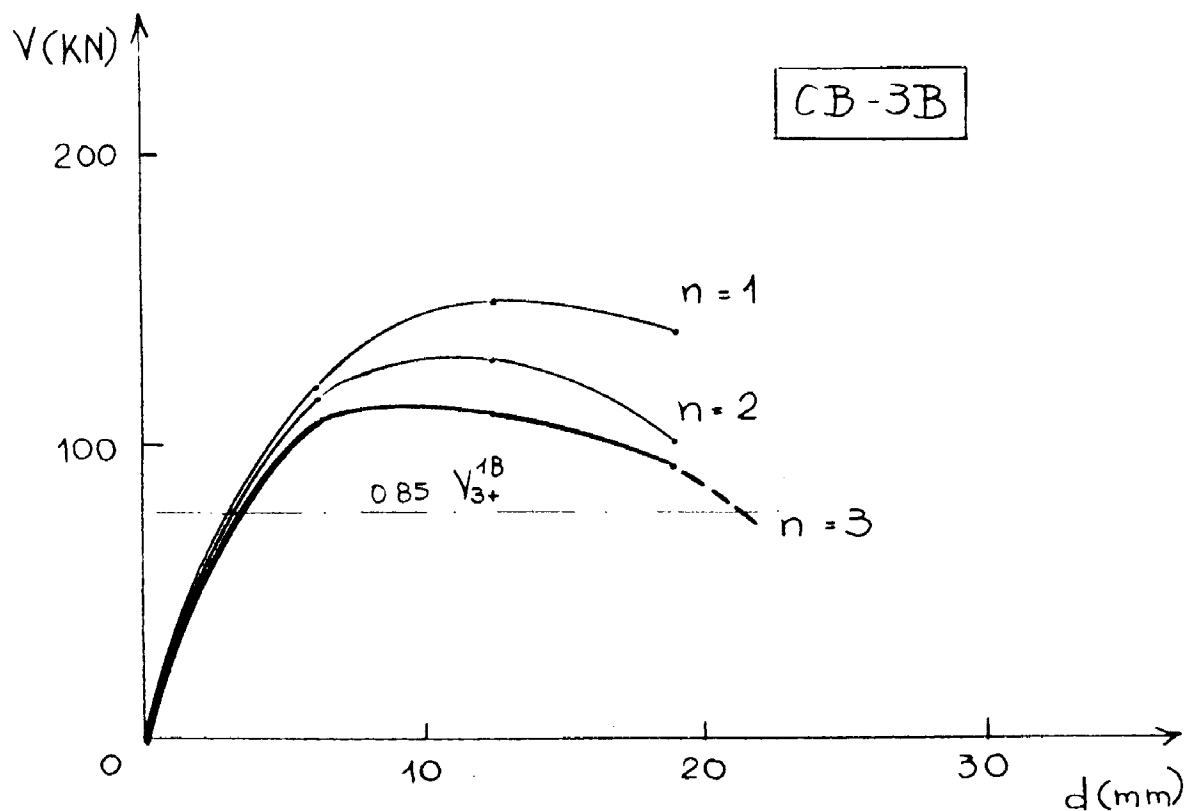
Σχ. 7.2α CB-2Α - Περιβάλλονσες των κύκλων  $n = 1, 2, 3$  για τις δύο κατευθύνσεις φορτίσεως.



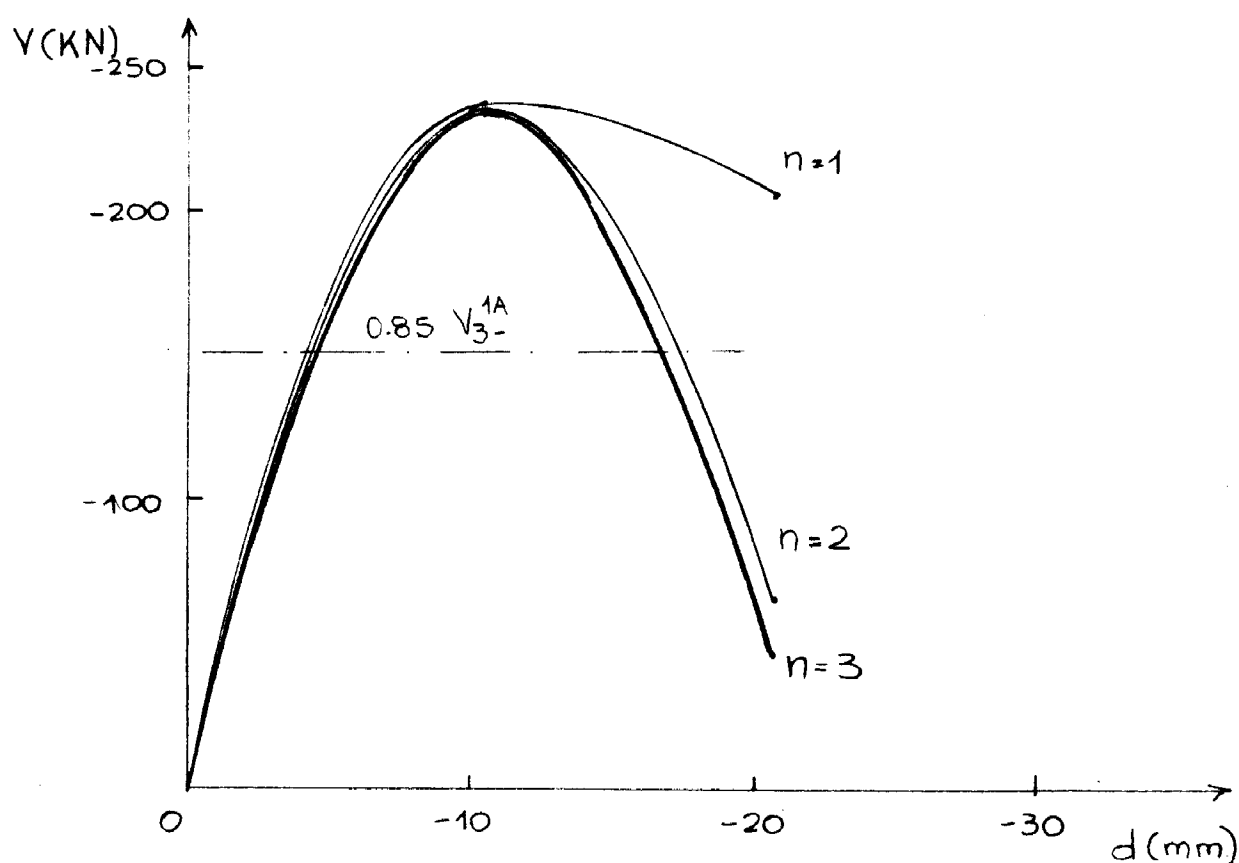
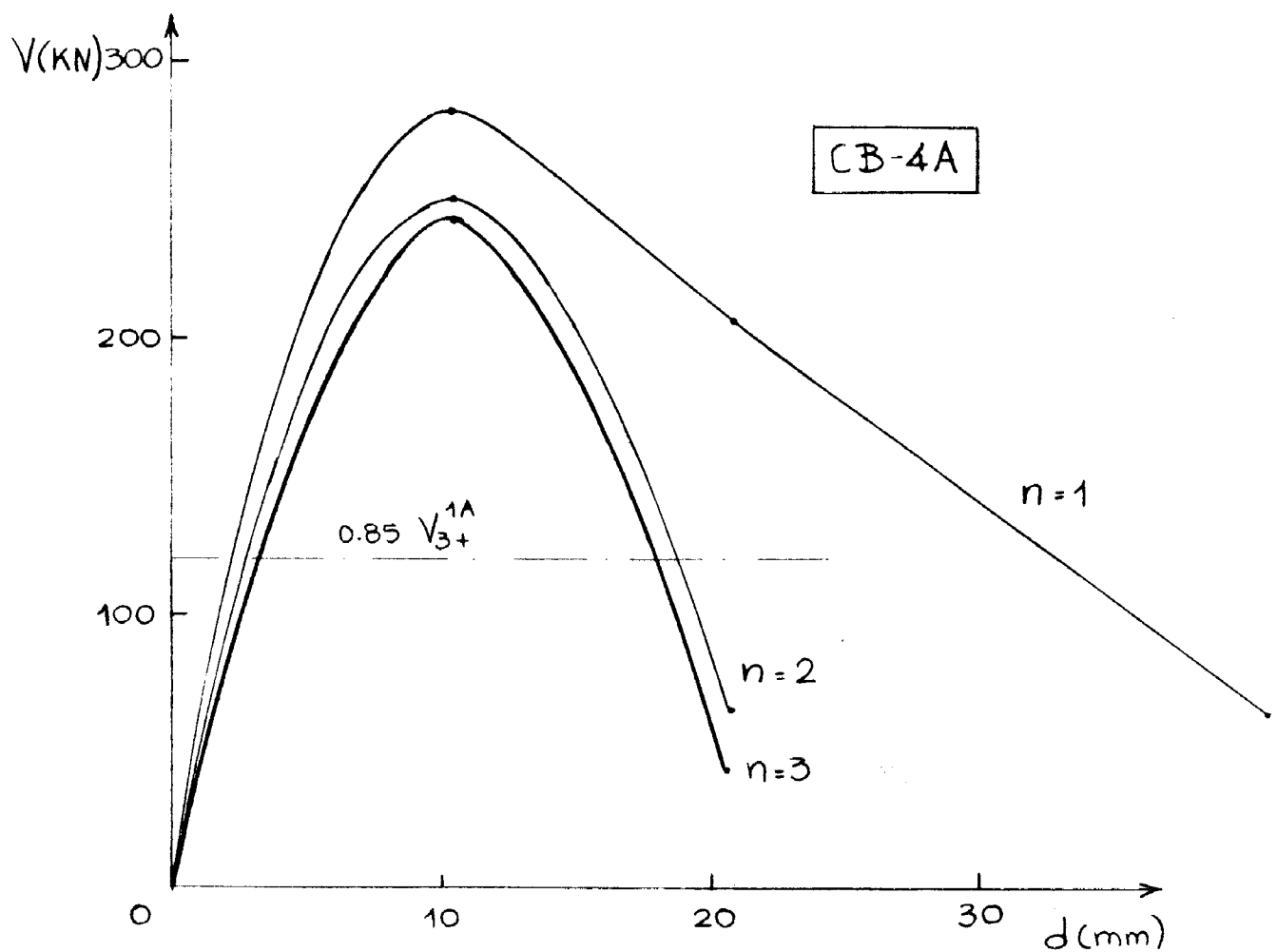
Σχ. 7.2β CB-2B - Περιβάλλονσες των κύκλων  $n = 1, 2, 3$  για τις δύο κατευθύνσεις φορτίσεως.



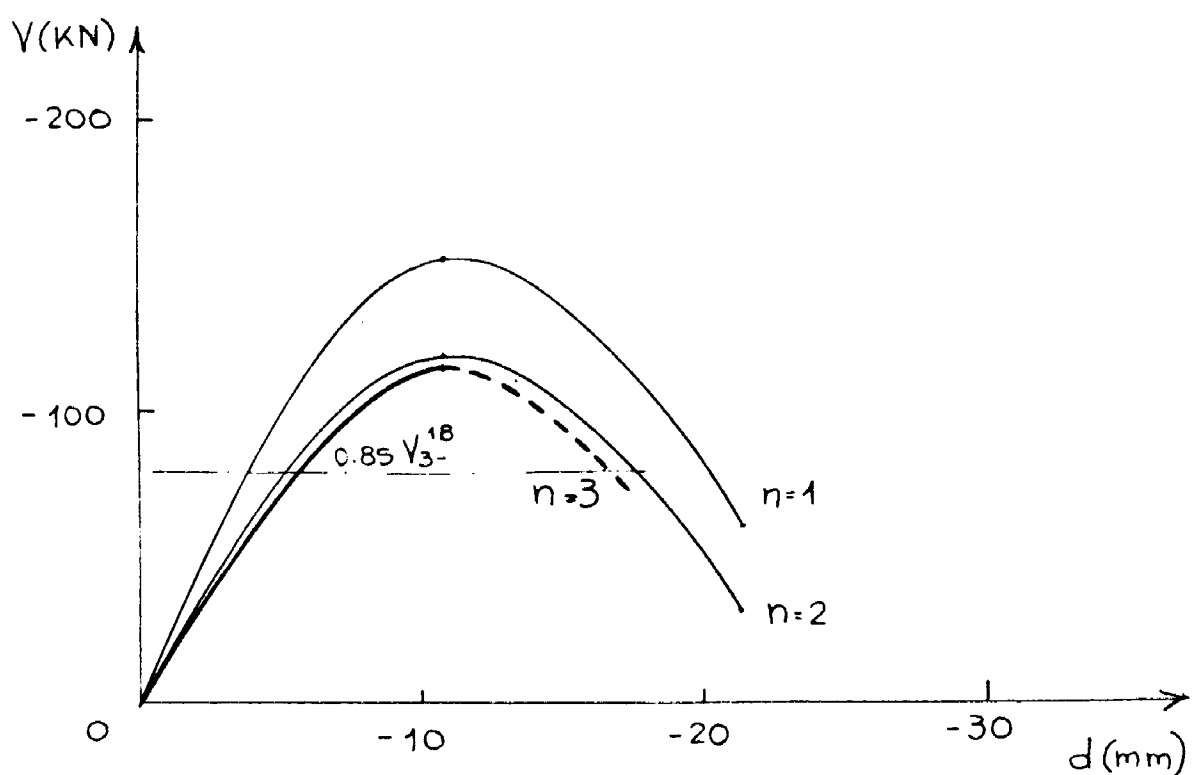
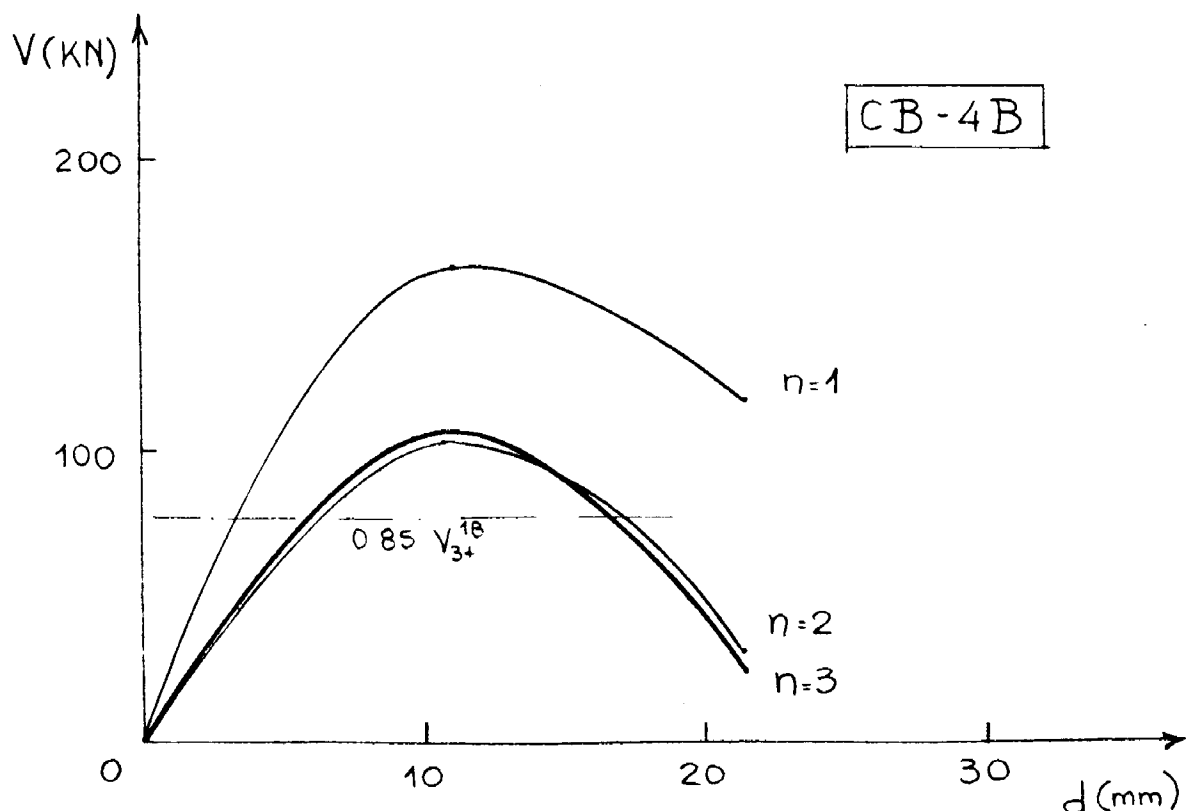
Σχ. 7.3α ΣΒ-3Α - Περιβάλλουσες των κύκλων  $n = 1, 2, 3$  για τις δύο κατευθύνσεις φορτίσεως.



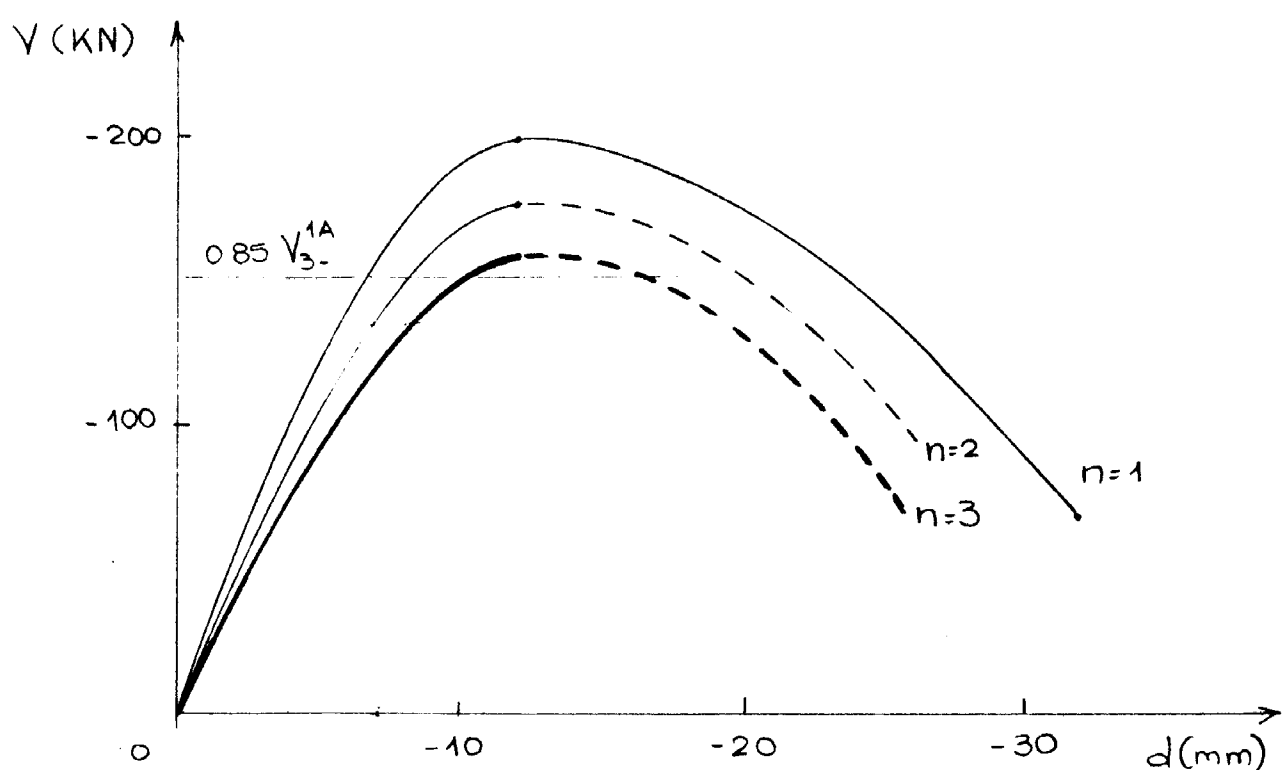
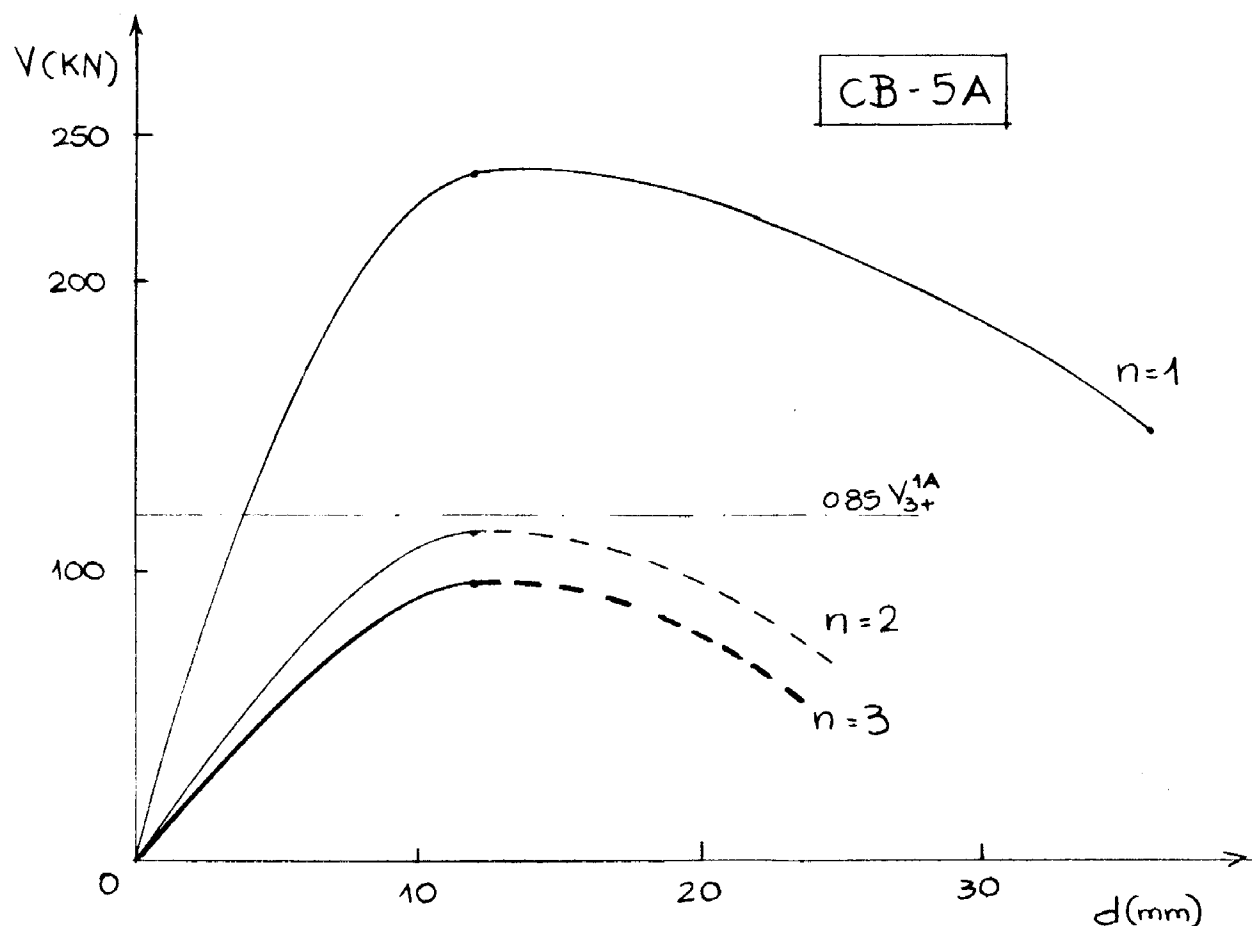
Σχ. 7.3β CB-3B – Περιβάλλουσες των κύκλων  $n = 1, 2, 3$  για τις δύο κατευθύνσεις φορτίσεως.



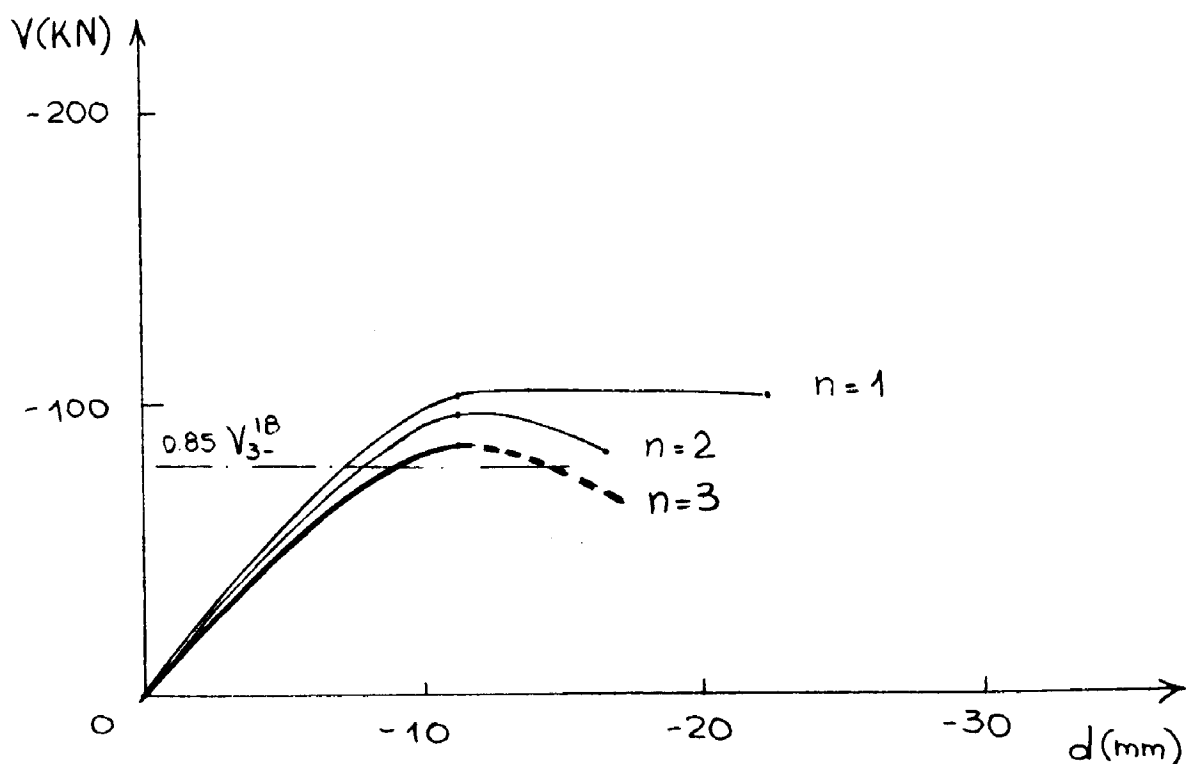
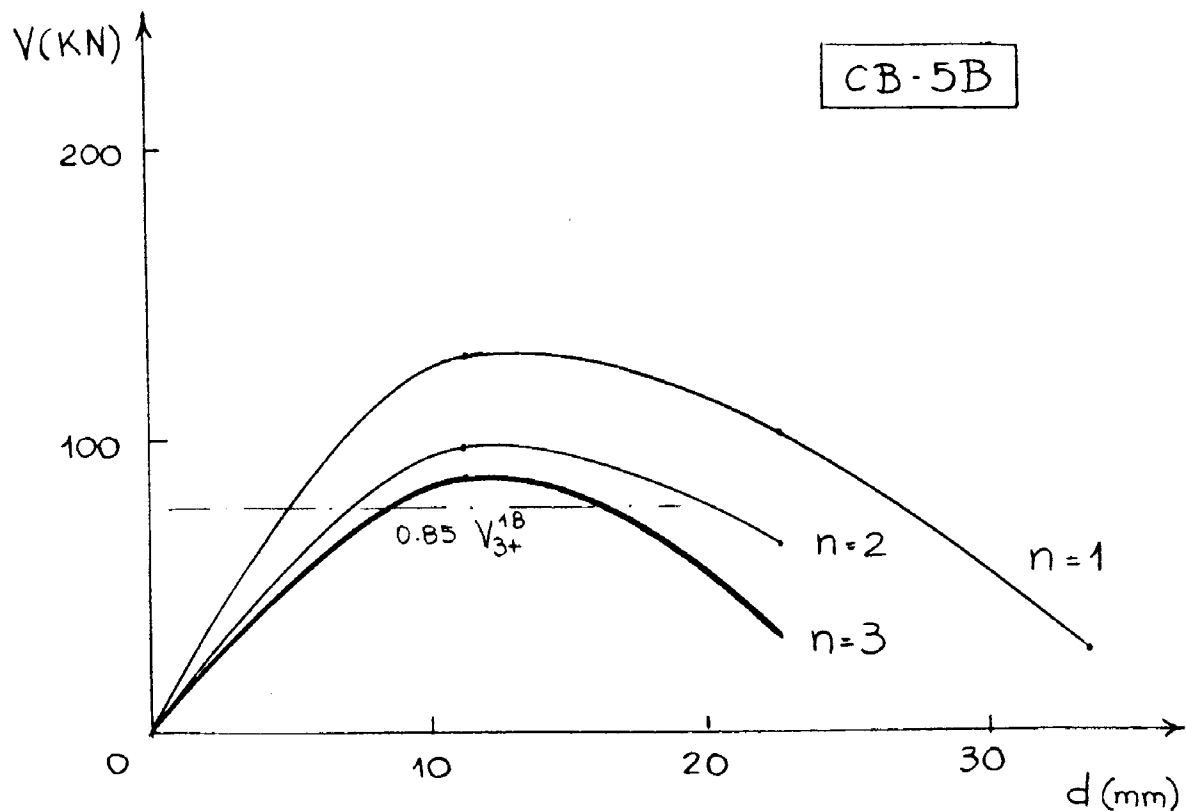
Σχ. 7.4α ΣΒ-4Α - Περιβάλλουσες των κύκλων  $n = 1, 2, 3$  για τις δύο ιατευθύνσεις φορτίσεως.



Σχ. 7.4β CB-4B – Περιβάλλουσες των κύκλων  $n = 1, 2, 3$  για τις δύο κατευθύνσεις φορτίσεως.



Σχ. 7.5α CB-5Α - Περιβάλλονσες των κύκλων  $n = 1, 2, 3$  για τις δύο κατευθύνσεις φορτίσεως.



Σχ. 7.5β CB-5B - Περιβάλλονσες των κύκλων  $n = 1, 2, 3$  για τις δύο κατευθύνσεις φορτίσεως.

Για τον καθορισμό των " $\mu_d$ " των δοκών συζεύξεως της έρευνας αυτής, αναζητήθηκε κάποιος ενιαίος τρόπος υπολογισμού για δλα τα δοκίμια δεδομένου ότι η μετακίνηση που οδηγεί σε διαρροή ( $\delta_y = \delta_1$ ) καθώς και οι μέγιστες τέμνουσες διαφέρουν στο κάθε δοκίμιο (διαφορετικοί τρόποι οπλίσεως).

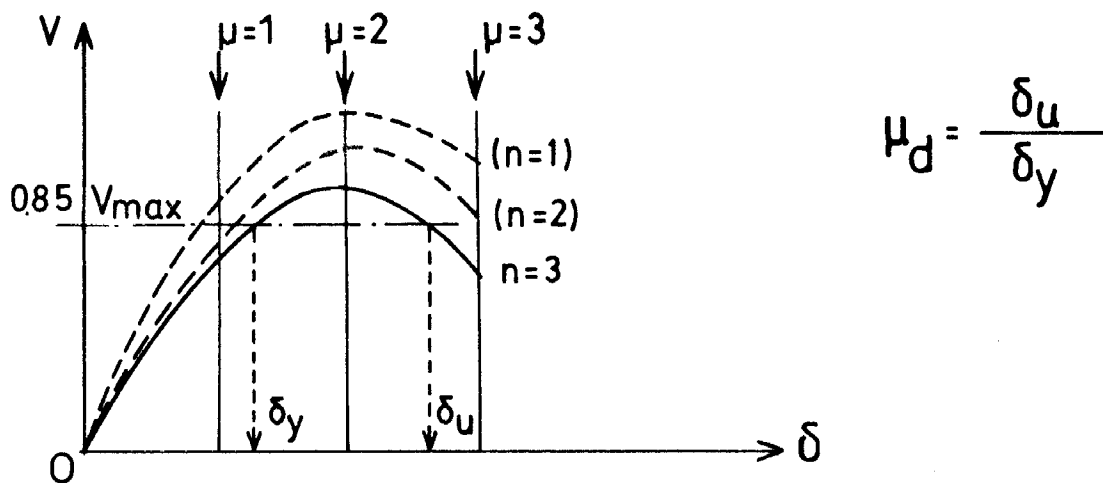
Θεωρήθηκε ότι η περιβάλλουσα των τρίτων κύκλων ( $n = 3$ ) είναι αντιπροσωπευτική της πτώσεως αποκρίσεως λόγω ανακυκλώσεων, ο δε δείκτης " $\mu_d$ " υπολογίστηκε για παραμένουσα απόκριση: 0.85  $V_{max}$  (δηλαδή για μείωση αποκρίσεως 15%).

Ως  $V_{max}$  επιλέγεται η μέγιστη  $V$  για  $n = 3$  της κλασικώς οπλισμένης δοκού (CB-1A,B) η οποία είναι κοινή για δλα τα δοκίμια με ίδιο λόγο διατμήσεως.

Η διαδικασία που ακολουθείται είναι η εξής: Για το κάθε δοκίμιο σχεδιάζεται η περιβάλλουσα  $n = 3$  των τρίτων κύκλων φορτίσεως, χωριστά για την κάθε διεύθυνση φορτίσεως - βλ. Σχ. 7.1-7.5 - (Στα σχήματα αυτά έχουν σχεδιαστεί για εποπτεία οι περιβάλλουσες καί των τριών κύκλων φορτίσεως).

Ο δείκτης  $\mu_d$  υπολογίζεται δπως φαίνεται στο Σχ. 7.6. Προκύπτει δε απ' τον μέσον δρο των " $\mu_d$ " για τις δύο κατευθύνσεις φορτίσεως.

Στην περίπτωση του δοκ. CB-2B, δπου λόγω της μορφής της περιβάλλουσας  $n = 3$  δεν είναι δυνατός ο υπολογισμός του  $\mu_d$  (-) (Σχ. 7.2β) λαμβάνεται ως " $\mu_d$ " ο δείκτης που αντιστοιχεί στην περιβάλλουσα των θετικών κύκλων.



Σχ. 7.6: Τρόπος υπολογισμού του δείκτη πλαστιμότητας ανακυκλιζδμενων μετακινήσεων.

Ως μετακίνηση  $\delta_y$  επελέγη η μετακίνηση που αντιστοιχεί στην περιβάλλουσα  $n = 3$  και δχι η  $\delta_y$  ( $n = 1$ ) η οποία θα ήταν πλησιέστερα στην πραγματική μετακίνηση διαρροής ( $\delta = \delta_1$ ). Αυτό έγινε διδτι η χρήση των  $\delta_y$  ( $n = 1$ ) δίνει αυξημένους μδ στην περίπτωση δοκιμών με μεγάλη διαφορά αποκρίσεως μεταξύ 1ου και 3ου κύκλου (ένδειξη κακής συμπεριφοράς) και δχι στα δοκίμια με σταθερή απόκριση -  $\delta(n = 1) - \delta(n = 3)$  -.

Στον Πίνακα 7.1 φαίνονται οι τιμές του δείκτη  $\mu_d$  που υπολογίστηκαν με την μεθοδολογία που αναφέρθηκε.

Πίνακας 7.1. Δείκτες πλαστιμότητας μετακινήσεων  $\mu_d$ .

$\alpha_s$	$\alpha/\alpha$	Τρόπος οπλίσεως	$\mu_d$
0.50	1A		3,1
	2A		5,6
	3A		2,8
	4A		4,6
	5A		1,6
0.83	1B		2,9
	2B		5,2
	3B		4,1
	4B		2,7
	5B		1,6

Απ' τις τιμές του Πίνακα 7.1 παρατηρούμε δτι για  $\alpha_s = 0.50$  η δοκός 4A με βλήτρα σε δλο το μήκος-της παρουσιάζει  $\mu_d = 4.6$  ενώ η δοκός 3A με τους χιαστή οπλισμούς έχει μόνον  $\mu_d = 2.8$ . Τούτο θα εσήμαινε δτι η δοκός 4A συμπεριφέρεται πιο πλάστιμα απ' την δοκό 3A. Τδσο δμως απ' τις μορφολογίες ρηγματώσεως, απ'

τις καμπύλες V-δ, αλλά και απ' τη μείωση της αποκρίσεως και της ακαμψίας λόγω ανακυκλώσεων (πρβλ. § 3,4,5,6) είναι προφανές δτι η συμπεριφορά της δοκού 4A είναι πολύ χειρότερη απ' την αντίστοιχη της 3A.

Επίσης, απ' τις τιμές των  $\mu_d$  που υπολογίστηκαν δεν φαίνεται δτι για  $a_s = 0.50$  η δοκός 3A συμπεριφέρθηκε πολύ καλύτερα απ' την 1A, ενώ για  $a_s = 0.83$  δτι η συμπεριφορά των δοκών 3B και 1B ήταν παρόμοια, δπως διαπιστώθηκε πειραματικά.

Συμπερασματικά θα μπορούσαμε να πούμε δτι ο δείκτης πλαστιμότητας μετακινήσεων " $\mu_d$ " δεν είναι απολύτως αντιπροσωπευτικός της πραγματικής συμπεριφοράς των δοκών συζεύξεως που εξετάστηκαν.

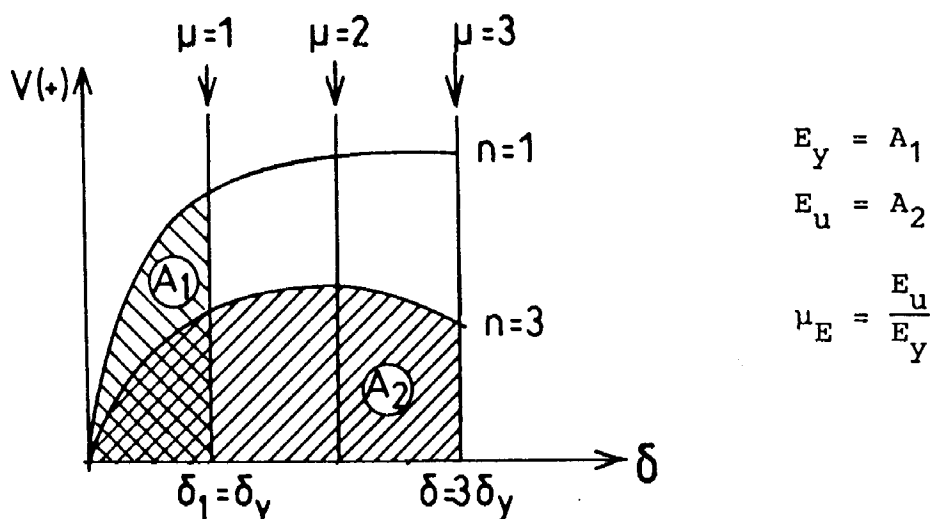
## 7.2 ΔΕΙΚΤΗΣ ΠΛΑΣΤΙΜΟΤΗΤΑΣ ΣΕ ΟΡΟΥΣ "ΑΝΑΛΙΣΚΟΜΕΝΗΣ" ΕΝΕΡΓΕΙΑΣ

Οι δείκτες πλαστιμότητας μετακινήσεων " $\mu_d$ " της 7.1 δεν είναι αντιπροσωπευτικοί της συμπεριφοράς των δοκιμών διότι, κατά τον υπολογισμό-τους δεν λαμβάνονται υπόψη καθοριστικοί παράγοντες της συμπεριφοράς του κάθε δοκιμίου, δπως: 1) Η μείωση αποκρίσεως λόγω ανακυκλώσεων, 2) Τα φορτία στην κάθε στάθμη επιβαλλόμενων μετακινήσεων.

Με σκοπό να ληφθούν υπόψη οι παραπάνω παράγοντες γίνεται μια προσπάθεια εκτιμήσεως του δείκτη πλαστιμότητας των δοκών συζεύξεως σε δρους "αναλισκόμενης" ενέργειας. Ακολουθείται μια μεθοδολογία που είχε χρησιμοποιηθεί από Ιάπωνες ερευνητές [12], η οποία δημιούργησε για να προσαρμοστεί καλύτερα στα πειραματικά-μας αποτελέσματα.

Ο δείκτης πλαστιμότητας σε δρους αναλισκόμενης ενέργειας, έστω " $\mu_E$ ", προσδιορίζεται μέσω των περιβαλλουσών των θετικών κύκλων φορτίσεως, δπως φαίνεται στο Σχ. 7.7. Η "αναλισκόμενη" ενέργεια εκφράζεται απ' το εμβαδόν που περικλείεται από τις περιβάλλουσες φορτίσεως. (Η ενέργεια αυτή διαφέρει απ' την συνήθως ονομαζόμενη "αναλισκόμενη ενέργεια" - dissipated energy - και η οποία εκφράζεται απ' το εμβαδόν των βρόχων υστερήσεως - πρβλ. §8 - ).

Ως "ενέργεια διαρροής  $E_y$ " λαμβάνεται το εμβαδόν  $A_1$  που περικλείεται απ' την περιβάλλουσα  $n = 1$  έως την μετακίνηση  $\delta = \delta_y$  ( $\mu = 1$ ), ενώ ως "ενέργεια αστοχίας  $E_u$ " λαμβάνεται το εμβαδόν  $A_2$  που περικλείεται απ' την περιβάλλουσα των τρίτων κύκλων ( $n = 3$ ) έως την μετακίνηση  $\delta = 3\delta_y$  ( $\mu = 3$ ). Στα δοκίμια που αστόχησαν για  $\mu = 2$ , το  $A_2$  υπολογίζεται έως την μετακίνηση  $\delta = 2\delta_y$ .

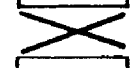
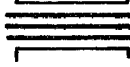
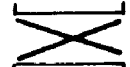
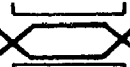
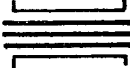


Σχ. 7.7: Τρόπος υπολογισμού του δείκτη πλαστιμότητας σε δρους "αναλισκόμενης" ενέργειας, σε περίπτωση ανακυκλιζόμενης φορτίσεως.

Οι τιμές του  $\mu_E$  των δοκών συζεύξεως της έρευνας αυτής υπολογίστηκαν βάσει των Σχ. 7.1-7.5 και φαίνονται στον Πίνακα 7.2.

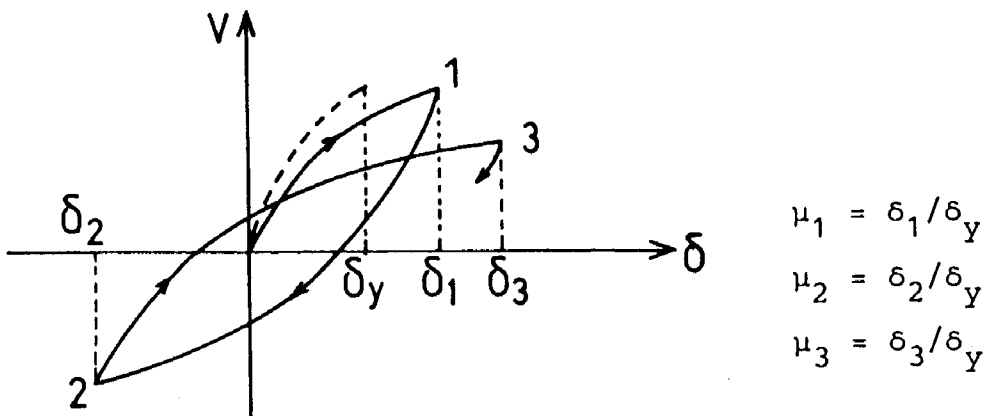
Παρατηρείται δτι η αξιολόγηση της συμπεριφοράς των δοκιμών βάσει των δεικτών  $\mu_E$  συμβαδίζει απολύτως με τα πειραματικά συμπεράσματα.

Πίνακας 7.2: Δείκτες πλαστιμότητας  $\mu_E$  σε δρους αναλισκόμενης ενέργειας.

$\alpha_s$	$\alpha/\alpha$	Τρόπος οπλίσεως	$\mu_E$
0.50	1A		2.10
	2A		4.72
	3A		2.90
	4A		1.85
	5A		0.40
0.83	1B		3.70
	2B		5.75
	3B		3.85
	4B		1.30
	5B		1.55

### 7.3 ΔΕΙΚΤΗΣ ΑΘΡΟΙΣΤΙΚΗΣ ΠΛΑΣΤΙΜΟΤΗΤΑΣ

Ο δείκτης αθροιστικής πλαστιμότητας μετακινήσεων (cumulative displacement ductility) για την αποτίμηση της συμπεριφοράς δοκών συζεύξεως χρησιμοποιείται απ' τον Paulay [9]. Καθορίζεται δπως φαίνεται στο Σχ. 7.8.

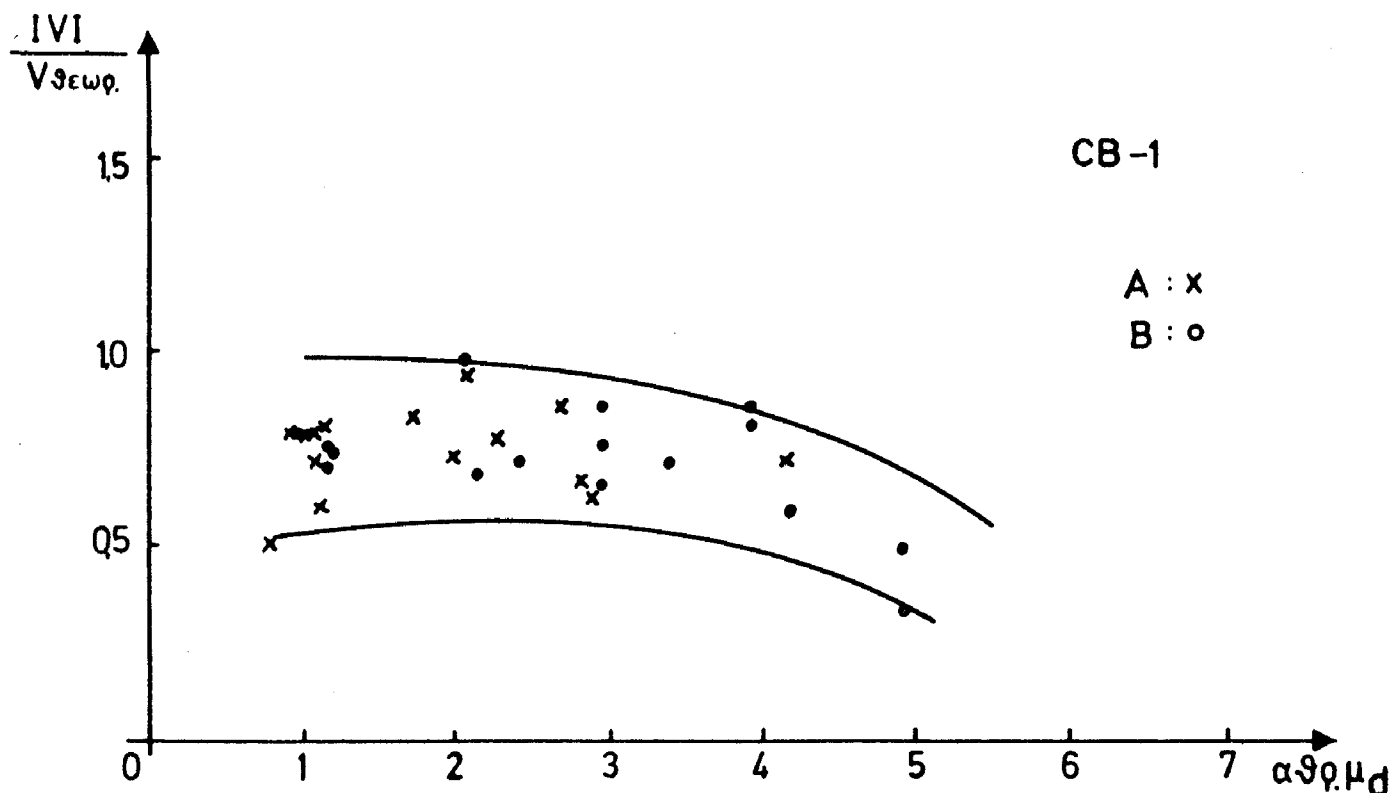


Σχ. 7.8: Ενδεικτικός τρόπος υπολογισμού του δείκτη αθροιστικής πλαστιμότητας μετακινήσεων.

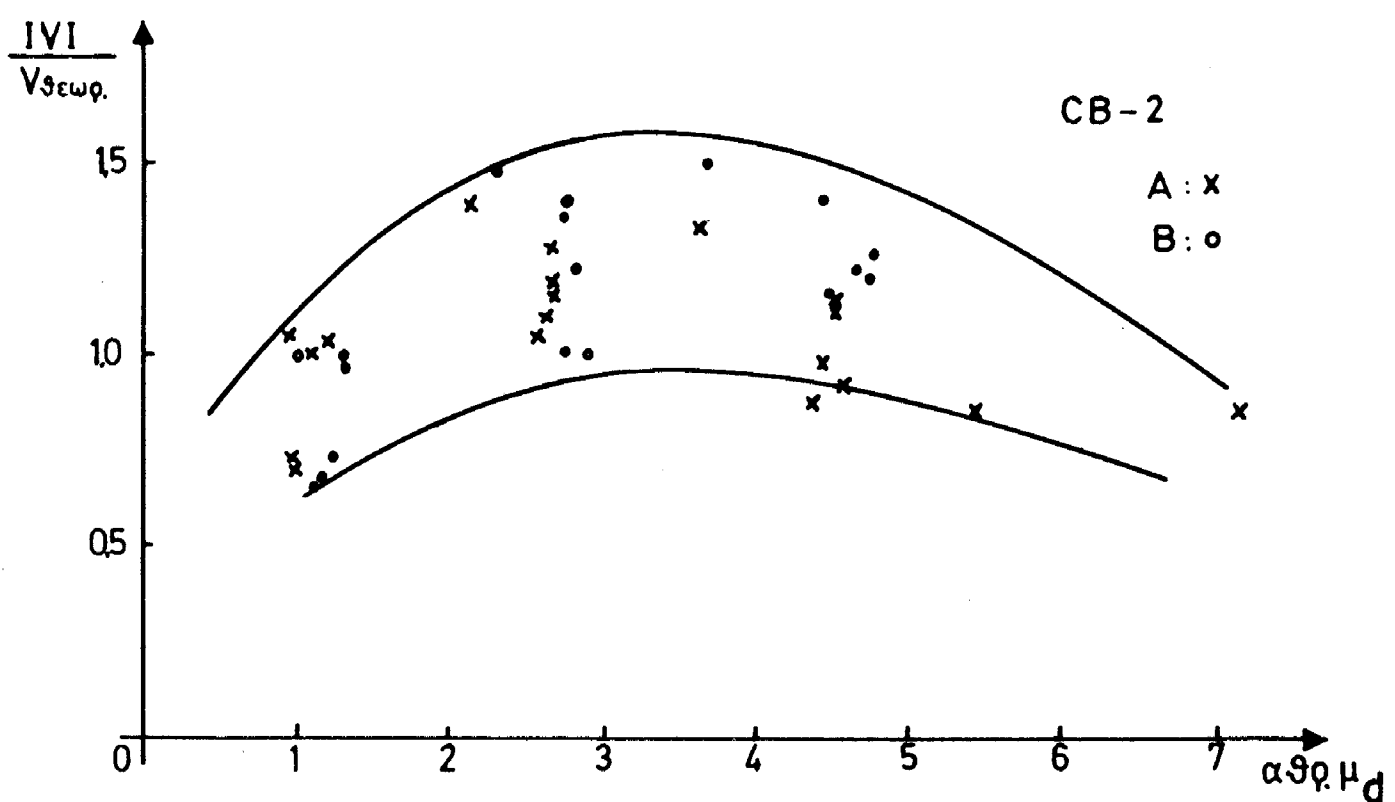
Στα επόμενα χρησιμοποιείται για τον δείκτη αυτόν ο ίδιος συμβολισμός με του κανονικού δείκτη πλαστιμότητας:  $\mu_d$ . Θα ονομάζεται, δημως: αθροιστικός  $\mu_d$ .

Στα Σχ. 7.9 έως 7.13 φαίνεται η μεταβολή του αθροιστικού δείκτη  $\mu_d$  συναρτήσει του λόγου του αντίστοιχου φορτίου  $|v_i|$  προς την θεωρητική αντοχή της δοκού. Το κάθε διάγραμμα αντιστοιχεί σε ίδιο τρόπο οπλίσεως. Χρησιμοποιούνται διαφορετικοί συμβολισμοί για τα σημεία που αντιστοιχούν σε διαφορετικούς λόγους διατμήσεως. Όπως φαίνεται απ' τα σημεία των διαγραμμάτων η συσχέτιση  $|v_i/v_g| - \mu_d$  δεν δείχνει να διαφέρει σημαντικά για λόγους διατμήσεως  $a_s = 0.50-0.83$ .

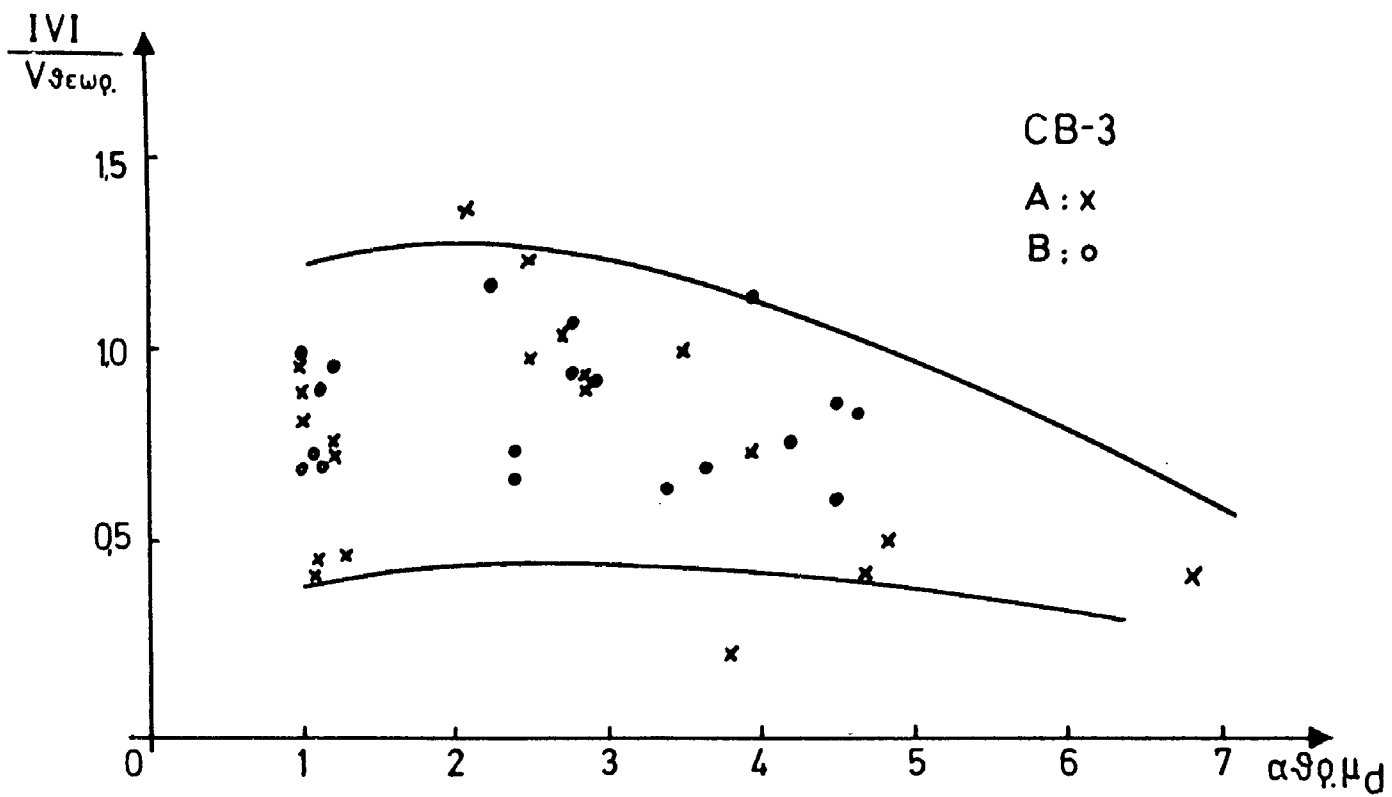
Στο Σχ. 7.14 παριστάνονται οι μέσες καμπύλες που προκύπτουν απ' τα Σχ. 7.9-7.13. Παρατηρούμε ότι η δοκός με τους δισδιαγώνιους οπλισμούς συμπεριφέρεται καλύτερα, τόσο από άποψη αντοχών αλλά και δυνανδτητας μετακινήσεων. Η δοκός με τους χιαστή οπλισμούς συμπεριφέρεται καλύτερα απ' την κλασικώς οπλισμένη, ενώ οι δοκοί με βλήτρα εμφανίζουν μεγάλη μείωση αποκρίσεως για μεγάλες τιμές μετακινήσεων.



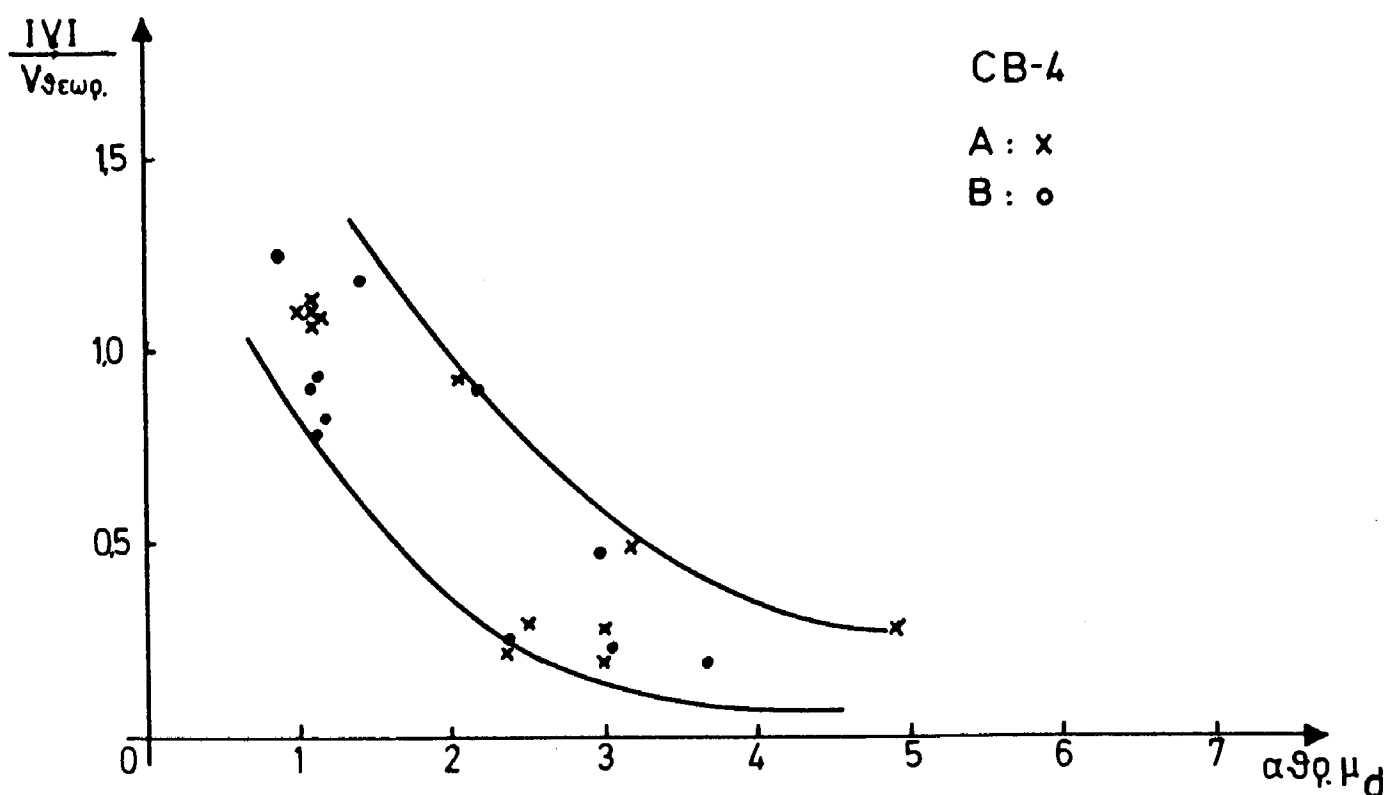
Σχ. 7.9 : CB-1. Μεταβολή του δείκτη αθροιστικής πλαστιμότητας συναρτήσει του φορτίου.



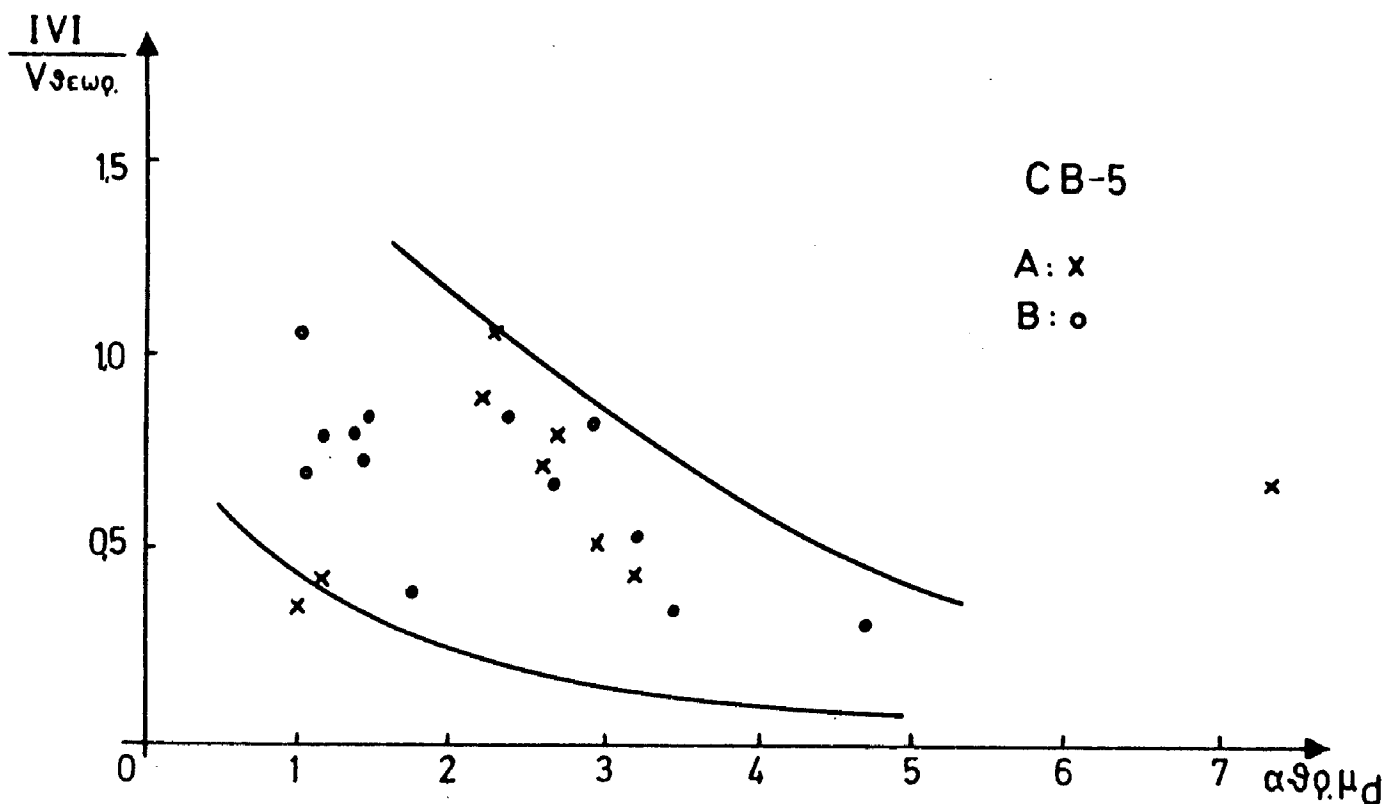
Σχ. 7.10 CB-2. Μεταβολή του δείκτη αθροιστικής πλαστιμότητας συναρτήσει του φορτίου.



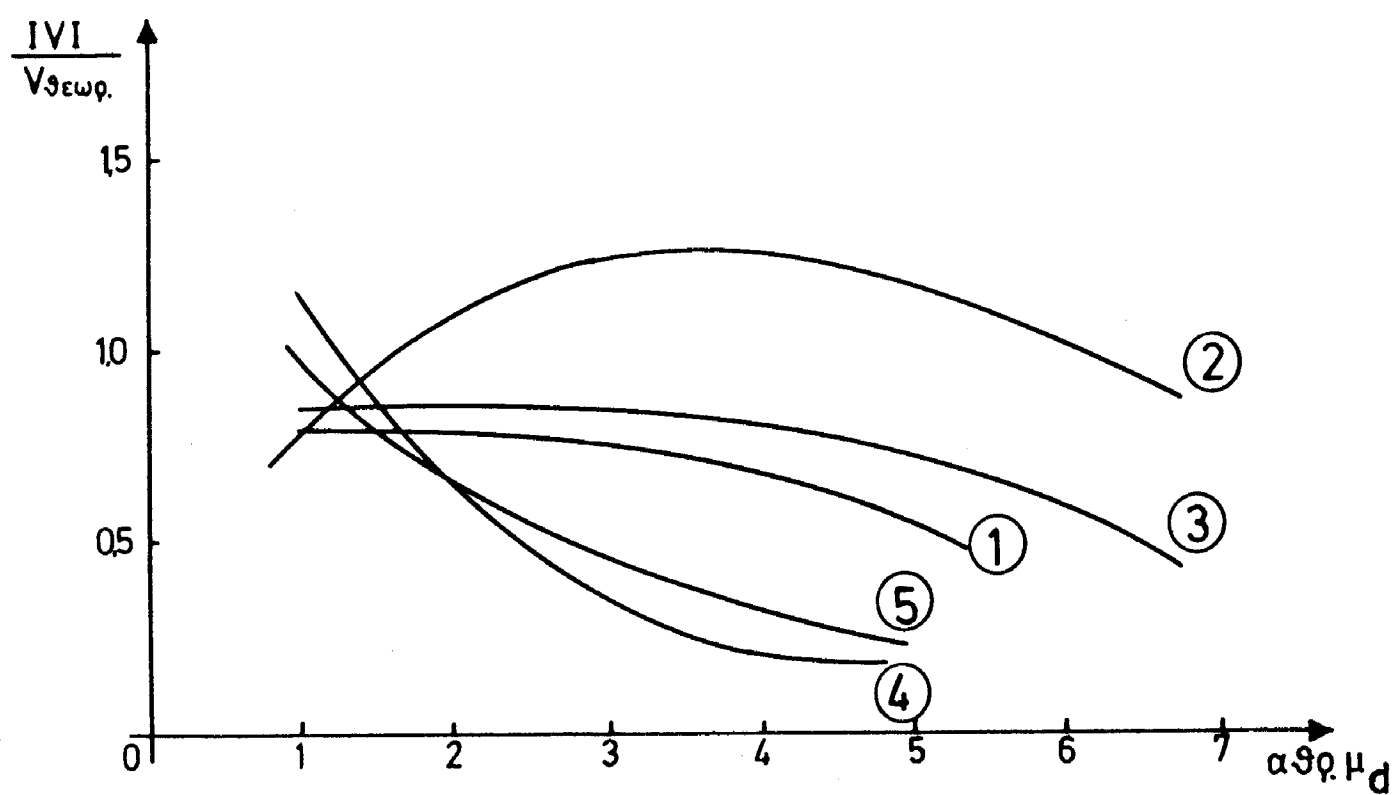
Σχ. 7.11: CB-3. Μεταβολή του δείκτη αθροιστικής πλαστιμότητας συναρτήσει του φορτίου.



Σχ. 7.12: CB-4. Μεταβολή του δείκτη αθροιστικής πλαστιμότητας συναρτήσει του φορτίου.



Σχ. 7.13: CB-5. Μεταβολή του δείκτη αθροιστικής πλαστιμότητας συναρτήσει του φορτίου.

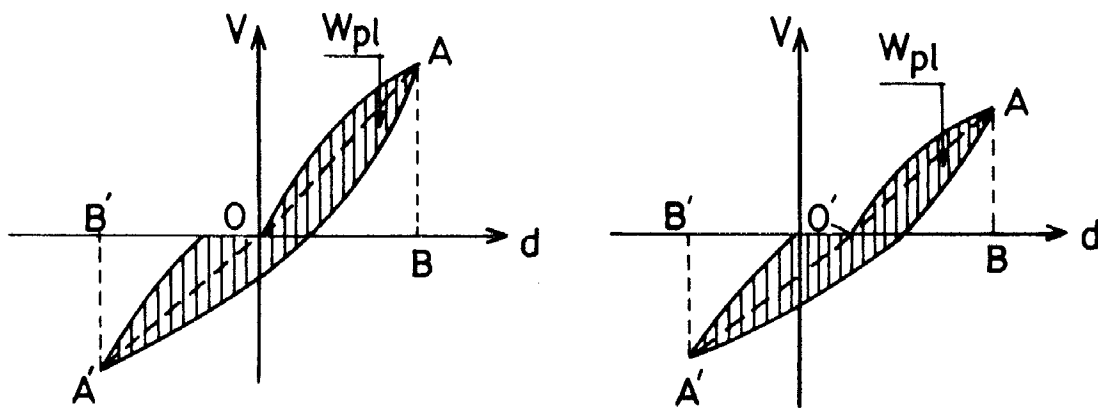


Σχ. 7.14: Μέση μεταβολή του δείκτη αθροιστικής πλαστιμότητας συναρτήσει του φορτίου, για τους 5 τρόπους οπλίσεως που εξετάστηκαν.

## 8. ΚΑΤΑΝΑΛΙΣΚΟΜΕΝΗ ΕΝΕΡΓΕΙΑ

Η συνολικώς καταναλισκόμενη ενέργεια (dissipated energy) είναι ένα από τα πιο αξιόπιστα μεγέθη για την αποτίμηση της συμπεριφοράς μιάς κατασκευής. Το μέγεθος αυτό εκφράζει και τη μείωση αποκρίσεως καθώς και τη μείωση ακαμψίας, παράγοντες που δεν είναι δυνατόν να ληφθούν ευθέως υπόψη στον υπολογισμό του δεικτη πλαστιμότητας.

Σε περίπτωση ανακυκλιζόμενης φορτίσεως η καταναλισκόμενη ενέργεια εκφράζεται από το εμβαδόν που περικλείεται από τους βρόχους υστερήσεως (βλ. Σχ. 8.1). Ονομάζεται και πλαστική ενέργεια  $W_{pl}$  διότι το σύστημα δεν μπορεί να την "αποδώσει" μετά τον μηδενισμό των επιβαλλομένων παραμορφώσεων.

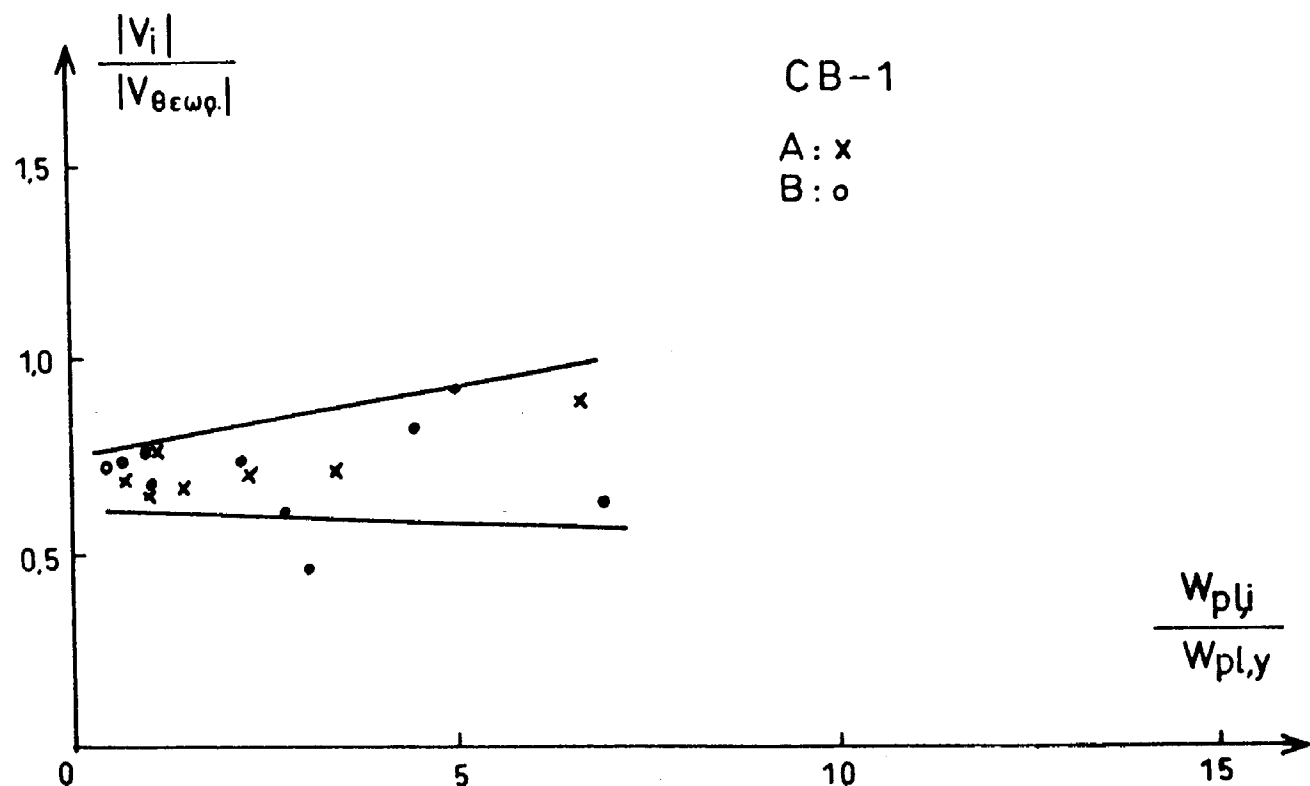


$$W_{el} = E_{OAB} + E_{OA'B'}$$

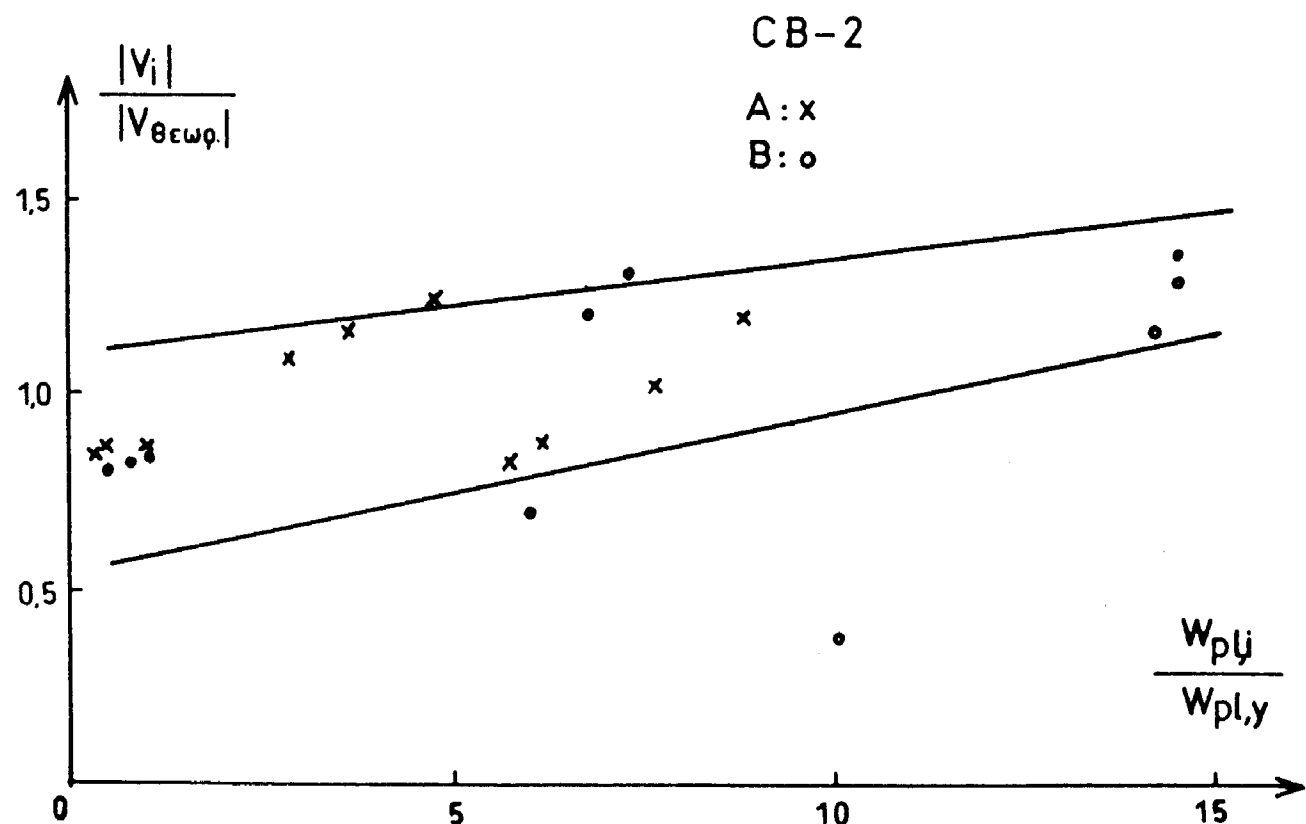
$$W_{el} = E_{O'A'B'} + E_{O'AB}$$

Σχ. 8.1: Καταναλισκόμενη Ενέργεια σε περίπτωση ανακυκλιζόμενης φορτίσεως.

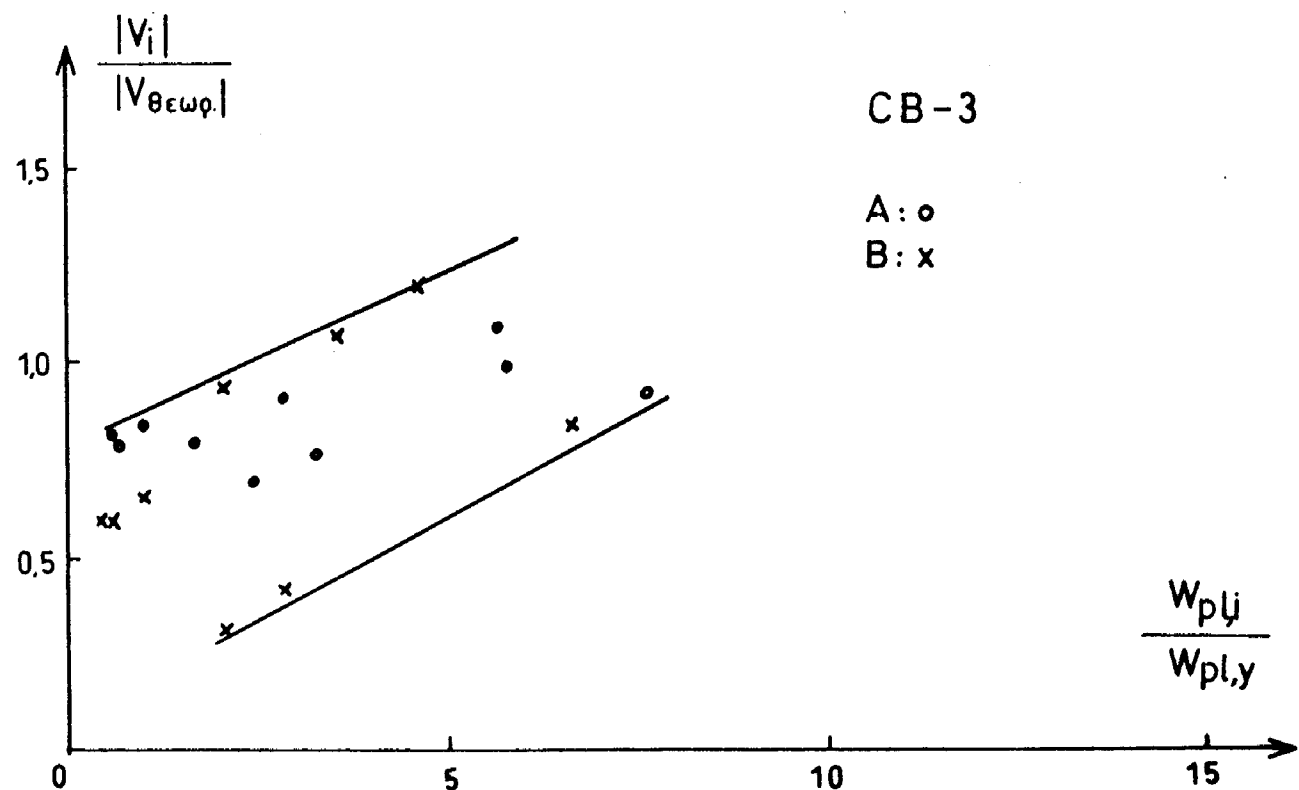
Στα Σχ. 8.2-8.6 για κάθε τρόπο οπλίσεως παριστάνεται ο λόγος της καταναλισκόμενης ενέργειας σε κάθε πλήρη κύκλο φορτίσεως  $W_{pl,i}$  προς την καταναλισκόμενη ενέργεια κατά τον πρώτο κύκλο διαρροής  $W_{pl,y}$ , συναρτήσει του μέσου φορτίου  $|\bar{v}_i|$  των δύο κατευθύνσεων φορτίσεως στον αντίστοιχο κύκλο. Τα πειραματικά σημεία στην κάθε περίπτωση βρίσκονται σε ένα διάστημα τιμών. Οι μέσες τιμές των διαγραμμάτων αυτών προσεγγίζονται με τις ευθείες που παριστάνονται στο Σχ. 8.7. Τα βελάκια υποδηλώνουν την αστοχία των δοκιμών.



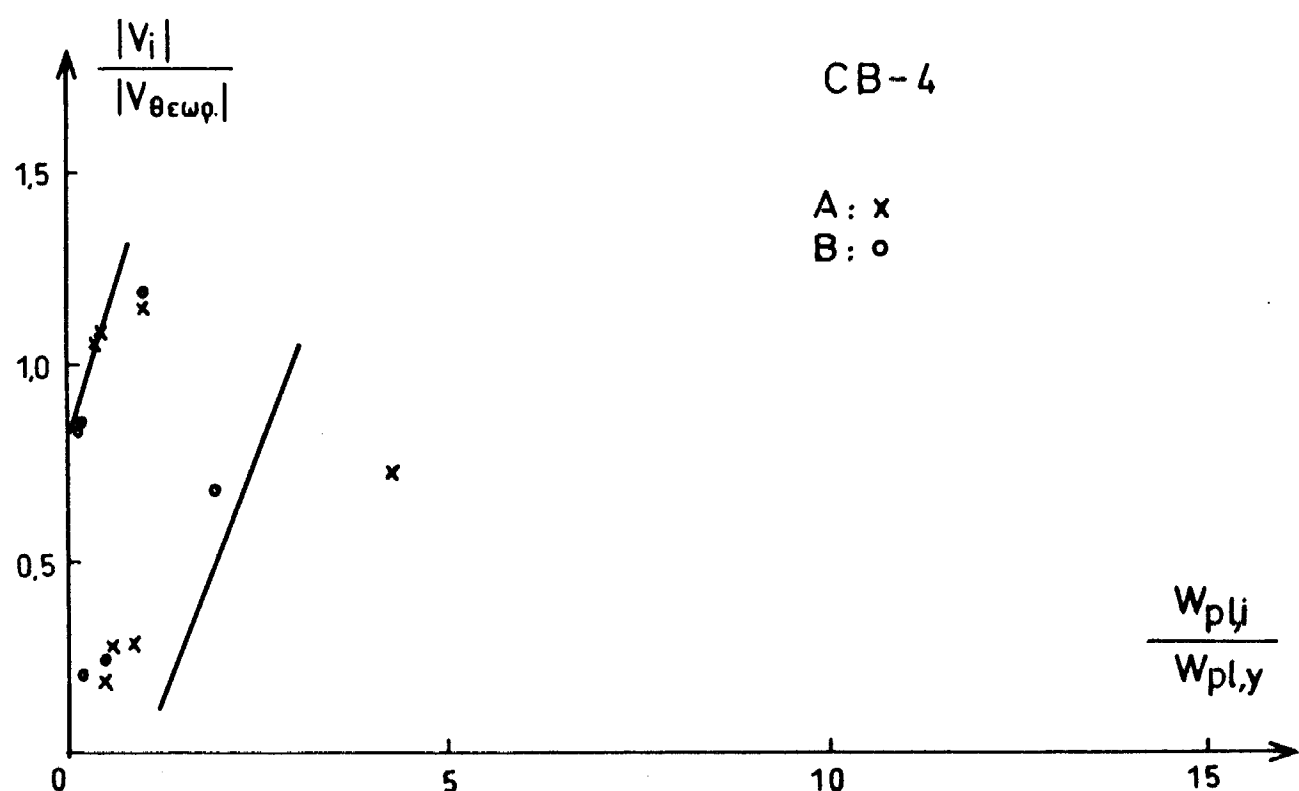
Σχ. 8.2: CB-1A,B - Μεταβολή του λόγου αναλισκόμενης ενέργειας κατά τους πλήρεις κύκλους προς την ενέργεια του κύκλου διαρροής, συναρτήσει του φορτίου.



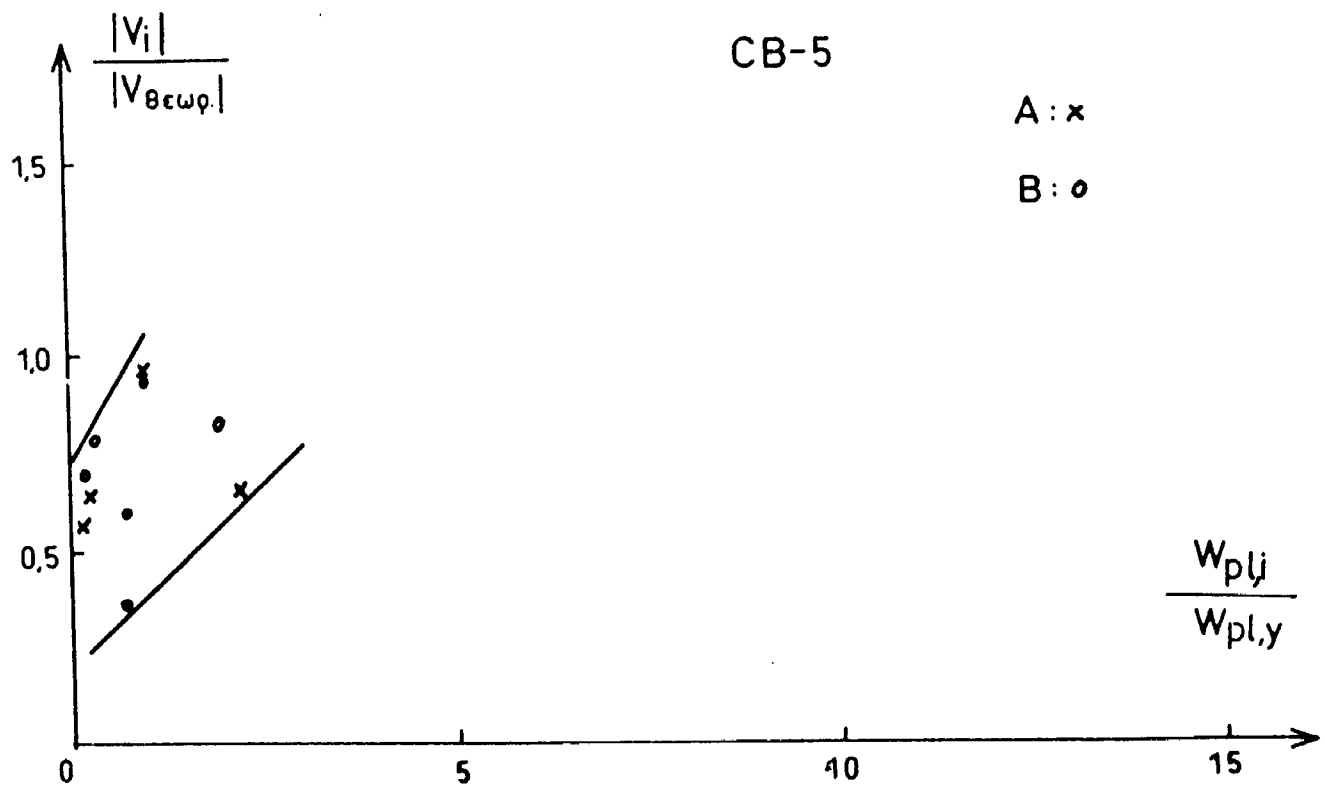
Σχ. 8.3: CB-2A,B - Αναλισκόμενη ενέργεια πλήρων κύκλων συναρτήσει του φορτίου.



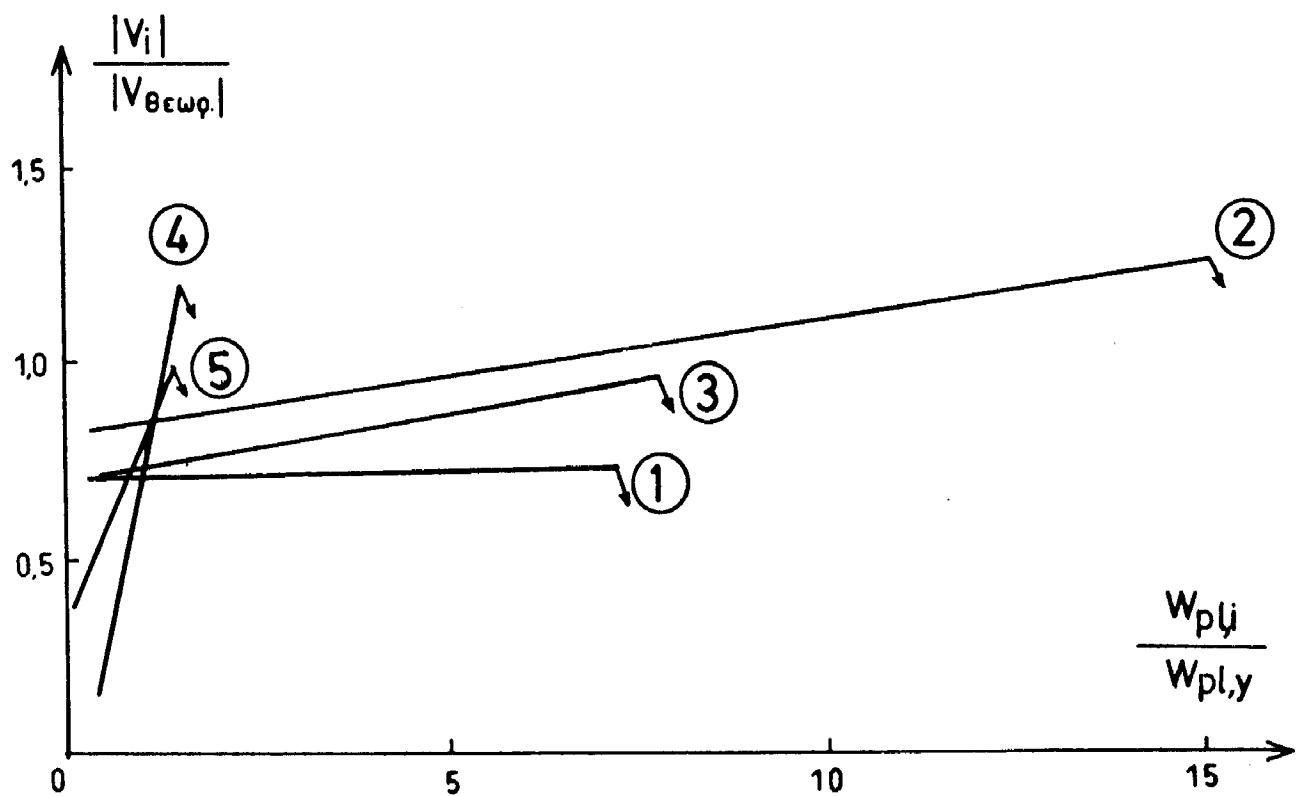
Σχ. 8.4: CB-3A,B - Αναλισκόμενη ενέργεια πλήρων κύκλων συναρτήσει του φορτίου.



Σχ. 8.5: CB-4A,B - Αναλισκόμενη ενέργεια πλήρων κύκλων συναρτήσει του φορτίου.



Σχ. 8.6: CB-5A,B - Αναλισκόμενη ενέργεια πλήρων κύκλων συναρτήσει του φορτίου.



Σχ. 8.7 Μεταβολή του λόγου αναλισκόμενης ενέργειας κατά τους πλήρεις κύκλους προς την ενέργεια του κύκλου διαρροής, συναρτήσει του φορτίου.

Οι δοκοί με τους δισδιαγώνιους οπλισμούς πάλι δείχνουν καλύτερη συμπεριφορά: απορροφούν ενέργεια (ση σχεδόν με 15 φορές την ενέργεια του πρώτου κύκλου (διαρροής) διατηρώντας μεγάλες τιμές αποκρίσεως. Μετά τις δοκούς αυτές συμπεριφέρονται καλύτεροι οι δοκοί με τους χιαστή οπλισμούς στα άκρα.

Η ιδιότυπη μορφή των διαγραμμάτων που αντιστοιχούν στην διπλιση με βλήτρα (CB-4,5) οφείλεται στο γεγονός ότι στα δοκίμια αυτά παρατηρείται μεγάλη μείωση της αποκρίσεως ενώ, ταυτοχρόνως η καταναλισκόμενη ενέργεια  $W_{pl,y}$  στον κύκλο διαρροής είναι μεγάλη και συγκρίσιμη με τις  $W_{pl,i}$  των επόμενων κύκλων (βλ. διαγρ. V-δ, Σχ. 3.4, 3.5). Ετσι προκύπτουν μικρές τιμές των λόγων  $\bar{V}_i/V$  θεωρ ή και  $W_{pl,i}/W_{pl,y}$ .

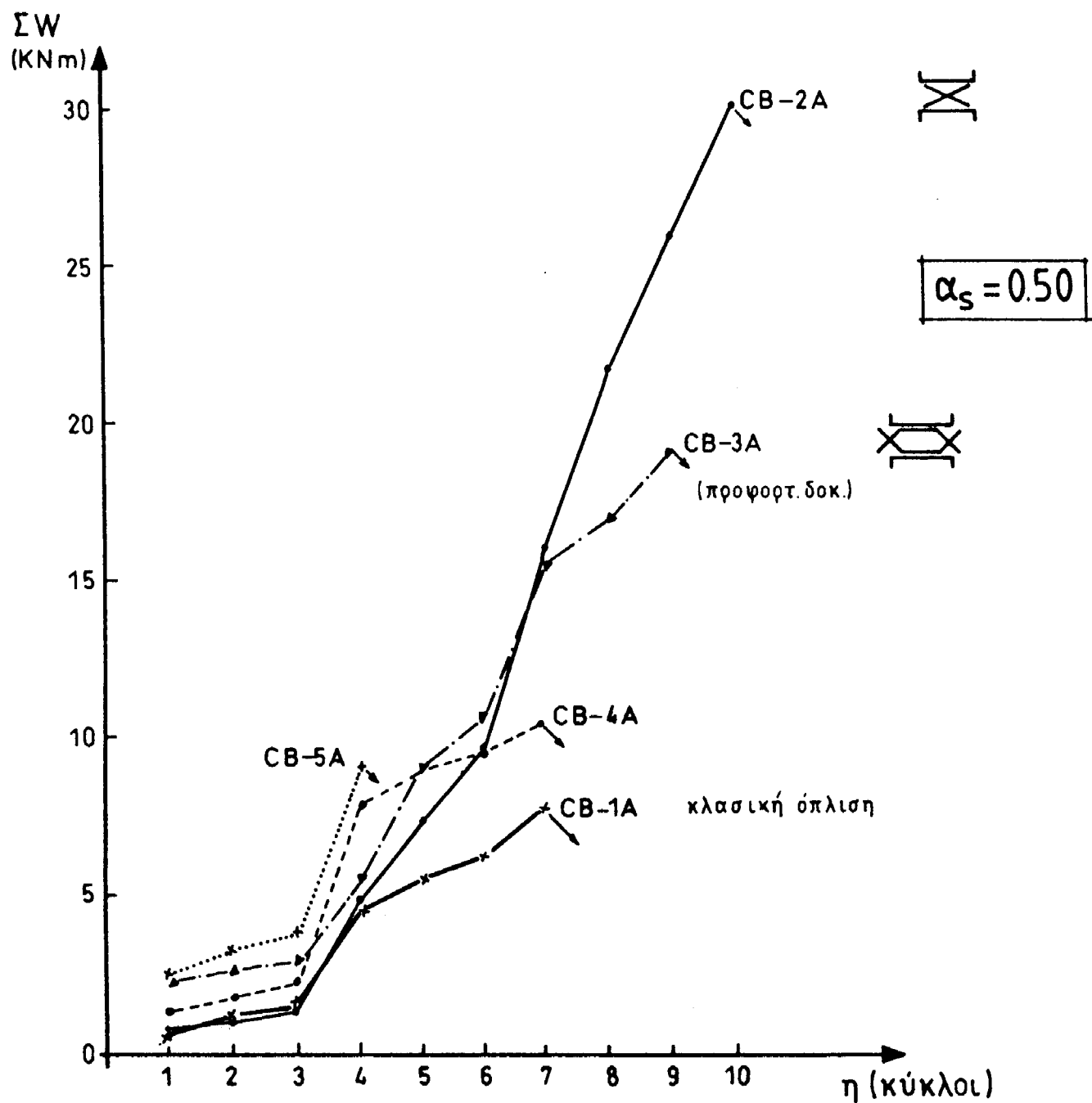
Στα Σχ. 8.8α,β φαίνονται οι καμπύλες μεταβολής της αθροιστικής καταναλισκόμενης ενέργειας  $\Sigma W_{pl}$  κάθε δοκιμής συναρτήσει του αριθμού  $n$  των πλήρων κύκλων φορτίσεως. Τα βελάκια στο τέλος των καμπυλών υποδηλώνουν την αστοχία των δοκιμών.

Στα Σχ. 8.9α,β παριστάνεται για κάθε δοκίμιο η μεταβολή της αθροιστικής καταναλισκόμενης ενέργειας  $\Sigma W_{pl}$  συναρτήσει του αθροίσματος των δεικτών αθροιστικής πλαστιμότητας  $\Sigma \mu_d$ . (Η έννοια του αθροιστικού δείκτη  $\mu_d$  εξηγείται στην §7.3).

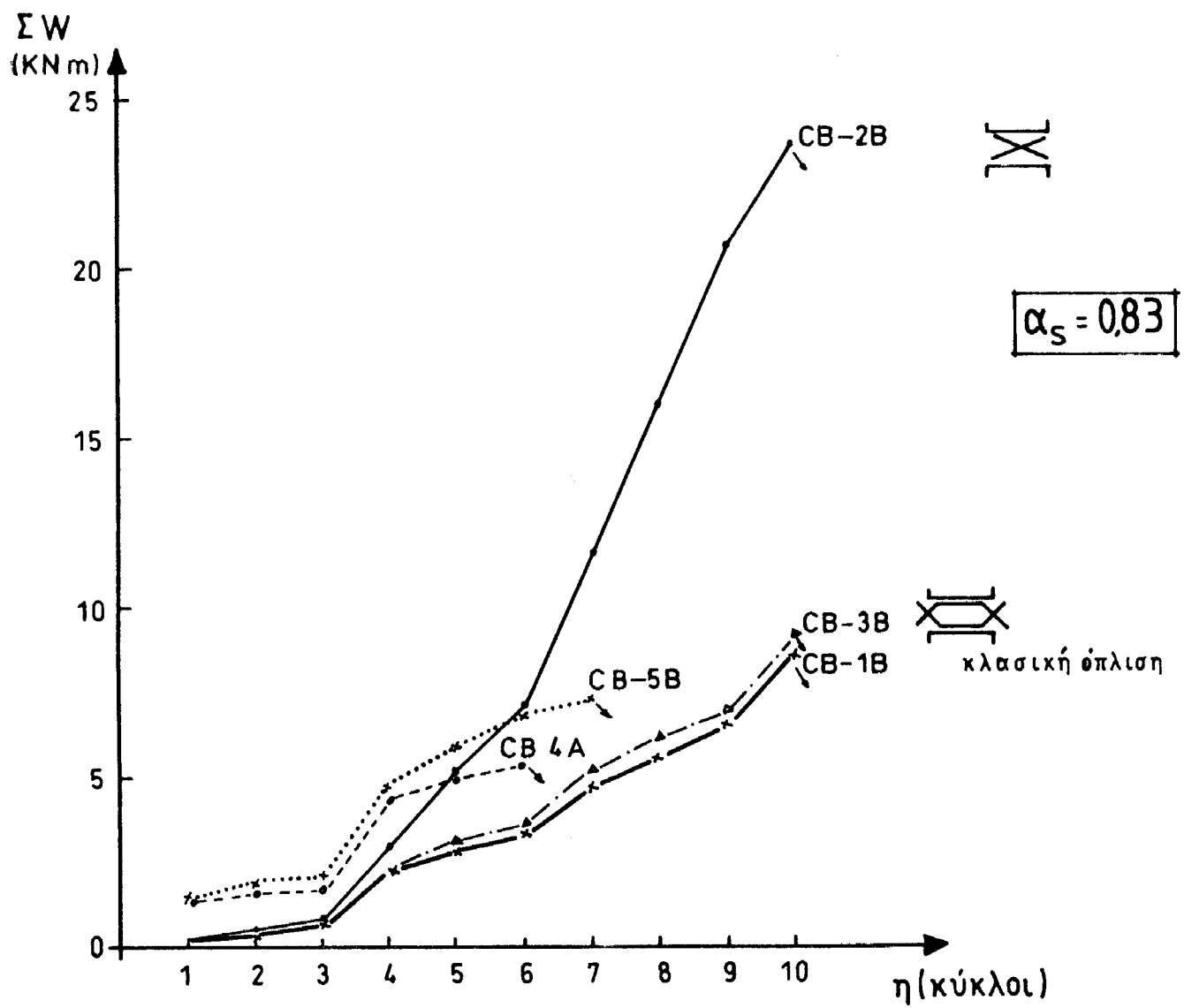
Τα διαγράμματα  $\Sigma W_{pl}-n$  και  $\Sigma W_{pl}-\Sigma \mu_d$  είναι ιδιαιτέρως ενδεικτικά της συμπεριφοράς των δοκιμών γιατί παρέχουν ταυτοχρόνως τη δυνατότητα συγκρίσεως της καταναλισκόμενης ενέργειας και της ικανότητας παραμορφώσεως του καθενός.

Απ' τα διαγράμματα αυτά ξεχωρίζουν πάλι τα δοκίμια με τους δισδιαγώνιους οπλισμούς (CB-2): απορροφούν το μεγαλύτερο ποσό ενέργειας και έχουν τη μεγαλύτερη ικανότητα παραμορφώσεως ( $\Sigma \mu_d,n$ ) απ' τα άλλα δοκίμια. Η καλύτερη συμπεριφορά των δοκιμών CB-2 αρχίζει να φαίνεται για μεγάλες στάθμες μετακινήσεων: για  $n > 6$  ( $\delta = 3\delta_y$ ) και  $\Sigma \mu_d > 25$ .

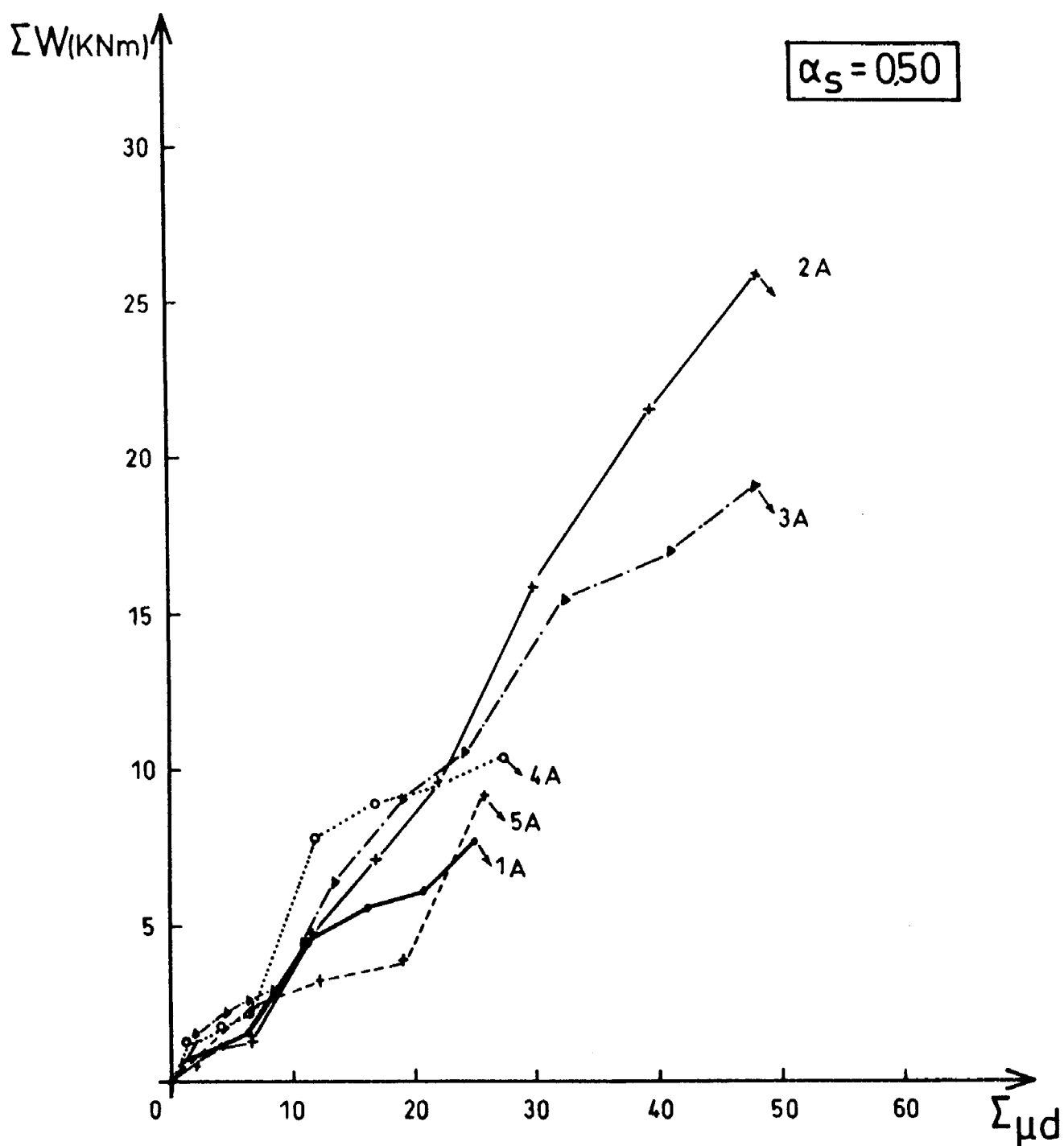
Μετά τις δοκούς με δισδιαγώνιους οπλισμούς την καλύτερη συμπεριφορά εμφανίζουν τα δοκίμια με τους χιαστή οπλισμούς στα άκρα.



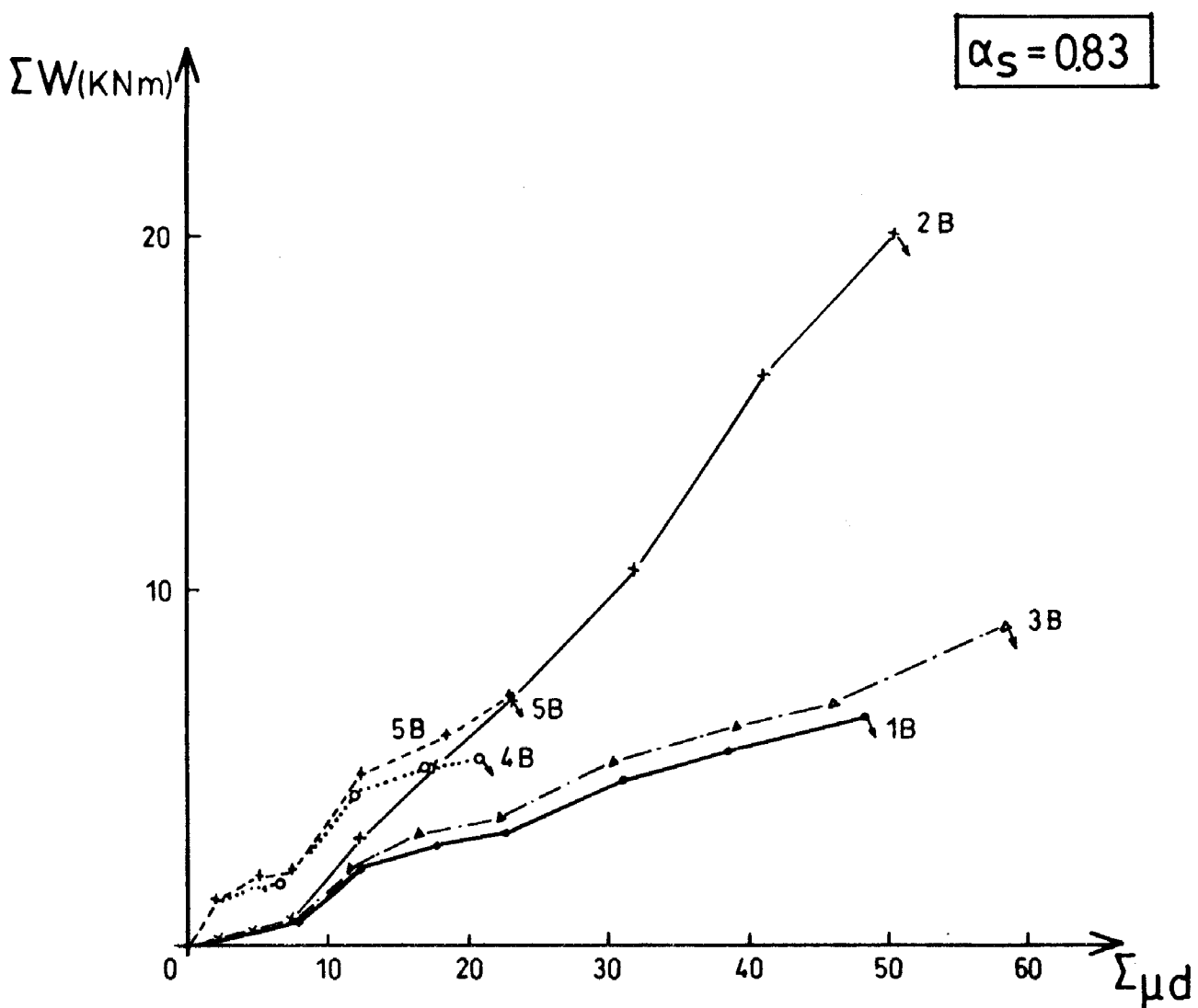
Σχ. 8.8α Μεταβολή της αθροιστικής αναλισκόμενης ενέργειας συναρτήσει του αριθμού των κύκλων -  $\alpha_s = 0.50$  -



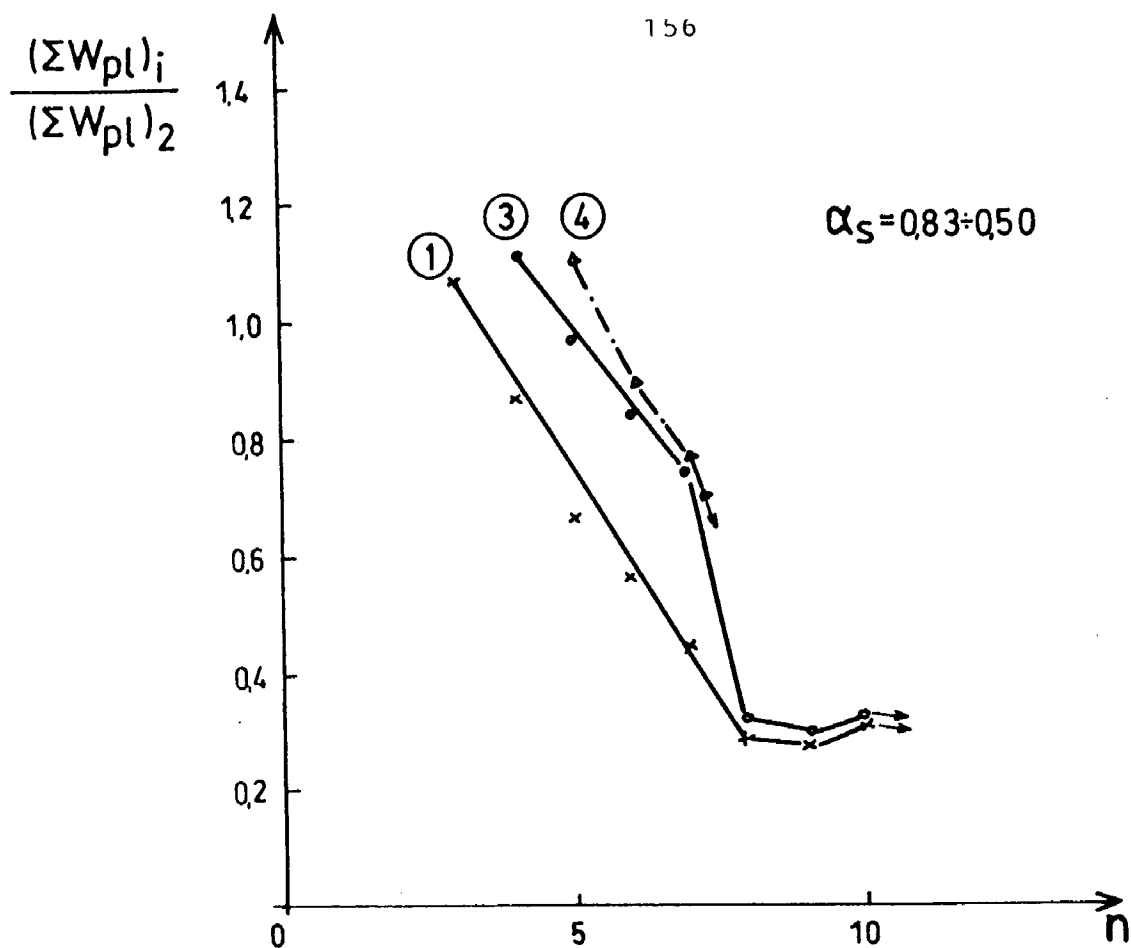
Σχ. 8.8β Μεταβολή της αθροιστικής αναλισκόμενης ενέργειας συναρτήσει του αριθμού των κύκλων -  $\alpha_s = 0.83$  -



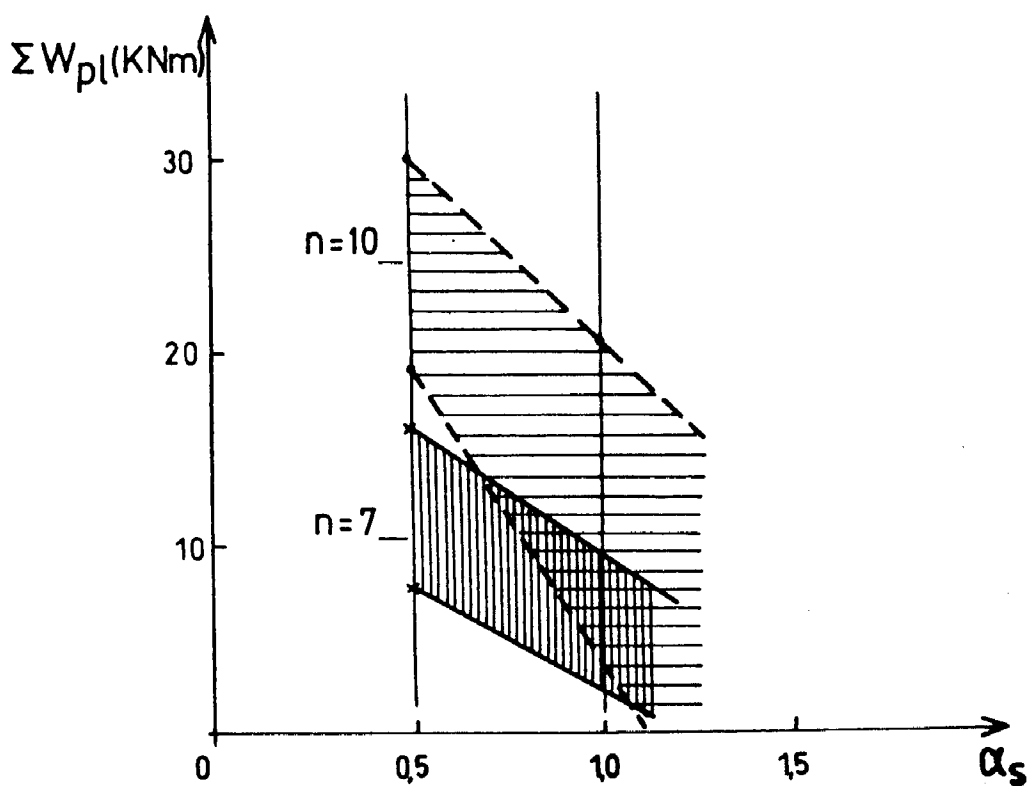
Σχ. 8.9α Μεταβολή της αθροιστικής αναλισκόμενης ενέργειας συναρτήσει του αθροίσματος των δεικτών αθροιστικής πλαστιμότητας -  $\alpha_s = 0.50$  -



Σχ. 8.9β Μεταβολή της αθροιστικής αναλισκόμενης ενέργειας συναρτήσει του αθροίσματος των δεικτών αθροιστικής πλαστιμότητας -  $\alpha_s = 0.83$  -



Σχ. 8.10 Συγκριτικώς με τον τρόπο οπλίσεως αρ. 2, οι κατά σειράν προτιμήσεως τρόποι αρ. 3, αρ. 1 και αρ. 4, οδηγούν σε συνεχώς μειούμενα ποσοστά αναλισκόμενης ενέργειας συναρτήσει του αριθμού των κύκλων (γενικού μέσου δρού).



Σχ. 8.12 Συνολική αναλισκόμενη ενέργεια συναρτήσει του λόγου διατιμήσεως και του αριθμού των ανακυκλίσεων για τους τρόπους οπλίσεως που εξετάστηκαν.

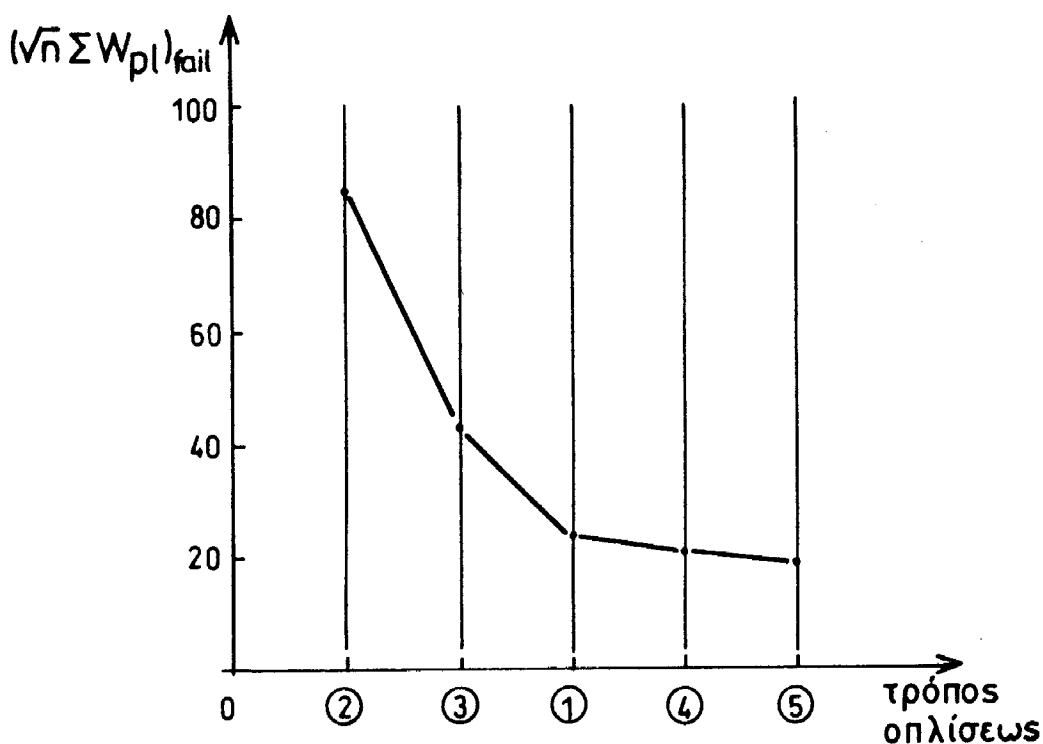
Τα δοκίμια με τα βλήτρα παρουσιάζουν αρχικώς μεγαλύτερη αθροιστική καταναλισκόμενη ενέργεια απ' τα δλλα δοκίμια, έχουν δυμως μικρή ικανότητα παραμορφώσεως (μικρά  $n$ , Σμ<sub>d</sub>). Επομένως η συνολική συμπεριφορά-τους δεν είναι ικανοποιητική.

Στα δια συμπεράσματα καταλήγουμε κι απ' τις καμπύλες του Σχ. 8.10, δπου παριστάνεται η μεταβολή του λόγου της αθροιστικής αναλισκόμενης ενέργειας ( $\Sigma W_{pl}$ )<sub>1</sub> των δοκών CB-1,3,4 προς την αντίστοιχη ενέργεια ( $\Sigma W_{pl}$ )<sub>2</sub> των διαγωνώων οπλισμένων δοκών, συναρτήσει του πλήθους  $n$  των ανακυκλώσεων.

Εποι, το επιθυμητόν για την καλή συμπεριφορά των δοκών συζεύξεως είναι:

- κατανάλωση ενέργειας  $\Sigma W_{pl}$
- σε δσο το δυνατόν μεγαλύτερον αριθμό "n" κύκλων αυξούσων επιβαλλομένων παραμορφώσεων.

Αναζητείται λοιπόν ένα συνδυασμένο κριτήριο συμπεριφοράς, λ.χ. ( $\sqrt{n} \Sigma W_{pl}$ )<sub>fail</sub>. τη στιγμή της αστοχίας. Οι τιμές που προκύπτουν απ' το κριτήριο αυτό για τους πέντε τρόπους οπλίσεως που εξετάστηκαν (μ.ο. δοκιμών A, B) παριστάνονται στο Σχ. 8.11.



Σχ. 8.11: Συνδυασμένο κριτήριο ( $\Sigma W_{pl,n}$ ) της συμπεριφοράς των δοκών συζεύξεως τη στιγμή της αστοχίας.

Στο Σχ. 8.12 παριστάνεται η μεταβολή της συνολικής αναλυτικότητας ενέργειας  $\Sigma W_{pl}$  συναρτήσει των  $\alpha_s$ , ο για δλους τους τρόπους οπλίσεως που εξετάστηκαν. Η συνολική ενέργεια  $\Sigma W_{pl}$  μειώνεται με την αύξηση του λόγου διατμήσεως, γεγονός που εκ πρώτης δψεως φαίνεται παράδοξο και το οποίο χρήζει περαιτέρω διερευνήσεως.

Πρέπει ακόμη να παρατηρηθεί δτι η τιμή του λόγου διατμήσεως φαίνεται να επηρεάζει τη συμπεριφορά των δοκών με κλασική διπλιση:

Για  $\alpha_s = 0.50$  η δοκός CB-1A εμφανίζει τη χειρότερη συμπεριφορά απ' δλες τις δλλες δοκούς (βλ. Σχ. 8.8α, 8.9α):  $n = 7$ ,  $\Sigma \mu_d = 25$  και:  $\Sigma W_{pl}(\text{CB-1A}) \approx 0.50 \Sigma W_{pl}(\text{CB-3A}) \approx 0.25 \Sigma W_{pl}(\text{CB-2A})$ .

Για τον λόγο  $\alpha_s = 0.83$  (βλ. Σχ. 8.8β, 8.9β) η κλασικώς οπλισμένη δοκός CB-1B ( $n = 10$ ,  $\Sigma \mu_d = 60$ ) συμπεριφέρεται παρόμοια με τη δοκό CB-3B με τους χιαστές οπλισμούς στα άκρα. Είναι:

$$\Sigma W_{pl}(\text{CB-1B}) \approx \Sigma W_{pl}(\text{CB-3B}) \approx 0.35 \Sigma W_{pl}(\text{CB-2B}).$$

Παρατηρούμε, δηλαδή, δτι η διπλιση με χιαστές οπλισμούς στα άκρα βελτιώνει θεαματικά τη συμπεριφορά των δοκών συζεύξεως συγκριτικά με τον κλασικό τρόπο οπλίσεως, μόνον στην περίπτωση του μικρού λόγου διατμήσεως  $\alpha_s = 0.50$ . Το γεγονός αυτό έχει ήδη επισημανθεί και κατά τον σχολιασμό της μορφολογίας ρηγματώσεως των δοκιμών (πρβλ. §4.2.5).

Απ' δσα αναφέρθηκαν προηγουμένως, φαίνεται επίσης δτι και η βελτίωση της συμπεριφοράς των διαγωνώς οπλισμένων δοκών, συγκριτικά με εκείνη των κλασικώς οπλισμένων δοκών, είναι σημαντικότερη στην περίπτωση του λόγου διατμήσεως  $\alpha_s = 0.50$ .

Αυτό οφείλεται, ίσως, στο γεγονός δτι με την αύξηση του λόγου διατμήσεως, για την ανάληψη της τέμνουσας ενεργοποίεται περισσότερο ο μηχανισμός του δικτυώματος απ' δτι ο μηχανισμός του διαγώνιου θλιπτήρα (πρβλ. §4, μορφολογία ρηγματώσεως). Ετσι, για μεγαλύτερους λόγους διατμήσεως η κλασικώς οπλισμένη δοκός συμπεριφέρεται πιο ικανοποιητικά και οι εναλλακτικοί τρόποι οπλίσεως χάνουν την σχετική υπεροχή-τους.

Στο Σχ. 8.12 παριστάνεται η μεταβολή της συνολικής αναλυσικόμενης ενέργειας  $\Sigma W_{pl}$  συναρτήσει των  $a_s$ , ο για δλους τους τρόπους οπλίσεως που εξετάστηκαν. Η συνολική ενέργεια  $\Sigma W_{pl}$  μειώνεται με την αύξηση του λόγου διατμήσεως, γεγονός που εκ πρώτης δψεως φαίνεται παράδοξο και το οποίο χρήζει περαιτέρω διερευνήσεως.

Πρέπει ακόμη να παρατηρηθεί δτι η τιμή του λόγου διατμήσεως φαίνεται να επηρεάζει τη συμπεριφορά των δοκών με κλασική δπλιση:

Για  $a_s = 0.50$  η δοκός CB-1A εμφανίζει τη χειρότερη συμπεριφορά απ' δλες τις δλλες δοκούς (βλ. Σχ. 8.8α, 8.9α):  $n = 7$ ,  $\Sigma m_d = 25$  και:  $\Sigma W_{pl}(\text{CB-1A}) \approx 0.50 \Sigma W_{pl}(\text{CB-3A}) \approx 0.25 \Sigma W_{pl}(\text{CB-2A})$ .

Για τον λόγο  $a_s = 0.83$  (βλ. Σχ. 8.8β, 8.9β) η κλασικώς οπλισμένη δοκός CB-1B ( $n = 10$ ,  $\Sigma m_d = 60$ ) συμπεριφέρεται παρόμοια με τη δοκό CB-3B με τους χιαστές οπλισμούς στα άκρα. Είναι:

$$\Sigma W_{pl}(\text{CB-1B}) \approx \Sigma W_{pl}(\text{CB-3B}) \approx 0.35 \Sigma W_{pl}(\text{CB-2B}).$$

Παρατηρούμε, δηλαδή, δτι η δπλιση με χιαστές οπλισμούς στα άκρα βελτιώνει θεαματικά τη συμπεριφορά των δοκών συζεύξεως συγκριτικά με τον κλασικό τρόπο οπλίσεως, μόνον στην περίπτωση του μικρού λόγου διατμήσεως  $a_s = 0.50$ . Το γεγονός αυτό έχει ήδη επισημανθεί και κατά τον σχολιασμό της μορφολογίας ρηγματώσεως των δοκιμών (πρβλ. §4.2.5).

Απ' δσα αύαφέρθηκαν προηγουμένως, φαίνεται επίσης δτι και η βελτίωση της συμπεριφοράς των διαγωνίων οπλισμένων δοκών, συγκριτικά με εκείνη των κλασικώς οπλισμένων δοκών, είναι σημαντικότερη στην περίπτωση του λόγου διατμήσεως  $a_s = 0.50$ .

Αυτό οφείλεται, ίσως, στο γεγονός δτι με την αύξηση του λόγου διατμήσεως, για την ανάληψη της τέμνουσας ενεργοποιείται περισσότερο ο μηχανισμός του δικτυώματος απ' δτι ο μηχανισμός του διαγώνιου θλιπτήρα (πρβλ. §4, μορφολογία ρηγματώσεως). Ετσι, για μεγαλύτερους λόγους διατμήσεως η κλασικώς οπλισμένη δοκός συμπεριφέρεται πιο ικανοποιητικά και οι εναλλακτικοί τρόποι οπλίσεως χάνουν την σχετική υπεροχή-τους.

102

## 9. ΑΠΟΣΒΕΣΗ

Η ανηγμένη απόσβεση ενδεικνύεται σε ανακυκλιζόμενη φόρτιση είναι  $\zeta(\%) = \frac{W_{pl}}{W_{el}} \cdot 1/4\pi$ , δηλαδή  $W_{pl}, W_{el}$  ορίζονται όπως στο Σχ. 8.1.

Η μεταβολή της απόσβεσεως  $\zeta(\%)$  των δοκών συζεύξεως που εξετάστηκαν, συναρτήσει του αριθμού  $n$  των κύκλων φορτίσεως, φαίνεται στα Σχ. 9.1α, β.

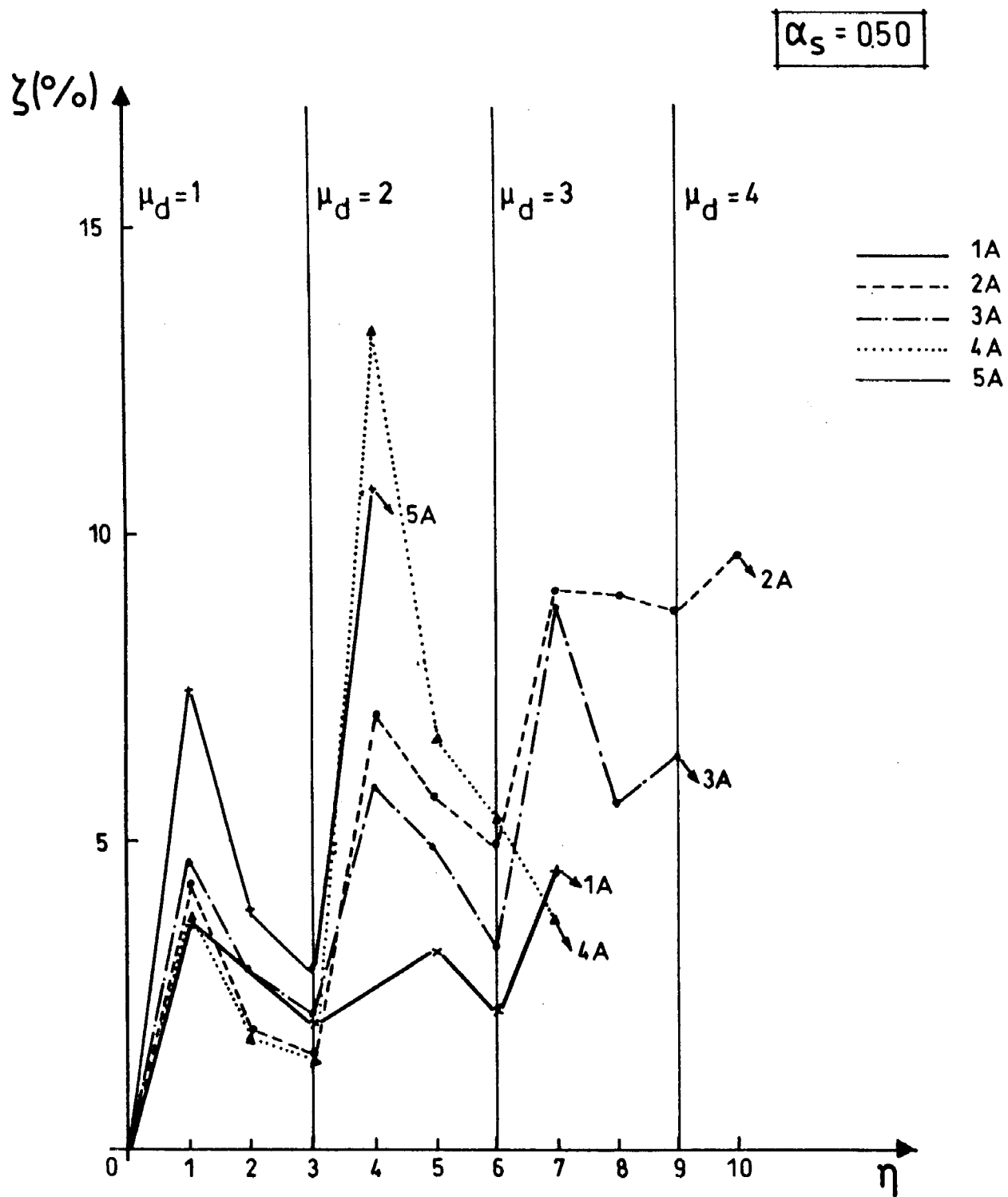
Στα Σχ. 9.2α, β παριστάνεται η μεταβολή της αθροιστικής απόσβεσεως  $\Sigma\zeta(\%)$  συναρτήσει του αθροίσματος  $\Sigma m_d$  των αθροιστικών δεικτών  $m_d$  (πρβλ. §7.3).

Τα δοκίμια CB-2 με δισδιαγώνιο οπλισμό εμφανίζουν τη μεγαλύτερη απόσβεση, γιατί μεγάλες επιβαλλόμενες μετακινήσεις  $n \geq 7$  ( $\delta = 3\delta_y$ ). Επιπλέον, οι δοκοί αυτές δεν εμφανίζουν απότομες μειώσεις της απόσβεσεως για ανακυκλίσεις σε σταθερή στάθμη επιβαλλόμενων μετακινήσεων, όπως συμβαίνει με τις δοκούς που είναι οπλισμένες με βλήτρα: CB-4,5 (βλ. Σχ. 9.1α, β).

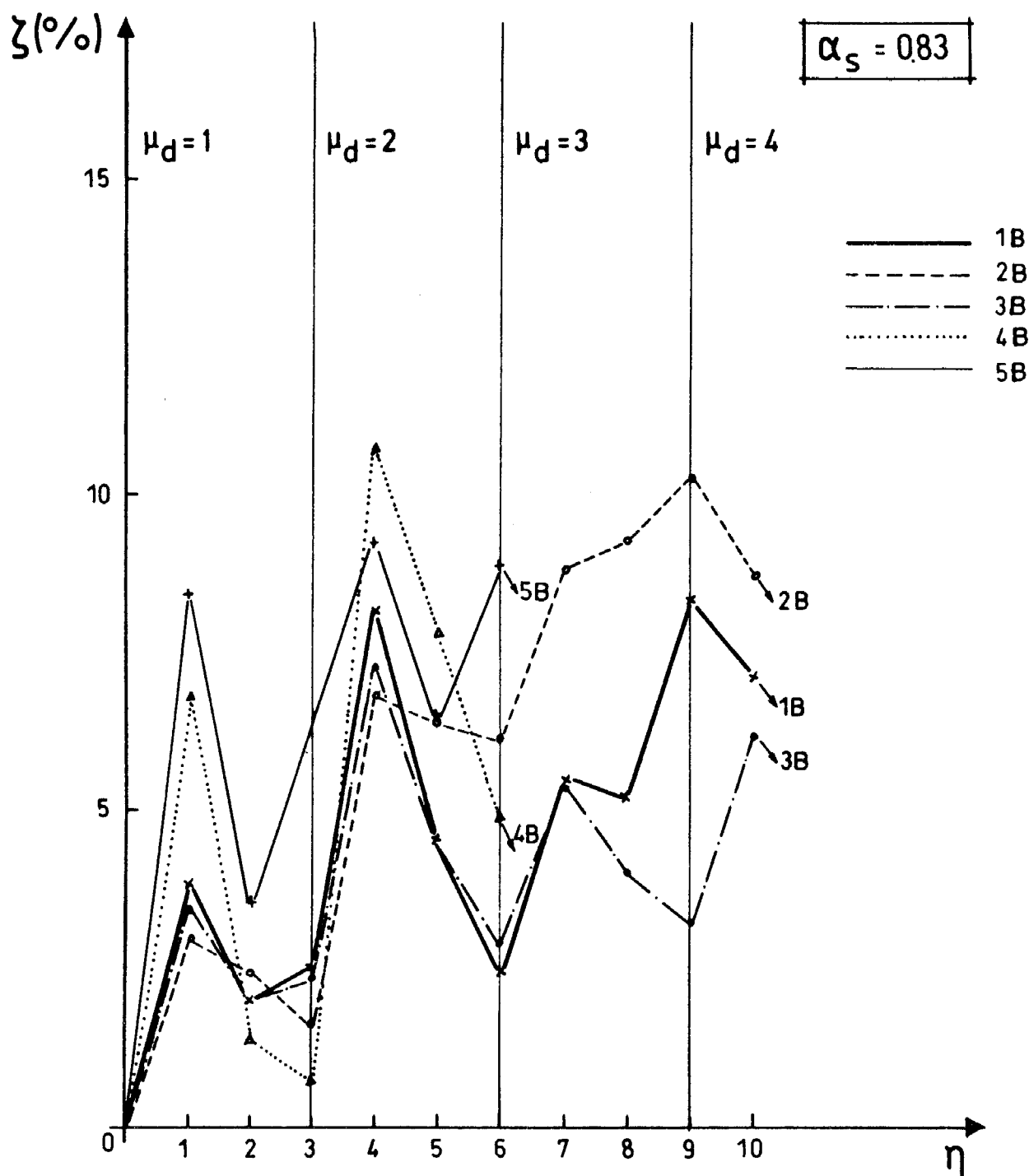
Οπως είχε επισημανθεί κατά την εξέταση της καταναλισκόμενης ενέργειας (πρβλ. §8), καί στις απόσβεσεις η διαφορά ανάμεσα στη συμπεριφορά της κλασικώς οπλισμένης δοκού και των δοκών με δισδιαγώνιους ή με χιαστή οπλισμούς είναι πολύ εντονότερη για λόγο διατμήσεως  $a_s = 0.50$  απότι για  $a_s = 0.83$ .

Πρέπει να παρατηρηθεί ότι για μεγάλες στάθμες επιβαλλόμενων μετακινήσεων  $n > 6$  ( $\delta = 3\delta_y$ ) και  $\Sigma m_d > 25$  τα δοκίμια CB-2 δεν εμφανίζουν μεγάλη διαφοροποίηση στην απόσβεση συγκριτικώς με τα υπόλοιπα, πράγμα που είχε συμβεί στην περίπτωση καταναλισκόμενης ενέργειας (πρβλ. Σχ. 8.8, 8.9). Αυτό συμβαίνει διότι τα διαγωνώς οπλισμένα στοιχεία, γιατί μεγάλες επιβαλλόμενες μετακινήσεις, διατηρούν μεγάλη τιμή αποκρίσεως  $V$ , έχουν έτσι μεγάλη ελαστική ενέργεια  $W_{el}$ . Ενώ τα άλλα δοκίμια για μεγάλες μετακινήσεις έχουν μικρή απόκριση, επομένως μικρή  $W_{el}$  που οδηγεί σε αυξημένες τιμές  $\zeta\%$  συγκριτικώς με τα δοκίμια με δισδιαγώνιο οπλισμό.

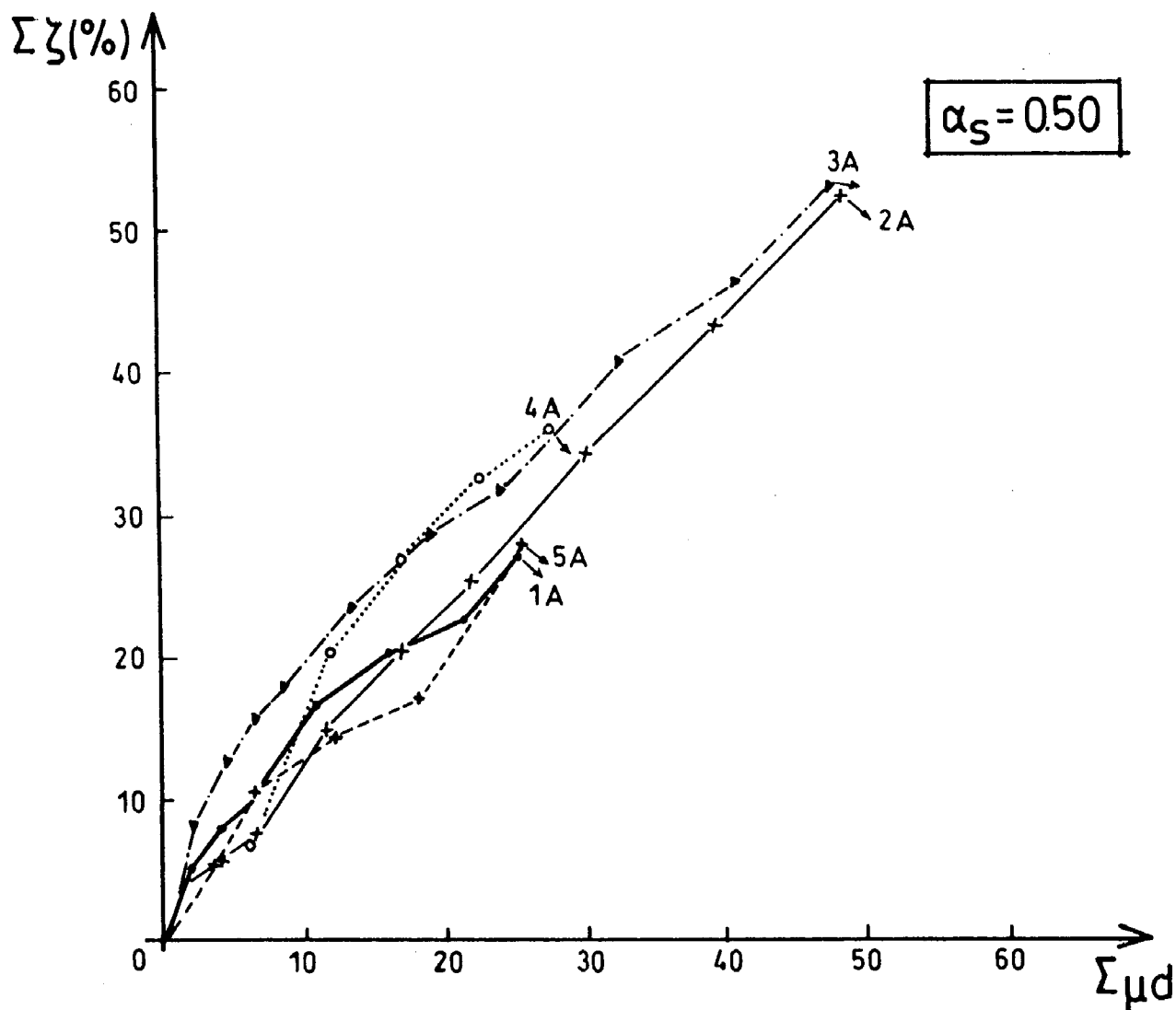
Ετσι, μόνη η ανηγμένη απόσβεση  $\zeta(\%)$  δεν είναι τόσο ενδεικτική της πραγματικής συμπεριφοράς των δοκών συζεύξεως χωρίς τη σύγχρονη χρήση ενός κριτηρίου πλαστιμότητας.



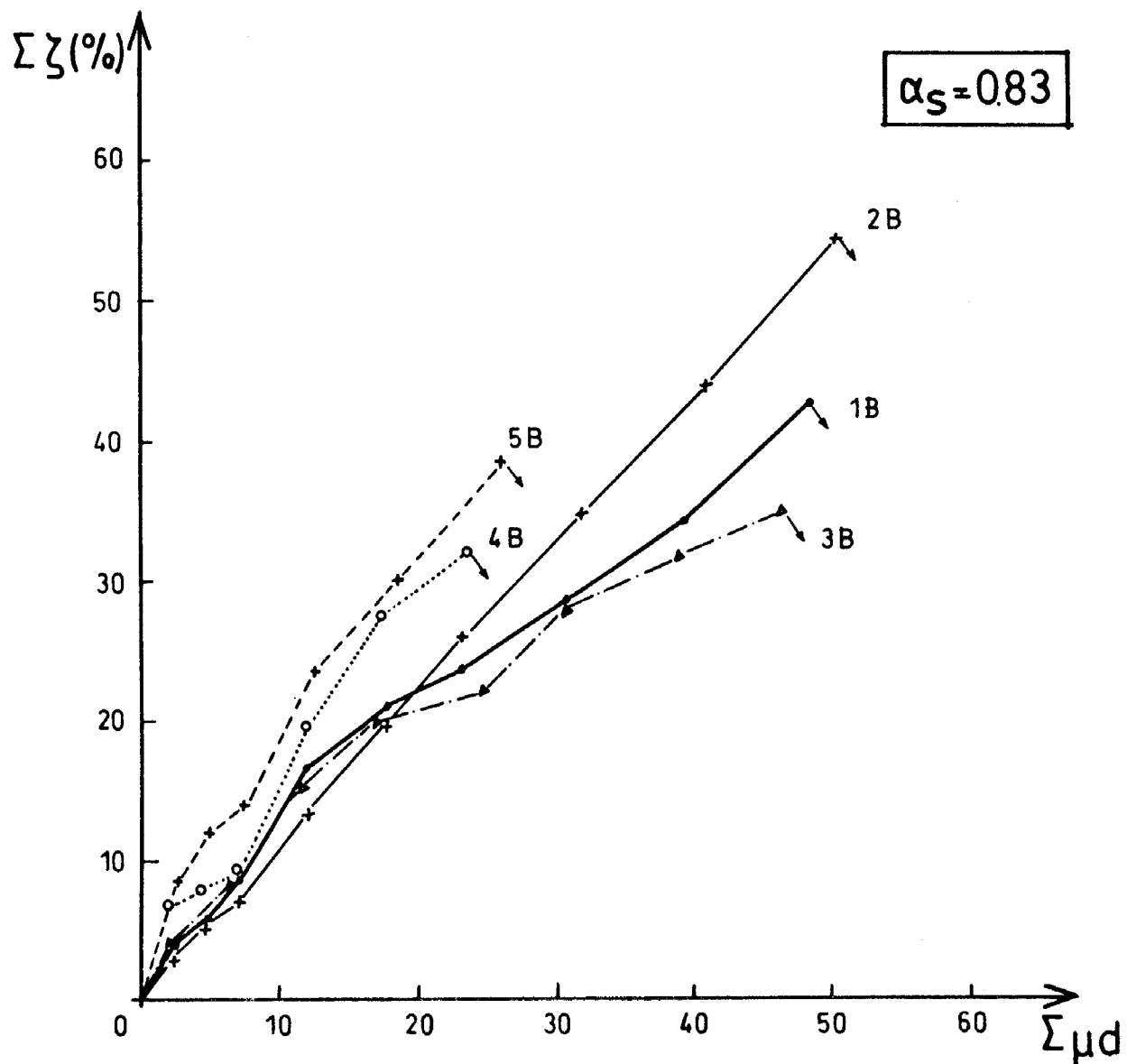
Σχ. 9.1α Μεταβολή της ανηγμένης αποσβέσεως συναρτήσει του αριθμού των κύκλων -  $\alpha_s = 0.50$ .



Σχ. 9.1β Μεταβολή της ανηγμένης αποσβέσεως συναρτήσει του αριθμού των κύκλων -  $\alpha_s = 0.83$  -



Σχ. 9.2α: Μεταβολή της αθροιστικής ανοιγμένης αποσβέσεως συναρτήσει του αθροίσματος των δεικτών αθροιστικής πλαστιμότητας -  $\alpha_s = 0.50$  -



Σχ. 9.2β: Μεταβολή της αθροιστικής ανοιγμένης αποσβέσεως συναρτήσει του αθροίσματος των δεικτών αθροιστικής πλαστιμότητας -  $\alpha_s = 0.83$  -